

Федеральное государственное автономное
образовательное учреждение
высшего образования
«СИБИРСКИЙ ФЕДЕРАЛЬНЫЙ УНИВЕРСИТЕТ»
Инженерно-строительный институт
Кафедра «Строительных конструкций и управляемых систем»

УТВЕРЖДАЮ

Заведующий кафедрой

_____ С.В. Деордиев

подпись инициалы,

фамилия

« _____ »

2020 г.

ДИПЛОМНЫЙ ПРОЕКТ

08.05.01 «Строительство уникальных зданий и сооружений»

код и наименование специальности

Телевизионная башня высотой 228,5 м со встроенной телестудией и кафе

тема

в г. Омск

Пояснительная записка

Руководитель

подпись, дата

должность, ученая степень

А.В. Тарасов

инициалы, фамилия

Выпускник

подпись, дата

А.Н. Дмитриева

инициалы, фамилия

Красноярск 2020

СОДЕРЖАНИЕ

| | |
|--|----|
| ВВЕДЕНИЕ..... | 9 |
| 1 Вариантное проектирование | 10 |
| 2 Архитектурно-строительный раздел..... | 13 |
| 2.1 Описание и обоснование внешнего и внутреннего вида объекта капитального строительства, его пространственной, планировочной и функциональной организации | 13 |
| 2.2 Обоснование принятых объемно-пространственных и архитектурно-художественных решений, в том числе в части соблюдения предельных параметров разрешенного строительства объекта капитального строительства..... | 14 |
| 2.3 Описание и обоснование использованных композиционных приемов при оформлении фасадов и интерьеров объекта капитального строительства | 14 |
| 2.4 Описание решений по отделке помещений основного, вспомогательного, обслуживающего и технического назначения | 15 |
| 2.5 Описание архитектурных решений, обеспечивающих естественное освещение с постоянным пребыванием людей..... | 17 |
| 2.6 Описание архитектурно-строительных мероприятий, обеспечивающих защиту помещений от шума, вибрации и другого воздействия..... | 17 |
| 2.7 Описание решений по светоограждению объекта, обеспечивающих безопасность полета воздушных судов..... | 17 |
| 3 Расчетно-конструктивный раздел, включая фундаменты | 18 |
| 3.1 Сведения об инженерно-геологических, гидрогеологических и климатических условиях земельного участка, предоставленного для размещения объекта капитального строительства | 18 |
| 3.2 Описание и обоснование конструктивных решений здания, включая его пространственную схему, принятую при выполнении расчетов строительных конструкций | 19 |
| 3.2.1 Общие положения | 19 |
| 3.2.2 Расчетная схема здания. Сбор нагрузок | 19 |
| 3.2.1 Постоянная нагрузка..... | 21 |
| 3.2.2 Кратковременные нагрузки..... | 22 |

| | | | | | | | | | | | |
|-------------|------|----------------|-------|---------|------|---|--|--|--------|------|--------|
| | | | | | | ДП-08.05.01-ПЗ | | | | | |
| | | | | | | | | | | | |
| Изм. | Кол. | Лист | №док. | Подпись | Дата | | | | | | |
| Проверил | | Тарасов А.В. | | | | Телевизионная башня высотой 228,5 м со встроенной телестудией и кафе в г.Омск | | | Стадия | Лист | Листов |
| Разработал | | Дмитриева А.Н. | | | | | | | У | 3 | 138 |
| Н.контроль | | Тарасов А.В. | | | | Кафедра СКиУС | | | | | |
| Зав.кафедры | | Деордиев С.В. | | | | | | | | | |

| | | |
|---------|---|----|
| 3.2.2.1 | Снеговая нагрузка | 22 |
| 3.2.2.2 | Ветровая нагрузка | 23 |
| 3.2.2.3 | Эксплуатационные равномерно распределенные нагрузки | 26 |
| 3.2.2.4 | Комбинации загружений и расчетные сочетания усилий | 27 |
| 3.2.3 | Результаты расчета здания в ПК SCAD..... | 28 |
| 3.2.4 | Проверка сечений элементов | 30 |
| 3.2.5 | Конструирование узлов | 33 |
| 3.2.5.1 | Расчет базы стойки башни | 33 |
| 3.2.5.2 | Соединение элементов 1 яруса башни..... | 37 |
| 3.2.5.3 | Узел примыкания ванта В2 к колонне стойке 1 яруса | 46 |
| 3.2.5.4 | Узел примыкания балки Б3 к стойке 1 яруса | 48 |
| 3.2.5.5 | Узел соединения СТ1 и Р2 | 50 |
| 3.3 | Описание конструктивных и технических решений подземной части объекта капитального строительства | 56 |
| 3.3.1 | Общие сведения, оценка инженерно-геологических условий площадки строительства..... | 56 |
| 3.3.2 | Проектирование фундамента мелкого заложения..... | 57 |
| 3.3.2.1 | Определение глубины заложения фундамента..... | 57 |
| 3.3.2.2 | Определение нагрузок, действующих на обреза и подошву фундамента | 58 |
| 3.3.2.3 | Определение размеров подошвы фундамента | 59 |
| 3.3.2.4 | Определение расчетного сопротивления грунта основания | 60 |
| 3.3.2.5 | Проверка условий расчета основания по деформациям | 61 |
| 3.3.2.6 | Определение средней осадки методом послойного суммирования | 62 |
| 3.3.2.7 | Определение крена фундамента..... | 63 |
| 3.3.2.7 | Конструирование кольцевого фундамента..... | 64 |
| 3.3.2.8 | Определение сечения арматуры кольцевого фундамента | 66 |
| 3.3.3 | Проектирование свайного фундамента | 69 |
| 3.3.3.1 | Определение несущей способности забивной сваи | 69 |
| 3.3.3.2 | Определение числа свай в фундаменте и эскизное конструирование ростверка | 71 |

| | | |
|---------|--|----|
| 3.3.3.3 | Расчет свайного фундамента по несущей способности грунта основания | 72 |
| 3.3.3.4 | Выбор сваебойного оборудования. Назначение расчетного отказа | 73 |
| 3.3.3.5 | Расчет плиты ростверка на продавливание стойкой | 74 |
| 3.3.3.6 | Расчет плиты ростверка на продавливание угловой сваей..... | 75 |
| 3.3.4 | Технико-экономическое сравнение вариантов | 75 |
| 4 | Технология строительного производства | 78 |
| 4.1. | Область применения | 78 |
| 4.2 | Общие положения | 78 |
| 4.3 | Организация и технология выполнения работ | 78 |
| 4.3.1 | Подготовительные работы | 78 |
| 4.3.2 | Основные работы | 79 |
| 4.3.3 | Заключительные работы..... | 81 |
| 4.4 | Требования к качеству работ | 82 |
| 4.5 | Потребность в материально-технических ресурсах | 83 |
| 4.6 | Техника безопасности и охрана труда | 86 |
| 4.7 | Технико-экономические показатели | 88 |
| 5 | Организация строительного производства..... | 92 |
| 5.1 | Продолжительность строительства..... | 92 |
| 5.1.1 | Обоснование принятой нормативной продолжительности строительства..... | 92 |
| 5.1.2 | Обоснование принятой плановой продолжительности строительства объекта капитального строительства | 92 |
| 5.2 | Организация строительной площадки | 93 |
| 5.2.1 | Исходные данные | 93 |
| 5.2.2 | Определение необходимости в основных строительных машинах и механизмах..... | 93 |
| 5.2.3 | Определение потребности в основных материалах, конструкциях, изделиях | 95 |
| 5.2.4 | Организация складского хозяйства..... | 97 |
| 5.2.5 | Обоснование потребности строительства в кадрах, временных зданиях и сооружениях..... | 98 |
| 5.2.6 | Электроснабжение строительной площадки..... | 99 |

| | | |
|--|---|-----|
| 5.2.7 | Временное водоснабжение..... | 101 |
| 5.2.8 | Внутрипостроечные дороги | 103 |
| 5.2.9 | Мероприятия по охране труда и пожарной безопасности..... | 103 |
| 5.2.10 | Мероприятия по охране окружающей среды и рациональному использованию природных ресурсов в период строительства..... | 104 |
| 6 | Экономика строительства | 105 |
| 6.1 | Технико-экономическое обоснование строительства объекта..... | 105 |
| 6.2 | Локальный сметный расчет на устройство несущего металлического ствола башни..... | 110 |
| 6.3 | Технико-экономические показатели | 112 |
| ЗАКЛЮЧЕНИЕ..... | | 114 |
| СПИСОК ИСПОЛЬЗОВАННЫХ ИСТОЧНИКОВ | | 116 |
| ПРИЛОЖЕНИЕ А | | 122 |
| ПРИЛОЖЕНИЕ Б..... | | 125 |
| ПРИЛОЖЕНИЕ В | | 130 |
| ПРИЛОЖЕНИЕ Г..... | | 136 |

ВВЕДЕНИЕ

Город Омск является одним из крупнейших городов России по численности населения и с каждым годом становится все крупнее. На данный момент эфирное телевидение в Омске обеспечивает государственная телевизионная и радиовещательная компания «Иртыш» посредством телевышки высотой 196 м, построенной в 1955 г.

Строительство новой телевизионной башни обусловлено скорым окончанием срока службы существующей телебашни. Проектируемая телевизионная башня с увеличением высоты по сравнению с существующей на 32,5 м увеличит диапазон своего вещания, будет соответствовать современным технологическим требованиям, а также будет отличаться архитектурной выразительностью по сравнению с существующими телебашнями. В сооружении будут присутствовать помещения для размещения телестудии и кафе с панорамным остеклением, открывающим вид на город с высоты 60 м от уровня земли.

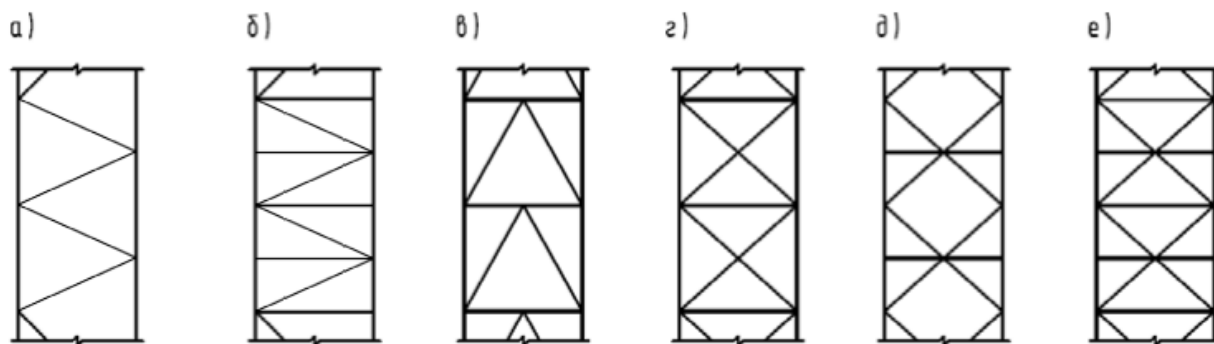
Таким образом, строительство новой телевизионной башни в г. Омск является актуальным и преобразит внешний облик города.

| | | | | | | |
|-------------|-------------|-----------------|----------------|-------------|-----------------------|-------------|
| | | | | | <i>ДП-08.05.01-ПЗ</i> | <i>Лист</i> |
| | | | | | | 9 |
| <i>Изм.</i> | <i>Лист</i> | <i>№ докум.</i> | <i>Подпись</i> | <i>Дата</i> | | |

1 Вариантное проектирование

Главным аспектом при разработке любой конструкции является ее рациональность. В случае башенных сооружений это обеспечивается за счет соблюдения оптимальных геометрических параметров конструкции и характеристик сечения. Устойчивость башни обеспечивается элементами конструкции ствола, закрепленного в основании. Поэтому необходимо рассмотреть разные виды решетки ствола и сделать выводы о целесообразности их применения в данном сооружении.

Наибольшее распространение получили следующие виды решеток: треугольная, треугольная с дополнительными распорками, полураскосная, крестовая, ромбическая и крестворомбическая.



а) треугольная; б) треугольная с дополнительными распорками; в) полураскосная;
г) крестовая; д) ромбическая; е) крестворомбическая

Рисунок 1.1 - Виды решеток

При опорах большой высоты (200 м и более) с целью использования существующего на металлургических заводах проката вынуждены применять в основании правильные многоугольники с большим числом сторон. В этом случае для уменьшения числа операций по соединению решетки на монтаже, а также для экономии материала целесообразно применение блочной системы решетки.

Вариантное проектирование выполним в два этапа. В начале рассмотрим два варианта решетки, крестовую и треугольную с дополнительными распорками, а затем для наилучшего варианта рассмотрим блочную систему решетки.

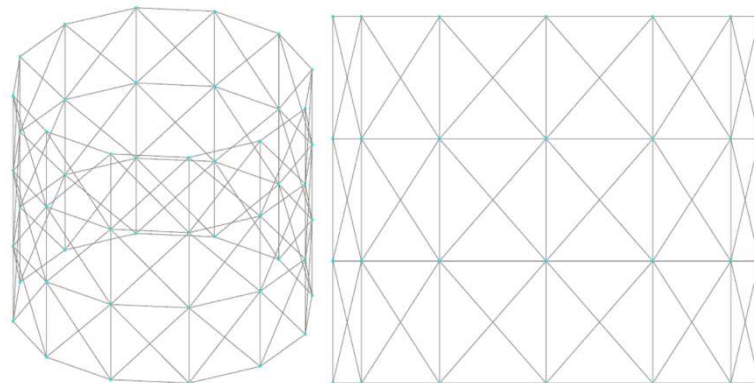


Рисунок 1.2 – Фрагмент расчетной схемы крестовой решетки

| Изм. | Лист | № докум. | Подпись | Дата |
|------|------|----------|---------|------|
| | | | | |

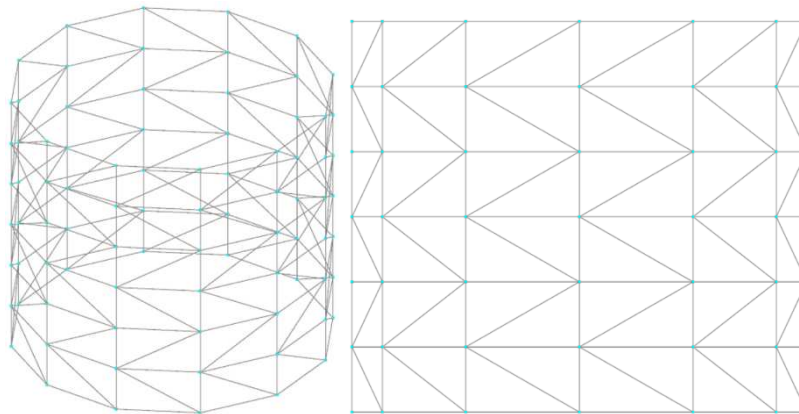


Рисунок 1.3 – Фрагмент расчетной схемы треугольной решетки с дополнительными распорками

Таблица 1.1 - Сравнение крестовой решетки и треугольной решетки с дополнительными распорками

| Показатель | Крестовая решетка | Треугольная решетка с дополнительными распорками |
|--|-------------------|--|
| Количество элементов, <i>шт</i> | 4092 | 6120 |
| Максимальное горизонтальное перемещение системы, <i>мм</i> | 1689,23 | 1637,12 |
| Максимальное продольное усилие в стойке 1 яруса, <i>кН</i> | -11629,10 | -14041,12 |
| Максимальный продольное усилие в распорке 1 яруса, <i>кН</i> | 968,44 | 300,65 |
| Максимальное продольное усилие в раскосе 1 яруса, <i>кН</i> | -739,35 | -445,93 |
| Масса, <i>т</i> | 1610,83 | 1809,91 |
| Трудоемкость укрупненной сборки, <i>чел.-ч.</i> | 918,0 | 1009,8 |
| Трудоемкость монтажа конструкций, <i>чел.-ч.</i> | 1875,86 | 2059,13 |
| Стоимость материалов, <i>тыс. руб.</i> | 100034,37 | 121313,20 |

Из таблицы 1.1 можно сделать вывод, что более выгодным вариантом является крестовая решетка. Обе схемы обеспечивают жесткость конструкции и хорошо воспринимают ветровую нагрузку. Недостатком крестовой схемы является то, что в ее распорках и раскосах возникают большие продольные усилия, что ведет за собой увеличение их сечений. Однако в сравнении с треугольной решеткой с дополнительными распорками эти сечения отличаются незначительно, чего нельзя сказать о сечениях стоек. В схеме с треугольной решеткой с дополнительными распорками возникают большие продольные усилия в стойках, что значительно увеличивает площадь их поперечного сечения, вслед за этим увеличивая массу и

стоимость материалов этой схемы. Так же в этой схеме из-за большего количества элементов увеличивается трудоемкость их монтажа. Далее рассмотрим крестовую блочную решетку с целью экономия материалов и облегчения монтажа конструкций и сравним ее с крестовой решеткой.

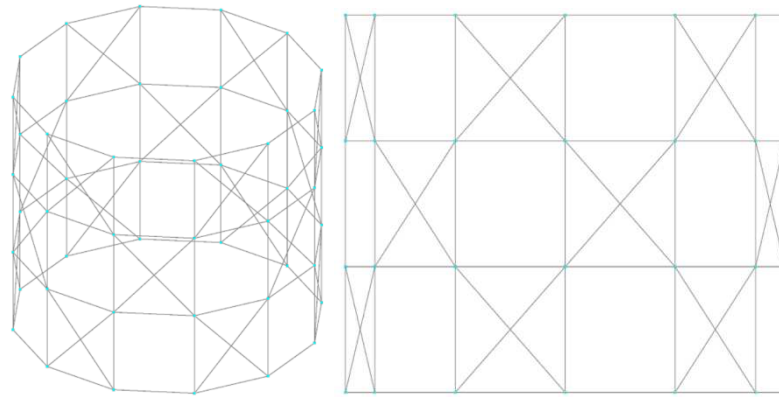


Рисунок 1.4 – Фрагмент расчетной схемы крестовой блочной решетки

Таблица 1.2 - Сравнение крестовой решетки и крестовой блочной решетки

| Показатель | Крестовая решетка | Крестовая блочная решетка |
|---|-------------------|---------------------------|
| Количество элементов, шт | 4092 | 3072 |
| Максимальное горизонтальное перемещение системы, мм | 1689,23 | 1642,46 |
| Максимальное продольное усилие в стойке 1 яруса, кН | -11629,10 | -9545,08 |
| Максимальный продольное усилие в распорке 1 яруса, кН | 968,44 | 646,25 |
| Максимальное продольное усилие в раскосе 1 яруса, кН | -739,35 | -630,58 |
| Масса, т | 1610,83 | 1118,44 |
| Трудоемкость укрупненной сборки, чел.-ч. | 918,0 | 734,4 |
| Трудоемкость монтажа конструкций, чел.-ч. | 1875,86 | 1485,14 |
| Стоимость материалов, тыс. руб. | 100034,37 | 68496,84 |

В результате сравнения этих вариантов можно сказать, что целесообразным является применить в проектировании данной башни крестовую блочную решетку. С уменьшением количества элементов, уменьшилась масса конструкций, что повлекло уменьшение внутренних усилий в элементах, не повлияв при этом на жесткость конструкции. Так же уменьшилась стоимость и трудоемкость изготовления этих конструкций.

Окончательно для дальнейшего проектирования принимаем крестовую блочную решетку ствола башни.

2.2 Обоснование принятых объемно-пространственных и архитектурно-художественных решений, в том числе в части соблюдения предельных параметров разрешенного строительства объекта капитального строительства

Принятые объемно-пространственные и архитектурно-художественные решения здания обусловлены функциональным назначением сооружения, климатическими условиями района строительства, требованиями нормативных документов по обеспечению безопасной эксплуатации зданий и сооружений, а также требованиям доступности зданий для инвалидов и других маломобильных групп населения (далее МГН).

Площади помещений здания рассчитаны исходя из одновременного пребывания в нем 150 сотрудников телестудии и 100 посетителей кафе, из которых 5% относится к МГН, а также сотрудников кафе и обслуживающего персонала здания.

В здании предусмотрен технический этаж в подземной части, высотой этажа 2,8 м, с одним выходом наружу. На техническом этаже размещаются технологическое оборудование МВД, стационарная станция мониторинга несущих конструкций, техническая аппаратная службы безопасности здания, а также помещения инженерного обеспечения здания.

Перемещение между этажами сооружения осуществляется с помощью двух незадымляемых лестниц типа Н2 (лестница для посетителей здания, служебная лестница) и четырех лифтов (три лифта для посетителей здания и служебный грузовой лифт). Ширина лестничного марша составляет 1,35 м в соответствии с [49]. Лифты для посетителей здания грузоподъемностью 800 и 1150 кг соответствуют доступности их для МГН, все лифты марки CANNY KLK1.

На отметке +63,450 располагается технический этаж с машинным отделением лифтов, через который также осуществляется выход на кровлю. Водосток кровли внутренний. Уклон кровли 1,5% согласно [63].

2.3 Описание и обоснование использованных композиционных приемов при оформлении фасадов и интерьеров объекта капитального строительства

Наружная отделка фасада вестибюля и лестнично-лифтовой шахты выполнена из облицовочного керамического кирпича, толщиной 85 мм. Теплоизоляция выполнена из минераловатных плит ТехноНИКОЛЬ толщиной 110 мм.

| | | | | | | | | | | |
|------|------|----------|---------|------|--|--|--|--|--|------|
| | | | | | | | | | | Лист |
| | | | | | | | | | | 14 |
| Изм. | Лист | № докум. | Подпись | Дата | | | | | | |

ДП-08.05.01-ПЗ

Наружная отделка фасада телестудии и кафе выполнена из витражного остекления системой элементного фасада ALT F50 от компании ALUTECH толщиной 56 мм.

2.4 Описание решений по отделке помещений основного, вспомогательного, обслуживающего и технического назначения

При выполнении отделки в помещениях предполагается использование пожаробезопасных и экологичных отделочных материалов. Материалы, используемые при внутренней отделке помещений должны отвечать пожарным требованиям для использования в помещениях здания, а также иметь сертификаты или гигиенические заключения.

Экспликация полов, ведомость отделки помещений, ведомости заполнения дверных и оконных проемов представлены в приложении А.

Помещения вестибюля доступные посетителям и коридоры:

- Полы - стяжка цементно-песчаного раствора М150, эпоксидное наливное покрытие ГОСТ 30353-95;
- Стены и перегородки - штукатурка ГОСТ 31377-2008, декоративный искусственный камень ГОСТ Р 56207-2014;
- Потолок - штукатурка ГОСТ 31377-2008, гипсовый подвесной потолок Грильято.

Технические помещения вестибюля:

- Полы - стяжка цементно-песчаного раствора М150, керамическая плитка на клею ГОСТ 6787-2001;
- Стены и перегородки - штукатурка ГОСТ 31377-2008, водоэмульсионная покраска ГОСТ 52020-2003;
- Потолок - штукатурка ГОСТ 31377-2008, водоэмульсионная покраска ГОСТ 52020-2003.

Помещения телестудии и коридоры:

- Полы - стяжка цементно-песчаного раствора М150, эпоксидное наливное покрытие ГОСТ 30353-95;
- Стены и перегородки - штукатурка ГОСТ 31377-2008, декоративная штукатурка ГОСТ Р 54358-2011;
- Потолок - штукатурка ГОСТ 31377-2008, гипсовый подвесной потолок Грильято.

Помещения кафе для посетителей и коридоры:

| | | | | | | | | | | | |
|------|------|----------|---------|------|--|--|--|--|--|--|------|
| | | | | | | | | | | | Лист |
| | | | | | | | | | | | 15 |
| Изм. | Лист | № докум. | Подпись | Дата | | | | | | | |

ДП-08.05.01-ПЗ

- Полы - стяжка цементно-песчаного раствора М150, эпоксидное наливное покрытие ГОСТ 30353-95;
- Стены и перегородки - штукатурка ГОСТ 31377-2008, декоративная штукатурка ГОСТ Р 54358-2011;
- Потолок - штукатурка ГОСТ 31377-2008, гипсовый подвесной потолок Грильято.

Помещения телестудии и коридоры:

- Полы - стяжка цементно-песчаного раствора М150, эпоксидное наливное покрытие ГОСТ 30353-95;
- Стены и перегородки - штукатурка ГОСТ 31377-2008, декоративная штукатурка ГОСТ Р 54358-2011;
- Потолок - штукатурка ГОСТ 31377-2008, гипсовый подвесной потолок Грильято.

Производственные помещения кафе и помещения для хранения:

- Полы - стяжка цементно-песчаного раствора М150, керамическая плитка на клею ГОСТ 6787-2001;
- Стены и перегородки - штукатурка ГОСТ 31377-2008, водоэмульсионная покраска ГОСТ 52020-2003;
- Потолок - штукатурка ГОСТ 31377-2008, водоэмульсионная покраска ГОСТ 52020-2003.

Служебные и бытовые помещения кафе:

- Полы - стяжка цементно-песчаного раствора М150, керамическая плитка на клею ГОСТ 6787-2001;
- Стены и перегородки - штукатурка ГОСТ 31377-2008, водоэмульсионная покраска ГОСТ 52020-2003;
- Потолок - штукатурка ГОСТ 31377-2008, водоэмульсионная покраска ГОСТ 52020-2003.

Мусорокамера:

- Полы - стяжка цементно-песчаного раствора М150, керамическая плитка на клею ГОСТ 6787-2001;
- Стены и перегородки - штукатурка ГОСТ 31377-2008, водоэмульсионная покраска ГОСТ 52020-2003;
- Потолок - штукатурка ГОСТ 31377-2008, водоэмульсионная покраска ГОСТ 52020-2003.

Лифтовой холл и лестничные клетки:

| | | | | | | |
|------|------|----------|---------|------|----------------|------|
| | | | | | ДП-08.05.01-ПЗ | Лист |
| | | | | | | 16 |
| Изм. | Лист | № докум. | Подпись | Дата | | |

- Полы - стяжка цементно-песчаного раствора М150, эпоксидное наливное покрытие ГОСТ 30353-95;
- Стены и перегородки - штукатурка ГОСТ 31377-2008, декоративная штукатурка ГОСТ Р 54358-2011;
- Потолок - штукатурка ГОСТ 31377-2008, гипсовый подвесной потолок Грильято.

2.5 Описание архитектурных решений, обеспечивающих естественное освещение с постоянным пребыванием людей

Планировка офисных и служебных помещений произведена с учетом норм естественного освещения, которое осуществляется с помощью оконных проемов и витражного остекления. Без естественного помещения спроектированы помещения с временным пребыванием людей.

Спецификация заполнения оконных проемов представлена в приложении А. Теплотехнический расчет окон и витражного остекления представлен в приложении Б.

2.6 Описание архитектурно-строительных мероприятий, обеспечивающих защиту помещений от шума, вибрации и другого воздействия

Основной состав помещений не требует дополнительной звукоизоляции. Дополнительная звукоизоляция предусмотрена в помещениях телестудии (помещения съемки видео, помещения размещения технологического оборудования), выполняется при помощи звукоизоляции ТехноНИКОЛЬ ТЕХНОАКУСТИК толщиной 50 мм.

Звукоизоляцию наружного ограждения обеспечивают двухкамерные стеклопакеты окон и витражного остекления.

Лифтовые шахты и машинные отделения лифтов, мусоропровод и мусоросборные камеры не имеют смежных стен с помещениями с постоянным пребыванием людей.

2.7 Описание решений по светоограждению объекта, обеспечивающих безопасность полета воздушных судов

Для обеспечения безопасности полета воздушных судов вблизи высотного объекта предусматриваются заградительные огни постоянного излучения красного света с силой света во всех направлениях не менее 10 кд. Заградительные огни располагаются в верхней точке телевизионной башни.

| | | | | | | |
|------|------|----------|---------|------|-----------------------|------|
| | | | | | <i>ДП-08.05.01-ПЗ</i> | Лист |
| | | | | | | 17 |
| Изм. | Лист | № докум. | Подпись | Дата | | |

3 Расчетно-конструктивный раздел, включая фундаменты

3.1 Сведения об инженерно-геологических, гидрогеологических и климатических условиях земельного участка, предоставленного для размещения объекта капитального строительства

Объектом капитального строительства является телевизионная башня высотой 228,5 м со встроенной телестудией и кафе, расположенная в Кировском округе в г. Омск.

Характеристика района строительства представлена в таблице 3.1.

Таблица 3.1 - Характеристики района строительства

| Климатические параметры района строительства | Значение параметров |
|--|---------------------|
| Температура воздуха наиболее холодных суток обеспеченностью 0,92, °C | -40 |
| Температура воздуха наиболее холодной пятидневки обеспеченностью 0,92, °C | -37 |
| Продолжительность периода со среднесуточной температурой воздуха ниже или равной 8°C, сут | 216 |
| Средняя температура периода со средней суточной температурой воздуха ниже или равной 8°C, °C | -8,1 |
| Максимальная из средних скоростей ветра по румбам за январь, м/с | 2,8 |
| Преобладающее направление ветра за декабрь-февраль | ЮЗ |
| Снеговой район | III |
| Нормативное значение веса снегового покрова S_p , кПа | 1,35 |
| Ветровой район по давлению ветра | II |
| Нормативное значение ветрового давления w_0 , кПа | 0,23 |

Инженерно-геологический разрез участка строительства приведен в п.3.3.1.

3.2 Описание и обоснование конструктивных решений здания, включая его пространственную схему, принятую при выполнении расчетов строительных конструкций

3.2.1 Общие положения

Характеристика основных конструкций сооружения:

1. фундаменты - под ствол башни - монолитный кольцевой фундамент мелкого заложения; под стальные колонны - столбчатый фундамент мелкого заложения; под стальные стойки - свайные фундаменты с монолитными ростверками; под железобетонные стены - плитный монолитный железобетонный фундамент;
2. наружные стены подземного этажа - монолитные железобетонные толщиной 200 мм;
3. наружные стены вестибюля - пенобетонные блоки толщиной 200 мм;
4. наружные стены лестнично-лифтового узла - монолитные железобетонные, толщиной 200 мм;
5. ограждающие конструкции телестудии и кафе - витражное остекление ALT F50;
6. внутренние перегородки - пенобетонные блоки, толщиной 100 мм;
7. перекрытия - монолитные железобетонные по профилированному листу 200 мм;
8. элементы ствола башни - трубы по ГОСТ 10704-91 из стали 09Г2С;
9. колонны - трубы по ГОСТ 10704-91 из стали 09Г2С;
10. балки - нормальные двутавры по ГОСТ Р 57837-2017;
11. раскосы, связи, элементы технических площадок - трубы по ГОСТ 10704-91 из стали 09Г2С;
12. ванты - закрытые канаты с Z-проволокой в наружном слое по ТУ 14-4-1216-82.

3.2.2 Расчетная схема здания. Сбор нагрузок

Расчетная схема в ПК SCAD представлена на рисунке 3.1.

| | | | | | | | | | | |
|------|------|----------|---------|------|--|--|--|--|--|------|
| | | | | | | | | | | Лист |
| | | | | | | | | | | 19 |
| Изм. | Лист | № докум. | Подпись | Дата | | | | | | |

ДП-08.05.01-ПЗ

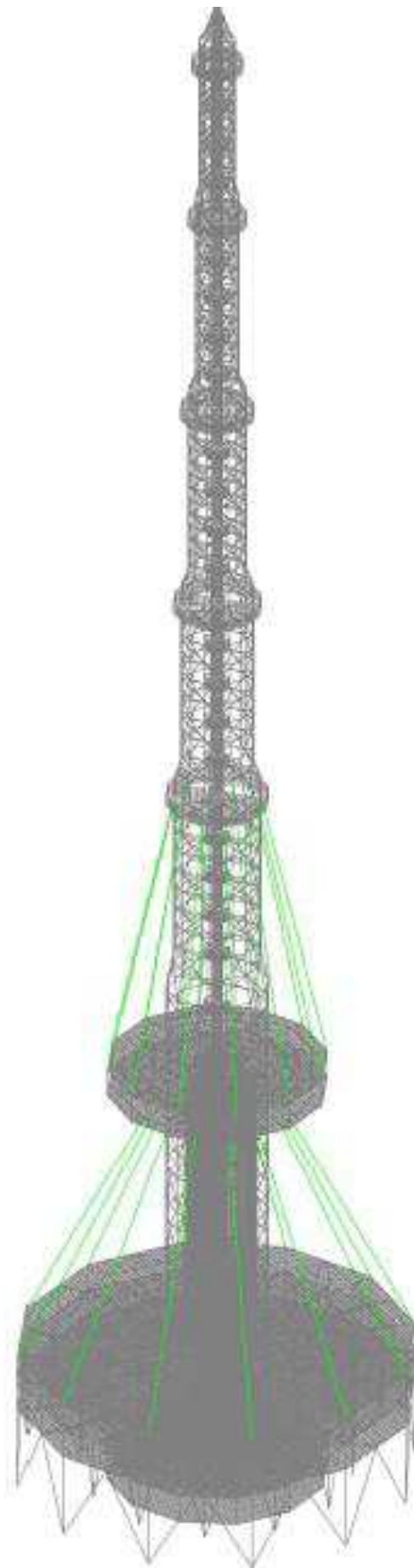


Рисунок 3.1 - Расчетная схема в ПК SCAD

| | | | | |
|------|------|----------|---------|------|
| | | | | |
| Изм. | Лист | № докум. | Подпись | Дата |

ДП-08.05.01-ПЗ

Лист

20

3.2.1 Постоянная нагрузка

Постоянная нагрузка от собственного веса несущих конструкций рассчитывается в ПК SCAD.

Нагрузку от веса витражей прикладываем к второстепенным балкам по внешнему контуру этажей как равномерно распределенную по линии нагрузку. Нормативная нагрузка на 1 м^2 витража составляет

$$q_s = 60 \cdot 9,81 \cdot 10^{-3} = 0,589 \text{ кН} / \text{м}^2.$$

Нормативная погонная нагрузка от веса витражей составляет

$$q_s = 60 \cdot 9,81 \cdot 10^{-3} \cdot 4 = 2,356 \text{ кН} / \text{м}.$$

Расчетная погонная нагрузка от веса витражей составляет

$$q_s^p = 60 \cdot 9,81 \cdot 10^{-3} \cdot 4 \cdot 1,2 = 2,827 \text{ кН} / \text{м}.$$

Определение нагрузки от веса полов представлено в таблице 3.2.

Таблица 3.2 – Нагрузка от веса полов

| Тип помещения | Состав пола | Нормативная нагрузка, $\text{кН}/\text{м}^2$ | Коэффициент надежности по нагрузке | Расчетная нагрузка $\text{кН}/\text{м}^2$ |
|---|--|--|------------------------------------|---|
| 1 | 2 | 3 | 4 | 5 |
| Телестудия, коридоры, лестнично-лифтовые узлы | ЦПС $t = 50 \text{ мм}$, $\rho = 1800 \text{ кг} / \text{м}^3$ ПВХ0,99 плитка $t = 10 \text{ мм}$, $\rho = 1300 \text{ кг} / \text{м}^3$ | $(1800 \cdot 0,05 + 1300 \cdot 0,01) \cdot 9,81 \cdot 10^{-3} = 1,01$ | 1,3 | 1,21 |
| Вестибюль, кафе | ЦПС $t = 50 \text{ мм}$, $\rho = 1600 \text{ кг} / \text{м}^3$ Эпоксидное наливное покрытие $t = 4 \text{ мм}$, $\rho = 1350 \text{ кг} / \text{м}^3$ | $(1800 \cdot 0,05 + 1350 \cdot 0,004) \cdot 9,81 \cdot 10^{-3} = 0,94$ | 1,3 | 1,13 |

l - наибольший размер покрытия в плане.

$$S_0 = c_e \cdot c_t \cdot \mu \cdot S_g = 0,63 \cdot 1 \cdot 1 \cdot 1,35 = 0,85 \text{ кПа (кН / м}^2\text{)},$$

Расчетное значение снеговой нагрузки определяется по формуле

$$S = S_0 \cdot \gamma_f = 0,85 \cdot 1,4 = 1,19 \text{ кПа (кН / м}^2\text{)},$$

где γ_f - коэффициент надежности по нагрузке.

2) Снеговая нагрузка на телестудию

$$c_e = (1,2 - 0,4 \cdot \sqrt{k}) \cdot (0,8 + 0,002 \cdot l_c) = (1,2 - 0,4 \cdot \sqrt{0,86}) \cdot (0,8 + 0,002 \cdot 54) =$$

= 0,91.

$$l_c = 2 \cdot b - \frac{b^2}{l} = 2 \cdot 54 - \frac{54^2}{54} = 54 \text{ м.}$$

$$S_0 = c_e \cdot c_t \cdot \mu \cdot S_g = 0,91 \cdot 1 \cdot 1 \cdot 1,35 = 1,228 \text{ кПа (кН / м}^2\text{)},$$

Расчетное значение снеговой нагрузки определяется по формуле

$$S = S_0 \cdot \gamma_f = 1,228 \cdot 1,4 = 1,719 \text{ кПа (кН / м}^2\text{)}.$$

3.2.2.2 Ветровая нагрузка

Нормативное значение основной ветровой нагрузки согласно [55] определяется по формуле

$$w = w_m + w_p, \quad (3.2)$$

где w_m - нормативное значение средней составляющей основной ветровой нагрузки, определяется согласно п.11.1.3 [55];

w_p - нормативное значение пульсационной составляющей основной ветровой нагрузки.

Нормативное значение средней составляющей основной ветровой нагрузки определяется по формуле

$$w_m = w_0 \cdot k(z_e) \cdot c_{e1}, \quad (3.3)$$

| | | | | | | | | | | |
|------|------|----------|---------|------|--|--|--|--|--|------|
| | | | | | | | | | | Лист |
| | | | | | | | | | | 23 |
| Изм. | Лист | № докум. | Подпись | Дата | | | | | | |

где $w_0 = 0,23$ кПа - нормативное значение ветрового давления, для II ветрового района согласно п.11.1.4 [55];

$k(z_e)$ - коэффициент, учитывающий изменение нагрузки по высоте;

z_e - эквивалентная высота, для башенных сооружений равна высоте от поверхности земли;

c_{e1} - аэродинамический коэффициент.

Коэффициент, учитывающий изменение нагрузки по высоте определяется по формуле

$$k(z_e) = k_{10} (z_e / 10)^{2\alpha}, \quad (3.4)$$

где $k_{10} = 0,65$ для местности типа В;

$\alpha = 0,2$ для местности типа В.

Аэродинамический коэффициент ветровой нагрузки, действующий на несущие конструкции вестибюля, телестудии и кафе определяем по приложению В п. В1.13 [55].

Аэродинамический коэффициент лобового сопротивления призматических сооружений определяется по формуле

$$c_x = k_\lambda \cdot c_{x\infty}, \quad (3.5)$$

где k_λ - коэффициент, зависящий от относительного удлинения сооружения и степени заполнения конструкции;

$c_{x\infty}$ - коэффициент, зависящий от формы сооружения в плане, для правильного многоугольника с числом сторон более 12, равен 1.

Относительное удлинение λ_e зависит от параметра $\lambda = l/b$ и определяется по таблице В.10 [55].

Относительное удлинение вестибюля равно

$$\lambda_e = \frac{\lambda}{2} = \frac{l/b}{2} = \frac{30/4}{2} = 3,75,$$

где l - длина этажа, м;

b - высота этажа, м.

Относительное удлинение телестудии равно

$$\lambda_e = \lambda = l/b = 54/8 = 6,75.$$

| | | | | | | | | | |
|------|------|----------|---------|------|--|--|--|--|------|
| | | | | | | | | | Лист |
| | | | | | | | | | 24 |
| Изм. | Лист | № докум. | Подпись | Дата | | | | | |

Относительное удлинение кафе равно
 $\lambda_e = \lambda = l / b = 30 / 4 = 7,5$.

Степень заполнения конструкции определяется по формуле

$$\varphi = \frac{1}{A_k} \sum A_i, \quad (3.6)$$

где A_i - площадь проекции i -го элемента конструкции;
 A_k - площадь, ограниченная контуром конструкции.

Аэродинамический коэффициент ветровой нагрузки, действующей на несущий ствол башни и технологические площадки определяем по приложению В п.В.1.14 [55].

Аэродинамические коэффициенты, решетчатых башен определяются по формуле

$$c_t = c_{x1;2} \cdot (1 + \eta) \cdot k_1, \quad (3.7)$$

где $c_{x1;2}$ - аэродинамический коэффициент отдельно стоящей плоской решетчатой конструкции;

η - коэффициент, при $Re < 4 \cdot 10^5$ зависящий от относительного расстояния между фермами (b/h , где b - расстояние между фермами, h - высота фермы) и коэффициента заполнения конструкции;

k_1 - коэффициент, зависящий от формы контура поперечного сечения конструкции.

Аэродинамические коэффициенты отдельно стоящих плоских решетчатых конструкций определяются по формуле

$$c_{x1;2} = \frac{1}{A_k} \sum c_{xi} \cdot A_i, \quad (3.8)$$

где c_{xi} - аэродинамический коэффициент i -го элемента конструкции, принимаемый равным 1,4 для профилей.

Для второй и последующих конструкций (подветренная сторона)

$$c_{x2} = c_{x1} \cdot \eta. \quad (3.9)$$

Значения нормативной ветровой нагрузки приведены в таблице 3.3.

| | | | | | | | | | | |
|------|------|----------|---------|------|--|--|--|--|--|------|
| | | | | | | | | | | Лист |
| | | | | | | | | | | 25 |
| Изм. | Лист | № докум. | Подпись | Дата | | | | | | |

Таблица 3.3- Значения ветровой нагрузки

| Конструкция | Высота, м | w_m^+ , кН/м | w_m^+ , кН/м |
|--------------------------|-----------|----------------|----------------|
| 1 ярус | 0 | 0 | 0 |
| | 76 | 0,4 | 0,24 |
| 2 ярус | 80 | 0,36 | 0,25 |
| | 101 | 0,36 | 0,26 |
| 3 ярус | 104 | 0,36 | 0,26 |
| | 125 | 0,39 | 0,28 |
| 4 ярус | 128 | 0,36 | 0,29 |
| | 150 | 0,38 | 0,3 |
| 5 ярус | 152 | 0,35 | 0,28 |
| | 174 | 0,36 | 0,3 |
| 6 ярус | 176 | 0,33 | 0,28 |
| | 222,5 | 0,31 | 0,26 |
| Верх | 222,5 | 0,32 | 0,27 |
| | 228,5 | 0,33 | 0,27 |
| Вестибюль | 0 | 0 | 0 |
| | 4 | 0,27 | 0,17 |
| Телестудия | 12 | 0,22 | 0,13 |
| | 20 | 0,27 | 0,16 |
| Кафе | 60 | 0,42 | 0,24 |
| | 64 | 0,43 | 0,25 |
| Технологические площадки | 104 | 0,14 | 0,14 |
| | 105,6 | 0,14 | 0,14 |
| | 134 | 0,16 | 0,14 |
| | 135,6 | 0,16 | 0,14 |
| | 164 | 0,17 | 0,14 |
| | 165,6 | 0,17 | 0,14 |
| | 194 | 0,18 | 0,14 |
| | 195,6 | 0,18 | 0,14 |
| | 218 | 0,18 | 0,17 |
| | 218,6 | 0,18 | 0,17 |

Пульсационная составляющая ветровой нагрузки учитывается в ПК SCAD.

3.2.2.3 Эксплуатационные равномерно распределенные нагрузки

Величину эксплуатационных нагрузок на перекрытие принимаем согласно таблице 8.3 [55].

Таблица 3.4 – Эксплуатационные нагрузки

| Вид помещения | Нормативная нагрузка, кПа | Коэффициент надежности по нагрузке γ_f | Расчетная нагрузка, кПа |
|---------------|---------------------------|---|-------------------------|
| 1 | 2 | 3 | 4 |
| Телестудия | 2 | 1,2 | 2,4 |
| Вестибюль | 3 | 1,2 | 3,6 |
| Коридор | 3 | 1,2 | 3,6 |
| Кафе | 3 | 1,2 | 3,6 |

3.2.2.4 Комбинации загружений и расчетные сочетания усилий

Загружения и комбинации загружений представлены на рисунке 3.2. Расчетные сочетания усилий и перемещений представлены на рисунке 3.3. Для основных сочетаний усилий используются значения коэффициентов сочетаний кратковременных нагрузок 1, 0,9, 0,7 по [55].

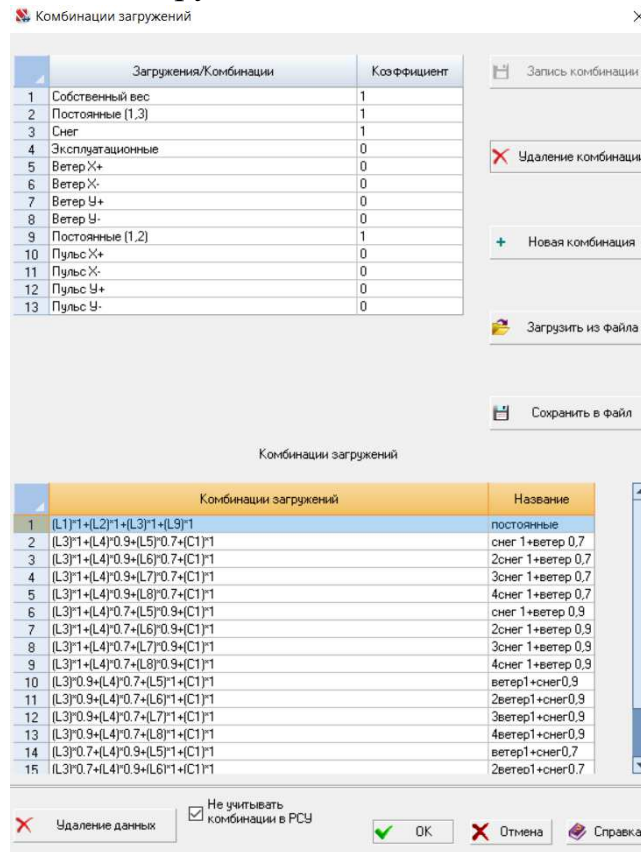


Рисунок 3.2 – Загружения и комбинации загружений

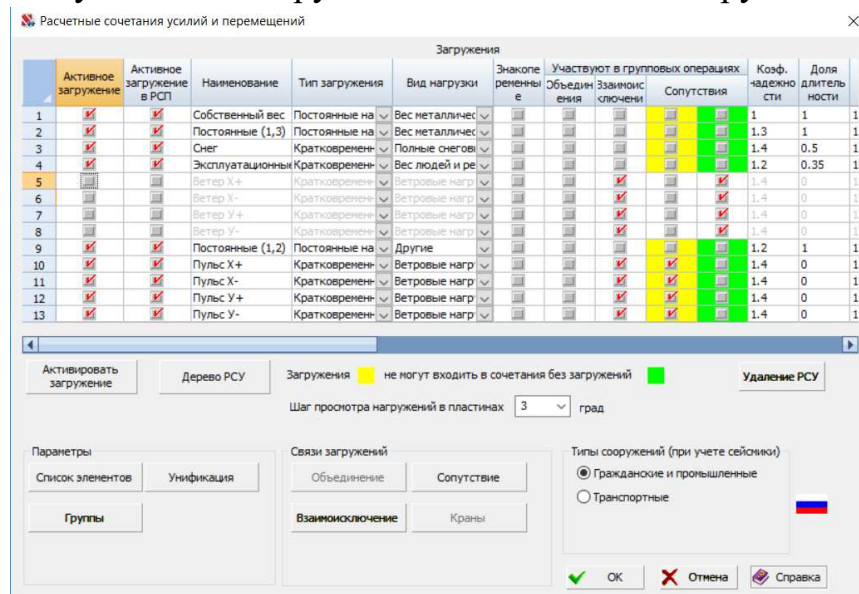


Рисунок 3.3 – Расчетные сочетания усилий и перемещений

3.2.3 Результаты расчета здания в ПК SCAD

На рисунке 3.4 представлены максимальные и минимальные значения перемещения схемы по осям X, Y и Z.

| Выборка величины перемещений от комбинаций | | | | | | |
|--|-----------------------|------|------------|----------------------|-------|------------|
| Наименование | Максимальные значения | | | Минимальные значения | | |
| | Значение | Узел | Комбинация | Значение | Узел | Комбинация |
| X | 1520,713 | 1105 | 3 | -1,678 | 6070 | 4 |
| Y | 1454,181 | 1105 | 5 | -16,444 | 5310 | 3 |
| Z | 29,552 | 5118 | 2 | -124,524 | 11493 | 3 |

Рисунок 3.4 – Выборка величин усилий от комбинаций, мм

Согласно [51] относительное отклонение башни к высоте не должно превышать значения

$$\frac{1}{100} h = \frac{1}{100} \cdot 228500 = 2285 \text{ мм};$$

$$1520,713 \text{ мм} < 2285 \text{ мм}; 1454,181 \text{ мм} < 2285 \text{ мм}.$$

Значения внутренних усилий представлены на рисунках 3.5-3.7.

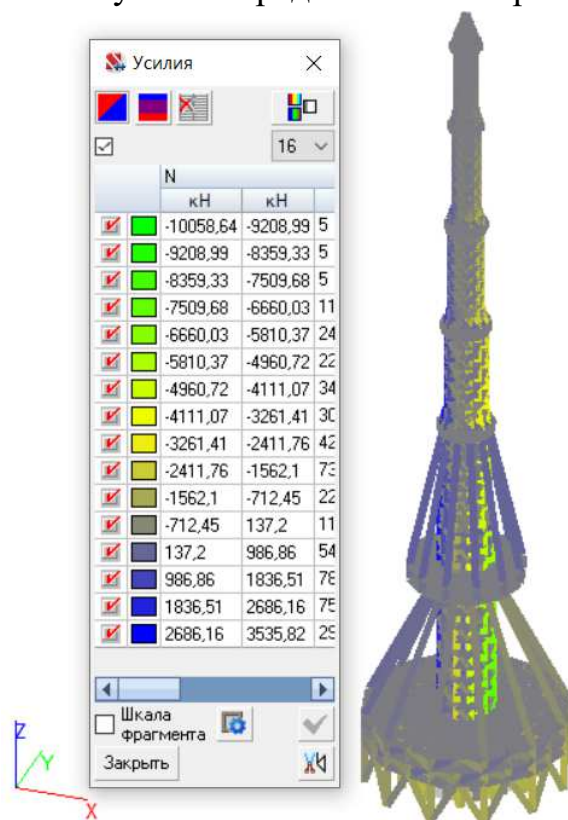


Рисунок 3.5 – Значения продольных усилий N, кН

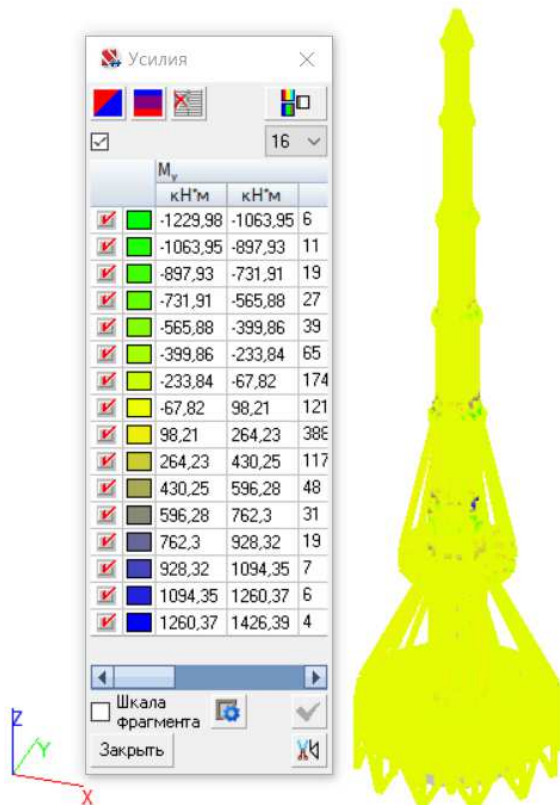


Рисунок 3.6 – Значения изгибающих моментов M_y , кН·м

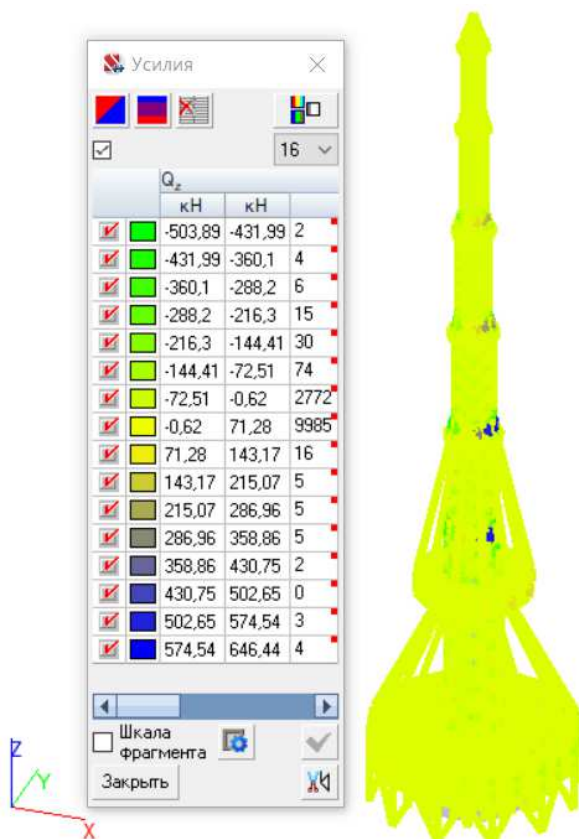


Рисунок 3.7 – Значения поперечных сил, Q_z , кН

3.2.4 Проверка сечений элементов

Проверим наиболее нагруженные сечения.

1) Главная балка кафе Б5

Сечение – нормальный двутавр 60Б1 по ГОСТ Р 57837-2017 .

Длина стержня 8 м.

Максимальное значение изгибающего момента $M=-376,23$ кНм.

Максимальное значение поперечной силы $Q=47,01$ кН.

Проверка прочности по нормальным напряжениям производится по формуле

$$\sigma = \frac{M_{\max}}{W_{xn}} \leq R_y \cdot \gamma_c. \quad (3.10)$$

$$\sigma = \frac{376,23 \cdot 10^3}{0,002305} \cdot 10^{-6} = 163,22 \text{ МПа} < 315 \text{ МПа}, \quad \text{условие выполняется,}$$

прочность по нормальным напряжениям обеспечена.

Проверка прочности по касательным напряжениям у опоры выполняется по формуле

$$\tau = \frac{Q_{\max} \cdot S_x}{I_x \cdot t_w} \leq R_s \cdot \gamma_c \quad (3.11)$$

$$R_s = 0,58 \cdot R_y = 0,58 \cdot 315 = 182,7 \text{ МПа.}$$

$$\tau = \frac{47,01 \cdot 10^3 \cdot 0,001325}{0,0006871 \cdot 0,01} \cdot 10^{-6} = 90,65 \text{ МПа} < 182,7 \text{ МПа.}$$

Условие выполняется, прочность по касательным напряжениям обеспечена.

Проверка жесткости балки выполняется по формуле

$$f_{\max} \leq f_u = \frac{l}{205}. \quad (3.12)$$

$$f_{\max} = 0,027 \text{ м} \leq f_u = \frac{8}{205} = 0,039 \text{ м.}$$

| | | | | | | | | | |
|------|------|----------|---------|------|--|--|--|--|------|
| | | | | | | | | | Лист |
| | | | | | | | | | 30 |
| Изм. | Лист | № докум. | Подпись | Дата | | | | | |

Следовательно, прочность и жесткость балки обеспечены.

2) Стойка 1 яруса

Длина стержня 4 м.

Сечение - труба 1020x22 по ГОСТ 10704-91 из стали 09Г2С.

Максимальное продольное усилие $N=-10058,64$ кН.

Максимальный изгибающий момент $M_x=250,02$ кНм; $M_y=-52,07$ кНм.

Расчет на прочность внецентренно сжатых (сжато-изгибаемых) и внецентренно растянутых (растянуто-изгибаемых) элементов из стали выполняется по формуле

$$\left(\frac{N}{A_n \cdot R_y \cdot \gamma_c} \right)^n + \frac{M_x}{c_x \cdot W_{xn, \min} \cdot R_y \cdot \gamma_c} + \frac{M_y}{c_y \cdot W_{yn, \min} \cdot R_y \cdot \gamma_c} + \frac{B}{W_{\omega n, \min} \cdot R_y \cdot \gamma_c} \leq 1, \quad (3.13)$$

где N, M_x, M_y, B - абсолютные значения соответственно продольной силы, изгибающих моментов и биомомента при наиболее неблагоприятных сочетаниях;

n, c_x, c_y - коэффициенты, принимаемые по [51].

$$\left(\frac{10058,64}{0,06897 \cdot 315 \cdot 10^3 \cdot 1} \right)^{1,5} + \frac{250,02}{1,26 \cdot 0,01684 \cdot 315 \cdot 10^3 \cdot 1} + \frac{52,07}{1,26 \cdot 0,01684 \cdot 315 \cdot 10^3 \cdot 1} = 0,36 \leq 1,$$

Расчет на устойчивость стержней сплошного постоянного коробчатого сечения при сжатии с изгибом в одной или двух плоскостях выполняется по формулам

$$\frac{N}{\varphi_{ey} \cdot A \cdot R_y \cdot \gamma_c} + \frac{M_x}{c_x \cdot \delta_x \cdot W_{x, \min} \cdot R_y \cdot \gamma_c} \leq 1; \quad (3.14)$$

$$\frac{N}{\varphi_{ex} \cdot A \cdot R_y \cdot \gamma_c} + \frac{M_y}{c_y \cdot \delta_y \cdot W_{y, \min} \cdot R_y \cdot \gamma_c} \leq 1, \quad (3.15)$$

где $\varphi_{ey}, \varphi_{ex}$ - коэффициенты устойчивости при сжатии с изгибом.

Коэффициенты δ_x, δ_y определяются по формулам

| | | | | | | |
|------|------|----------|---------|------|----------------|------|
| | | | | | ДП-08.05.01-ПЗ | Лист |
| Изм. | Лист | № докум. | Подпись | Дата | | 31 |

$$\delta_x = 1 - \frac{0,1 \cdot N \cdot \bar{\lambda}_x^2}{A \cdot R_y}; \quad (3.16)$$

$$\delta_y = 1 - \frac{0,1 \cdot N \cdot \bar{\lambda}_y^2}{A \cdot R_y}. \quad (3.17)$$

Подсчитываем гибкость стержня в плоскости и из плоскости

$$\lambda_x = \frac{l_{ef,x}}{i_x} = \frac{4}{0,353} = 11,33;$$

$$\lambda_y = \lambda_x = 11,33.$$

$$\bar{\lambda}_x = \bar{\lambda}_y = \lambda_x \cdot \sqrt{\frac{R_y}{E}} = 11,33 \cdot \sqrt{\frac{315}{2,06 \cdot 10^5}} = 0,443.$$

$$\delta_x = \delta_y = 1 - \frac{0,1 \cdot 10058,64 \cdot 0,443^2}{0,06898 \cdot 315 \cdot 10^3} = 0,991.$$

$$\frac{10058,64}{0,967 \cdot 0,06897 \cdot 315 \cdot 10^3 \cdot 1} + \frac{250,02}{1,26 \cdot 0,991 \cdot 0,01684 \cdot 315 \cdot 10^3 \cdot 1} = 0,516 < 1;$$

$$\frac{10058,64}{0,967 \cdot 0,06897 \cdot 315 \cdot 10^3 \cdot 1} + \frac{52,07}{1,26 \cdot 0,991 \cdot 0,01684 \cdot 315 \cdot 10^3 \cdot 1} = 0,486 < 1.$$

Устойчивость при совместном действии продольной силы и изгибающего момента обеспечена.

3) Раскос 1 яруса

Сечение - труба 355,6x7 по ГОСТ 10704-91 из стали 09Г2С.

Длина стержня 5,4 м.

Максимальное продольное усилие $N = -589,55$ кН.

Расчет на прочность элементов из стали при центральном растяжении и сжатии выполняется по формуле

$$\frac{N}{A_n \cdot R_y \cdot \gamma_c} \leq 1. \quad (3.18)$$

| | | | | | | | | | |
|------|------|----------|---------|------|--|--|--|--|------|
| | | | | | | | | | Лист |
| | | | | | | | | | 32 |
| Изм. | Лист | № докум. | Подпись | Дата | | | | | |

$$\frac{589,55}{0,0077 \cdot 315 \cdot 10^3 \cdot 1} = 0,243 \leq 1.$$

Прочность элемента при сжатии обеспечена.

Расчет на устойчивость при центральном сжатии производится по формуле

$$\frac{N}{\varphi \cdot A_n \cdot R_y \cdot \gamma_c} \leq 1. \quad (3.19)$$

$$\frac{589,55}{0,997 \cdot 0,0077 \cdot 315 \cdot 10^3 \cdot 1} = 0,244 \leq 1.$$

Устойчивость элемента обеспечена.

3.2.5 Конструирование узлов

3.2.5.1 Расчет базы стойки башни

Требуемая площадь плиты базы определяется из условия прочности бетона фундамента при местном сжатии

$$A_{nl}^{треб} = \frac{N}{R_b}, \quad (3.20)$$

где N - продольное усилие в нижнем сечении колонны, кН;
 R_b - расчетное сопротивление бетона при сжатии, кН/м².

$$A_{nl}^{треб} = \frac{10058,64}{14,5 \cdot 10^3} = 0,69 \text{ м}^2 = 6900 \text{ см}^2.$$

Определим необходимую величину свесов

$$c = \sqrt{\frac{A_{nl}^{треб}}{\pi}} - r = \sqrt{\frac{6900}{3,14}} - 51 = 46 - 51 = -5 \text{ см.}$$

Конструктивно принимаем размер свесов равный 20 см.

| | | | | | | |
|------|------|----------|---------|------|----------------|------|
| | | | | | ДП-08.05.01-ПЗ | Лист |
| | | | | | | 33 |
| Изм. | Лист | № докум. | Подпись | Дата | | |

Для крепления плиты к фундаменту принимаем 8 анкерных болтов.

Площадь поперечного сечения болта определяется из условия прочности

$$A_{sa} = \frac{k_0 \cdot P}{R_{ba}}, \quad (3.21)$$

где $k_0=1,05$ для статических нагрузок;

P - расчетная нагрузка, действующая на один болт;

R_{ba} - расчетное сопротивление растяжению анкерных болтов.

Расчетная нагрузка, действующая на один болт, определяется по формуле

$$P = \frac{R_b \cdot b_s \cdot x - N}{n}, \quad (3.22)$$

где R_b - расчетное сопротивление бетона фундамента осевому сжатию, $кН/м^2$;

b_s - ширина опорной плиты базы колонны, $м$;

x - высота сжатой зоны бетона под опорной плитой базы колонны, определяется по формуле 3.3.3;

N - продольная сила в колонне, $кН$;

n - количество болтов.

Высота сжатой зоны бетона определяется по формуле

$$x = l_a - \sqrt{l_a^2 - 2 \cdot N \cdot (e_0 + c) / R_b \cdot b_s}, \quad (3.23)$$

где l_a - расстояние от равнодействующей усилий в болтах до противоположной грани плиты;

e_0 - эксцентриситет приложения нагрузки;

c - расстояние от оси колонны до оси болта.

Высота сжатой зоны ограничивается условием

$$x \leq \xi_R \cdot l_a = 0,64 \cdot 1,32 = 0,84. \quad (3.24)$$

$$\xi_R = \frac{0,85 - 0,008 \cdot R_b}{1 + \frac{R_{ba}}{400} \cdot \left(1 - \frac{0,85 - 0,008 \cdot R_b}{1,1}\right)} = \frac{0,85 - 0,008 \cdot 14,5}{1 + \frac{175}{400} \cdot \left(1 - \frac{0,85 - 0,008 \cdot 14,5}{1,1}\right)} = 0,64 \text{ м.}$$

Высота сжатой зоны бетона равна

$$x = 1,32 - \sqrt{1,32^2 - 2 \cdot 10058,64 \cdot (0 + 0,61) / 14,5 \cdot 10^3 \cdot 1,42} = 0,58 \text{ м.}$$

Тогда расчетная нагрузка, действующая на один болт равна

$$P = \frac{14,5 \cdot 10^3 \cdot 1,42 \cdot 0,58 - 10058,64}{8} = 235,45 \text{ кН.}$$

Тогда требуемая площадь поперечного сечения равна

$$A_{sa} = \frac{1,05 \cdot 235,45}{175 \cdot 10^3} \cdot 10^4 = 14,13 \text{ см}^2.$$

Принимаем глухие анкерные болты с анкерной плиткой диаметром $d=48$ мм, площадью поперечного сечения $A_{sa}=19,72 \text{ см}^2$. Максимальная глубина заделки $H = 25d = 25 \cdot 0,048 = 1,2 \text{ м}$, наименьшее расстояние между болтами $6d = 6 \cdot 0,048 = 0,384 \text{ м}$, наименьшее расстояние от оси болта до грани фундамента $4d = 4 \cdot 0,048 = 0,192 \text{ м}$.

Фактическая площадь плиты равна

$$A_{пл}^{факт} = \pi \cdot R^2 = 3,14 \cdot 71^2 = 15828,74 \text{ см}^2 > A_{пл}^{треб} = 6900 \text{ см}^2.$$

Среднее напряжение в бетоне под плитой базы равно

$$\sigma_\phi = \frac{N}{A_{пл}^{факт}} = \frac{10058,64}{15828,74} = 0,635 \text{ кН / см}^2 < R_b = 1,45 \text{ кН / см}^2.$$

Величина изгибающего момента в защемлении консольного свеса ПЛИТЫ

| | | | | | | | | | | | |
|------|------|----------|---------|------|--|--|--|--|--|--|------|
| | | | | | | | | | | | Лист |
| | | | | | | | | | | | 35 |
| Изм. | Лист | № докум. | Подпись | Дата | | | | | | | |

$$M_k = \frac{\sigma_{\phi} \cdot c^2}{2} = \frac{0,635 \cdot 20^2}{2} = 127 \text{ кН} \cdot \text{см} / \text{см}.$$

Принимаем для плиты сталь 10Г2С1 по ГОСТ 19282-73 при $\delta = 33 - 60 \text{ мм}$ $R_y = 310 \text{ МПа} = 31 \text{ кН} / \text{см}^2$, тогда толщина плиты равна

$$\delta = \sqrt{\frac{6 \cdot M}{R_y}} = \sqrt{\frac{6 \cdot 127}{31}} = 4,95 \text{ см}, \text{ принимаем } \delta = 5 \text{ см}.$$

Крепление колонну к плите производится с помощью восьми ребер. Длина ребер должна удовлетворять условию

$$l_p \geq 0,5 \cdot d_T = 0,5 \cdot 1020 = 510 \text{ мм}.$$

Принимаем длину ребер 550 мм.

Материал ребер жесткости - сталь марки 09Г2С. Толщина ребер жесткости не должна превышать 1,2 толщины элементов основного профиля. Принимаем толщину ребер $t_p = 25 \text{ мм}$. Ширину ребер принимаем равной $b_p = 200 \text{ мм}$.

Катеты сварных швов принимаем равными $k_f = 10 \text{ мм}$, сварка механизированная проволокой марки Св-08Г2С, расчетное сопротивление угловых швов срезу по металлу шва и по металлу границы сплавления соответственно

$$R_{wf} = \frac{0,55 \cdot R_{wm}}{\gamma_{wm}} = \frac{0,55 \cdot 490}{1,25} = 215,6 \text{ МПа},$$

$$R_{wz} = 0,45 \cdot R_{un} = 0,45 \cdot 490 = 220,5 \text{ МПа}.$$

Определим длину сварных швов для крепления ребер к трубе и трубы к плите

$$l_w = 0,2 \cdot 2 \cdot 8 + 2 \cdot 3,14 \cdot 0,51 = 6,4 \text{ м}.$$

Проверку прочности сварных швов выполняем по металлу шва, т.к.

$$\frac{\beta_f \cdot R_{wf}}{\beta_z \cdot R_{wz}} = \frac{1,1 \cdot 215,6}{1,15 \cdot 220,5} = 0,93 < 1.$$

| | | | | | | | |
|------|------|----------|---------|------|--|----------------|------|
| | | | | | | ДП-08.05.01-ПЗ | Лист |
| Изм. | Лист | № докум. | Подпись | Дата | | | 36 |

Проверка прочности сварных швов по металлу шва выполняется по формуле

$$\frac{N}{\beta_f \cdot k_f \cdot l_w \cdot R_{wf} \cdot \gamma_c} = \frac{10058,64 \cdot 10^3}{1,1 \cdot 0,01 \cdot 6,4 \cdot 312 \cdot 10^6 \cdot 1,1} = 0,42 < 1.$$

Условие выполняется, прочность сварных швов обеспечена.

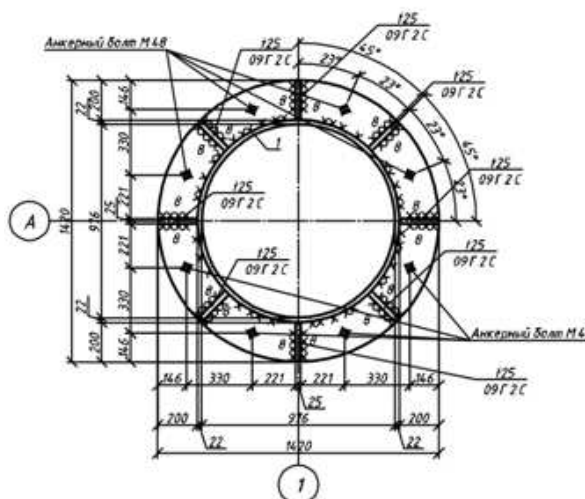


Рисунок 3.8 – База стойки 1 яруса

3.2.5.2 Соединение элементов 1 яруса башни

1. Фланцевое соединение стоек яруса

Профиль присоединяемых элементов - электросварная прямошовная труба 1020x22 мм по ГОСТ 10704-91 из стали марки 09Г2С с расчетным сопротивлением стали растяжению по пределу текучести $R_y=315$ МПа и с расчетным сопротивлением стали растяжению по временному сопротивлению $R_u=460$ МПа, площадь сечения трубы $A=68976,807$ мм².

Усилия растяжения, действующее на соединение $N=-9572,78$ кН.

Поперечное усилие, действующее на соединение $Q=43,32$ кН.

Материал фланца - сталь марки С390 с расчетным сопротивлением растяжению по пределу текучести $R_y=380$ МПа и нормативным сопротивлением по пределу текучести $R_{yn}=390$ МПа, расчетное сопротивление стали фланца растяжению в направлении толщины проката $R_{th} = 0,5 \cdot R_{yn} / \gamma_m = 0,5 \cdot 390 / 1,05 = 185,714$ МПа. Толщина фланца $t=25$ мм.

| | | | | | | | | | | |
|------|------|----------|---------|------|--|--|--|--|--|------|
| | | | | | | | | | | Лист |
| | | | | | | | | | | 37 |
| Изм. | Лист | № докум. | Подпись | Дата | | | | | | |

Болты высокопрочные М42, расчетное усилие, которое может быть воспринято одним болтом, в зависимости от вида напряженного состояния определяется по формулам

- при растяжении

$$N_{bt} = R_{bt} \cdot A_{bn} \cdot \gamma_c, \quad (3.25)$$

- при срезе

$$N_{bs} = R_{bs} \cdot A_b \cdot n_s \cdot \gamma_b \cdot \gamma_c, \quad (3.26)$$

- при смятии

$$N_{bp} = R_{bp} \cdot d_b \cdot \sum t \cdot \gamma_b \cdot \gamma_c, \quad (3.27)$$

где R_{bt} , R_{bs} , R_{bp} - расчетные сопротивления одноболтовых соединений;

A_b , A_{bn} - площади сечений стержня болта брутто и резьбовой части нетто соответственно;

n_s - число расчетных срезов одного болта;

d_b - наружный диаметр стержня болта;

$\sum t$ - наименьшая суммарная толщина соединяемых элементов, сминаемых в одном направлении;

γ_b - коэффициент условий работы болтового соединения;

γ_c - коэффициент условий работы.

Расчетное усилие, воспринимаемое болтом при растяжении

$$N_{bt} = 455 \cdot 11,2 \cdot 10^2 \cdot 1,1 = 509600 \text{ Н} = 639,6 \text{ кН}.$$

Расчетное усилие, воспринимаемое болтом при срезе

$$N_{bs} = 416 \cdot 13,85 \cdot 10^2 \cdot 1 \cdot 1 \cdot 1,1 = 633776 \text{ Н} = 643,78 \text{ кН}.$$

Расчетное усилие, воспринимаемое болтом при смятии

$$N_{bp} = 605 \cdot 42 \cdot 50 \cdot 1 \cdot 1,1 = 1397550 \text{ Н} = 1397,55 \text{ кН}.$$

Прочность фланцевого соединения элементов замкнутого профиля считается обеспеченной, если

| | | | | | | |
|------|------|----------|---------|------|----------------|------|
| | | | | | ДП-08.05.01-ПЗ | Лист |
| | | | | | | 38 |
| Изм. | Лист | № докум. | Подпись | Дата | | |

$$N \leq n \cdot N_{bt}, \quad (3.28)$$

где n - количество болтов в соединении.

Из этого условия определим необходимое количество болтов в соединении

$$n \geq \frac{N}{N_{bt}} = \frac{9572,78}{639,6} = 14,97 \text{ шт.}$$

Количество болтов в соединении принимаем $n = 15 \text{ шт.}$

Прочность фланцевого соединения при работе на растяжение

$$N \leq n \cdot N_{bt} = 20 \cdot 509,6 = 10192 \text{ кН} > N = 9572,78 \text{ кН.}$$

Условие выполняется, прочность при работе на растяжение обеспечена.

Прочность фланцевого соединения при работе на срез

$$N \leq n \cdot N_{bs} = 20 \cdot 633,78 = 12675,6 > N = 9572,78 \text{ кН.}$$

Условие выполняется, прочность при работе на срез обеспечена.

Прочность фланцевого соединения при работе на смятие

$$N \leq n \cdot N_{bp} = 18 \cdot 1397,55 = 25155,9 \text{ кН} > N = 9572,78 \text{ кН.}$$

Условие выполняется, прочность при работе на смятие обеспечена.

Болты располагаем как можно ближе к элементам присоединяемого профиля, при этом расстояние от профиля должно быть не менее

$$c = k_f + d_s / 2 + 2 = 10 + 78 / 2 + 2 = 49 \text{ мм,}$$

где d_s - наружный диаметр шайбы, мм.

Принимаем расстояние от профиля до болта 50 мм.

Расстояние от болта до края фланца должно быть не менее

$$a = 2 \cdot d = 2 \cdot 42 = 84 \text{ мм.}$$

Принимаем расстояние от болта до края фланца 90 мм.

Определяем диаметр риски болтов

$$d_o = d_T + 2 \cdot 50 = 1020 + 100 = 1120 \text{ мм.}$$

Определяем диаметр фланца

| | | | | | | | | | | |
|------|------|----------|---------|------|--|--|--|--|--|------|
| | | | | | | | | | | Лист |
| | | | | | | | | | | 39 |
| Изм. | Лист | № докум. | Подпись | Дата | | | | | | |

$$d_{\phi} = d_{\sigma} + 2 \cdot 90 = 1120 + 180 = 1300 \text{ мм.}$$

При принятом количестве болтов в соединении минимальное количество ребер жесткости $n_p = 5$ шт. Угол между радиальными осями ребер – 72° , угол между радиальными осями болтов – 18° .

Длина ребер должна удовлетворять условию

$$l_p \geq 0,5 \cdot d_T = 0,5 \cdot 1020 = 510 \text{ мм.}$$

Принимаем длину ребер 550 мм.

Материал ребер жесткости - сталь марки 09Г2С. Толщина ребер жесткости не должна превышать 1,2 толщины элементов основного профиля. Принимаем толщину ребер $t_p = 25$ мм. Ширина ребер определяется разностью радиусов фланцев и труб $b_p = 1300 - 1020 = 280$ мм.

Катеты сварных швов принимаем равными $k_f = 10$ мм, сварка механизированная проволокой марки Св-08Г2С, расчетное сопротивление угловых швов срезу по металлу шва и по металлу границы сплавления соответственно

$$R_{wf} = \frac{0,55 \cdot R_{wm}}{\gamma_{wm}} = \frac{0,55 \cdot 490}{1,25} = 215,6 \text{ МПа,}$$

$$R_{wz} = 0,45 \cdot R_{un} = 0,45 \cdot 490 = 220,5 \text{ МПа.}$$

Определим длину сварных швов

$$l_w = \pi \cdot d_T + 2 \cdot n_p \cdot (a + c) - 10 = 3,14 \cdot 1020 + 2 \cdot 5 \cdot (90 + 50) = 4602,8 \text{ мм.}$$

Проверку прочности сварных швов выполняем по металлу шва, т.к.

$$\frac{\beta_f \cdot R_{wf}}{\beta_z \cdot R_{wz}} = \frac{1,1 \cdot 215,6}{1,15 \cdot 220,5} = 0,93 < 1.$$

Проверка прочности сварных швов по металлу шва выполняется по формуле

| | | | | | | |
|------|------|----------|---------|------|----------------|------|
| | | | | | ДП-08.05.01-ПЗ | Лист |
| | | | | | | 40 |
| Изм. | Лист | № докум. | Подпись | Дата | | |

$$\frac{N}{\beta_f \cdot k_f \cdot l_w \cdot R_{wf} \cdot \gamma_c} = \frac{3539,8 \cdot 10^3}{1,1 \cdot 0,01 \cdot 4,6 \cdot 215,6 \cdot 10^6 \cdot 1,1} = 0,32 < 1.$$

Условие выполняется, прочность сварных швов обеспечена.

2. Сопряжение стоек яруса с распорками и раскосами

Профили присоединяемых элементов: стойка - электросварная прямошовная труба 1020x22 мм; распорка - электросварная прямошовная труба 377x9 мм; раскос - электросварная прямошовная труба 355,6x7 мм по ГОСТ 10704-91 из стали марки 09Г2С с расчетным сопротивлением стали растяжению по пределу текучести $R_y=315$ МПа.

Катеты сварных швов принимаем равными $k_f=10$ мм, сварка механизированная проволокой марки Св-08Г2С, расчетное сопротивление угловых швов срезу по металлу шва и по металлу границы сплавления соответственно

$$R_{wf} = \frac{0,55 \cdot R_{wun}}{\gamma_{wun}} = \frac{0,55 \cdot 490}{1,25} = 215,6 \text{ МПа},$$

$$R_{wz} = 0,45 \cdot R_{un} = 0,45 \cdot 490 = 220,5 \text{ МПа}.$$

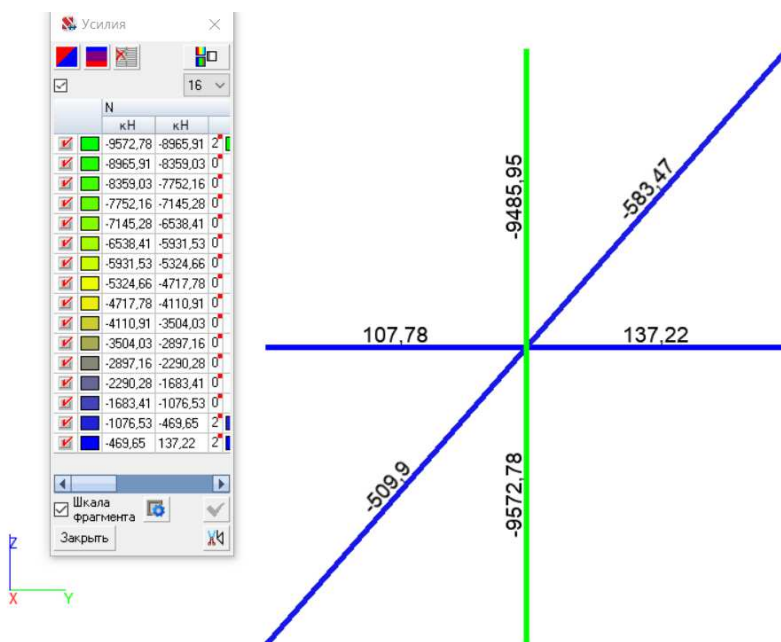


Рисунок 3.9 – Распределение продольных усилий в рассматриваемом узле N, кН

Расчет сварных соединений в прикреплениях впритык к другим деталям с цилиндрической или плоской поверхностью при действии продольной силы выполняется по формулам

$$N \leq 0,85 \cdot (S_{wh} + S_{wt}); \quad (3.29)$$

$$N \leq 2 \cdot S_{wh}; \quad (3.30)$$

$$N \leq 2 \cdot S_{wt}, \quad (3.31)$$

где S_{wh} и S_{wt} - несущая способность соответственно пяточной и носковой частей сварного шва, определяемые по формулам 3.32 и 3.33.

$$S_{wh} = (t_d \cdot t_{wah} \cdot R_{wy} + k_f \cdot l_{wfh} \cdot R_{wd}) \cdot \gamma_c; \quad (3.32)$$

$$S_{wt} = (t_d \cdot t_{wat} \cdot R_{wy} + k_f \cdot l_{wft} \cdot R_{wd}) \cdot \gamma_c, \quad (3.33)$$

где R_{wy} - расчетное сопротивление сварного стыкового соединения растяжению или сжатию;

R_{wd} - меньшее из двух значений $0,7 R_{wf}$ или R_{wz} ;

R_{wf} и R_{wz} - расчетные сопротивления углового шва срезу соответственно по металлу шва и по металлу границы сплавления;

t_d - толщина стенки прикрепляемой трубы;

k_f - катет углового шва;

t_{wah} и t_{wat} - суммарные длины участков шва, рассматриваемых как стыковые швы, соответственно в пяточной и носковой частях шва;

l_{wfh} и l_{wft} - суммарные длины участков шва, рассматриваемых как угловые швы, соответственно в пяточной и носковой частях шва.

Определим несущую способность пяточной и носковой частей сварного шва, прикрепляющего распорки к стойке

$$S_{wh} = (0,009 \cdot 0,574 \cdot 315 \cdot 10^3 + 0,01 \cdot 0 \cdot 150,92) \cdot 1 = 1630 \text{ кН};$$

$$S_{wt} = (0,009 \cdot 0,538 \cdot 315 \cdot 10^3 + 0,01 \cdot 0 \cdot 150,92) \cdot 1 = 1520 \text{ кН}.$$

Проверим прочность сварных швов при креплении распорок к стойке

| | | | | | | | | | | |
|------|------|----------|---------|------|--|--|--|--|--|------|
| | | | | | | | | | | Лист |
| | | | | | | | | | | 42 |
| Изм. | Лист | № докум. | Подпись | Дата | | | | | | |

$$N_1 = 107,78 \text{ кН} < 0,85 \cdot (S_{wh} + S_{wt}) = 0,85 \cdot (1630 + 1520) = 2677,5 \text{ кН};$$

$$N_2 = 137,22 \text{ кН} < 0,85 \cdot (S_{wh} + S_{wt}) = 0,85 \cdot (1630 + 1520) = 2677,5 \text{ кН};$$

$$N_1 = 107,78 \text{ кН} < 2 \cdot S_{wh} = 2 \cdot 1630 = 3260 \text{ кН};$$

$$N_2 = 137,22 \text{ кН} < 2 \cdot S_{wh} = 2 \cdot 1630 = 3260 \text{ кН};$$

$$N_1 = 107,78 \text{ кН} < 2 \cdot S_{wt} = 2 \cdot 1520 = 3040 \text{ кН};$$

$$N_2 = 137,22 \text{ кН} < 2 \cdot S_{wt} = 2 \cdot 1520 = 3040 \text{ кН}.$$

Прочность сварных швов обеспечена.

Определим несущую способность пяточной и носковой частей сварного шва, прикрепляющего распорки к стойке

$$S_{wh} = (0,007 \cdot 0,717 \cdot 315 \cdot 10^3 + 0,01 \cdot 0 \cdot 150,92) \cdot 1 = 1580 \text{ кН};$$

$$S_{wt} = (0,007 \cdot 0,649 \cdot 315 \cdot 10^3 + 0,01 \cdot 0 \cdot 150,92) \cdot 1 = 1431 \text{ кН}.$$

Проверим прочность сварных швов при креплении раскосов к стойке

$$N_1 = 583,47 \text{ кН} < 0,85 \cdot (S_{wh} + S_{wt}) = 0,85 \cdot (1580 + 1431) = 2559,3 \text{ кН}$$

$$N_2 = 509,9 \text{ кН} < 0,85 \cdot (S_{wh} + S_{wt}) = 0,85 \cdot (1580 + 1431) = 2559,3 \text{ кН}$$

$$N_1 = 583,47 \text{ кН} < 2 \cdot S_{wh} = 2 \cdot 1580 = 3160 \text{ кН};$$

$$N_2 = 509,9 \text{ кН} < 2 \cdot S_{wh} = 2 \cdot 1580 = 3160 \text{ кН};$$

$$N_1 = 583,47 \text{ кН} < 2 \cdot S_{wt} = 2 \cdot 1431 = 2862 \text{ кН};$$

$$N_2 = 509,9 \text{ кН} < 2 \cdot S_{wt} = 2 \cdot 1431 = 2862 \text{ кН}.$$

Прочность швов обеспечена.

Расчет узла решетчатой трубчатой конструкции, состоящего из одного не прерывающегося в узле трубчатого элемента и n примыкающих элементов, необходимо рассчитать на местный изгиб стенки стойки для каждого j -го элемента по формулам

| | | | | | | |
|------|------|----------|---------|------|----------------|------|
| | | | | | ДП-08.05.01-ПЗ | Лист |
| | | | | | | 43 |
| Изм. | Лист | № докум. | Подпись | Дата | | |

$$\left| \sum_{i=1}^n \varepsilon_{ij} \cdot \mu_i \cdot N_i \cdot \frac{\sin \alpha_i}{\psi_i} \right| \leq \gamma_{Dj} \cdot S; \quad (3.34)$$

$$|N_j| \cdot \frac{\sin \alpha_j}{\psi_j} \leq 2S, \quad (3.35)$$

где i – номер примыкающего элемента;

j – номер рассматриваемого примыкающего элемента;

N_i или N_j - продольная сила в примыкающем элементе принимаемая с учетом знака;

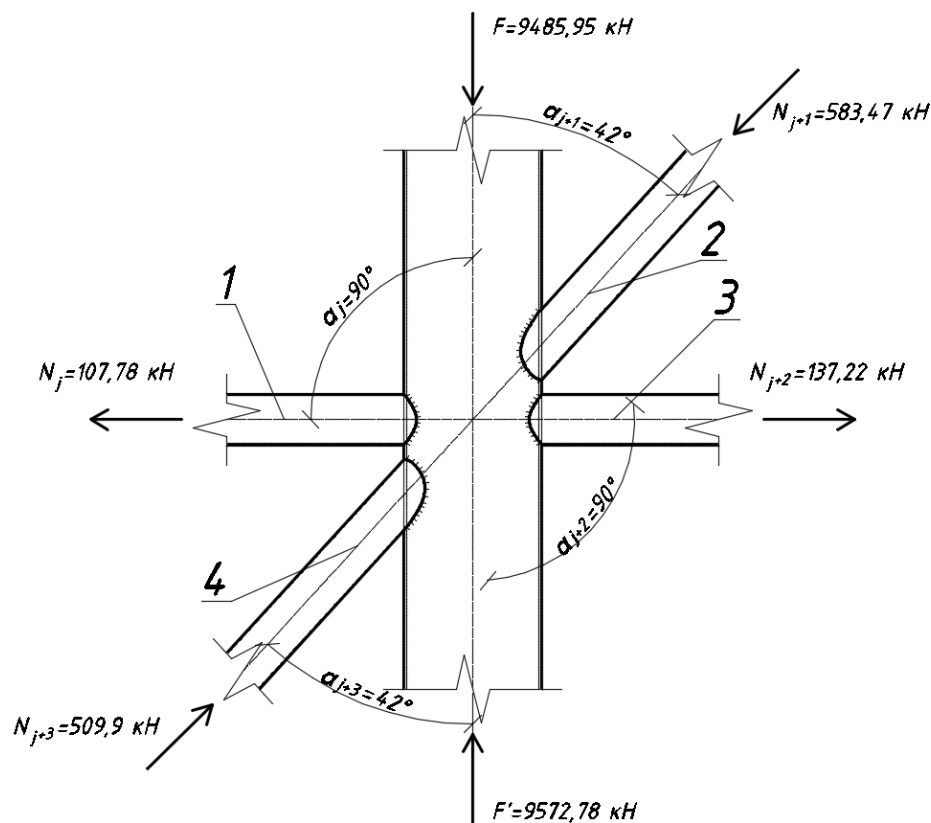
μ_i - коэффициент при $i = j$ определяемый по формуле 3.31, в остальных случаях $\mu_i = 1$;

γ_{Dj} - коэффициент влияния продольной силы в стойке при сжатии, определяемый по формуле 3.32, в остальных случаях равен 1;

S - характеристика несущей способности стойки, определяемая по формуле 3.33;

ε_{ij} - коэффициент влияния расположения каждого из смежных i -х примыкающих элементов по отношению к рассматриваемому j -му элементу;

ψ_i - коэффициент определяемый по формуле 3.34.



| | | | | |
|------|------|----------|---------|------|
| Изм. | Лист | № докум. | Подпись | Дата |
| | | | | |

ДП-08.05.01-ПЗ

Лист

44

Рисунок 3.10 – Расчетная схема узла для расчета на местный изгиб стенки стойки

$$\mu_i = \mu_j = \frac{\gamma_{dj}}{\gamma_{zj}} + \frac{1}{N_j} \cdot \left(\frac{1,7 \cdot M_j}{l_{zj} \cdot \sin \alpha_j} + \frac{2,5 \cdot M'_j}{b_j} \right), \quad (3.36)$$

где γ_{dj} - коэффициент влияния знака усилия в рассматриваемом примыкающем элементе, принимаемый равным 0,8 при растяжении и 1 – в остальных случаях;

l_{zj} - длина участка примыкания (от носка до пятки) рассматриваемого элемента (для трубчатых элементов $l_{zj} = d_j / \sin \alpha_j$);

γ_{zj} - коэффициент влияния длины примыкания рассматриваемого элемента, для цилиндрического примыкания равен 1;

M_j, M'_j - изгибающие моменты от основного воздействия в рассматриваемом элементе в сечении, проходящем через точку пересечения оси этого элемента с образующей пояса, соответственно в плоскости и из плоскости узла;

b_j - ширина примыкающего элемента.

$$\gamma_{Dj} = 1 - 0,5 \cdot \left(\frac{F_j}{A \cdot R_y} \right)^2, \quad (3.37)$$

где F_j - наибольшее значение продольной силы в стойке от носка до пятки рассматриваемого примыкающего элемента;

A - площадь сечения стойки.

$$S = 13 \cdot (1 + 0,02 \cdot \delta) \cdot t^2 \cdot R_y \cdot \gamma_c, \quad (3.38)$$

где δ - тонкостенность стойки;

t - толщина стенки стойки;

γ_c - коэффициент условий работы.

$$S = 13 \cdot \left(1 + 0,02 \cdot \frac{1020}{22} \right) \cdot 0,022^2 \cdot 315 \cdot 10^3 \cdot 1 = 3819,82 \text{ кН}.$$

$$\psi_i = \arcsin \beta_{wi}, \quad (3.39)$$

где β_{wi} - коэффициент определяемый по формуле 3.34.

$$\beta_{wi} = \frac{b_{wi}}{D}, \quad (3.40)$$

где b_{wi} - ширина охвата стойки примыкающими элементами между кромками сварного шва.

Для распорки

$$\beta_{wi} = \frac{0,377}{1,02} = 0,369.$$

$$\psi_i = \arcsin 0,369 = 21,65^\circ.$$

Для раскоса

$$\beta_{wi} = \frac{0,3556}{1,02} = 0,349.$$

$$\psi_i = \arcsin 0,349 = 20,42^\circ.$$

Результаты расчета на местный изгиб стенки стойки приведен в таблице 3.5.

Таблица 3.5 – Результаты расчета на местный изгиб стенки стойки

| i | $\sum_{i=1}^n \varepsilon_{ij} \cdot \mu_i \cdot N_i \cdot \frac{\sin \alpha_i}{\psi_i}$ | $\gamma_{Dj} \cdot S$ | j | $ N_j \cdot \frac{\sin \alpha_j}{\psi_j}$ | $2S$ |
|-----|--|-----------------------|-----|--|---------|
| 1 | 9,79 | 3449,3 | 1 | 4,98 | 7639,64 |
| 2 | 57,07 | | 2 | 19,12 | |
| 3 | 8,85 | | 3 | 6,33 | |
| 4 | 35,36 | | 4 | 16,71 | |

Условия 3.29 и 3.30 выполняются, прочность стенки стойки на местный изгиб обеспечена.

3.2.5.3 Узел примыкания ванта В2 к колонне стойке 1 яруса

Максимальное расчетное значение продольной растягивающей силы в канате составляет $N=686,45$ кН.

Канат закрытого типа диаметром 72 мм по ТУ 14-4-1216-82. Минимальное разрывное усилие каната $P=4729$ кН. Площадь поперечного сечения каната $A_k=3631$ мм².

Расчетное сопротивление каната составляет

$$R_k = k \cdot \frac{P}{A_k \cdot \gamma_m} = 0,87 \cdot \frac{4729}{0,003631} = 1133 \text{ МПа},$$

где k - коэффициент агрегатной прочности витого каната, для закрытого несущего каната при кратности свивки – 6, составляет 0,87;

γ_m - коэффициент, равный 1,6.

Условие прочности каната

$$\frac{N}{A_k} \leq R_k \cdot m \cdot m_1, \quad (3.41)$$

где $m=0,9$ – коэффициент условий работы;

$m_1=1$ – коэффициент условий работы каната.

$$\frac{686,45}{0,003631} = 189 \text{ МПа} \leq 1133 \cdot 0,9 \cdot 1 = 1019,7 \text{ МПа. Условие выполняется,}$$

прочность каната обеспечена.

Принимаем толщину накладки для крепления ванта к трубе $t_n=12$ мм, катет сварных швов $k_f=10$ мм, болты для крепления регулировочного звена М36.

Определим необходимую длину сварных швов для крепления накладки к трубе из условия

$$\frac{N}{\beta_f \cdot k_f \cdot l_w \cdot R_{wf} \cdot \gamma_c} \leq 1. \quad (3.42)$$

Тогда длина сварного шва должна быть не менее

$$l_w \geq \frac{N}{\beta_f \cdot k_f \cdot R_{wf} \cdot \gamma_c} = \frac{686,45}{1,1 \cdot 0,01 \cdot 215,6 \cdot 10^3 \cdot 1,1} = 0,263 \text{ м} = 263 \text{ мм.}$$

Определим количество болтов для крепления регулировочного звена ванта при работе на срез. Расчетное усилие, которое может быть воспринято одним болтом при работе на срез составляет

$$N_{bs} = R_{bs} \cdot A_b \cdot n_s \cdot \gamma_b \cdot \gamma_c = 416 \cdot 10^6 \cdot 10,17 \cdot 10^{-4} \cdot 1 \cdot 1 \cdot 0,9 = 380,76 \text{ кН.}$$

Необходимое количество болтов

| | | | | | | | | | | |
|------|------|----------|---------|------|--|--|--|--|--|------|
| | | | | | | | | | | Лист |
| | | | | | | | | | | 47 |
| Изм. | Лист | № докум. | Подпись | Дата | | | | | | |

$$x = 0,539 - \sqrt{0,539^2 - 2 \cdot 1395,66 \cdot (0 + 0,39) / 14,5 \cdot 10^3 \cdot 0,93} = 0,112 \text{ м.}$$

Тогда расчетная нагрузка, действующая на один болт равна

$$P = \frac{14,5 \cdot 10^3 \cdot 0,93 \cdot 0,112 - 1396,6}{2} = 56,86 \text{ кН.}$$

Тогда требуемая площадь поперечного сечения равна

$$A_{sa} = \frac{1,05 \cdot 56,86}{185 \cdot 10^3} \cdot 10^4 = 3,22 \text{ см}^2.$$

Принимаем глухие анкерные болты с анкерной плиткой диаметром $d=24$ мм, площадью поперечного сечения $A_{sa} = 3,52 \text{ см}^2$. Максимальная глубина заделки $H = 25d = 25 \cdot 0,024 = 0,6$ м, наименьшее расстояние между болтами $6d = 6 \cdot 0,024 = 0,144$ м, наименьшее расстояние от оси болта до грани фундамента $4d = 4 \cdot 0,024 = 0,096$ м.

Исходя из условия расстановки болтов, увеличим величину свесов до 20 мм.

Фактическая площадь плиты равна

$$A_{пл}^{факт} = \pi \cdot R^2 = 3,14 \cdot 46,5^2 = 6789,4 \text{ см}^2 > A_{пл}^{треб} = 960 \text{ см}^2.$$

Среднее напряжение в бетоне под плитой базы равно

$$\sigma_{\phi} = \frac{N}{A_{пл}^{факт}} = \frac{1395,66}{6789,4} = 0,205 \text{ кН / см}^2 < R_b = 1,45 \text{ кН / см}^2.$$

Величина изгибающего момента в заземлении консольного свеса плиты

$$M_k = \frac{\sigma_{\phi} \cdot c^2}{2} = \frac{0,205 \cdot 20^2}{2} = 23,06 \text{ кН} \cdot \text{см} / \text{см.}$$

Принимаем для плиты сталь 10Г2С1 по ГОСТ 19282-73 при $\delta = 20 - 32$ мм $R_y = 325 \text{ МПа} = 32,5 \text{ кН / см}^2$, тогда толщина плиты равна

| | | | | | | |
|------|------|----------|---------|------|----------------|------|
| | | | | | ДП-08.05.01-ПЗ | Лист |
| Изм. | Лист | № докум. | Подпись | Дата | | 51 |

$$\delta = \sqrt{\frac{6 \cdot M}{R_y}} = \sqrt{\frac{6 \cdot 23,06}{32,5}} = 2,06 \text{ см}, \text{ принимаем } \delta = 2,5 \text{ см}.$$

Крепление СТ1 к плите производится с помощью четырех ребер. Длина ребер должна удовлетворять условию

$$l_p \geq 0,5 \cdot d_T = 0,5 \cdot 630 = 315 \text{ мм}.$$

Принимаем длину ребер 350 мм.

Материал ребер жесткости - сталь марки 09Г2С. Толщина ребер жесткости не должна превышать 1,2 толщины элементов основного профиля. Принимаем толщину ребер $t_p=8$ мм. Ширину ребер принимаем равной $b_p=150$ мм.

Катеты сварных швов принимаем равными $k_f=5$ мм, сварка механизированная проволокой марки Св-08Г2С, расчетное сопротивление угловых швов срезу по металлу шва и по металлу границы сплавления соответственно

$$R_{wf} = \frac{0,55 \cdot R_{wm}}{\gamma_{wm}} = \frac{0,55 \cdot 490}{1,25} = 215,6 \text{ МПа},$$

$$R_{wz} = 0,45 \cdot R_{un} = 0,45 \cdot 490 = 220,5 \text{ МПа}.$$

Определим длину сварных швов для крепления ребер к трубе и трубы к плите

$$l_w = 0,15 \cdot 2 \cdot 4 + 2 \cdot 3,14 \cdot 0,315 = 3,2 \text{ м}.$$

Проверку прочности сварных швов выполняем по металлу шва, т.к.

$$\frac{\beta_f \cdot R_{wf}}{\beta_z \cdot R_{wz}} = \frac{1,1 \cdot 215,6}{1,15 \cdot 220,5} = 0,93 < 1.$$

Проверка прочности сварных швов по металлу шва выполняется по формуле

$$\frac{N}{\beta_f \cdot k_f \cdot l_w \cdot R_{wf} \cdot \gamma_c} = \frac{1395,66 \cdot 10^3}{1,1 \cdot 0,005 \cdot 3,2 \cdot 312 \cdot 10^6 \cdot 1,1} = 0,23 < 1.$$

| | | | | | | | | | | | |
|------|------|----------|---------|------|--|--|--|--|--|--|------|
| | | | | | | | | | | | Лист |
| | | | | | | | | | | | 52 |
| Изм. | Лист | № докум. | Подпись | Дата | | | | | | | |

Условие выполняется, прочность сварных швов обеспечена.

Профиль соединяемых элементов: СТ1 - электросварная прямошовная труба 630x7 мм, Р2 - электросварная прямошовная труба 478x5,5 мм по ГОСТ 10704-91 из стали марки 09Г2С с расчетным сопротивлением стали растяжению по пределу текучести $R_y=315 \text{ МПа}$.

Расчет сварных соединений в прикреплениях впритык к другим деталям с цилиндрической или плоской поверхностью при действии продольной силы выполняется по формулам 3.29-3.31

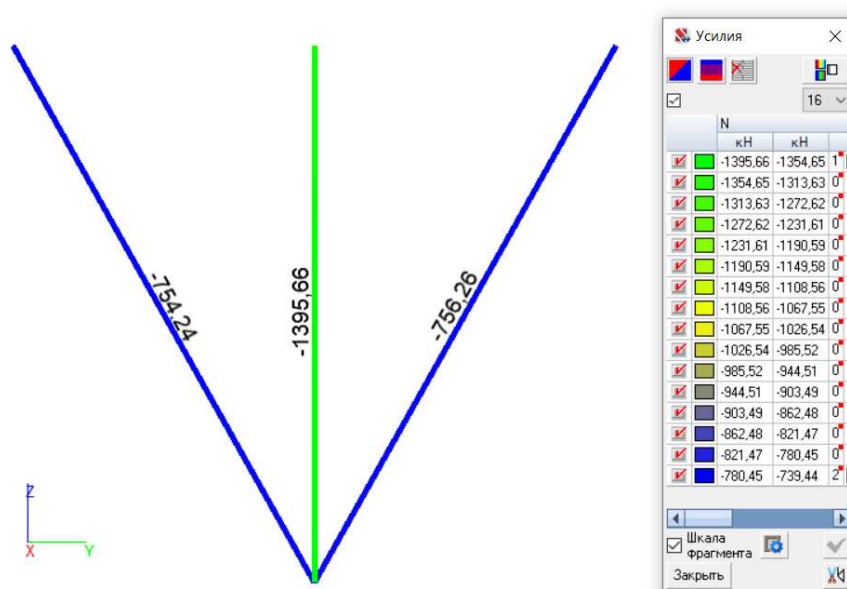


Рисунок 3.13 – Распределение усилий в узле

Определим несущую способность пяточной и носковой частей сварного шва, прикрепляющего Р2 к СТ1

$$S_{wh} = (0,0055 \cdot 0,217 \cdot 315 \cdot 10^3 + 0,005 \cdot 1,230 \cdot 150,92 \cdot 10^3) \cdot 1 = 1304,1 \text{ кН};$$

$$S_{wt} = (0,0055 \cdot 0,280 \cdot 315 \cdot 10^3 + 0,005 \cdot 0,42 \cdot 150,92) \cdot 1 = 802,03 \text{ кН}.$$

Проверим прочность сварных швов при креплении распорок к стойке

$$N_1 = 754,24 \text{ кН} < 0,85 \cdot (S_{wh} + S_{wt}) = 0,85 \cdot (1304,1 + 802,03) = 1790,21 \text{ кН}$$

$$N_2 = 756,26 \text{ кН} < 0,85 \cdot (S_{wh} + S_{wt}) = 0,85 \cdot (1304,1 + 802,03) = 1790,21 \text{ кН}$$

$$N_1 = 754,24 \text{ кН} < 2 \cdot S_{wh} = 2 \cdot 1304,1 = 2608,2 \text{ кН};$$

$$N_2 = 756,26 \text{ кН} < 2 \cdot S_{wh} = 2 \cdot 1304,1 = 2608,2 \text{ кН};$$

$$N_1 = 754,24 \text{ кН} < 2 \cdot S_{wt} = 2 \cdot 802,03 = 1604,06 \text{ кН};$$

$$N_2 = 756,26 \text{ кН} < 2 \cdot S_{wt} = 2 \cdot 802,03 = 1604,06 \text{ кН}.$$

Прочность сварных швов обеспечена.

Расчет узла решетчатой трубчатой конструкции, состоящего из одного не прерывающегося в узле трубчатого элемента и n примыкающих элементов, необходимо рассчитать на местный изгиб стенки стойки для каждого j -го элемента по формулам 3.29-3.30

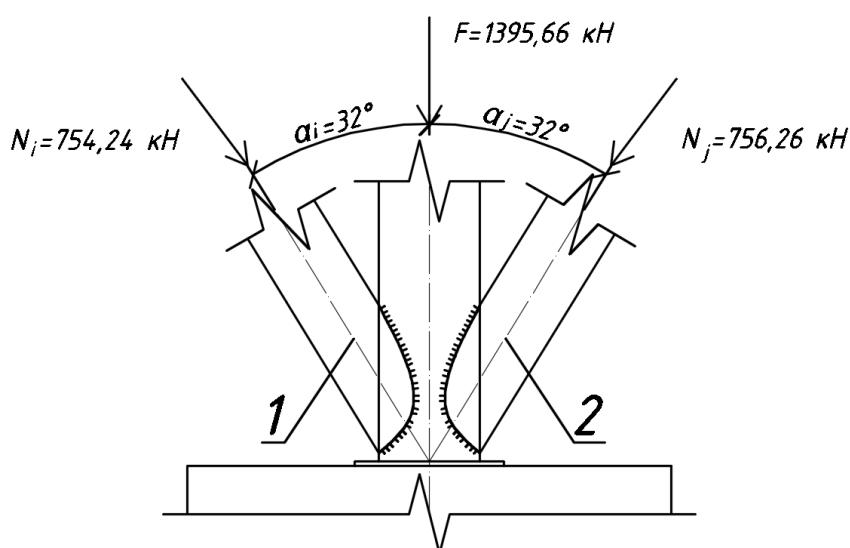


Рисунок 3.14 - Расчетная схема узла для расчета на местный изгиб стенки СТ1

$$S = 13 \cdot \left(1 + 0,02 \cdot \frac{630}{7} \right) \cdot 0,007^2 \cdot 315 \cdot 10^3 \cdot 1 = 561,83 \text{ кН}.$$

$$\beta_{wi} = \frac{0,478}{0,63} = 0,759.$$

$$\psi_i = \arcsin 0,759 = 49,3^{\circ}.$$

Результаты расчета на местный изгиб стенки стойки приведен в таблице 3.6.

Таблица 3.6 – Результаты расчета на местный изгиб стенки стойки

| | | | | | | |
|------|------|----------|---------|------|----------------|------|
| | | | | | ДП-08.05.01-ПЗ | Лист |
| | | | | | | 54 |
| Изм. | Лист | № докум. | Подпись | Дата | | |

| i | $\sum_{i=1}^n \varepsilon_{ij} \cdot \mu_i \cdot N_i \cdot \frac{\sin \alpha_i}{\psi_i}$ | $\gamma_{Dj} \cdot S$ | j | $ N_j \cdot \frac{\sin \alpha_j}{\psi_j}$ | $2S$ |
|-----|--|-----------------------|-----|--|--------|
| 1 | 0,99 | 533,7 | 1 | 0 | 1123,6 |
| 2 | 0 | | 2 | 0,99 | |

Условия 3.29 и 3.30 выполняются, прочность стенки стойки на местный изгиб обеспечена.

| | | | | | | |
|-------------|-------------|-----------------|----------------|-------------|-----------------------|-------------|
| | | | | | <i>ДП-08.05.01-ПЗ</i> | <i>Лист</i> |
| <i>Изм.</i> | <i>Лист</i> | <i>№ докум.</i> | <i>Подпись</i> | <i>Дата</i> | | 55 |

3.3 Описание конструктивных и технических решений подземной части объекта капитального строительства

3.3.1 Общие сведения, оценка инженерно-геологических условий площадки строительства

Объектом капитального строительства является телевизионная башня со встроенной телестудией и кафе в Кировском округе г. Омск. За относительную отметку 0,000 принят уровень чистого пола первого этажа, соответствующая абсолютной отметке 74,85 м. Грунтовые воды находятся на глубине 2,6 м, что соответствует абсолютной отметке 71,65 м. Инженерно-геологическая колонка приведена на рисунке 3.7. Физико-механические свойства грунтов представлены в таблице 3.7.

В рамках проекта необходимо разработать фундамент под несущий ствол башни, состоящий из двенадцати стальных стоек расположенных на пересечении оси А и осей 1-12, в двух вариантах: мелко заложения и свайном. Провести технико-экономическое сравнение вариантов.

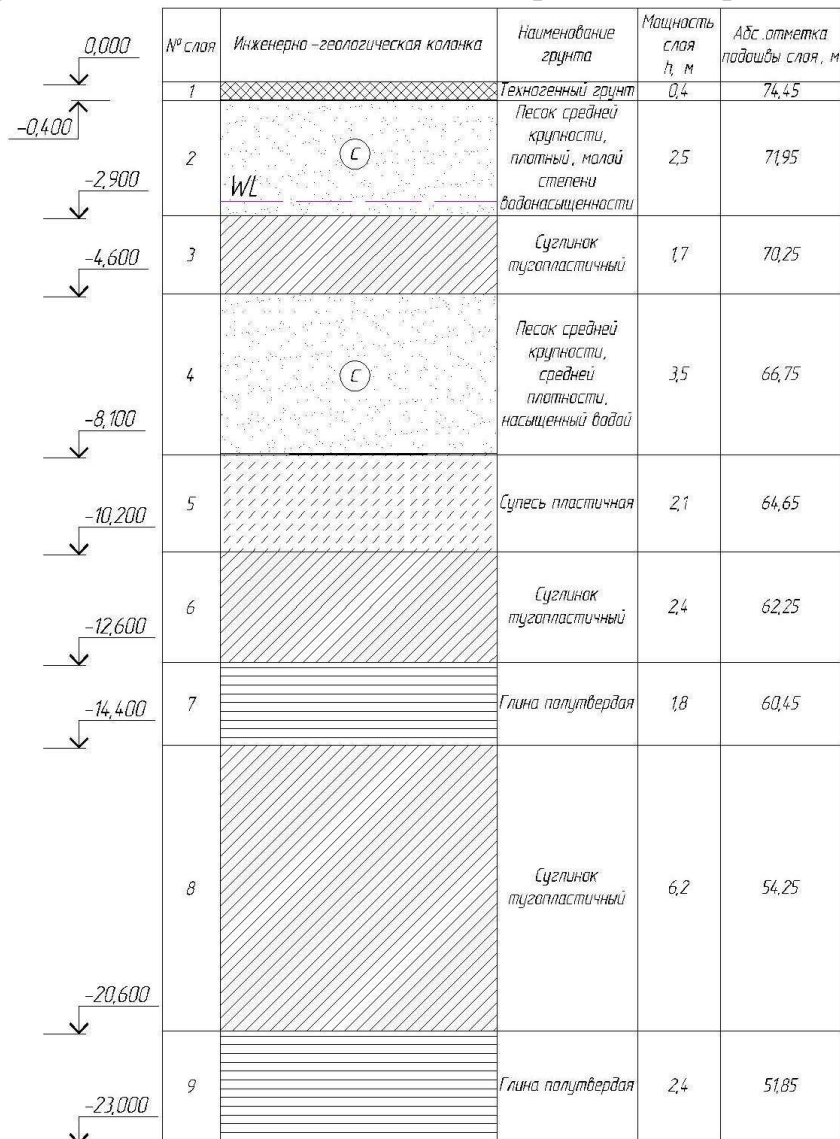


Рисунок 3.15 - Инженерно-геологическая колонка

Таблица 3.7 - Физико-механические свойства грунтов

| № | Наименование грунта | h, м | W, д.е. | e, д.е. | Плотность, т/м ³ | | | γ (γ_{sb}), кН/м ³ | I _L , д.е. | S _r , д.е. | Расчетные характеристики | | | R ₀ , кПа |
|----|--|------|---------|---------|-----------------------------|----------|----------|---|-----------------------|-----------------------|--------------------------|-----------------------|--------|----------------------|
| | | | | | ρ | ρ_s | ρ_d | | | | $\varphi_{лв}$, град | C _{лв} , кПа | E, МПа | |
| 1 | 2 | 3 | 4 | 5 | 6 | 7 | 8 | 9 | 10 | 11 | 12 | 13 | 14 | 15 |
| 1 | Техногенный грунт | 0,4 | - | - | - | - | - | - | - | - | - | - | - | - |
| 2 | Песок средней крупности, плотный, малой степени водонасыщенности | 2,2 | 0,06 | 0,68 | 1,68 | 2,66 | 1,58 | 16,8 | - | 0,24 | 35 | 1 | 30 | 500 |
| 3 | Песок средней крупности, плотный, насыщенный водой | 0,3 | 0,26 | 0,68 | 1,99 | 2,66 | 1,58 | (9,89) | - | 1 | 35 | 1 | 30 | 500 |
| 4 | Суглинок тугопластичный | 1,7 | 0,25 | 0,71 | 1,97 | 2,7 | 1,58 | 19,7 | 0,63 | - | 18,4 | 22 | 14 | 186 |
| 5 | Песок средней крупности, средней плотности, насыщенный водой | 3,5 | 0,19 | 0,6 | 1,98 | 2,66 | 1,66 | (10,38) | - | 0,84 | 36,5 | 1,5 | 35 | 400 |
| 6 | Супесь пластичная | 2,1 | 0,2 | 0,62 | 2,0 | 2,7 | 1,67 | (10,49) | 0,68 | - | 9,2 | 13,6 | 18,4 | 240 |
| 7 | Суглинок тугопластичный | 2,4 | 0,24 | 0,7 | 1,97 | 2,7 | 1,59 | 19,7 | 0,3 | - | 21,5 | 25,5 | 16,5 | 189 |
| 8 | Глина полутвердая | 1,8 | 0,22 | 0,66 | 1,99 | 2,7 | 1,63 | 19,9 | 0,04 | - | 19,9 | 66,6 | 23,7 | 270 |
| 9 | Суглинок тугопластичный | 6,7 | 0,25 | 0,73 | 1,95 | 2,7 | 1,56 | 19,5 | 0,26 | - | 21,2 | 24 | 15 | 180 |
| 10 | Глина полутвердая | 2,4 | 0,26 | 0,73 | 1,97 | 2,7 | 1,56 | 19,7 | 0,07 | - | 19,2 | 56,8 | 21,6 | 235 |

3.3.2 Проектирование фундамента мелкого заложения

3.3.2.1 Определение глубины заложения фундамента

Глубину заложения фундамента следует принимать наибольшую из следующих условий: конструктивного, промерзания в пучинистых грунтах, заглубления подошвы фундамента в слой грунта с лучшими строительными свойствами.

1) Исходя из конструктивных особенностей здания (наличие подвала) назначаем глубину заложения фундамента на 0,5 м больше, чем отметка пола подвала

$$d = 2,4 + 0,5 = 2,9 \text{ м.}$$

2) В пучинистых грунтах глубину заложения фундамента следует принимать не менее расчетной глубины промерзания, чтобы исключить воздействия нормальных сил пучения грунта на подошву фундамента.

Расчетная глубина промерзания определяется по формуле

$$d_f = k_n \cdot d_{fn}, \quad (3.43)$$

где d_{fn} - нормативная глубина промерзания суглинков и глин;

k_n - коэффициент влияния теплового режима сооружения.

$$d_f = 0,6 \cdot 1,82 = 1,09 \text{ м.}$$

Согласно [56] глубину заложения фундаментов отапливаемых сооружений по условиям недопущения морозного пучения грунтов основания следует назначать от уровня планировки не менее расчетной глубины промерзания грунта.

Тогда глубина заложения

$$d = 2,4 + 1,09 = 3,09 \text{ м.}$$

3) Исходя из геологических особенностей целесообразно заглубить фундамент в слой грунта с лучшими строительными свойствами - песок средней крупности.

Окончательно принимаем глубину заложения фундамента

$$d = 2,4 + 2,4 = 4,8 \text{ м,}$$

где 2,4 - отметка пола подвала, относительно уровня земли;

2,4 - высота фундамента.

3.3.2.2 Определение нагрузок, действующих на обрез и подошву фундамента

Нагрузки, действующие на обрез фундамента, принимается согласно результатам расчета в ПК SCAD. Результаты расчета приведены в таблице 3.3.2.

| | | | | | | | | | | |
|------|------|----------|---------|------|--|--|--|--|--|------|
| | | | | | | | | | | Лист |
| | | | | | | | | | | 58 |
| Изм. | Лист | № докум. | Подпись | Дата | | | | | | |

Таблица 3.8 - Значения расчетных нагрузок, действующих на обреза фундамента

| Вид нагрузки | Значение нагрузки |
|---|-------------------|
| Для расчета по I предельному состоянию | |
| N_{max} , кН | -10058,64 |
| $M_{соот}$, кНм | 135,48 |
| Q , кН | 30,54 |
| $N_{соот}$, кН | -1204,66 |
| M_{max} , кН | 242,52 |
| Q , кН | -65,91 |
| Для расчета по II предельному состоянию | |
| N'_{max} , кН | 8746,64 |
| N''_{max} , кН (с учетом G) | 9590,67 |
| $M'_{соот}$, кНм | 117,81 |
| Q' , кН | 26,56 |
| $N'_{соот}$, кН | 1047,53 |
| M'_{max} , кН | 210,89 |
| Q' , кН | 57,31 |

3.3.2.3 Определение размеров подошвы фундамента

Площадь подошвы фундамента определяется по формуле

$$A = N'_{max} / (R_0 - \gamma_{mt} \cdot d), \quad (3.44)$$

где N'_{max} - максимальная сумма нормативных вертикальных нагрузок, действующих на обресе фундамента, кН;

R_0 - расчетное сопротивление грунта, кПа;

γ_{mt} - среднее значение удельного веса грунта и бетона, кН/м³;

d - глубина заложения фундамента, м.

Принимаем $N'_{max} = 8746,64$ кН; $R_0 = 400$ кПа; $\gamma_{mt} = 20$ кН/м³; $d = 4,65$ м.

Тогда площадь подошвы фундамента равна

$$A = 8746,64 / (400 - 20 \cdot 4,8) = 28,78 \text{ м}^2.$$

Ширина кольцевого фундамента определяется по формуле

$$b = \frac{A}{\pi \cdot D_{cp}} \cdot n, \quad (3.45)$$

где D_{cp} - диаметр башни по осям, м;

n - количество стоек в кольце.

$$b = \frac{28,78}{3,14 \cdot 14} \cdot 12 = 7,85 \text{ м.}$$

Принимаем ширину кольцевого фундамента $b = 7,95 \text{ м.}$

3.3.2.4 Определение расчетного сопротивления грунта основания

Расчетное сопротивление грунта определяется по формуле

$$R = \frac{\gamma_{C1} \cdot \gamma_{C2}}{K} \cdot (M_\gamma \cdot K_z \cdot b \cdot \gamma_{II} + M_q \cdot d_i \cdot \gamma'_{II} + (M_g - 1) \cdot d_b \cdot \gamma'_{II} + M_C \cdot C_{II}), \quad (3.46)$$

где γ_{C1}, γ_{C2} - коэффициенты условий работы;

K - коэффициент, зависящий от условий определения коэффициентов C и φ ;

M_γ, M_q, M_C - коэффициенты, зависящие от φ и принимаемые по [4];

K_z - коэффициент, зависящий от ширины подошвы фундамента;

γ_{II} - расчетное значение удельного веса грунта ниже подошвы фундамента, кН/м^3 ;

γ'_{II} - расчетное значение удельного веса грунта выше подошвы фундамента, кН/м^3 ;

C_{II} - расчетное значение удельного сцепления грунта под подошвой фундамента, кПа ;

d_i - глубина заложения фундамента бесподвального здания или приведенная глубина заложения, исчисляемая от пола подвала;

d_b - глубина подвала, исчисляемая от отметки планировки до пола подвала.

Приведенная глубина заложения определяется по формуле

$$d_i = h_s + h_{cf} \cdot \frac{\gamma_{cf}}{\gamma_{II}}, \quad (3.47)$$

где h_s - толщина слоя грунта выше подошвы со стороны подвала, м ;

h_{cf} - толщина конструкции пола подвала, м ;

γ_{cf} - удельный вес материала пола.

| | | | | | | | | | |
|------|------|----------|---------|------|--|--|--|--|------|
| | | | | | | | | | Лист |
| | | | | | | | | | 60 |
| Изм. | Лист | № докум. | Подпись | Дата | | | | | |

Принимаем $h_s=4,65$ м; $h_{cf}=0,3$ м; $\gamma_{cf}=18,76$ кН/м³; $\gamma_{II}=20$ кН/м³, тогда приведенная глубина заложения равна

$$d_i = 4,65 + 0,3 \cdot \frac{18,76}{20} = 4,93 \text{ м.}$$

Принимаем $\gamma_{c1}=1,4$; $\gamma_{c2}=1,2$; $K=1,1$ $M_\gamma=1,93$; $M_g=8,56$; $M_c=10,18$; $K_z=1$; $\gamma_{II}=16,61$ кН/м³; $\gamma'_{II}=14,19$ кН/м³; $C_{II}=1,5$ кПа; $d_i=4,93$ м; $d_b=2,4$ м, тогда расчетное значение сопротивление грунта равно

$$R = \frac{1,4 \cdot 1,2}{1,1} \cdot (1,68 \cdot 1 \cdot 7,95 \cdot 16,61 + 7,71 \cdot 4,93 \cdot 14,19 + (7,71 - 1) \cdot 2,4 \cdot 14,88 + 9,58 \cdot 1,5) = 1551,12 \text{ кПа.}$$

Расчетное значение сопротивления грунта больше табличного более, чем на 20%. Ограничим значение расчетного сопротивления до 600 кПа из-за возможного ухудшения свойств грунта основания. Определим новое значение площади подошвы по формуле 3.3.2

$$A = 8746,64 / (600 - 20 \cdot 4,8) = 17,35 \text{ м}^2.$$

Тогда ширина кольцевого фундамента равна

$$b = \frac{17,35}{3,14 \cdot 14} \cdot 12 = 4,74 \text{ м.}$$

Принимаем ширину кольцевого фундамента $b=4,8$ м.

3.3.2.5 Проверка условий расчета основания по деформациям

Среднее давление под подошвой фундамента определяется по формуле

$$P_{II} = \frac{N''_{\max}}{A}, \tag{3.48}$$

где N''_{\max} - наибольшая вертикальная нагрузка, кН;

A - площадь фундамента, м².

| | | | | | | | | | | |
|------|------|----------|---------|------|--|--|--|--|--|------|
| | | | | | | | | | | Лист |
| | | | | | | | | | | 61 |
| Изм. | Лист | № докум. | Подпись | Дата | | | | | | |

Среднее давление под подошвой фундамента равно

$$P_{II} = \frac{9590,67}{17,58} = 545,54 \text{ кПа.}$$

Сравним полученное значение со значением расчетного сопротивления

$(600 - 545,54) \cdot 100 / 600 = 9,07\% < 10\%$ условие удовлетворяется, перерасчет не требуется.

Проверим выполнение условий $P_{\max} \leq 1,2R$ и $P_{\min} \geq 0$.

$$P_{\min}^{\max} = \frac{N'_{II}}{A} \pm \frac{M'_{II}}{W}, \quad (3.49)$$

где M'_{II} - расчетное значение момента, действующего на подошву фундамента кНм;

W - момент сопротивления площади, м^3 .

Момент сопротивления кольца равен

$$W = \frac{\pi \cdot D^3}{32} \cdot \left(1 - \left(\frac{d}{D}\right)^4\right) = \frac{3,14 \cdot 18,8^3}{32} \cdot \left(1 - \left(\frac{9,2}{18,8}\right)^4\right) = 614,6 \text{ м}^3,$$

где d - внутренний диаметр кольца, м;

D - внешний диаметр кольца.

$$P_{\min}^{\max} = \frac{8746,64}{17,58} \pm \frac{210,89 \cdot 12}{614,6} = 503,92(493,42) \text{ кПа.}$$

$503,92 \text{ кПа} \leq 1,2 \cdot 600 = 720 \text{ кПа}$ и $493,42 \text{ кПа} \geq 0$ условия выполняются

3.3.2.6 Определение средней осадки методом послойного суммирования

Результаты расчета приведены на рисунке 3.16.

Найденное значение осадки не должно превышать предельного значения осадки, определенного по [56], для башенных сооружений объектов нового строительства составляет $S_u = 20 \text{ см}$.

| | | | | | | | | | | |
|------|------|----------|---------|------|--|--|--|--|--|------|
| | | | | | | | | | | Лист |
| | | | | | | | | | | 62 |
| Изм. | Лист | № докум. | Подпись | Дата | | | | | | |

$S = 4,93 \text{ см} < S_u = 20 \text{ см}$, условие удовлетворяется.

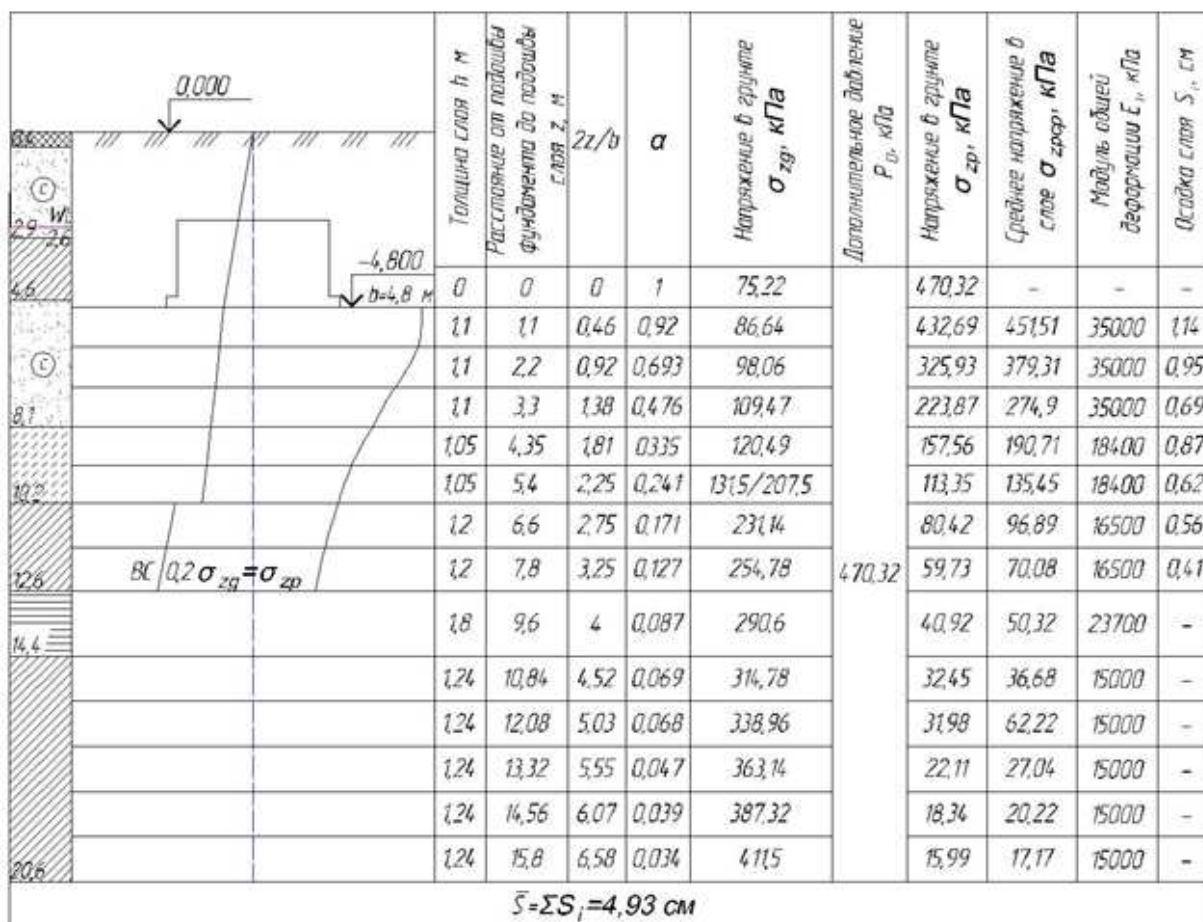


Рисунок 3.16 - Определение средней осадки методом послойного суммирования

3.3.2.7 Определение крена фундамента

При кольцевых фундаментах крен определяют по формуле

$$i = \frac{1 - \nu^2}{E_0 \cdot k_m} \cdot k_e \cdot \frac{N''_{\max}}{r^3} \cdot \omega_1 \leq i_u, \quad (3.50)$$

где ν - коэффициент Пуассона грунта;

E_0 - модуль деформации грунта, кПа;

k_m - коэффициент, учитывающий меньшую деформативность грунта;

k_e - коэффициент, принимаемый по [56];

r - радиус фундамента в осях, м;

ω_1 - коэффициент, зависящий от отношения внутреннего радиуса кольцевого фундамента к наружному радиусу;

i_u - предельный крен фундамента, определяемый по [56].

Принимаем $\nu=0,3$; $E_0=35000$ кПа; $k_m=1$; $k_e=0,75$; $r=14$ м; $\omega_1=1$;
 $i_u=0,002$, тогда значение крена равно

$$i = \frac{1-0,3^2}{35000 \cdot 1} \cdot 0,75 \cdot \frac{9590,67}{14^3} \cdot 1 = 0,000068 < i_u = 0,002, \text{ условие выполняется.}$$

3.3.2.7 Конструирование кольцевого фундамента

Фундаменты круглого очертания в плане проектируют так, чтобы толщина их в пределах контура сооружения была постоянной. Консольные выступы нужно проектировать уменьшающимися к периметру фундаментной плиты путем устройства ступеней или скосов. Высота консольных выступов со скошенной верхней гранью должна быть не менее 0,25 высоты фундаментной плиты.

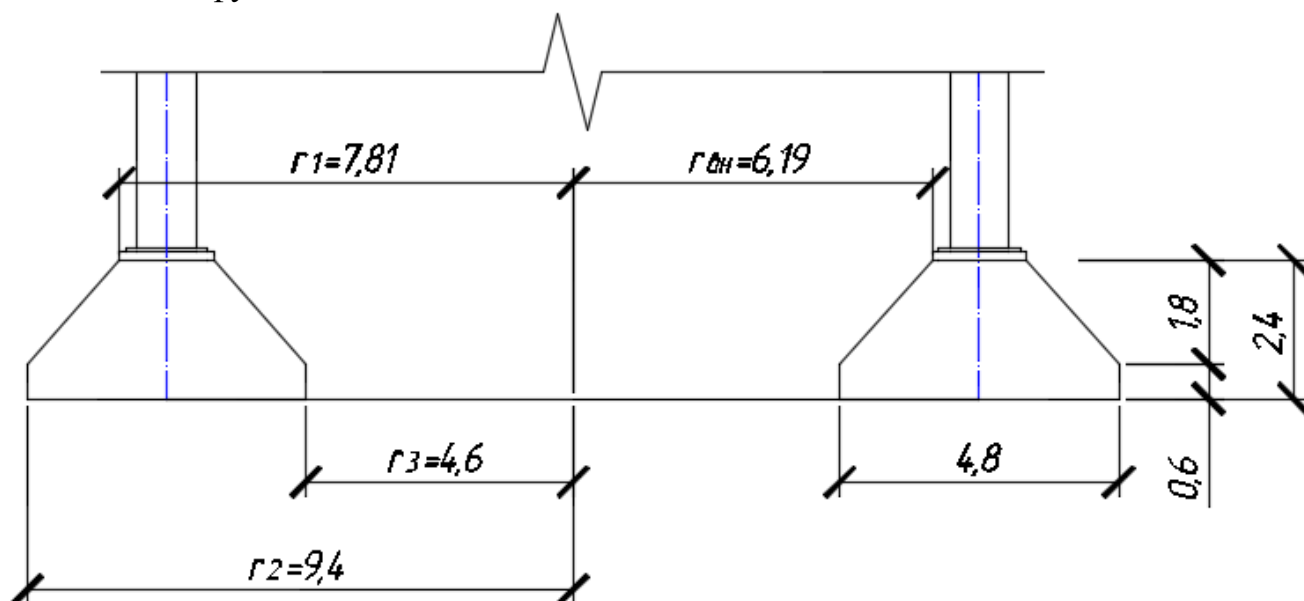


Рисунок 3.17 - Схема кольцевого фундамента

Фундаментную плиту проектируют так, чтобы не требовалась установка поперечной арматуры. Для соблюдения этого требования должны выполняться условия

$$h_0 \geq \frac{p' \cdot (r_2^2 - r_1^2)}{2 \cdot r_1 \cdot R_{bt}}; \tag{3.51}$$

$$h_0 \geq \frac{p' \cdot (r_{вн}^2 - r_3^2)}{2 \cdot r_{вн} \cdot R_{bt}}. \tag{3.52}$$

Интенсивность давления грунта по площади выступа определяется по формуле

$$p' = \frac{N_{\max}}{A} + \frac{M_{\max}}{I} \cdot \frac{r_1 + r_2}{2}, \quad (3.53)$$

где I - момент инерции площади подошвы фундамента;

r_1 и r_2 - соответственно наружный радиус по контуру нижнего сечения сооружения и радиус окружности фундаментной плиты.

Момент инерции площади подошвы фундамента равен

$$I = \frac{\pi \cdot D^4}{64} \cdot \left(1 - \left(\frac{d}{D}\right)^4\right) = \frac{3,14 \cdot 18,8^4}{64} \cdot \left(1 - \left(\frac{9,2}{18,8}\right)^4\right) = 5777,40 \text{ м}^4.$$

$$p' = \frac{10058,64}{17,58} + \frac{(242,52 + 65,91 \cdot 2,4) \cdot 12}{5777,4} \cdot \frac{7,81 + 9,4}{2} = 579,32 \text{ кН / м}^2.$$

Рабочая высота сечения равна

$$h_0 = 2,4 - 0,04 \cdot 2 = 2,32 \text{ м.}$$

Проверим соблюдение условий 3.51 и 3.52

$$2,32 \geq \frac{579,32 \cdot (9,4^2 - 7,81^2)}{2 \cdot 7,81 \cdot 1050} = 0,97 \text{ м};$$

$$2,32 \geq \frac{579,32 \cdot (6,19^2 - 4,6^2)}{2 \cdot 6,19 \cdot 1050} = 0,76 \text{ м.}$$

Условия выполняются, установка поперечной арматуры не требуется.

Проверку конструктивной высоты кольцевого фундамента расчетом на продавливание, как правило не производят, так как размер, удовлетворяющий условиям 3.51 и 3.52, будет удовлетворять и расчету на продавливание.

3.3.2.8 Определение сечения арматуры кольцевого фундамента

Кольцевые фундаменты армируются сетками с квадратной ячейей и одинаковыми стержнями в обоих направлениях.

1) Подбор нижней арматуры

Проверим выполнение условия $r_3 < 2r_1 - r_2$, $4,6 м < 2 \cdot 7,81 - 9,4 = 6,22 м$, условие выполняется, значит заделка нижней арматуры обеспечена и ее расчет производится по формулам 3.54-3.57.

$$M_1 = R_b \cdot h_0^2 \cdot \alpha_1 \cdot (1 - 0,5 \cdot \alpha_1); \quad (3.54)$$

$$M_1 = \frac{P'}{6 \cdot r_1} \cdot (r_1^3 - 3 \cdot r_1 \cdot r_2^2 + 2 \cdot r_2^3); \quad (3.55)$$

$$f_a = \frac{\alpha \cdot R_b \cdot b \cdot h_0}{R_a}; \quad (3.56)$$

$$\alpha = \alpha_1 \cdot \frac{r_1}{r_2}, \quad (3.57)$$

где b - расчетная ширина армируемой полосы;

f_a - площадь сечения арматуры на расчетную ширину b

R_a - расчетное сопротивление продольной арматуры растяжению.

Определим величину изгибающего момента по формуле 3.55

$$M_1 = \frac{579,32}{6 \cdot 7,81} \cdot (7,81^3 - 3 \cdot 7,81 \cdot 9,4^2 + 2 \cdot 9,4^3) = 831,68 \text{ кН} \cdot \text{м} / \text{м}.$$

Введем обозначение $A_0 = \alpha_1 \cdot (1 - 0,5 \cdot \alpha_1)$ и вычислим значение выражения приравняв 3.54 и 3.55

$$A_0 = \frac{M_1}{R_b \cdot h_0^2} = \frac{831,68}{14,5 \cdot 10^3 \cdot 2,32^2} = 0,0106, \text{ чему соответствует } \alpha_1 = 0,01.$$

Определим значение α по формуле 3.57

| | | | | | | | | | | |
|------|------|----------|---------|------|--|--|--|--|--|------|
| | | | | | | | | | | Лист |
| | | | | | | | | | | 66 |
| Изм. | Лист | № докум. | Подпись | Дата | | | | | | |

$$\alpha = 0,01 \cdot \frac{7,81}{9,4} = 0,0083.$$

Принимаем арматуру класса А400, $R_a=350$ МПа, тогда ее площадь на ширину $b=1$ м равна

$$f_a = \frac{0,0083 \cdot 14,5 \cdot 1 \cdot 2,32 \cdot 10^4}{350} = 7,98 \text{ см}^2.$$

Принимаем сетку С1 шагом 200x200 мм со стержнями $d=16$ мм, $f_a = 10,05 \text{ см}^2$.

2) Подбор верхней арматуры

Сечения верхней арматуры определяют из условий 3.58-3.60

$$M \leq (r_2 - r_3) \cdot h_0^2 \cdot R_b \cdot \alpha_1 \cdot (1 - 0,5 \cdot \alpha); \quad (3.58)$$

$$M \leq \frac{1}{6} \cdot [p'_1 \cdot (r_1^3 - 3 \cdot r_1 \cdot r_3^2 + 2 \cdot r_3^3) - p' \cdot (r_1^3 - 3 \cdot r_1 \cdot r_2^2 + 2 \cdot r_2^3)]; \quad (3.59)$$

$$\alpha = \alpha_1 \cdot \frac{r_2 - r_3}{r_1 - r_3}. \quad (3.60)$$

$$p'_0 = \frac{N_{\max}}{A} = \frac{10058,64}{17,58} = 572,16 \text{ кН} / \text{м}^2.$$

$$p'_1 = p'_0 + (p' - p'_0) \cdot \frac{r_1 + r_3}{r_2 + r_1} = 572,16 + (579,32 - 572,16) \cdot \frac{7,81 + 4,6}{9,4 + 7,81} = 577,32 \text{ кН} / \text{м}^2.$$

Определим величину изгибающего момента

$$M \leq \frac{1}{6} \cdot [577,32 \cdot (7,81^3 - 3 \cdot 7,81 \cdot 4,6^2 + 2 \cdot 4,6^3) - 579,32 \cdot (7,81^3 - 3 \cdot 7,81 \cdot 9,4^2 + 2 \cdot 9,4^3)] = 1036,93 \text{ кН} \cdot \text{м} / \text{м}.$$

Введем обозначение $A_0 = \alpha_1 \cdot (1 - 0,5 \cdot \alpha_1)$ и вычислим значение выражения приравняв 3.3.16 и 3.3.17

| | | | | | | | | | | | |
|------|------|----------|---------|------|--|--|--|--|--|--|------|
| | | | | | | | | | | | Лист |
| | | | | | | | | | | | 67 |
| Изм. | Лист | № докум. | Подпись | Дата | | | | | | | |

$$A_0 = \frac{M_1}{R_b \cdot h_0^2} = \frac{1036,3}{14,5 \cdot 10^3 \cdot 2,32^2} = 0,0132, \text{ чему соответствует } \alpha_1 = 0,013..$$

Определим значение α по формуле 3.60

$$\alpha = 0,013 \cdot \frac{9,4 - 4,6}{7,81 - 4,6} = 0,0194.$$

Принимаем арматуру класса А400, $R_a=350$ МПа, тогда ее площадь на ширину $b=1$ м равна

$$f_a = \frac{0,0194 \cdot 14,5 \cdot 1 \cdot 2,32 \cdot 10^4}{350} = 18,64 \text{ см}^2.$$

Принимаем сетку С2 шагом 200x200 мм со стержнями $d=22$ мм, $f_a = 19 \text{ см}^2$.

Арматуру сетки С3 принимаем конструктивно, продольная арматура класса А400 $d=12$ мм, шагом 250 мм, поперечная класса А240 $d=6$ мм, шагом 600 мм.

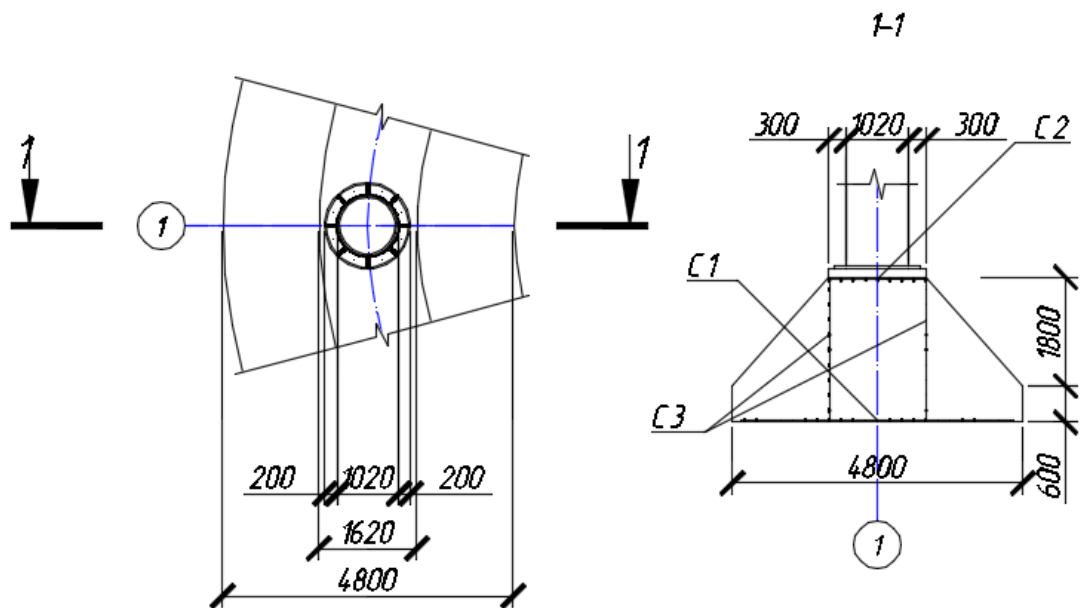


Рисунок 3.18 - Кольцевой фундамент под ствол башни

| | | | | |
|------|------|----------|---------|------|
| Изм. | Лист | № докум. | Подпись | Дата |
| | | | | |

3.3.3 Проектирование свайного фундамента

Принимаем сваи сечением 300х300 мм. Исходя из нагрузки, приходящейся на фундамент, принимаем глубину заложения ростверка $d_p=3$ м и длину сваи 11 м. Отметку головы сваи для определения ее длины принимаем на 0,3 м выше подошвы ростверка с последующей срубкой. Из сортамента выбираем сваю С110.30.

Отметка верха ростверка -2.400 м.

Отметка нижнего конца сваи -14900 м.

Сопряжение ростверка принимаем жестким. Предусматриваем воздушную прослойку, т.к. грунт является пучинистым.

3.3.3.1 Определение несущей способности забивной сваи

Несущая способность забивной сваи определяется по формуле

$$F_d = \gamma_c \cdot (\gamma_{cR} \cdot R \cdot A + u \cdot \sum \gamma_{cf} \cdot f_i \cdot h_i), \quad (3.61)$$

где $\gamma_c=1$ - коэффициент условий работы сваи в грунте;

R - расчетное сопротивление грунта под нижним концом сваи, кПа;

A - площадь поперечного сечения нижнего конца сваи, м²;

u - периметр сваи, м;

f_i - расчетное сопротивление i -го слоя грунта основания на боковой поверхности сваи, кПа;

h_i - толщина i -го слоя грунта у боковой поверхности сваи, м;

γ_{cR} , γ_{cf} - коэффициенты условий работы соответственно под нижним концом и на боковой поверхности, учитывающие способ погружения и принимаемые при погружении свай марок С $\gamma_{cR}=1$, $\gamma_{cf}=1$.

| | | | | | | | | | |
|------|------|----------|---------|------|--|--|--|--|------|
| | | | | | | | | | Лист |
| | | | | | | | | | 69 |
| Изм. | Лист | № докум. | Подпись | Дата | | | | | |

| Отметка поверх- ности | Инженерно- геологичес- кая колонка | Свая | Толщина слоя h_i , м | Расстояние от поверхности до середины слоя, м | f_i , кПа | $f_i h_i$, кН/м |
|------------------------------|--|----------|--|---|----------------|---------------------|
| 0,000 -0,400 | | | | | | |
| Голова -2,700 -2,900 | WL -2,600 С | С 110,30 | 1,45 | 3,875 | 10,8 | 15,66 |
| -4,600 | | | 1,3 | 5,25 | 56,2 | 73,45 |
| | С | | 1,1 | 6,45 | 58,9 | 64,79 |
| | | | 1,1 | 7,55 | 61,1 | 67,21 |
| -8,100 | | | 1,1 | 8,65 | 10 | 11 |
| | | | 1 | 9,7 | 10 | 10 |
| -10,200 | | | 1,2 | 10,8 | 46,8 | 56,16 |
| | | | 1,2 | 12 | 48 | 57,6 |
| -12,600 | | | 1,1 | 13,15 | 69,9 | 76,89 |
| Острие -13,700 -14,400 | | | $\Sigma f_i h_i = 432,76 \text{ кН/м}$ | | | |

Рисунок 3.19 - Расчет несущей способности сваи
Несущая способность сваи равна

$$F_d = 1 \cdot (1 \cdot 9946 \cdot 0,09 + 1,2 \cdot 432,76) = 1414,45 \text{ кН}.$$

Для определения числа свай в фундаменте нужно назначить допускаемую нагрузку на одну сваю. Ориентировочное значение нагрузки равно

$$\frac{F_d}{\gamma_k} = \frac{1414,45}{1,4} = 1010,32 \text{ кН}.$$

По опыту строительства принимаем $F_d = 600 \text{ кН}$.

| | | | | |
|------|------|----------|---------|------|
| Изм. | Лист | № докум. | Подпись | Дата |
|------|------|----------|---------|------|

3.3.3.2 Определение числа свай в фундаменте и эскизное конструирование ростверка

Число свай в фундаменте определяется исходя из условия максимального использования их несущей способности по формуле

$$n = \frac{N_{0I}}{F_d / \gamma_k - \bar{A} \cdot d_p \cdot \gamma_{mt}}, \quad (3.62)$$

где N_{0I} - максимальная сумма расчетных вертикальных нагрузок, действующих на обресе ростверка, кН;

\bar{A} - площадь ростверка, приходящаяся на одну свая, m^2 ;

γ_{mt} - средний удельный вес ростверка и грунта на его обресах;

d_p - глубина заложения ростверка.

Число свай равно

$$n = \frac{10058,64}{600 - 0,9 \cdot 3 \cdot 20} = 18,42.$$

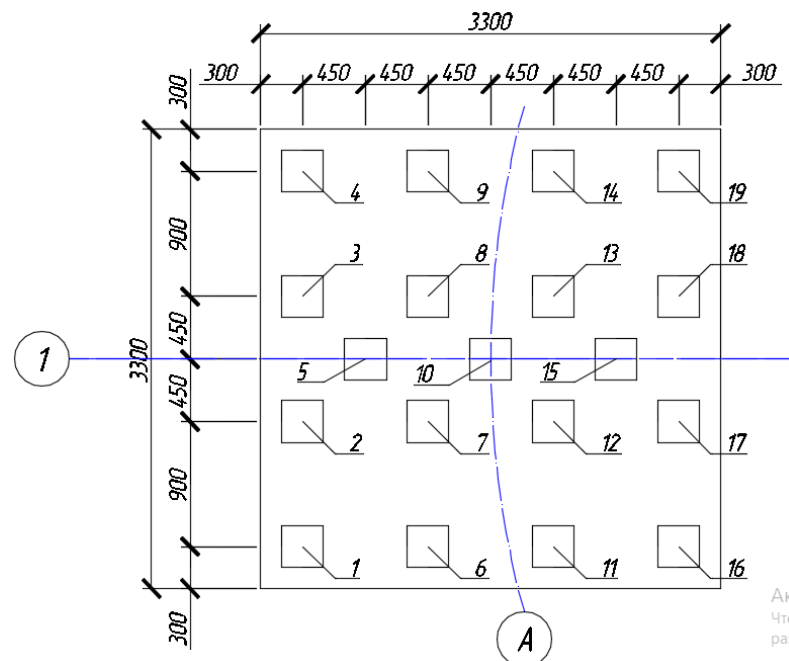


Рисунок 3.20 - Расположение свай в кусте

Принимаем 19 свай С110.30. Расстояние между осями соседних свай - 450 мм, 900 мм, свесы за наружные грани свай составляет 150 мм. Расстановка свай представлена на рисунке 3.3.6. Размер ростверка в плане - 3300x3300 мм. Высота ростверка - 600 мм. Сопряжение ростверка со сваями - жесткое, заделка головы сваи в монолитный ростверк на глубину 50 мм,

| | | | | | | |
|------|------|----------|---------|------|----------------|------|
| | | | | | ДП-08.05.01-ПЗ | Лист |
| Изм. | Лист | № докум. | Подпись | Дата | | 71 |

арматура замоноличивается в ростверк на 250 мм. При заделке сваи на глубину 50 мм арматурные сетки плиты укладываются на головы свай. Класс бетона ростверка по прочности на сжатие В25. Армирование подошвы осуществляется сетками из стержней арматуры А400.

Ориентировочно вес ростверка определяется по формуле

$$G_p = b_d \cdot l_p \cdot h_p \cdot \gamma_{mt}, \quad (3.63)$$

где b_d - ширина ростверка в плане, м;

l_p - длина ростверка в плане, м;

h_p - высота ростверка, м;

γ_{mt} - средний удельный вес ростверка, $кН/м^3$.

Тогда получим вес ростверка

$$G_p = 3,3 \cdot 3,3 \cdot 0,6 \cdot 24 = 156,82 \text{ кН}.$$

3.3.3.3 Расчет свайного фундамента по несущей способности грунта основания

Расчет свайного фундамента выполняют по I группе предельных состояний. При этом должно удовлетворяться условие

$$N_c \leq F_d / \gamma_k, \quad (3.64)$$

где N_c - наибольшая расчетная нагрузка, передаваемая на сваю, $кН$.

Расчетная нагрузка на сваю при действии моментов в одной плоскости определяется по формуле

$$N_c = \frac{N'}{n} \pm \frac{M' \cdot x}{\sum x_i^2}, \quad (3.65)$$

где N' - расчетное усилие в неблагоприятных сочетаниях и комбинациях, при которых расчетное усилие в свае наибольшее, $кН$;

M' - расчетное усилие в неблагоприятных сочетаниях и комбинациях, при которых расчетное усилие в свае наибольшее, $кНм$;

n - число свай в фундаменте;

x - расстояние в плоскости действия момента от главной оси куста, до сваи, усилие в которой определяется;

| | | | | | | |
|------|------|----------|---------|------|----------------|------|
| | | | | | | Лист |
| | | | | | | 72 |
| Изм. | Лист | № докум. | Подпись | Дата | ДП-08.05.01-ПЗ | |

x_i - расстояние от главной оси до каждой из свай.

Результаты расчета представлены в таблице 3.9.

Таблица 3.9 - Определение расчетных нагрузок в сваях

| № сваи | $x_i, м$ | $N_c, кН$ (I комбинация) | $N_c, кН$ (II комбинация) | F_d / γ_k |
|---|----------|-----------------------------|------------------------------|------------------|
| 1, 4, 16, 19 | 1,35 | 554,96 | 102,71 | 600 |
| 2, 3, 6, 7, 8, 9, 11, 12, 13, 14, 17,18 | 0,45 | 543,97 | 82,56 | |
| 10 | 0 | 538,48 | 72,48 | |
| 5, 15 | 0,9 | 549,46 | 92,63 | |

Условие 3.64 выполняется.

3.3.3.4 Выбор сваебойного оборудования. Назначение расчетного отказа

Определенная несущая способность свай должна быть подтверждена при забивке достижением сваей расчетного отказа S_a , который устанавливается по формуле

$$S_a = \frac{E_d \cdot \eta \cdot A}{F_d \cdot (F_d + \eta \cdot A)} \cdot \frac{m_1 + 0,2 \cdot (m_2 + m_3)}{m_1 + m_2 + m_3}, \quad (3.66)$$

где E_d - расчетная энергия удара трубчатого молота С-1048, кДж;

m_1 - полная масса молота, т;

m_2 - масса свай, т;

m_3 - масса наголовника, т;

A - площадь поперечного сечения свай, м²;

η - коэффициент, кН/м²;

F_d - несущая способность свай, кН.

Значение расчетного отказа составляет

$$S_a = \frac{63 \cdot 1500 \cdot 0,09}{1414,45 \cdot (1414,45 + 1500 \cdot 0,09)} \cdot \frac{7650 + 0,2 \cdot (1048 + 200)}{7650 + 1048 + 200} = 0,0034,$$

удовлетворяет требуемому значению.

3.3.3.5 Расчет плиты ростверка на продавливание стойкой

Расчет плиты ростверка на продавливание стойкой осуществляется по формуле

$$F \leq 2 \cdot R_{bt} \cdot h_{op} \cdot \left[\frac{h_{op}}{C_1} \cdot (b_c + C_2) + \frac{h_{op}}{C_2} \cdot (l_c + C_1) \right] \quad (3.67)$$

где F - продавливающая сила, равная удвоенной сумме усилий в сваях, расположенных с одной наиболее нагруженной стороны от оси колонны и находящихся за пределами нижнего основания пирамиды продавливания;

R_{bt} - расчетное сопротивление бетона ростверка растяжению, МПа;

h_{op} - рабочая высота плиты, м;

C_1 и C_2 - расстояния от грани колонны соответственно с размерами b_c и l_c до внутренней грани ближайшего ряда свай, расположенных за пределами граница продавливания.

Принимаем продавливающую силу по первой комбинации как наибольшую

$$F = 2 \cdot (554,96 + 543,97 + 543,97 + 543,97) = 4373,74 \text{ кН.}$$

$$h_{op} = h - 0,04 = 0,6 - 0,04 = 0,56 \text{ м.}$$

$$C_1 = C_2 = 0,5.$$

Тогда

$$4373,74 \text{ кН} \leq 2 \cdot 1,05 \cdot 10^3 \cdot 0,56 \cdot \left[\frac{0,56}{0,5} \cdot (1,02 + 0,5) + \frac{0,56}{0,5} \cdot (1,02 + 0,5) \right] = 4004 \text{ кН.}$$

Условие не выполняется, повысим класс бетона до В30, тогда

$$4373,74 \text{ кН} \leq 2 \cdot 1,15 \cdot 10^3 \cdot 0,56 \cdot \left[\frac{0,56}{0,5} \cdot (1,02 + 0,5) + \frac{0,56}{0,5} \cdot (1,02 + 0,5) \right] = 4385,38 \text{ кН.}$$

Условие выполняется.

3.3.3.6 Расчет плиты ростверка на продавливание угловой сваей

Расчет плиты ростверка на продавливание угловой сваей производится по формуле

$$N_c \leq R_{br} \cdot h_{01} \cdot [\beta_1 \cdot (b_{02} + 0,5 \cdot C_{02}) + \beta_2 \cdot (b_{01} + 0,5 \cdot C_{01})], \quad (3.68)$$

где N_c - усилие в угловой свае, подсчитанное от расчетных нагрузок, действующих по подошве ростверка;

h_{01} - высота ступеней над сваей;

b_{01}, b_{02} - расстояние от внутренних граней угловой сваи до наружных граней плиты ростверка;

C_{01}, C_{02} - расстояние от внутренних граней угловых свай до ближайших граней подколонника ростверка или до ближайших граней ступени при ступенчатом ростверке, не более h_{01} и не менее $0,4 h_{01}$;

β_1, β_2 - безразмерные коэффициенты, принимаемые в зависимости от h_{01}/C , но не менее 0,6 и не более 1.

$$554,96 \text{ кН} \leq 1,15 \cdot 10^3 \cdot 0,56 \cdot [0,6 \cdot (0,45 + 0,5 \cdot 0,56) + 0,6 \cdot (0,45 + 0,5 \cdot 0,56)] = 564,14 \text{ кН}.$$

Условие выполняется.

3.3.4 Технико-экономическое сравнение вариантов

Технико-экономическое сравнение вариантов представлено в таблицах 3.10 и 3.11. Расчет стоимости работ и трудоемкости по возведению фундаментов ведется на базе расценок 1984 г.

Таблица 3.10 - Работы по устройству кольцевого фундамента под стойку 1-А

| Шифр | Наименование работ | Единица измерения | Кол-во | Расценки, руб. | Стоимость | Трудоемкость, чел./ч/ед./общ. |
|-----------------|---|---------------------|--------|----------------|-----------|-------------------------------|
| 1 | 2 | 3 | 4 | 5 | 6 | 7 |
| Земляные работы | | | | | | |
| 1-168 | 1.Разработка грунта 1-й группы экскаватором | 1000 м ³ | 0,204 | 91,2 | 18,61 | 8,33/1,7 |
| 1-368 | 2. Транспортировка грунта в отвал на | т | 342,7 | 0,39 | 133,65 | - |

| | | | | | | |
|--|-----------------------|--|--|--|--|--|
| | расстояние до 3 км | | | | | |
|--|-----------------------|--|--|--|--|--|

Окончание таблицы 3.10

| 1 | 2 | 3 | 4 | 5 | 6 | 7 |
|-----------------|---|---------------------|-------|-------|---------|------------|
| 1-278 | 3. Ручная разработка грунта под подошвой фундамента | м ³ | 1,76 | 0,69 | 1,21 | 125/220 |
| 1-368 | Обратная засыпка грунта слоями с уплотнением | 1000 м ³ | 0,184 | 18,9 | 3,48 | - |
| 1-368 | Транспортировка грунта для обратной засыпки | т | 308,4 | 0,39 | 120,28 | - |
| Бетонные работы | | | | | | |
| 6-1 | Устройство бетонной подготовки | м ³ | 1,76 | 29,37 | 51,69 | 1,37/2,42 |
| 6-7 | Устройство железобетонного фундамента | м ³ | 38,77 | 38,53 | 1493,91 | 4,1/130,05 |
| Ценник | Арматура А400, А240 | т | 0,513 | 240 | 123,12 | - |
| | Итого | | | | 1945,84 | 354,17 |

Таблица 3.11 - Работы по устройству свайного фундамента под стойку 1-А

| Шифр | Наименование работ | Единица измерения | Кол-во | Расценки, руб. | Стоимость | Трудоемкость, чел./ч/ед./общ. |
|-----------------|---|---------------------|--------|----------------|-----------|-------------------------------|
| 1 | 2 | 3 | 4 | 5 | 6 | 7 |
| Земляные работы | | | | | | |
| 1-168 | 1.Разработка грунта 1-й группы экскаватором | 1000 м ³ | 0,082 | 91,2 | 7,48 | 8,33/0,68 |
| 1-368 | 2. Транспортировка грунта в отвал на расстояние до 3 км | т | 138,05 | 0,39 | 54,01 | - |
| 1-278 | 3. Ручная разработка грунта под подошвой фундамента | м ³ | 1,089 | 0,69 | 0,75 | 125/136,12 |
| 1-368 | Обратная засыпка грунта | 1000 м ³ | 0,074 | 18,9 | 1,39 | - |

| | | | | |
|------|------|----------|---------|------|
| Изм. | Лист | № докум. | Подпись | Дата |
|------|------|----------|---------|------|

ДП-08.05.01-ПЗ

Лист

76

| | | | | | | |
|--|----------------------|--|--|--|--|--|
| | слоями с уплотнением | | | | | |
|--|----------------------|--|--|--|--|--|

Окончание таблицы 3.11

| 1 | 2 | 3 | 4 | 5 | 6 | 7 |
|-----------------|---|----------------------|--------|-------|---------|------------|
| 1-368 | Транспортировка грунта для обратной засыпки | <i>m</i> | 124,24 | 0,39 | 48,44 | - |
| Свайные работы | | | | | | |
| 5-7 | 1. Погружение в грунт 1-й группы свай длиной до 12 м | <i>м³</i> | 18,81 | 19,6 | 368,68 | 3,31/62,26 |
| 5-31 | 2. Срубка свай | <i>шт</i> | 19 | 1,19 | 22,61 | 0,96/18,24 |
| Ценник | 3. Сваи марки С300х300 длиной 8-12 м | <i>м</i> | 209 | 7,68 | 1605,12 | - |
| Бетонные работы | | | | | | |
| 6-7 | 1. Устройство ростверка объемом до 10 <i>м³</i> | <i>м³</i> | 6,54 | 38,53 | 251,98 | 4,1/26,81 |
| 6-72 | 2. Устройство дополнительной опалубки при воздушной прослойке | <i>м²</i> | 1,98 | 2,34 | 4,63 | 0,93/1,84 |
| 6-2 | 3. Устройство набетонки | <i>м³</i> | 1,63 | 39,10 | 63,73 | 4,5/7,35 |
| Ценник | Арматура А400, А240 | <i>t</i> | 0,324 | 240 | 77,76 | - |
| | Итого | | | | 2506,58 | 506,6 |

По результатам технико-экономического сравнения устройства фундамента, кольцевой фундамент мелкого заложения более экономичный и менее трудоемкий, чем свайный фундамент.

| | | | | | | |
|------|------|----------|---------|------|--|------|
| | | | | | | Лист |
| | | | | | | 77 |
| Изм. | Лист | № докум. | Подпись | Дата | | |

ДП-08.05.01-ПЗ

4 Технология строительного производства

4.1. Область применения

Настоящая технологическая карта разработана на монтаж несущего ствола башни, высотой 228,5 м, состоящего из шести ярусов с уменьшающимся диаметром по высоте. Технологическая карта предназначена для нового строительства.

4.2 Общие положения

Основополагающими документами при составлении технологической карты являются [1], [24], [47], [48], [51], [61].

4.3 Организация и технология выполнения работ

Для сооружений башенного типа с металлической решеткой целесообразно производить монтажные работы укрупненными блоками с целью уменьшения количества монтажных работ с участием людей на большой высоте.

Исходя из технологических возможностей монтажных кранов и невозможности применения иных методов монтажа, верхние ярусы башни монтируются с применением вертолета. Монтажные работы с помощью вертолета должны удовлетворять требованиям, представленным в [1].

К моменту начала возведения стола башни должны быть выполнены работы по устройству фундаментов и подземной части здания. Монтаж ствола башни допускается производить только после обратной засыпки фундамента.

Работы по монтажу несущего ствола башни подразделяются на 3 этапа:

- подготовительные работы;
- основные работы;
- заключительные работы.

4.3.1 Подготовительные работы

Перед началом укрупнительной сборки конструкций необходимо осуществить входной контроль качества металлоконструкций, поступающих на строительную площадку, при необходимости произвести отчистку элементов, нанести на боковые грани элементов риски установочных осей.

| | | | | | | |
|------|------|----------|---------|------|----------------|------|
| | | | | | ДП-08.05.01-ПЗ | Лист |
| Изм. | Лист | № докум. | Подпись | Дата | | 78 |

Перед монтажом укрупнительных блоков первого яруса необходимо очистить основание в местах расположения стоек от грязи, осадков и наплывов бетона, установить на монтируемых блоках средства подмащивания и необходимые приспособления для строповки блоков.

4.3.2 Основные работы

Укрупнение блоков необходимо выполнять по ходу их монтажа. При укрупнительной сборке должен использоваться автомобильный кран. Укрупнительная сборка производится на стендах, расположенных на земле и приподнятых от поверхности на 30 см. Стенд должен быть установлен так, чтобы не приходилось прибегать к потолочной сварке. Укрупнительная сборка должна производиться согласно детализированным чертежам и схемам монтажа укрупнительной сборки.

Монтаж укрупненных блоков 1, 2 и 3 яруса (до отметки +120,500) выполняется в зоне монтажа гусеничного крана; 3 (от отметки +120,500), 4, 5 и 6 яруса в зоне монтажа вертолета Ми-10К.

При монтаже конструкций и укрупненных блоков необходимо обеспечить неизменяемость и устойчивость смонтированной части конструкции на всех стадиях монтажа, устойчивость и прочность конструкций при монтажных нагрузках, безопасность ведения монтажных, строительных и специальных работ на объекте.

Все монтируемые элементы до освобождения их от крюка крана должны быть надежно закреплены монтажным соединением, предусмотренным проектом. Проверка правильности монтажа конструкций и их окончательная выверка и закрепление должны производиться по ходу монтажа каждого конструктивного элемента или блока. Общую сборку конструкций необходимо производить путем последовательного соединения всех элементов конструкции или ее отдельных частей. При этом должна быть произведена подгонка всех соединений, включая рассверливание монтажных отверстий, установлены фиксирующие устройства.

Строповку конструкций и укрупненных блоков производить в соответствии со схемами строповки, разработанными в проекте.

Монтаж ствола башни с помощью гусеничного крана производится в следующем порядке:

1. Выполнить строповку монтажного блока яруса башни
2. Приподнять блок на высоту 300 мм, убедиться в надежности закрепления строп
3. Поднять блок выше на 500 мм от проектной отметки блока, сохраняя горизонтальное положение элемента

4. Произвести выверку конструкций и временно закрепить фланцевые соединения монтажными болтами, сварные соединения монтажной сваркой.

5. Освободить конструкцию от крюка крана и строповочных элементов.

6. Произвести проектное закрепление конструкций.

7. Снять средства подмащивания.

Монтаж ствола башни с помощью монтажного вертолета производится в следующем порядке

1. Выполнить строповку монтажного блока яруса башни.

2. Поднять блок на высоту 3 м от уровня земли, произвести первое контрольное висение.

3. Переместить блок в зону монтажа.

4. Произвести второе контрольное висение на расстоянии 20-30 м от места монтажа с последующим выходом на монтажную вертикаль.

5. Монтажное висение, вертикальное снижение и установка блока в проектное положение.

6. Произвести третье контрольное висение с прослабленной внешней подвеской, с целью оценки положения установленного блока.

7. Произвести расстроповку блока.

8. Произвести проектное закрепление конструкций.

9. Снять средства подмащивания и ловители.

При монтаже конструкций вертолетом необходимо применять направляющие и фиксирующие приспособления – ловители. Направляющие приспособления должны ограничивать перемещение и обеспечивать точное наведение монтируемой конструкции во время ее установки в проектное положение. Фиксирующие приспособления обеспечивают устойчивость установленного блока до его проектного закрепления. В проекте должны применяться съемные ловители выполняющие роль направляющих и фиксаторов одновременно. Ловители должны быть окрашены светлой краской для обеспечения визуального наблюдения из вертолета.

Строповка конструкций монтируемых вертолетом производится с помощью внешних подвесок, входящих в комплект оборудования вертолета.

Проектное закрепление конструкций производится на высокопрочных болтах и сварке.

Отверстия в деталях при монтаже должны быть совмещены и зафиксированы от смещения пробками, число которых должно быть не менее 10% от числа проектных отверстий. Запрещается применение болтов, не имеющих заводской маркировки. Перед установкой болты, гайки и шайбы должны быть подготовлены. Динамометрические ключи, используемые для

натяжения и контроля натяжения высокопрочных болтов должны тарироваться не реже одного раза за смену при отсутствии механических повреждений и после каждой замены контрольного прибора или ремонта ключа. Натяжение болтов производится в следующем порядке: все болты затягиваются вручную до отказа монтажным ключом с длиной рукоятки 0,3 м, гайки болтов поворачиваются на угол $180^{\circ} \pm 30^{\circ}$. Под головку и гайку высокопрочного болта должны быть установлены по одной шайбе. При разности диаметров отверстия и болта не более 4 мм допускается установка только под элемент, вращение которого обеспечивает натяжение болта.

После контроля натяжения болтов и приемки соединения все наружные поверхности стыков, включая головки болтов, гайки и выступающие части резьбы болтов должны быть очищены, огрунтованы и окрашены, а щели в местах перепада толщин и зазоры в стыках зашпатлеваны.

При выполнении сварочных работ необходимо соблюдать требования [67]. Поверхности конструкций, подлежащих сварке, и рабочее место сварщика следует защищать от дождя, снега и ветра. Колебания напряжения питающей сети электрического тока, к которой подключено сварочное оборудование, не должны превышать $\pm 5\%$ номинального значения.

При монтаже стальных конструкций необходимо применять сварочные электроды Э42А, Э46 по ГОСТ 9467-75*. Входном контроль сварочных материалов должен установить наличие сертификатов или паспортов предприятия-поставщика. При отсутствии сертификатов на сварочные материалы или истечении гарантийного срока их хранения необходимо определять механические свойства стыковых сварных соединений, выполненных с применением этих материалов.

Сварочные материалы необходимо хранить на складах в заводской таре отдельно по маркам, диаметрам и партиям. Помещение склада должно быть сухим, с температурой воздуха не ниже 15 °С. Покрытые электроды, порошковые проволоки и флюсы перед употреблением необходимо прокалить по режимам, указанным в технических условиях, паспортах, на этикетках или бирках заводов-изготовителей сварочных материалов.

Сварочную проволоку сплошного сечения следует очищать от ржавчины, жировых и других загрязнений. Прокаленные сварочные материалы следует хранить в сушильных печах при 45—100 °С или в кладовых-хранилищах с температурой воздуха не ниже 15 °С и относительной влажностью не более 50 %.

4.3.3 Заключительные работы

Заключительный этап работ заключается в демонтаже и переноске оборудования, уборке инвентаря, снятия средств подмащивания.

| | | | | | | | | | | |
|------|------|----------|---------|------|--|--|--|--|--|------|
| | | | | | | | | | | Лист |
| | | | | | | | | | | 81 |
| Изм. | Лист | № докум. | Подпись | Дата | | | | | | |

4.4 Требования к качеству работ

Качество выполнения всех работ, производимых на строительной площадке, должно соответствовать [51], [67].

Чтобы обеспечить необходимое качество должен выполняться входной контроль рабочей документации, материалов и изделий, а также должен производиться операционный контроль производства работ и приемочный контроль качества выполненных работ. Сдача и приемка работ оформляется актом, который содержит перечень технической документации, на основании которой были выполнены работы, а также перечень недоделок с указанием сроков их устранения.

Сварочные работы контролируются внешним осмотром и измерениями, контроль должен проводиться независимо от других неразрушающих методов контроля и всегда предшествовать им.

Внешний осмотр сварных соединений проводится по всей их длине для выявления несоответствия формы шва требованиям нормативно-технической документации и рабочих чертежей, прожогов, наплывов, трещин, незавершенных кратеров, пор, свищей и подрезов, пятен коротких замыканий электрода на основном металле и других дефектов. Измерения сварных соединений следует проводить, применяя увеличительные приборы и измерительные инструменты: лупы измерительные металлические, лупы складные карманные, линейки измерительные металлические, штангенциркули, рулетки измерительные металлические и наборы шаблонов для контроля геометрии и размеров швов. При измерении сварных соединений проверяются: катеты швов угловых, тавровых и нахлесточных соединений, ширина и высота усиления сварного шва, длина и шаг прерывистых швов, величина нахлестки, высота чешуйчатости, размеры поверхностных дефектов сварных соединений и величина смещения кромок.

Измерения следует выполнять после контроля внешним осмотром либо параллельно с ним. Результаты контроля заносятся в специальный журнал регистрации выполнения контроля сварных соединений внешним осмотром и измерениями. В случае обнаружения недопустимых отклонений от требований нормативно-технической документации или рабочих чертежей при контроле внешним осмотром и измерениями сварные соединения после устранения дефектов должны быть вновь подвергнуты контролю.

Заключение о качестве сварных соединений, проконтролированных дефектоскопистом, утверждается руководителем организации, производящей этот контроль, или другим ответственным работником, уполномоченным на проверку и подпись заключения.

| | | | | | | |
|------|------|----------|---------|------|----------------|------|
| | | | | | ДП-08.05.01-ПЗ | Лист |
| Изм. | Лист | № докум. | Подпись | Дата | | 82 |

Контроль натяжения болтов фланцевых соединений производится в полном объеме. Зазор между соприкасаемыми плоскостями фланцев в местах расположения болтов не допускаются. Щуп толщиной 0,1 мм не должен проникать в зону радиусом 40 мм от оси болта.

Предельные отклонения размеров при укрупнительной сборке не должны превышать величин представленных в таблице 4.1.

Таблица 4.1 - Предельные отклонения размеров в укрупнительных блоках

| Интервалы номинальных размеров, мм | Предельные отклонения, ± мм | | Контроль (метод, объем, вид регистрации) |
|------------------------------------|-----------------------------|----------------------|--|
| | Линейных размеров | Равенства диагоналей | |
| От 2500 до 4000 | 5 | 12 | Измерительный, каждый элемент и блок, журнал работ |
| Св. 4000 до 8000 | 6 | 15 | |
| Св. 8000 до 16000 | 8 | 20 | |
| Св. 16000 до 25000 | 10 | 25 | |
| Св. 25000 до 40000 | 12 | 30 | |

4.5 Потребность в материально-технических ресурсах

Перечень необходимых машин и технологического оборудования представлен в таблице 4.2. Перечень необходимой технологической оснастки, инструмента, инвентаря и приспособлений представлен в таблице 4.3. Перечень необходимых материалов и изделий представлен в таблице 4.4.

Таблица 4.2 – Машины и технологическое оборудование

| Наименование технологического процесса и его операций | Наименование машины, технологического оборудования, тип, марка | Основная характеристика, параметр | Количество |
|--|--|---|------------|
| Укрупнительная сборка конструкций | Автомобильный кран КС-45734 | $Q=16\text{ т}$, вылет 14 м при высоте подъема 8 м | 1 |
| Монтаж укрупнительных блоков на отметках от 0,000 до +120,500 | Кран гусеничный Terex-Demag CC 2500-1 | Высота подъема 130 м | 1 |
| Монтаж укрупнительных блоков на отметках от +120,500 до +228,500 | Монтажный вертолет Ми-10К | Монтажная грузоподъемность 8,5 т | 1 |
| Сварка соединений | Аппарат для сварки Lincoln Electric Invertrec V350-PRO | 380 В, 425 А | 4 |
| Выверка конструкций | Тахеометр SOKKIA IM-100 | Точность 1,5 мм | 2 |

Таблица 4.3 – Технологическая оснастка, инструмент, инвентарь и приспособления

| Наименование технологического процесса и его операций | Наименование технологической оснастки, инструмента, инвентаря и приспособлений, тип, марка | Основная техническая характеристика, параметр | Количество |
|--|--|---|------------|
| 1 | 2 | 3 | 4 |
| Строповка укрупненных блоков | Строп канатный петлевой УСК 1-5-5000 | $Q=5\text{ м}$ | 4 |
| Строповка укрупненных блоков | Строп канатный петлевой УСК 1-2-5000 | $Q=2\text{ м}$ | 8 |
| Строповка конструктивных элементов | Строп канатный 2-ветвевой 2СК-1-4000 | $Q=1\text{ м}$ | 2 |
| Строповка конструктивных элементов | Строп канатный петлевой УСК 1-2,5-5000 | $Q=2,5\text{ м}$ | 2 |
| Строповка укрупненных блоков | Строп канатный 2-ветвевой 2СК-2-4000 | $Q=2\text{ м}$ | 2 |
| Строповка укрупненных блоков | Строп канатный петлевой УСК 1-10-5000 | $Q=10\text{ м}$ | 4 |
| Строповка укрупненных блоков | Захват для труб ЗСПК-1-1,6 | $Q=1,6\text{ м}$ | 4 |
| Строповка конструктивных элементов | Захват для труб ЗСПК-1-5,0 | $Q=5\text{ м}$ | 8 |
| Строповка конструктивных элементов | Петлевой текстильный подъем | $Q=1\text{ м}$ | 4 |
| Укрупнительная сборка конструктивных элементов | Стенд для укрупнительной сборки | - | 2 |
| Монтаж фланцевых соединений | Динамометрический ключ Т06-НД | Крутящий момент 100-600 мм | 6 |
| Укрупнительная сборка конструктивных элементов | Лестница Alumet | Высота 6,74 м | 2 |
| Укрупнительная сборка конструктивных элементов | Уровень строительный УС2-II | - | 2 |
| Укрупнительная сборка конструктивных элементов | Лом стальной монтажный | - | 4 |
| Укрупнительная сборка конструктивных элементов | Ножницы по металлу | - | 4 |
| Контроль качества работ | Рулетка | - | 2 |
| Контроль качества работ | Метр складной металлический | - | 2 |
| Контроль качества работ | Отвес | - | 2 |
| Монтаж укрупнительных блоков на отметках от +120,500 до +228,500 | Наружный ловитель | - | 12 |
| Монтаж укрупнительных блоков | Страховочное приспособление для монтажников | Допускаемая нагрузка 600 кг | 10 |
| Монтаж укрупнительных блоков | Каска защитная | - | 87 |
| Монтаж укрупнительных блоков | Люлька электрофицированная | - | 4 |
| Монтаж укрупнительных блоков | Наружные навесные подмости | - | 24 |
| Укрупнительная сборка конструктивных элементов | Кондуктор одиночный | - | 12 |
| Сварка соединений | Зубило слесарное, ГОСТ 7211-86* | - | |
| Сварка соединений | Набор инструмента для ручной дуговой сварки, ЭНИ -300, ТУ 36-1160-81 | - | 4 |
| Сварка соединений | Сварочная маска | - | 8 |
| Сварка соединений | Кромкорез электрический | - | 4 |
| Сварка соединений | Машина ручная шлифовальная | Диаметр круга 100 мм | 2 |

Окончание таблицы 4.3

| 1 | 2 | 3 | 4 |
|-------------------------|-------------------------------|-------|----|
| Сварка соединений | Генератор сварочный | 600 А | 4 |
| Зачистка конструкций | Щетка стальная, ОСТ 17-830-80 | - | 4 |
| Контроль качества работ | Набор щупов, ТУ 2.034-225-87 | - | 12 |

Таблица 4.4 – Материалы и изделия

| Наименование технологического процесса и его операций, объем работ | Наименование материалов и изделий, марка, ГОСТ, ТУ | Единица измерения | Норма расхода материала на единицу измерения | Потребность на объем работ |
|--|--|-------------------|--|----------------------------|
| 1 | 2 | 3 | 4 | 5 |
| Укрупнительная сборка конструктивных элементов и монтаж отдельных конструктивных элементов | Труба стальная сечением 1020x22 мм | м | 541,47 кг | 675758,4 кг |
| Укрупнительная сборка конструктивных элементов и монтаж отдельных конструктивных элементов | Труба стальная сечением 720x22 мм | м | 378,7 кг | 109065,6 кг |
| Укрупнительная сборка конструктивных элементов и монтаж отдельных конструктивных элементов | Труба стальная сечением 530x20 мм | м | 251,55 кг | 93865,2 кг |
| Укрупнительная сборка конструктивных элементов и монтаж отдельных конструктивных элементов | Труба стальная сечением 478x11 мм | м | 126,69 кг | 39530,4 кг |
| Укрупнительная сборка конструктивных элементов и монтаж отдельных конструктивных элементов | Труба стальная сечением 168x8 мм | м | 31,57 кг | 7946,4 кг |
| Укрупнительная сборка конструктивных элементов | Труба стальная сечением 377x9 мм | м | 81,68 кг | 55152 кг |
| Укрупнительная сборка конструктивных элементов | Труба стальная сечением 377x10 мм | м | 90,51 кг | 24420 кг |
| Укрупнительная сборка конструктивных элементов | Труба стальная сечением 325x9 мм | м | 70,14 кг | 17244 кг |
| Укрупнительная сборка конструктивных элементов | Труба стальная сечением 273x9 мм | м | 58,6 кг | 61080 кг |
| Укрупнительная сборка конструктивных элементов | Труба стальная сечением 244,5x9 мм | м | 52,27 кг | 93960 кг |
| Укрупнительная сборка конструктивных элементов | Труба стальная сечением 127x3 мм | м | 9,17 кг | 2092,8 кг |
| Укрупнительная сборка конструктивных элементов | Труба стальная сечением 355,6x7 мм | м | 60,18 кг | 120960 кг |
| Укрупнительная сборка конструктивных элементов | Труба стальная сечением 193,7x8 мм | м | 18,71 кг | 25830 кг |
| Укрупнительная сборка конструктивных элементов | Труба стальная сечением 114x4 мм | м | 10,85 кг | 7795,2 кг |
| Укрупнительная сборка конструктивных элементов | Труба стальная сечением 177,8x2 мм | м | 8,67 кг | 4646,7 кг |
| Укрупнительная сборка конструктивных элементов | Труба стальная сечением 76x2 мм | м | 3,65 кг | 595,6 кг |

Окончание таблицы 4.4

| 1 | 2 | 3 | 4 | 5 |
|--|---------------------------------|----------------|----------|-------------|
| Укрупнительная сборка конструктивных элементов | Труба стальная сечением 30x2 мм | м | 1,38 кг | 696,8 кг |
| Сварка соединений | Электроды Э42А | м | 2,818 кг | 24240,44 кг |
| Сварка соединений | Проволока Св-08Г2С | м | 0,51 кг | 4387,02 кг |
| Антикоррозионное покрытие соединений | Грунтовка ХС-010 | м ² | 0,125 кг | 107,5 кг |
| Антикоррозионное покрытие соединений | Эмаль ХВ-1100 | м ² | 0,19 кг | 163,4 кг |
| Фланцевое соединение труб | Болты высокопрочные d=42 мм | шт | - | 4500 шт |
| Фланцевое соединение труб | Болты высокопрочные d=36 мм | шт | - | 864 шт |
| Фланцевое соединение труб | Болты высокопрочные d=24 мм | шт | - | 1680 шт |
| Фланцевое соединение труб | Болты высокопрочные d=16 мм | шт | - | 2064 шт |

4.6 Техника безопасности и охрана труда

При выполнении работ необходимо соблюдать требования [1], [15]. [47], [48], [64].

К выполнению работ допускаются лица не моложе 18 лет, не имеющие медицинских противопоказаний для выполнения работ данного вида, имеющие соответствующую квалификацию. Рабочие до начала работ до начала работ должны быть обеспечены спецодеждой, спецобувью, средствами индивидуальной защиты, в соответствии с утвержденными нормами.

Рабочие места должны быть обеспечены аптечками с медикаментами для оказания первой помощи.

Все работники, допущенные к проведению работ, должны пройти обучение по пожарной безопасности и до начала работ должны быть проинструктированы о соблюдении правил пожарной безопасности.

Монтажные работы должны производиться грузозахватными приспособлениями, имеющими 6-ти кратный запас прочности; иметь паспорт с отметкой о техническом освидетельствовании.

При перемещении груза подъемным средством необходимо соблюдать следующие требования: начинать подъем груза, предварительно подняв на высоту не более 200 – 300 мм, с последующей остановкой для проверки правильности строповки и надежности действия тормоза; не перемещать груз при нахождении под ним людей (допускается нахождение стропальщика возле груза во время его подъема или опускания, если груз поднят на высоту не более 1000 мм от уровня площадки); перемещать мелкоштучные грузы только в специальной, предназначенной для этого таре, чтобы исключить возможность выпадения отдельных частей груза; не начинать подъем груза,

| | | | | | | |
|------|------|----------|---------|------|----------------|------|
| | | | | | ДП-08.05.01-ПЗ | Лист |
| | | | | | | 86 |
| Изм. | Лист | № докум. | Подпись | Дата | | |

4.7 Техничко-экономические показатели

Калькуляция затрат и машинного времени приведена в таблице 4.5. технико-экономические показатели приведены на листе 11 графической части дипломного проекта.

Таблица 4.5 – Калькуляция затрат и машинного времени

| Обоснование по ЕНиР | Наименование работ | Объем работ | | Состав звена | На единицу измерения | | На объем | |
|---------------------|---|-----------------------------|---------|---|----------------------|--------------|--------------|--------------|
| | | Ед. изм. | Кол-во | | Нвр, чел.-ч. | Нвр, маш.-ч. | Qвр, чел.-ч. | Qвр, маш.-ч. |
| 1 | 2 | 3 | 4 | 5 | 6 | 7 | 8 | 9 |
| E5-1-1 | Сортировка конструкций | 1 т | 1340,64 | Монтажник 4 р. -1; 3 р. - 1. Машинист крана 6 р. | 0,65 | 0,32 | 871,4 2 | 429,00 |
| E5-1-3 | Укрупнительная сборка конструкций 1 яруса | Один отправочный элемент | 834 | Монтажник 6 р. -1; 5 р. - 1; 4р. -2; 3 р. -1. Машинист 6 р. 1 | 0,18 | 0,04 | 150,1 2 | 33,36 |
| | | 1 т | 638,56 | | 0,55 | 0,11 | 351,2 1 | 70,24 |
| E22-1-2 | Односторонняя сварка стыковых соединений конструктивных элементов укрупнительных блоков 1 яруса | 10 м шва | 241,2 | Электросварщик ручной сварки 3, 4, 5 и 6 р. | 12 | - | 2894,40 | - |
| E5-1-2 | Установка средств подмащивания на укрупненных блоках 1 яруса | шт | 19 | Монтажник 4 р. -1; 3 р. -1. Машинист 6 р. - 1. | 0,27 | 0,14 | 5,13 | 2,66 |
| E5-1-6 | Монтаж отдельных укрупнительных блоков 1 яруса краном | Один конструктивный блок | 31 | Монтажник 6 р. -1; 5 р. - 2; 4р. -3; 3 р. -1. Машинист 6 р. 1 | 7,6 | 1,1 | 235,6 0 | 34,10 |
| | | 1 т | 638,56 | | 0,87 | 0,12 | 555,5 5 | 76,63 |
| E5-1-9 | Монтаж отдельных конструктивных элементов 1 яруса краном | Один конструктивный элемент | 12 | Монтажник 5 р. - 1; 4р. -1; 3 р. -1. Машинист 6 р.- 1 | 3,5 | 0,75 | 42,00 | 9,00 |
| | | 1 т | 52,8 | | 0,7 | 0,15 | 36,96 | 7,92 |
| E22-1-2 | Односторонняя сварка стыковых соединений укрупнительных блоков 1 яруса | 10 м шва | 50,9 | Электросварщик ручной сварки 3, 4, 5 и 6 р. | 12 | - | 610,8 0 | - |
| E5-1-3 | Укрупнительная сборка конструкций 2 яруса | Один отправочный элемент | 384 | Монтажник 6 р. -1; 5 р. - 1; 4р. -2; 3 р. -1. Машинист 6 р. 1 | 0,18 | 0,04 | 69,12 | 15,36 |
| | | 1 т | 197,52 | | 0,55 | 0,11 | 108,6 4 | 21,73 |

Продолжение таблицы 4.5

| 1 | 2 | 3 | 4 | 5 | 6 | 7 | 8 | 9 |
|---------|---|-----------------------------|--------|--|------|------|---------|-------|
| E22-1-2 | Односторонняя сварка стыковых соединений конструктивных элементов укрупнительных блоков 2 яруса | 10 м шва | 106,1 | Электросварщик ручной сварки 3, 4, 5 и 6 р. | 12 | - | 1273,20 | - |
| E5-1-2 | Установка средств подмащивания на укрупненных блоках 2 яруса | шт | 8 | Монтажник 4 р. -1; 3 р. -1. Машинист 6 р. -1. | 0,27 | 0,14 | 2,16 | 1,12 |
| E5-1-6 | Монтаж отдельных укрупнительных блоков 2 яруса краном | Один конструктивный блок | 20 | Монтажник 6 р. -1; 5 р. -2; 4р. -3; 3 р. -1. Машинист 6 р. 1 | 7,6 | 1,1 | 152,00 | 22,00 |
| | | 1 т | 197,52 | | 0,87 | 0,12 | 171,84 | 23,70 |
| E5-1-9 | Монтаж отдельных конструктивных элементов 2 яруса краном | Один конструктивный элемент | 12 | Монтажник 5 р. -1; 4р. -1; 3 р. -1. Машинист 6 р. -1 | 3,5 | 0,75 | 42,00 | 9,00 |
| | | 1 т | 38,88 | | 0,7 | 0,15 | 27,22 | 5,83 |
| E22-1-2 | Односторонняя сварка стыковых соединений укрупнительных блоков 2 яруса | 10 м шва | 16,5 | Электросварщик ручной сварки 3, 4, 5 и 6 р. | 12 | - | 198,00 | - |
| E5-1-3 | Укрупнительная сборка конструкций 3 яруса | Один отправочный элемент | 483 | Монтажник 6 р. -1; 5 р. -1; 4р. -2; 3 р. -1. Машинист 6 р. 1 | 0,18 | 0,04 | 86,94 | 19,32 |
| | | 1 т | 142,26 | | 0,55 | 0,11 | 78,24 | 15,65 |
| E22-1-2 | Односторонняя сварка стыковых соединений конструктивных элементов укрупнительных блоков 3 яруса | 10 м шва | 97,6 | Электросварщик ручной сварки 3, 4, 5 и 6 р. | 12 | - | 1171,20 | - |
| E5-1-2 | Установка средств подмащивания на укрупненных блоках 3 яруса | шт | 13 | Монтажник 4 р. -1; 3 р. -1. Машинист 6 р. -1. | 0,27 | 0,14 | 3,51 | 1,82 |
| E5-1-6 | Монтаж отдельных укрупнительных блоков 3 яруса краном | Один конструктивный блок | 3 | Монтажник 6 р. -1; 5 р. -2; 4р. -3; 3 р. -1. Машинист 6 р. 1 | 7,6 | 1,1 | 22,80 | 3,30 |
| | | 1 т | 52,2 | | 0,87 | 0,12 | 45,41 | 6,26 |
| E5-1-6 | Монтаж отдельных укрупнительных блоков 3 яруса вертолетом | Один конструктивный блок | 49 | Монтажник 6 р. -1; 5 р. -2; 4р. -3; 3 р. -1. Машинист 6 р. 1 | 7,6 | 1,1 | 372,40 | 53,90 |
| | | 1 т | 90,06 | | 0,87 | 0,12 | 78,35 | 10,81 |

Продолжение таблицы 4.5

| 1 | 2 | 3 | 4 | 5 | 6 | 7 | 8 | 9 |
|---------|---|-----------------------------|-------|--|------|------|--------|--------|
| E5-1-9 | Монтаж отдельных конструктивных элементов 3 яруса | Один конструктивный элемент | 12 | Монтажник 5 р. - 1; 4р. -1; 3 р. -1. Машинист 6 р.- 1 | 3,5 | 0,7 | 42,00 | 8,40 |
| | | 1 т | 27,36 | | 0,75 | 0,15 | 20,52 | 4,10 |
| E22-1-2 | Односторонняя сварка стыковых соединений укрупнительных блоков 3 яруса | 10 м шва | 29,5 | Электросварщик ручной сварки 3, 4, 5 и 6 р. | 12 | - | 354,00 | - |
| E5-1-3 | Укрупнительная сборка конструкций 4 яруса | Один отправочный элемент | 600 | Монтажник 6 р. -1; 5 р. - 1; 4р. -2; 3 р. -1. Машинист 6 р. 1 | 0,18 | 0,04 | 108,00 | 24,00 |
| | | 1 т | 128,4 | | 0,55 | 0,11 | 70,62 | 14,12 |
| E22-1-2 | Односторонняя сварка стыковых соединений конструктивных элементов укрупнительных блоков 4 яруса | 10 м шва | 90,9 | Электросварщик ручной сварки 3, 4, 5 и 6 р. | 10 | - | 909,00 | - |
| E5-1-2 | Установка средств подмазывания на укрупненных блоках 4 яруса | шт | 13 | Монтажник 4 р. -1; 3 р. -1. Машинист 6 р. - 1. | 0,27 | 0,14 | 3,51 | 1,82 |
| E5-1-6 | Монтаж отдельных укрупнительных блоков 4 яруса вертолетом | Один конструктивный блок | 109 | Монтажник 6 р. -1; 5 р. - 2; 4р. -3; 3 р. -1. Машинист 6 р. 1 | 7,6 | 1,1 | 828,40 | 119,90 |
| | | 1 т | 128,4 | | 0,87 | 0,12 | 111,71 | 15,41 |
| E5-1-9 | Монтаж отдельных конструктивных элементов 4 яруса | Один конструктивный элемент | 12 | Монтажник 5 р. - 1; 4р. -1; 3 р. -1. Машинист 6 р.- 1 | 3,5 | 0,7 | 42,00 | 8,40 |
| | | 1 т | 14,4 | | 0,75 | 0,15 | 10,80 | 2,16 |
| E22-1-2 | Односторонняя сварка стыковых соединений укрупнительных блоков 4 яруса | 10 м шва | 58,9 | Электросварщик ручной сварки 3, 4, 5 и 6 р. | 10 | - | 589,00 | - |
| E5-1-3 | Укрупнительная сборка конструкций 5 яруса | Один отправочный элемент | 582 | Монтажник 6 р. -1; 5 р. - 1; 4р. -2; 3 р. -1. Машинист 6 р. 1 | 0,18 | 0,04 | 104,76 | 23,28 |
| | | 1 т | 60,96 | | 0,55 | 0,11 | 33,53 | 6,71 |
| E22-1-2 | Односторонняя сварка стыковых соединений конструктивных элементов укрупнительных блоков 5 яруса | 10 м шва | 77,1 | Электросварщик ручной сварки 3, 4, 5 и 6 р. | 3,5 | - | 269,85 | - |

Окончание таблицы 4.5

| 1 | 2 | 3 | 4 | 5 | 6 | 7 | 8 | 9 |
|---------|---|------------------------------------|-------|---|------|------|---------|---------|
| E5-1-2 | Установка средств подмащивания на укрупненных блоках 5 яруса | <i>шт</i> | 13 | Монтажник 4 р. -1; 3 р. -1. Машинист 6 р. - 1. | 0,27 | 0,14 | 3,51 | 1,82 |
| E5-1-6 | Монтаж отдельных укрупнительных блоков 5 яруса вертолетом | <i>Один конструктивный блок</i> | 103 | Монтажник 6 р. - 1; 5 р. - 2; 4р. -3; 3 р. -1. Машинист 6 р. 1 | 7,6 | 1,1 | 782,80 | 113,30 |
| | | <i>1 т</i> | 60,96 | | 0,87 | 0,12 | 53,04 | 7,32 |
| E5-1-6 | Монтаж отдельных конструктивных элементов 5 яруса | <i>Один конструктивный элемент</i> | 12 | Монтажник 5 р. - 1; 4р. -1; 3 р. -1. Машинист 6 р.- 1 | 3,5 | 0,7 | 42,00 | 8,40 |
| | | <i>1 т</i> | 6 | | 0,75 | 0,15 | 4,50 | 0,90 |
| E22-1-2 | Односторонняя сварка стыковых соединений укрупнительных блоков 5 яруса | <i>10 м шва</i> | 43,8 | Электросварщик ручной сварки 3, 4, 5 и 6 р. | 3,5 | - | 153,30 | - |
| E5-1-3 | Укрупнительная сборка конструкций 6 яруса | <i>Один отправочный элемент</i> | 781 | Монтажник 6 р. - 1; 5 р. - 1; 4р. -2; 3 р. -1. Машинист 6 р. 1 | 0,18 | 0,04 | 140,58 | 31,24 |
| | | <i>1 т</i> | 15,96 | | 0,55 | 0,11 | 8,78 | 1,76 |
| E22-1-2 | Односторонняя сварка стыковых соединений конструктивных элементов укрупнительных блоков 6 яруса | <i>10 м шва</i> | 44,3 | Электросварщик ручной сварки 3, 4, 5 и 6 р. | 2,7 | - | 119,61 | - |
| E5-1-2 | Установка средств подмащивания на укрупненных блоках 6 яруса | <i>шт</i> | 2 | Монтажник 4 р. -1; 3 р. -1. Машинист 6 р. - 1. | 0,27 | 0,14 | 0,54 | 0,28 |
| E5-1-6 | Монтаж отдельных укрупнительных блоков 6 яруса вертолетом | <i>Один конструктивный блок</i> | 2 | Монтажник 6 р. - 1; 5 р. - 2; 4р. -3; 3 р. -1. Машинист 6 р. 1 | 7,6 | 1,1 | 15,20 | 2,20 |
| | | <i>1 т</i> | 15,96 | | 0,87 | 0,12 | 13,89 | 1,92 |
| E22-1-2 | Односторонняя сварка стыковых соединений укрупнительных блоков 6 яруса | <i>10 м шва</i> | 3,4 | Электросварщик ручной сварки 3, 4, 5 и 6 р. | 2,7 | - | 9,18 | - |
| | Итого | | | | | | 14500,8 | 1270,14 |

5 Организация строительного производства

5.1 Продолжительность строительства

5.1.1 Обоснование принятой нормативной продолжительности строительства

Высота сооружения составляет 228,5 м. Общее число посетителей кафе – 100 чел.

Согласно [46] продолжительность строительства телевизионной передающей станции, включающей в себя техническое здание и опору высотой 250 м, составляет 30 мес. Продолжительность строительства кафе на 100 мест составляет 6 мес.

С учетом интерполяции нормативная продолжительность строительства составит 33,5 мес. За счет выполнения работ в две смены продолжительность строительства снижается до 30,1 мес.

5.1.2 Обоснование принятой плановой продолжительности строительства объекта капитального строительства

Согласно [30] для составления сетевого графика необходимо определить плановую продолжительность строительства. Сетевым графиком называется графическое изображение технологической последовательности выполнения работ при строительстве здания с указанием их продолжительности и всех временных параметров, а также общего срока строительства. Отличительными особенностями сетевого графика являются наличие технологической последовательности работ и взаимосвязи между ними, вероятность выявления работ, от окончания которых зависит продолжительность строительства, возможность рассмотрения вариантов продолжительности и продолжения работ с целью улучшения сетевого графика, возможность использования ЭВМ для расчетов параметров графика при планировании и управлении строительством.

Карта-определитель сетевого графика представлена в приложении Г пояснительной записки. Сетевой график представлен на листе 13 графической части. Плановая продолжительность составила 30,1 мес.

| | | | | | | |
|------|------|----------|---------|------|----------------|------|
| | | | | | ДП-08.05.01-ПЗ | Лист |
| | | | | | | 92 |
| Изм. | Лист | № докум. | Подпись | Дата | | |

5.2 Организация строительной площадки

5.2.1 Исходные данные

Для принятия решений по организации строительства телевизионной башни со встроенной телестудией и кафе являются характеристика земельного участка расположения объекта капитального строительства, информация об инфраструктуре района строительства, объемно-планировочные и конструктивные решения, принятые в архитектурно-строительном и конструктивном разделе дипломного проекта.

При возведении сооружения используется труд местных работников, их необходимое количество обеспечивается генподрядными и субподрядными организациями. До начала производства работ необходимо осуществить мероприятия по отключению инженерных сетей, находящихся вблизи объекта капитального строительства. Вокруг строительной площадки необходимо установить ограждения.

Организация строительной площадки должна осуществляться согласно [22], [23], [31].

5.2.2 Определение необходимости в основных строительных машинах и механизмах

Т.к. высота подъема крюка башенных свободностоящих кранов ограничивается расстоянием в 75 м, то наиболее рационально выполнять возведение сооружения с помощью гусеничного самоходного крана до высоты, ограниченной его технологическими возможностями, далее до проектной высоты в 228,5 м монтаж сооружения осуществляется с помощью вертолета.

Определим необходимые характеристики гусеничного крана

1) Монтажная масса определяется по формуле

$$M = M_{\text{э}} + M_{\text{з}}, \quad (5.1)$$

где $M_{\text{э}}$ - масса наиболее тяжелого элемента, т;

$M_{\text{з}}$ - масса грузозахватного устройства, т.

$$M = 33,28 + 0,068 = 33,35 \text{ т},$$

| | | | | | | | | | |
|------|------|----------|---------|------|--|--|--|--|------|
| | | | | | | | | | Лист |
| | | | | | | | | | 93 |
| Изм. | Лист | № докум. | Подпись | Дата | | | | | |

2) Монтажный вылет крюка определим графическим путем. Для этого через точку А, находящуюся на расстоянии 1 м по вертикали и горизонтали от крайней точки контура сооружения проводим линию под углом 60° к линии БВ, расположенной на 1,5 м от поверхности земли до пересечения с прямой, проходящей через центр тяжести наиболее удаленного элемента. В масштабе замеряем полученное расстояние. Монтажный вылет крюка равен 68,9 м.

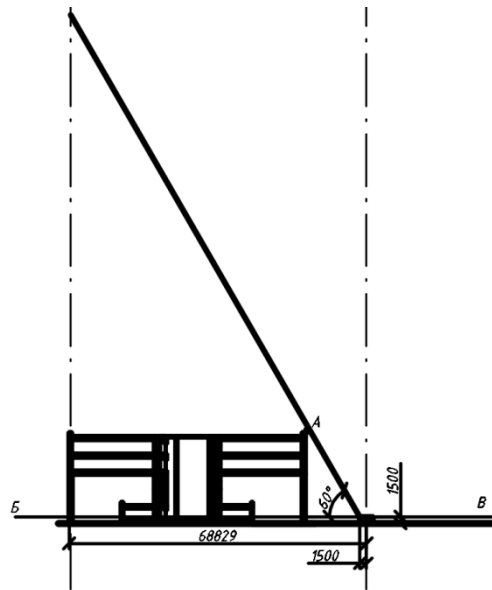


Рисунок 5.1 – Определение монтажного вылета крюка графическим методом

Выбираем гусеничный кран Terex-Demag СС 2500-1 максимальной грузоподъемностью на вылете 70 м - 33 т; на вылете 40 м (для монтажа наиболее тяжелого элемента) – 35,1 т, максимальным монтажным вылетом крюка 114 м, высотой подъема 130 м. Длина основной стрелы – 78 м, вспомогательной 60 м.

Для монтажа выше отметки +120,500 применяем монтажный вертолет Ми-10 К, грузоподъемностью на монтажных работах 8,5 т.

Определение опасных зон произведем по [41].

Радиус действия монтажной зоны определяется по формуле

$$R_m = l_2 + x, \quad (5.2)$$

где l_2 - наибольший габарит перемещаемого груза, м;

x - минимальное расстояние отлета груза, м.

$$R_m = 15,02 + 10 = 25,02 \text{ м,}$$

| | | | | | | | | | |
|------|------|----------|---------|------|--|--|--|--|------|
| | | | | | | | | | Лист |
| | | | | | | | | | 94 |
| Изм. | Лист | № докум. | Подпись | Дата | | | | | |

Зона обслуживания крана

$$R_p = L_k = 70 \text{ м.}$$

Опасная зона работы крана

$$R_{on} = R_{max} + 0,5 \cdot b_{эл} + l_{эл. max} + x, \quad (5.3)$$

где R_{max} - максимальный вылет крюка крана, м;

$b_{эл}$ - высота элемента, м;

$l_{эл. max}$ - ширина наибольшего монтируемого элемента, м;

x - минимальное расстояние отлета груза, м.

$$R_{on} = 70 + 0,5 \cdot 6 + 15,02 + 15 = 103,02 \text{ м.}$$

Зона перемещения грузов

$$R_{пер.зр.} = R_{on} - L_k = 103,02 - 70 = 33,02 \text{ м.}$$

5.2.3 Определение потребности в основных материалах, конструкциях, изделиях

Объем работ представлен в таблице 5.1. Карта определитель представлена в приложении В.

Таблица 5.1 – Объем работ

| Наименование работ | Объем работ | |
|---|---------------------|--------|
| | Ед. изм. | Кол-во |
| 1 | 2 | 3 |
| Земляные работы | | |
| Срезка растительного слоя (ДЗ-24А) | 1000 м ² | 2,29 |
| Разработка котлована экскаватором | 100 м ³ | 22,54 |
| Разработка грунта вручную | 1 м ³ | 2,13 |
| Уплотнение грунта (ДУ-29А) | 1000 м ³ | 0,94 |
| Обратная засыпка (Д-259) | 100 м ³ | 20,29 |
| Устройство фундаментов и подземной части здания | | |
| Устройство щебеночной подготовки под фундамент | 1 м ³ | 3,19 |
| 1 | 2 | 3 |
| Устройство фундаментов железобетонных объемом до 3 м ³ | 1 м ³ | 19,49 |
| Устройство фундаментов железобетонных объемом св. 25 м ³ | 1 м ³ | 38,77 |
| Устройство бетонной подготовки | 1 м ³ | 3,39 |
| Устройство безбалочных перекрытий толщиной до 200 мм | 1 м ³ | 141,3 |
| Устройство железобетонных стен подвала | 1 м ³ | 45,22 |
| Устройство гидроизоляции горизонтальной поверхности | 100 м ² | 7,76 |
| Устройство гидроизоляции боковой поверхности | 100 м ² | 2,76 |

Окончание таблицы 5.2

| 1 | 2 | 3 |
|---|---|---------|
| Устройство монолитных ростверков | 100 м ³ | 57,67 |
| Устройство надземной части | | |
| Укрупнительная сборка стальных конструкций | <i>Один отправочный заводской элемент</i> | 3664 |
| Устройство железобетонного лестнично-лифтового узла | м ³ | 665,78 |
| Монтаж укрупненных блоков | <i>Один укрупненный блок</i> | 329 |
| Монтаж колонн | <i>Один отправочный заводской элемент</i> | 72 |
| Монтаж главных балок | <i>Один отправочный заводской элемент</i> | 48 |
| Монтаж второстепенных балок | <i>Один отправочный заводской элемент</i> | 336 |
| Устройство монолитных перекрытий по балкам | м ³ | 1937,96 |
| Монтаж связей | <i>Один отправочный заводской элемент</i> | 36 |
| Монтаж вантовых элементов | <i>Один отправочный заводской элемент</i> | 24 |
| Устройство стен из легкогобетонных плит с облицовкой кирпичом | 1 м ³ | 80,07 |
| Устройство перегородок из легкогобетонных плит толщиной до 100 мм вестибюля | 100 м ² | 17,55 |
| Изоляция теплоизоляционными плитами стен | 1 м ² | 376,8 |
| Монтаж витражных систем | 100 м ² | 21,29 |
| Установка оконных блоков | 1 м ² | 15,38 |
| Установка дверных блоков | 1 м ² | 92,3 |
| Изоляция теплоизоляционными плитами перекрытий | 1 м ² | 7404,12 |
| Устройство цементной выравнивающей стяжки кровли толщиной 20 мм | 100 м ² | 36,29 |
| Устройство пароизоляции рулонными материалами | 100 м ² | 36,29 |
| Покрытие крыш рулонными материалами с помощью машины | 100 м ² | 36,29 |
| Подготовка бетонного основания полов | 100 м ² | 59,91 |
| Устройство цементной стяжки пола | 100 м ² | 59,91 |
| Подготовка поверхностей под оштукатуривание | 100 м ² | 97,45 |
| Простая штукатурка внутри зданий по камню и бетону стен | 100 м ² | 73,09 |
| Простая штукатурка внутри зданий по камню и бетону потолков | 100 м ² | 24,36 |
| Грунтование краскопультом ручным | 100 м ² | 97,45 |
| Окрашивание водоэмульсионными составами пистолетом распылителем стен | 100 м ² | 42,64 |
| Окрашивание водоэмульсионными составами пистолетом распылителем потолков | 100 м ² | 14,21 |
| Устройство подвесных потолков | 100 м ² | 16,76 |
| Обработка декоративной штукатуркой стен | 1 м ² | 3579 |
| Отделка стен декоративным камнем | 1 м ² | 299,16 |
| Устройство покрытий пола из плиток ПВХ на мастике | 100 м ² | 7,86 |
| Устройство бесшовных покрытий пола на эпоксидной смоле | м ² | 4128,2 |

5.2.4 Организация складского хозяйства

Необходимые запасы материалов и элементов рассчитываются по формуле

$$P_{скл} = \frac{P_{общ}}{T} \cdot T_n \cdot K_1 \cdot K_2, \quad (5.4)$$

где $P_{общ}$ – количество материалов и элементов, требуемых для выполнения плана строительства на расчетный период;

T – продолжительность расчетного периода по календарному плану, в дн.;

T_n – норма запаса материала, в дн.;

K_1 – коэффициент неравномерности поступления материалов на склад ($K_1=1,1-1,5$);

K_2 – коэффициент неравномерности производственного потребления материала в течение расчетного периода ($K_2=1,3$).

Полезную площадь склада (без проходов), занимаемую материалом, определяют по формуле

$$F = \frac{P_{скл}}{V}, \quad (5.5)$$

где $P_{скл}$ – общее количество хранимого на складе материала;

V – количество материала, укладываемого на 1 м^2 площади склада.

Общую площадь склада (включая проходы) определяют по формуле

$$S = \frac{F}{\beta}, \quad (5.6)$$

где β – коэффициент использования склада, характеризующий отношение полезной площади к общей (для закрытых складов 0,6-0,7; для навесов 0,5-0,6; для открытых складов 0,4-0,6).

Подсчет площади складов представлен в таблице 5.2

Таблица 5.2 – Подсчет площади складов (для надземной части здания)

| Наименование материалов | Ед. изм. | Кол-во на 1 м ² полезной площади складов | Продолжительность, дн | Нормы запасов при перевозке, дн. | Общее кол-во материала | Необходимый запас материала | Полезная площадь склада, м ² | Общая площадь склада, м ² |
|-------------------------|----------------------|---|-----------------------|----------------------------------|------------------------|-----------------------------|---|--------------------------------------|
| Металлоконструкции | <i>t</i> | 1,25 | 523 | 15 | 1709,2 | 70,10 | 56,08 | 93,47 |
| Арматура | <i>t</i> | 1,3 | 446 | 20 | 260,4 | 16,7 | 12,84 | 21,41 |
| Опалубка | <i>м²</i> | 20 | 446 | 20 | 12330,8 | 790,72 | 39,54 | 65,89 |
| Профнастил | <i>t</i> | 1,5 | 446 | 15 | 43,8 | 2,11 | 1,4 | 2,34 |
| Витражи | <i>м2</i> | 20 | 251 | 20 | 2172,3 | 247,52 | 12,38 | 17,68 |

Площадь открытых складов составляет 95,81 м²; закрытых складов - 17,68 м²; навесов 87,3 м².

5.2.5 Обоснование потребности строительства в кадрах, временных зданиях и сооружениях

Расчет ведем в соответствии с [23], [39]. Наибольшее количество рабочих в наиболее загруженную смену составляет – 75 человек.

Численность сотрудников в наиболее загруженную смену составляет, из них:

- а) рабочие – 75 человек;
- б) сотрудники ИТР – 9 человек;
- в) сотрудники ПСО – 3 человека.

Площадь санитарно-бытового помещения определяется по формуле

$$S_{mp} = N \cdot S_n, \quad (5.7)$$

где N – общая численность рабочих, чел;

S_n – нормативный показатель площади, м²/чел.

Таблица 5.3 – Распределение числа работников

| Категория работников | Всего | | В первую смену | |
|----------------------|-----------|-------------|----------------|-------------|
| | уд.вес, % | кол-во, чел | уд.вес, % | кол-во, чел |
| Рабочие | 85 | 75 | 70 | 53 |
| ИТР | 11 | 9 | 80 | 7 |
| ИСО | 4 | 3 | 80 | 2 |
| Итого | 100 | 87 | | 62 |

Расчет площадей временных помещений сведем в таблицу 5.4.

Таблица 5.4 – Требуемые площади временных помещений

| Временные здания | Кол-во человек | Площадь, м ² | | Тип помещения | Полезная площадь, м ² | | Кол-во зданий |
|------------------------------|----------------|-------------------------|-----------|---------------|----------------------------------|-------------|---------------|
| | | На 1 чел | Расчетная | | Одного здания | Всех зданий | |
| 1 | 2 | 3 | 4 | 5 | 6 | 7 | 8 |
| Санитарно-бытовые помещения | | | | | | | |
| Гардеробная | 75 | 0,9 | 67,5 | 4810-32 | 23 | 67,5 | 3 |
| Душевая | 43 | 0,43 | 18,49 | ВД-4 | 25 | 18,49 | 1 |
| Пункт обогрева и приема пищи | 62 | 0,6 | 37,2 | ВС-20 | 29,5 (20 мест) | 59 | 2 |
| Умывальная | 62 | 0,05 | 3,1 | Э420-01 | 7,9 | 7,9 | 1 |
| Сушилка | 62 | 0,05 | 3,1 | Э420-01 | 7,9 | 7,9 | 1 |
| Медпункт | 62 | 20 на 300 чел | 4,13 | ЦУБ | 23 | 23 | 1 |
| Служебные помещения | | | | | | | |
| Прорабская | 9 | 24 на 5 чел | 43,2 | ГОСС-11-3 | 24 | 48 | 2 |
| Общественные помещения | | | | | | | |
| КПП | 2 | 7 на 1 чел | 14 | 5055-4 | 7 | 14 | 2 |
| Всего | | | | | | 245,79 | 13 |
| Проходы 30% | | | | | | 73,74 | |
| Итого | | | | | | 319,53 | 13 |

5.2.6 Электроснабжение строительной площадки

Потребность в электроэнергии, *кВт*, определяется на период выполнения максимального объема строительного-монтажных работ по формуле

$$P = L_x \left(\frac{K_1 P_M}{\cos E_1} + K_3 P_{o.v.} + K_4 P_{o.n.} + K_5 P_{cв} \right), \quad (5.8)$$

где $L_x = 1,05$ - коэффициент потери мощности в сети;

P_M - сумма номинальных мощностей работающих электромоторов (бетоноломы, трамбовки, вибраторы и т.д.);

$P_{o.v.}$ - суммарная мощность внутренних осветительных приборов, устройств для электрического обогрева (помещения для рабочих, здания складского назначения);

$P_{o.n.}$ - то же, для наружного освещения объектов и территории;

$P_{cв}$ - то же, для сварочных трансформаторов;

Выбираем трансформаторную подстанцию закрытой конструкции СКТП-180/10/6/0,4/0,23 мощностью 180 кВт с размерами в плане 3,0х3,5м.

Требуемое количество прожекторов для строительной площадки определим по формуле

$$n = \frac{P \cdot E \cdot S}{P_{л}} \quad (5.9)$$

где P – удельная мощность, Вт/м² (для освещения используем ПЗС-35 мощностью $P = 0,4 \text{ Вт/м}^2$);

E – освещенность, лк (принимаем $E = 1,5$ лк);

S – площадь, подлежащая освещению, м²;

$P_{л}$ – мощность лампы прожектора, Вт ($P_{л} = 500 \text{ Вт}$).

$$n = \frac{0,4 \cdot 1,5 \cdot 47490,25}{500} = 57.$$

Принимаем для освещения строительной площадки 57 прожекторов.

Наиболее экономичным источником электроснабжения являются районные сети высокого напряжения. В подготовительный период строительства сооружают ответвление от существующей высоковольтной сети на площадку и трансформаторную подстанцию, мощностью 180 кВт. Разводящую сеть на строительной площадке устраиваем по смешанной схеме. Электроснабжение от внешних источников производится по воздушным линиям электропередач.

5.2.7 Временное водоснабжение

Потребность $Q_{тр}$ в воде определяется суммой расхода воды на производственные $Q_{пр}$ и хозяйственно-бытовые $Q_{хоз}$ нужды

$$Q_{тр} = Q_{пр} + Q_{хоз} + Q_{пож} \quad (5.9)$$

Расход воды на производственные потребности, л/с

$$Q_{пр} = K_{н} \frac{q_{п} \Pi_{п} K_{ч}}{3600t}, \quad (5.10)$$

где $q_{п} = 500$ л - расход воды на производственного потребителя (поливка бетона, заправка и мытье машин и т.д.);

| | | | | | | | | | |
|------|------|----------|---------|------|--|--|--|--|------|
| | | | | | | | | | Лист |
| | | | | | | | | | 101 |
| Изм. | Лист | № докум. | Подпись | Дата | | | | | |

ДП-08.05.01-ПЗ

- на строительной площадке должны быть обеспечены безопасных условия труда, исключаяющие возможность поражения электрическим током, в соответствии с нормативной документацией;
- запроектировано необходимое освещение строительной площадки, проходов и рабочих мест;
- на строительном генеральном плане указаны места для размещения пожарных постов, оборудованных инвентарем для пожаротушения.

5.2.10 Мероприятия по охране окружающей среды и рациональному использованию природных ресурсов в период строительства

В период строительства сооружения необходимо производить природоохранные мероприятия по следующим основным направлениям: охрана и рациональное использование водных ресурсов, земли и почвы; снижение уровня загрязнения воздуха; борьба с шумом.

В связи с этим должны быть установлены границы строительной площадки, должна быть обеспечена максимальная сохранность на территории строительства деревьев, кустарников, травяного покрова. При планировке территории почвенный слой, пригодный для дальнейшего использования должен быть снят и складирован в специально отведенные места.

С территории строительства должен быть организован своевременный вывоз мусора и обеспечено максимальное сохранение территории от загрязнений и строительного мусора. Перед выездом со строительной площадки предусмотрены мойки колес с временным септиком.

На строительной площадке должен быть обеспечен мониторинг за качеством воздуха и соблюдением предельно допустимого уровня шума и вибрационных воздействий в соответствии с [45].

Используемая строительная техника, машины и механизмы должны отвечать нормативным экологическим требованиям по их эксплуатации.

Перед сдачей объекта в эксплуатацию должны быть выполнены мероприятия по благоустройству территории.

| | | | | | | | | | | |
|------|------|----------|---------|------|--|--|--|--|--|------|
| | | | | | | | | | | Лист |
| | | | | | | | | | | 104 |
| Изм. | Лист | № докум. | Подпись | Дата | | | | | | |

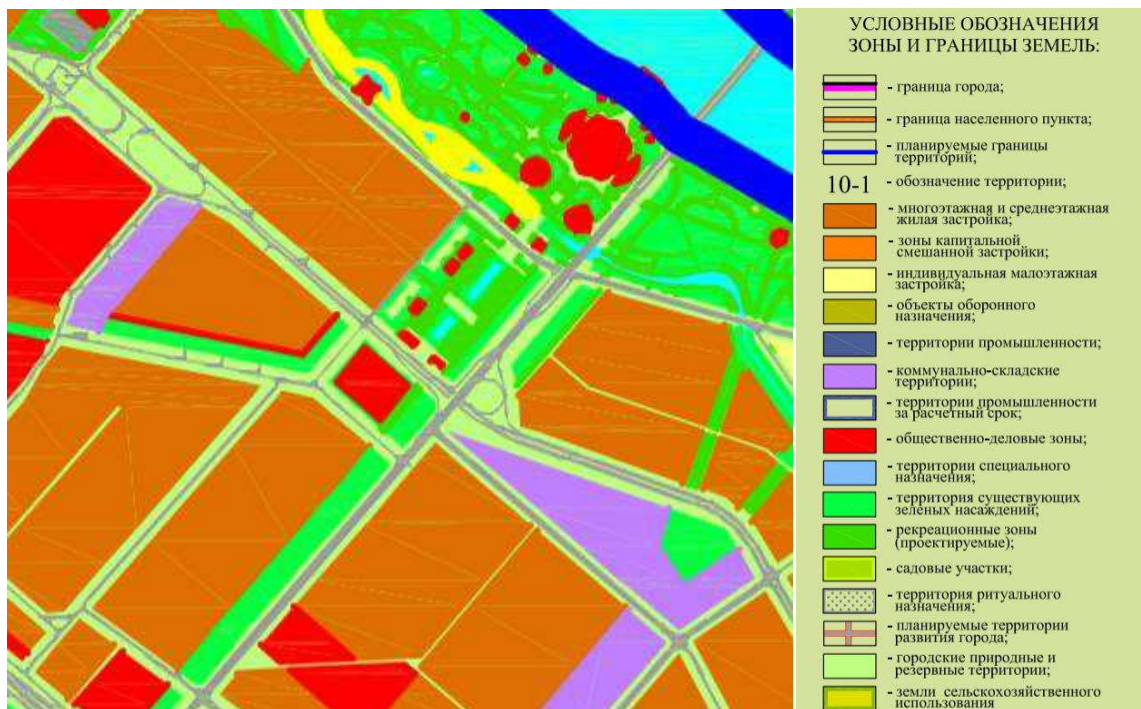


Рисунок 6.2 – Зонирование территории места строительства объекта

Для оценки целесообразности строительства объекта проанализируем рынок строительства башен в России, а также рынок недвижимости объектов офисного назначения и объектов общественного питания.

Согласно [43] как и в предыдущие годы, наблюдается прирост числа высотных конструкций за счет независимых башенных компаний «Русские Башни», «Вертикаль» и «Сервис-телеком». Из 5 тыс. новых конструкций в 2019 году 2,5 тыс. приходится на операторов мобильной связи. Остальные конструкции введены в эксплуатацию независимыми инфраструктурными операторами, парк которых расширяется почти на 30% в год. На 2020 и 2021 гг. ожидается возведение не менее 4000 новых объектов, из которых не менее половины будет приходиться на независимые инфраструктурные компании. На рисунках 6.3 и 6.4 приведены данные по числу высотных конструкций и башенных сооружений в стране на 2019 год.



Рисунок 6.3 – График количества высотных конструкций в России

Прирост БС (тыс.)

новые БС, размещаемые на старых и новых сайтах

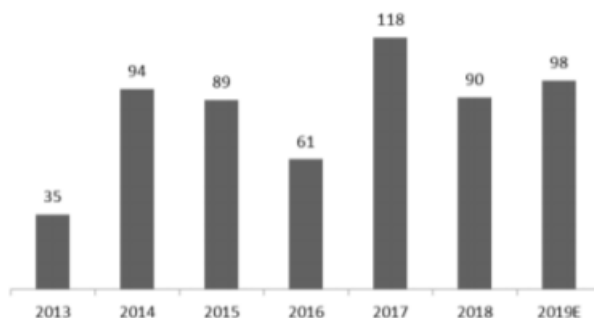


Рисунок 6.4 – График прироста числа башенных сооружений в России

Средняя ставка арендной платы на размещение базовой станции на высотном сооружении в регионах страны составляет 25-30 тыс. руб. в месяц. Статистика размера арендных ставок в Москве и регионах страны приведена на рисунке 6.5.

Средние ставки аренды места под размещение базовой станции на высотных объектах в 2018-19 г. (тыс. руб в месяц)



Рисунок 6.5 – График средних ставок аренды места под размещение базовой станции на высотных объектах

Конструкция телебашни позволит разместить базовые станции 20 телеканалов, 26 радиостанций, а так же станции четырех мобильных операторов. В среднем доходы от арендной платы в месяц составят 1,25 млн. руб. в месяц. Так же возможно увеличение количества размещаемых станций, если возникнет необходимость в этом.

Рассмотрим рынок коммерческой недвижимости в г. Омск. Объем рынка коммерческой недвижимости в сегменте продаж на IV квартал 2019 года представлен в Омске 339 предложений, или 284,85 тыс. м². Распределение объема предложений между видами площадей представлен на рисунке 6.6.

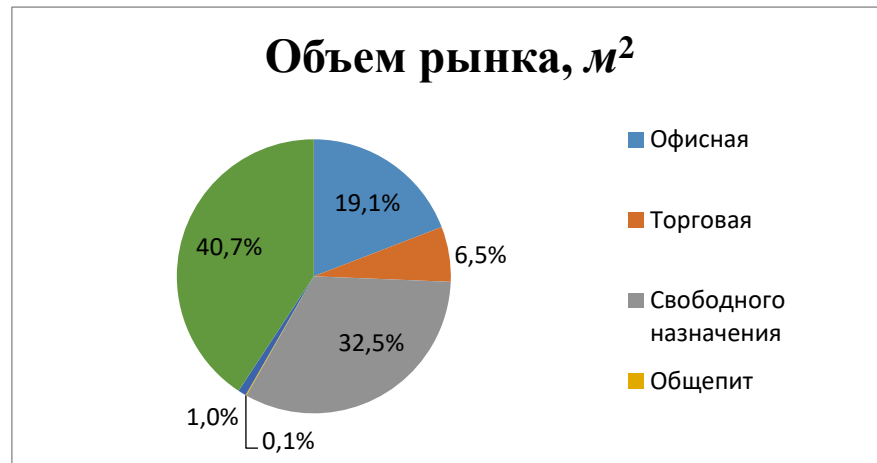


Рисунок 6.6 – Распределение объема предложения коммерческих площадей между видами площадей

Сниженное предложение специализированных площадей под офисы поддерживает цены в этом сегменте на высоком уровне. Средняя цена офисного помещения составляет 36906 руб/м². Средняя цена помещения общепита составляет 17497 руб/м².

При сдаче помещений в аренду цены варьируются в зависимости от площади помещений. Так для помещений телестудии, общей площадью 4270,4 м² арендная плата составит 320 руб/м² в месяц. Для помещений кафе общей площадью 552,64 м² арендная плата составит 490 руб/м².

Результаты анализа рынков башен и коммерческой недвижимости сведем в таблицу 6.1.

Таблица 6.1 – Результаты анализа рынка недвижимости

| Вид площади | Продажа | Аренда |
|-------------|-------------------|---------------------|
| Телебашня | - | 1250000 руб./мес. |
| Телестудия | 157603382,4 руб. | 1366528 руб./мес. |
| Кафе | 9669542,08 руб. | 270793,6 руб./мес. |
| Итого | 167272924,48 руб. | 2887321,6 руб./мес. |

Проведя анализ рынка башенной инфраструктуры в России, а также коммерческого рынка г. Омск, его план развития до 2022 года можно сделать вывод о целесообразности строительства данного объекта. Телебашня не занимает большой площади строительства, что снижает расходы на приобретение земли. Все материалы соответствуют современным требованиям, конструкция телебашни обеспечивает минимальный расход материала, удовлетворяя всем техническим показателям. За счет применения

Величина накладных расходов принимается с учетом нормативов накладных расходов по видам строительных и монтажных работ для строительных металлических конструкций составляет 90% от ФОТ по [26]. Сметная прибыль принимается по рекомендуемым нормативам сметной прибыли по видам строительных и монтажных работ для металлических конструкций и составляет 85% от ФОТ по [25].

По проведенному расчету сметная стоимость составит 231841771,72 руб. Анализ структуры сметной стоимости по элементам представлен в таблице 6.2.

Таблица 6.2 – Анализ структуры сметной стоимости по элементам

| Элемент | Сумма, руб | % |
|------------------------|--------------|--------|
| 1 | 2 | 3 |
| Прямые затраты | 159112896,00 | 68,63 |
| в том числе: | | |
| Материалы | 153755484,17 | 66,32 |
| Эксплуатация машин | 3006525,29 | 1,3 |
| ОЗП | 2350886,54 | 1,01 |
| Накладные расходы | 2411710,01 | 1,04 |
| Сметная прибыль | 2277726,12 | 0,98 |
| Лимитированные затраты | 29399144,29 | 12,68 |
| НДС | 38640295,29 | 16,67 |
| Итого | 231841771,72 | 100,00 |

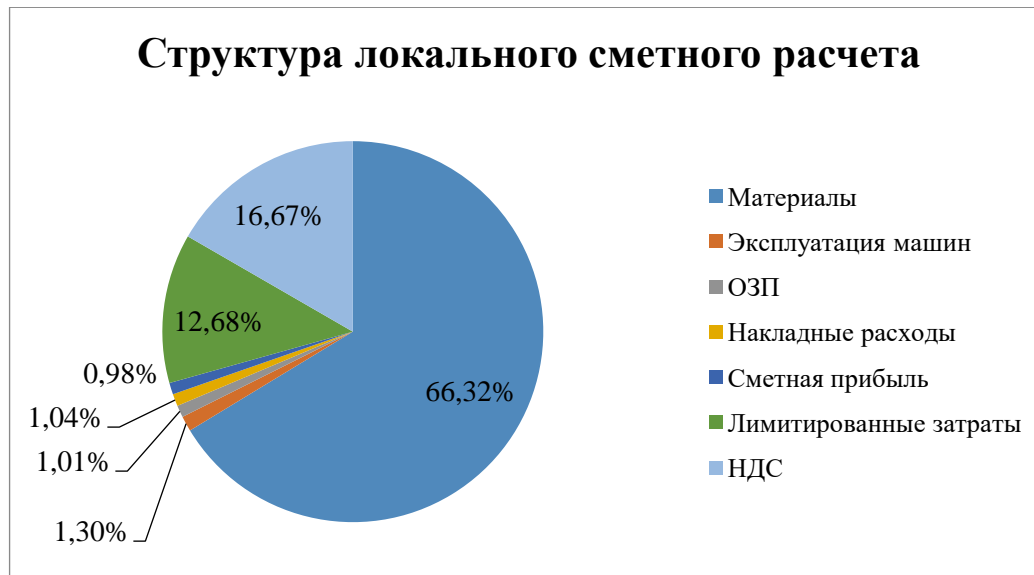


Рисунок 6.7 – Диаграмма структуры локального сметного расчета

Проанализировав диаграмму можно сделать вывод, что наибольшую стоимость составляют прямые затраты, а именно затраты на материалы (66,32 %), далее НДС (16,67%), наименьшее значение у сметной прибыли (0,98%).

6.3 Техничко-экономические показатели

Техничко-экономические показатели приведены в таблице 6.3.

Таблица 6.3 – Техничко-экономические показатели

| Наименование показателя | Единица измерения | Значение |
|---|-------------------|------------------------|
| 1 | 2 | 3 |
| Площадь застройки | м ² | 2334,21 |
| Высота сооружения | м | 228,5 |
| Материал несущих конструкций | | Металл |
| Материал лестнично-лифтового узла и перекрытий | | Монолитный железобетон |
| Высота этажа вестибюля | м | 3,065 |
| Высота этажа первого этажа телестудии | м | 3,15 |
| Высота этажа второго этажа телестудии | м | 3,365 |
| Высота этажа кафе | м | 3,6 |
| Строительный объем, всего | м ³ | 35019,76 |
| в том числе надземной части | м ³ | 33324,16 |
| Общая площадь помещений | м ² | 6843,24 |
| Полезная площадь помещений | м ² | 6136,74 |
| Расчетная площадь помещений, в том числе | м ² | 5782,88 |
| площадь вестибюля | м ² | 545,51 |
| площадь телестудии | м ² | 4719,55 |
| площадь кафе | м ² | 517,82 |
| Планировочный коэффициент | | 0,84 |
| Объемный коэффициент | | 5,12 |
| Стоимостные показатели | | |
| Сметная стоимость работ по устройству несущего металлического ствола башни | тыс.руб. | 231841,8 |
| Сметная себестоимость работ по устройству несущего металлического ствола башни на 1 м конструкций | руб. | 142416,64 |
| Сметная рентабельность производства (затрат) работ по устройству несущего металлического ствола башни | % | 1,19 |
| Показатели трудовых затрат | | |
| Трудоемкость производства работ по устройству несущего металлического ствола башни | чел.-ч. | 27552,42 |
| Трудоемкость производства работ по устройству несущего металлического ствола башни на 1 м конструкций | чел.-ч. | 20,55 |
| Нормативная выработка на 1 чел.-час. | руб./чел.-ч. | 8423,74 |
| Прочие показатели проекта | | |
| Продолжительность строительства | мес | 30,1 |

Планировочный коэффициент, показывающий долю основных помещений в общей площади здания и зависящий от внутренней планировки помещений, определяется по формуле

$$K_{пл} = \frac{S_{расч}}{S_{общ}}, \quad (6.1)$$

где $S_{расч}$ - расчетная площадь, $м^2$;

$S_{общ}$ - общая площадь, $м^2$.

$$K_{пл} = \frac{5782,88}{6843,24} = 0,84.$$

Объемный коэффициент, характеризующий отношение строительного объема здания к его общей площади, определяется по формуле

$$K_{об} = \frac{V_{стр}}{S_{общ}}, \quad (6.2)$$

где $V_{стр}$ - строительный объем, $м^3$;

$S_{общ}$ - общая площадь, $м^2$.

$$K_{об} = \frac{35019,76}{6843,24} = 5,12.$$

Сметная себестоимость работ по устройству несущего металлического ствола башни на 1 m определяется по формуле

$$C = \frac{ПЗ + НР + ЛЗ}{V}, \quad (6.3)$$

где $ПЗ$ - прямые затраты, $руб.$;

$НР$ - накладные расходы, $руб.$;

$ЛЗ$ - лимитированные затраты, $руб.$;

V - объем конструкций ствола башни, m .

$$C = \frac{159112896,00 + 2411710,01 + 29399144,29}{1340,6} = 142416,64 \text{ руб.}$$

| | | | | | | | | | |
|------|------|----------|---------|------|--|--|--|--|------|
| | | | | | | | | | Лист |
| | | | | | | | | | 113 |
| Изм. | Лист | № докум. | Подпись | Дата | | | | | |

Сметная рентабельность производства (затрат) работ по устройству несущего металлического ствола башни определяется по формуле

$$R_3 = \frac{СП}{ПЗ + НР + ЛЗ} \cdot 100\%, \quad (6.4)$$

где $СП$ - сметная прибыль, руб.

$$R_3 = \frac{2277726,12}{159112896,00 + 2411710,01 + 29399144,29} \cdot 100\% = 1,19\%.$$

Нормативная выработка на 1 чел.-ч. определяется по формуле

$$B = \frac{C_{СМР}}{ТЗО_{СМ}}, \quad (6.5)$$

где $C_{СМР}$ - стоимость СМР, руб.

$ТЗО_{СМ}$ - затраты труда основных рабочих, чел.-ч.

$$B = \frac{231841771,72}{27522,42} = 8423,74 \text{ руб. / чел. - ч.}$$

ЗАКЛЮЧЕНИЕ

В ходе дипломного проектирования по теме «Телевизионная башня высотой 228,5 м со встроенной телестудией и кафе в г.Омск» были разработаны следующие разделы: вариантное проектирование, архитектурно-строительный раздел, конструктивный раздел, включая фундаменты, технология строительного производства, организация строительного производства и экономика строительства.

В разделе «Вариантное проектирование» были рассмотрены три варианта решетки ствола башни: крестовая, треугольная с дополнительными распорками и крестовая блочная решетка. По результатам расчета в ПК SCAD и при сравнении технико-экономических показателей для дальнейшей разработки была принята крестовая блочная решетка ствола башни.

В архитектурно-строительном разделе были приняты основные объемно-планировочные решения вестибюля, телестудии и кафе, разработаны архитектурные узлы.

В конструктивном разделе был произведен расчет сооружения в ПК SCAD, подобраны сечения несущих элементов, рассчитаны и разработаны основные узлы конструкций. При проектировании фундаментов было рассмотрено два варианта: фундамент мелкого заложения и свайный фундамент. В ходе расчета был принят кольцевой фундамент мелкого заложения.

В разделе «Технология строительного производства» была разработана технологическая карта на монтаж несущего ствола башни. В ходе разработки были подобраны основные машины и механизмы, составлен график производства работ, подсчитаны технико-экономические показатели технологической карты.

При разработке раздела «Организация строительного производства» была определена продолжительность строительства, которая составила 30,1 мес, построена сетевая модель производства работ по возведению сооружения, а так же разработан строительный генеральный план на возведение надземной части сооружения и рассчитаны его основные показатели.

В разделе «Экономика строительства» было произведено экономическое обоснование проекта и разработан локальный сметный расчет на возведение несущего металлического ствола башни, его сметная стоимость составила 231841,8 тыс. руб.

В ходе разработки дипломного проекта была доказана актуальность возведения телевизионной башни и рациональность выбора несущих конструкций, технологий строительства и применяемых материалов.

14 ГОСТ 8823-2018 Лифты грузовые. Основные параметры и размеры - Введ. 30.10.2018. - М. - Стандартиформ, 2018. - 20 с.

15 ГОСТ Р 12.4.026-2015 Система стандартов безопасности труда. Цвета сигнальные, знаки безопасности и разметка сигнальная. – Введ. 01.03.2017. –М.: Стандартиформ, 2017. – 81 с.

16 ГОСТ Р 21.1101-2013 Основные требования к проектное и рабочей документации - Введ. 01.01.2014. - М. Стандартиформ, 2014. - 59 с.

17 ГОСТ Р 21.1101-2013 Система проектной документации для строительства (СПДС). Основные требования к проектной и рабочей документации (с Поправкой). – Введ. 01.01.2014. – М.: Стандартиформ, 2014. – 59 с.

18 ГОСТ Р 57837-2017 Двутавры стальные горячекатаные с параллельными гранями полок. Технические условия (с Поправкой). – Введ. 01. 05. 5018 — М.: Стандартиформ, 2017. – 25 с.

19 ГОСТ Р ИСО 4014-2013 Болты с шестигранной головкой. Классы точности А и В (с Поправкой). – Введ. 01.07.2014. – М.: Стандартиформ, 2014. – 21 с.

20 ГСН 81-05-01.2001 Сборник сметных норм затрат на строительство временных зданий и сооружений. – Введ. 01.05.2001. – М: Госстрой России, 2001. – 15 с.

21 ГСН-81-05-02-2007 Сборник сметных норм дополнительных затрат при производстве строительно-монтажных работ в зимнее время (издание 2-е, исправленное и дополненное). – Введ. 28.03.2007. – М: Росстрой, 2007. – 70 с.

22 Дикман Л.Г. Организация строительного производства : учеб. для строительных вузов по специальности 290300 «Промышленное и гражданское строительство»/Л. Г. Дикман. – 2006г. – 424с.

23 МДС 12.46-2008 Методические рекомендации по разработке и оформлению проекта организации строительства, проекта организации работ по сносу (демонтажу), проекта производства работ – Введ. 01.01.2009. – М.: ОАО ЦПП, 2009. – 36 с.

24 МДС 12-29.2006 Методические рекомендации по разработке и оформлению технологической карты. – Введ. 01.01.2007. – М.: ФГУП ЦПП, 2007. – 26 с.

25 МДС 81-25.2001 Методические указания по определению величины сметной прибыли в строительстве – Введ. 01.03.2001. – М.: Госстрой России 2001. – 13 с.

26 МДС 81-33.2004 Методические указания по определению величины накладных расходов в строительстве (с Изменениями и Дополнениями) – Введ. 12.01.2004. – М.: Госстрой России 2001. – 32 с.

| | | | | | | |
|------|------|----------|---------|------|----------------|------|
| | | | | | ДП-08.05.01-ПЗ | Лист |
| | | | | | | 117 |
| Изм. | Лист | № докум. | Подпись | Дата | | |

62 СП 49.13330.2010 Безопасность труда в строительстве: Ч.1. Общие требования. – Введ. 24.12.2010. – М.: Книга-сервис, 2003. – 48 с.

63 СП 50.13330.2012 Тепловая защита зданий. Актуализированная редакция СНиП 23-02-2003 -Введ. 01.07.2013. -М. - Минрегион России, 2012. - 139 с.

64 СП 52.13330.2016 Естественное и искусственное освещение. Актуализированная редакция СНиП 23-05-95*. – Введ. 08.05.2017. –М. Минстрой России, 2016. – 106 с.

65 СП 59.13330.2016 Доступность зданий и сооружений для маломобильных групп населения. Актуализированная редакция СНиП 35-01-2001 - Введ 23.12.2016. - М. - Минстрой России, 2016. - 41 с.

66 СП 63.13330.2018 Бетонные и железобетонные конструкции. Основные положения. СНиП 52-01-2003. - Введ. 20.06.2019. - М.: Стандартиформ, 2018. -152 с.

67 СП 70.13330.2012 Несущие и ограждающие конструкции. Актуализированная редакция СНиП 3.03.01-87 (с Изменениями N 1, 3). – Введ. 01.07.2013. – М.: Госстрой, ФАУ "ФЦС", 2013. – 205 с.

68 СП 82.13330.2016 Благоустройство территорий. Актуализированная редакция СНиП III-10-75. – Введ. 17.06.2017. – М.: Стандартиформ, 2017. – 44 с.

69 ТУ 14-4-1216-82 Канаты стальные оцинкованные спиральные закрытой конструкции. – Введ. 01.06.1983. –М.: Министерство черной металлургии СССР, 1982. – 2 с.

70 Федеральный закон от 22.07.2008 N 123-ФЗ (ред. от 13.07.2015) Технический регламент о требованиях пожарной безопасности – Введ. 11.07.2008. – М.: Изд-во стандартов, 2008. – 98 с.

72 ФЕР 81-02-09-2001 Федеральные единичные расценки на строительные работы. Сборник 9. Строительные металлические конструкции.– Введ. 07.08.2003. – М: Госстрой России, 2003. – 39 с.

73 ФССЦ 81-01-2001 Цены на материалы, изделия, конструкции и оборудование, применяемые в строительстве . – Введ. 07.08.2003. – М: Госстрой России, 2003. – 2327 с.

| | | | | | | |
|-------------|-------------|-----------------|----------------|-------------|-----------------------|-------------|
| | | | | | <i>ДП-08.05.01-ПЗ</i> | <i>Лист</i> |
| | | | | | | 121 |
| <i>Изм.</i> | <i>Лист</i> | <i>№ докум.</i> | <i>Подпись</i> | <i>Дата</i> | | |

ПРИЛОЖЕНИЕ А
Спецификации к архитектурно-строительному разделу

Таблица А.1 - Экспликация помещений

| Номер помещения | Наименование | Площадь м ² |
|-----------------|-------------------------------------|------------------------|
| 1 | 2 | 3 |
| 1 | Тамбур | 34,83 |
| 2 | Тамбур | 17,29 |
| 3 | Помещение охраны | 8,79 |
| 4 | Гардероб | 52,36 |
| 5 | Мужской санузел | 30,48 |
| 6 | Женский санузел | 30,48 |
| 7 | Мужской санузел для МГН | 5,39 |
| 8 | Женский санузел для МГН | 4,51 |
| 9 | Служебный санузел | 4,16 |
| 10 | Помещение для уборочного инвентаря | 8,55 |
| 11 | Зона ожидания | 54,04 |
| 12 | Мусорокамера | 6,98 |
| 13 | Лифтовой холл | 30,12 |
| 14 | Лестничная клетка | 15,56 |
| 15 | Лестничная клетка | 15,56 |
| 16 | Аванзал | 25,81 |
| 17 | Обеденный зал | 161,72 |
| 18 | Бар | 5,39 |
| 19 | Мужской санузел | 19,25 |
| 20 | Женский санузел | 20,09 |
| 21 | Санузел для МГН | 5,58 |
| 22 | Помещение для уборочного инвентаря | 4,38 |
| 23 | Раздаточная | 12,01 |
| 24 | Буфет | 5,46 |
| 25 | Горячий цех | 17,76 |
| 26 | Холодный цех | 10,82 |
| 27 | Моечная столовой посуды | 4,72 |
| 28 | Сервизная | 3,88 |
| 29 | Доготовочный цех | 6,22 |
| 30 | Цех мучных изделий | 9,01 |
| 31 | Моечная кухонной посуды | 5,46 |
| 32 | Моечная тары полуфабрикатов | 5,46 |
| 33 | Помещение резки хлеба | 5,46 |
| 34 | Холодильная камера | 8,07 |
| 35 | Кладовая сухих продуктов | 9,01 |
| 36 | Кладовая напитков | 9,01 |
| 37 | Кладовая инвентаря | 5,46 |
| 38 | Кладовая и моечная тары | 5,46 |
| 39 | Загрузочная | 7,53 |
| 40 | Кабинет директора | 9,01 |
| 41 | Кабинет бухгалтера и администратора | 17,36 |
| 42 | Комната отдыха персонала | 7,32 |
| 43 | Служебный санузел | 6,03 |

| | | | | |
|------|------|----------|---------|------|
| Изм. | Лист | № докум. | Подпись | Дата |
|------|------|----------|---------|------|

ДП-08.05.01-ПЗ

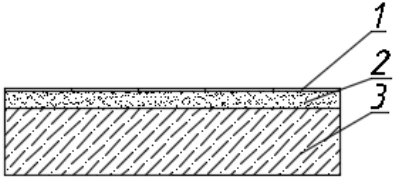
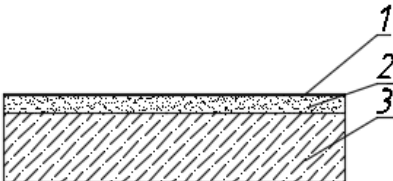
Лист

122

Окончание таблицы А.1

| 1 | 2 | 3 |
|-------|-------------------|--------|
| 44 | Женский гардероб | 4,02 |
| 45 | Мужской гардероб | 3,99 |
| 46 | Бельевая | 4,36 |
| 47 | Мусорокамера | 6,67 |
| 48 | Лифтовой холл | 30,12 |
| 49 | Лестничная клетка | 15,56 |
| 50 | Лестничная клетка | 15,56 |
| Итого | | 810,12 |

Таблица А.2 - Экспликация полов

| Номер помещения | Тип пола | Схема пола или тип пола по серии | Данные элементов пола (наименование, толщина, основание и др.), мм | Площадь, м ² |
|-----------------------------------|----------|---|---|-------------------------|
| 2, 9, 10, 12, 15, 22-47, 50 | 1 |  | 1 Керамическая плитка на клею 10 мм 2. Стяжка цементно-песчаного раствора М150 50 мм 3. Монолитное железобетонное перекрытие 200 мм | 262,04 |
| 1, 3-8, 11, 13, 14, 16-21, 48, 49 | 2 |  | 1 Эпоксидное наливное покрытие 4 мм 2. Стяжка цементно-песчаного раствора М150 50 мм 3. Монолитное железобетонное перекрытие 200 мм | 550,08 |

| | | | | |
|------|------|----------|---------|------|
| Изм. | Лист | № докум. | Подпись | Дата |
| | | | | |

ДП-08.05.01-ПЗ

Лист

123

ПРИЛОЖЕНИЕ Б

Теплотехнический расчет ограждающих конструкций

Таблица Б.1 - Природно-климатические условия района строительства.

| Наименование характеристики | Характеристика | Источник |
|---|----------------|-------------------|
| Место строительства | г. Омск | Исходные данные |
| Климатический район строительства | 1В | СП 131.13330.2012 |
| Зона влажности района | сухая | СП 131.13330.2012 |
| Средняя температура наиболее холодной пятидневки обеспеченностью 0,92 | -37 | СП 131.13330.2012 |

Таблица Б.2 - Состав ограждающих конструкций

| Вид ограждающей конструкции | Состав ограждающей конструкции |
|--|---|
| Вертикальная ограждающая конструкция вестибюля | Пенобетонные блоки толщиной 200 мм, утеплитель из минераловатных плит ТЕХНОНИКОЛЬ, керамический облицовочный кирпич толщиной 85 мм |
| Вертикальная ограждающая конструкция телестудии и кафе | Витражное остекление |
| Горизонтальная ограждающая конструкция | Железобетонное перекрытие толщиной 200 мм, утеплитель из минераловатных плит ТЕХНОНИКОЛЬ, цементно-песчаный раствор толщиной 20 мм. |

Нормируемое значение приведенного сопротивления теплопередаче ограждающей конструкции определяется по формуле

$$R_0^{норм} = R_0^{мп} \cdot m_p, \quad (Б.1)$$

где m_p - коэффициент, учитывающий особенности региона строительства;

$$R_0^{мп} - \text{базовое значение требуемого сопротивления теплопередаче, } \frac{\text{м}^2 \cdot \text{°C}}{\text{Вт}}.$$

Градусо-сутки отопительного периода

$$ГСОП = (t_{вн} - t_{от.пер.}) \cdot z_{от.пер.}, \quad (Б.2)$$

где $t_{вн}$ - температура внутреннего воздуха в помещении, °С;

$t_{от.пер.}$ - средняя температура отопительного периода, °С;

| | | | | | | |
|------|------|----------|---------|------|----------------|------|
| | | | | | ДП-08.05.01-ПЗ | Лист |
| Изм. | Лист | № докум. | Подпись | Дата | | 125 |

$$R_0^{mp} = 0,5 + \frac{(0,6 - 0,5) \cdot (6069,6 - 6000)}{8000 - 6000} = 0,503 \frac{m^2 \cdot ^\circ C}{Вт}.$$

$$R_0^{норм} = 0,503 \cdot 1 = 0,503 \frac{m^2 \cdot ^\circ C}{Вт}.$$

При остекленности фасада в общественных зданиях более 25% нормируемое сопротивление теплопередаче светопрозрачных конструкций увеличивается по сравнению с требуемым до $0,65 \frac{m^2 \cdot ^\circ C}{Вт}$ при более 5200 $^\circ C \cdot \text{сут}$, но ниже 7000 $^\circ C \cdot \text{сут}$. Принимаем Нормируемое значение приведенного сопротивления ограждающей конструкции равным $0,65 \frac{m^2 \cdot ^\circ C}{Вт}$.

Для витражного остекления фасада выбираем систему элементного фасада ALT F50 от компании ALUTECH, с значением сопротивления теплопередачи $0,65 \frac{m^2 \cdot ^\circ C}{Вт}$, толщина заполнения 56 мм, вес 60 кг/м².

По ГОСТ 30674-99 выбираем двухкамерный стеклопакет из поливинилхлоридных профилей (формула стеклопакета 4M₁-10-4M₁-10-4M₁) с приведенным сопротивлением теплопередачи $0,51 \frac{m^2 \cdot ^\circ C}{Вт}$.

Расчетное значение приведенного сопротивления теплопередаче ограждающей конструкции определяется по формуле

$$R_0^p = \frac{1}{\lambda_\beta} + R_k + \frac{1}{\lambda_n}, \quad (\text{Б.3})$$

где λ_β, λ_n - коэффициенты теплоотдачи конструкции;

R_k - термическое сопротивление конструкции.

Термическое сопротивление определяется по формуле

$$R_k = \sum_{i=1}^n \frac{s_i}{\lambda_i}, \quad (\text{Б.4})$$

где s_i - толщина конструкции, м;

λ_i - коэффициент теплопроводности конструкции, Вт/м·К.

| | | | | | | | | | | |
|------|------|----------|---------|------|--|--|--|--|--|------|
| | | | | | | | | | | Лист |
| | | | | | | | | | | 127 |
| Изм. | Лист | № докум. | Подпись | Дата | | | | | | |

$$\frac{s}{0,046} = 3,739;$$

$$s = 3,739 \cdot 0,043 = 0,18 \text{ м.}$$

| | | | | | | |
|-------------|-------------|-----------------|----------------|-------------|-----------------------|-------------|
| | | | | | <i>ДП-08.05.01-ПЗ</i> | <i>Лист</i> |
| <i>Изм.</i> | <i>Лист</i> | <i>№ докум.</i> | <i>Подпись</i> | <i>Дата</i> | | 129 |

ПРИЛОЖЕНИЕ В

Таблица В1– Карта-определитель сетевого графика

| № п/п | Шифр работ | Обоснование, нормативный источник | Наименование работ | Объем работ (V) | | Трудозатраты | | | Процент выполнения | Продолжительность в днях | Кол-во смен | Кол-во работающих в смену |
|-------|------------|-----------------------------------|--|---------------------|--------|--------------------|---------------------|----------|--------------------|--------------------------|-------------|---------------------------|
| | | | | Ед. изм. | Кол-во | нормативные | | плановые | | | | |
| | | | | | | На весь V, чел.-ч. | На весь V, чел.-см. | | | | | |
| 1 | 2 | 3 | 4 | 5 | 6 | 7 | 8 | 9 | 10 | 11 | 12 | 13 |
| 1 | 1-2 | СНиП 1.04.03-85* | Подготовка территории | | | | | | | 56 | | |
| 2 | 2-3 | Е2-1-5 | Срезка растительного слоя (ДЗ-24А) | 1000 м ² | 2,29 | 2,977 | 0,37 | 0,14 | 162,8 | 1 | 1 | 1 |
| 3 | 3-5 | Е2-1-11 | Разработка котлована экскаватором | 100 м ³ | 22,54 | 72,128 | 9,02 | 8,13 | 109,8 | 5 | 2 | 1 |
| 4 | 3-4 | Е2-1-34 | Разработка грунта вручную | 1 м ³ | 2,13 | 2,769 | 0,35 | 0,01 | 197,8 | 1 | 2 | 8 |
| 5 | 17-18 | Е2-1-31 | Уплотнение грунта (ДУ-29А) | 1000 м ³ | 0,94 | 0,6392 | 0,08 | 0,00 | 199,0 | 1 | 2 | 4 |
| 6 | 16-17 | Е2-1-34 | Обратная засыпка (Д-259) | 100 м ³ | 20,29 | 7,7102 | 0,96 | 0,46 | 151,8 | 1 | 2 | 1 |
| 7 | 5-6 | УНиР 8-11 | Устройство щебеночной подготовки под фундамент | 1 м ³ | 3,19 | 8,932 | 1,12 | 0,31 | 172,1 | 1 | 2 | 2 |
| 8 | 6-8 | УНиР 6-5 | Устройство фундаментов железобетонных объемом до 3м ³ | 1 м ³ | 19,49 | 459,964 | 57,50 | 55,10 | 104,2 | 5 | 2 | 6 |
| 9 | 6-9 | УНиР 6-9 | Устройство фундаментов железобетонных объемом св 25 м ³ | 1 м ³ | 38,77 | 1453,875 | 181,73 | 172,02 | 105,3 | 16 | 2 | 6 |
| 10 | 6-7 | УНиР 6-1 | Устройство бетонной подготовки | 1 м ³ | 3,39 | 5,763 | 0,72 | 0,06 | 191,0 | 1 | 2 | 4 |
| 11 | 14-15 | УНиР 6-173 | Устройство безбалочных перекрытий толщиной до 200 мм | 1 м ³ | 141,3 | 2684,7 | 335,59 | 312,83 | 106,8 | 12 | 2 | 15 |
| 12 | 9-14 | УНиР 6-9 | Устройство железобетонных стен подвала | 1 м ³ | 45,22 | 1356,6 | 169,58 | 164,49 | 103,0 | 10 | 2 | 15 |

ДП-08.05.01-ПЗ

| | | | | | | | | | | | | | | | |
|----------------|------|------------------------|---------------------|----------------------|---|------------------------------------|---------|----------|---------|---------|-------|----|----|----|--|
| Изм. | | Продолжение таблицы В1 | | | | | | | | | | | | | |
| Лист | | 1 | 2 | 3 | 4 | 5 | 6 | 7 | 8 | 9 | 10 | 11 | 12 | 13 | |
| № док-м. | | 13 | 15-16 | УНиР 8-16, УНиР 8-23 | Устройство гидроизоляции поверхности | 100 м ² | 10,52 | 262,24 | 32,78 | 29,85 | 108,9 | 9 | 2 | 2 | |
| Подпись | | 14 | 7-15 | УНиР 6-20 | Устройство монолитных ростверков | 100 м ³ | 57,67 | 501,729 | 62,72 | 54,63 | 112,9 | 4 | 2 | 9 | |
| Дата | | 15 | 18-42 | Е5-1-3 | Укрупнительная сборка стальных конструкций | Один отправочный заводской элемент | 3664 | 14919,1 | 1864,89 | 1849,90 | 100,8 | 94 | 2 | 10 | |
| ДП-08.05.01-ПЗ | | 16 | 18-30 | УНиР 6-153 | Устройство железобетонного лестнично-лифтового узла | м ³ | 665,78 | 12250,3 | 1531,29 | 1503,12 | 101,8 | 52 | 2 | 15 | |
| | | 17 | 18-19, 22-26, 26-27 | Е5-1-6 | Монтаж укрупнительных блоков 1 яруса | Один укрупнительный блок | 31 | 1480,91 | 185,11 | 181,75 | 101,8 | 33 | 2 | 6 | |
| | | 18 | 18-21 | Е5-1-6, Е5-1-8 | Монтаж металлоконструкций вестибюля | Один отправочный заводской элемент | 72 | 54 | 6,75 | 6,53 | 103,3 | 6 | 2 | 4 | |
| | | 19 | 21-22 | УНиР 6-181 | Устройство монолитных перекрытий по балкам вестибюля | м ³ | 282,26 | 3387,12 | 423,39 | 398,35 | 105,9 | 15 | 2 | 15 | |
| | | 20 | 18-20 | Е5-1-6, Е5-1-8 | Монтаж стоек, связей | Один отправочный заводской элемент | 60 | 83,88 | 10,49 | 8,65 | 117,5 | 4 | 2 | 4 | |
| | | 21 | 22-23 | Е5-1-6, Е5-1-8 | Монтаж металлоконструкций телестудии | Один отправочный заводской элемент | 288 | 151,2 | 18,90 | 17,96 | 105,0 | 12 | 2 | 4 | |
| | | 22 | 23-26 | УНиР 6-181 | Устройство монолитных перекрытий по балкам телестудии | м ³ | 1373,44 | 16481,28 | 2060,16 | 2040,51 | 101,0 | 52 | 2 | 20 | |
| | | 23 | 26-29 | Е5-1-6 | Монтаж вантовых элементов телестудии | Один отправочный заводской элемент | 12 | 187,5612 | 23,45 | 20,51 | 112,5 | 4 | 2 | 8 | |
| | Лист | 131 | | | | | | | | | | | | | |

| | |
|----------|--|
| Изм. | |
| Лист | |
| № докум. | |
| Подпись | |
| Дата | |

Продолжение таблицы В1

| 1 | 2 | 3 | 4 | 5 | 6 | 7 | 8 | 9 | 10 | 11 | 12 | 13 |
|----|-------|-------------------|--|---|--------|---------|--------|--------|-------|----|----|----|
| 24 | 29-31 | Е5-1-6, Е5-1-8 | Монтаж металлоконструкций кафе | Один отправочный заводской элемент | 72 | 151,2 | 18,90 | 17,48 | 107,5 | 8 | 2 | 4 |
| 25 | 31-36 | УНиР 6-181 | Устройство монолитных перекрытий по балкам кафе | м ³ | 282,26 | 5080,68 | 635,09 | 611,11 | 103,8 | 22 | 2 | 15 |
| 26 | 34-35 | Е5-1-6 | Монтаж вантовых элементов | Один отправочный заводской элемент | 12 | 262,416 | 32,80 | 27,88 | 115,0 | 6 | 2 | 8 |
| 27 | 30-34 | Е5-1-6 | Монтаж укрупнительных блоков 2 яруса | Один укрупнительны й блок | 20 | 591,06 | 73,88 | 68,23 | 107,6 | 8 | 2 | 5 |
| 28 | 34-37 | Е5-1-6 | Монтаж укрупнительных блоков 3 яруса | Один укрупнительны й блок | 64 | 935,49 | 116,94 | 113,95 | 102,6 | 24 | 1 | 5 |
| 29 | 37-40 | Е5-1-6 | Монтаж укрупнительных блоков 4 яруса | Один укрупнительны й блок | 109 | 1581,91 | 197,74 | 195,50 | 101,1 | 40 | 1 | 5 |
| 30 | 40-42 | Е5-1-6 | Монтаж укрупнительных блоков 5 яруса | Один укрупнительны й блок | 103 | 1035,64 | 129,45 | 126,96 | 101,9 | 22 | 1 | 6 |
| 31 | 42-58 | Е5-1-6 | Монтаж укрупнительных блоков 6 яруса | Один укрупнительны й блок | 2 | 38,27 | 4,78 | 2,86 | 140,2 | 2 | 1 | 4 |
| 32 | 22-24 | УНиР 8-144 | Устройство стен из легковесных плит с облицовкой кирпичом | 1 м ³ | 80,07 | 616,54 | 77,07 | 74,24 | 103,7 | 20 | 2 | 2 |
| 33 | 24-28 | УНиР 8-169 | Устройство перегородок из легковесных плит толщиной до 100 мм вестибюля | 100 м ² | 2,29 | 190,00 | 23,75 | 23,50 | 101,0 | 6 | 2 | 2 |
| 34 | 28-36 | УНиР 8-169 | Устройство перегородок из легковесных плит толщиной до 100 мм телестудии | 100 м ² | 7,63 | 633,33 | 79,17 | 78,34 | 101,0 | 20 | 2 | 2 |

ДП-08.05.01-ПЗ

| | | | | | | | | | | | | | | |
|----------------|------|------------------------|-------|--|--|--------------------|-------|---------|--------|--------|--------|----|----|----|
| Изм. | | Продолжение таблицы В1 | | | | | | | | | | | | |
| Лист | | 1 | 2 | 3 | 4 | 5 | 6 | 7 | 8 | 9 | 10 | 11 | 12 | 13 |
| № док-м. | | 35 | 36-43 | УНиР 8-169 | Устройство перегородок из легкобетонных плит толщиной до 100 мм кафе | 100 м ² | 7,63 | 633,33 | 79,17 | 78,34 | 101,04 | 20 | 2 | 2 |
| | | 36 | 22-25 | Е11-41 | Изоляция теплоизоляционными плитами стен | 1 м ² | 376,8 | 180,864 | 22,61 | 21,30 | 105,8 | 4 | 2 | 3 |
| Подпись | | 37 | 36-38 | УНиР 15-727 | Монтаж витражных систем телестудии | 100 м ² | 13,84 | 691,93 | 86,49 | 85,70 | 100,9 | 22 | 2 | 4 |
| | | 38 | 43-44 | УНиР 15-727 | Монтаж витражных систем кафе | 100 м ² | 7,45 | 372,58 | 46,57 | 45,80 | 101,7 | 12 | 2 | 4 |
| Дата | | 39 | 28-32 | УНиР 10-75 | Установка оконных блоков | 1 м ² | 15,38 | 17,687 | 2,21 | 1,22 | 144,7 | 1 | 2 | 2 |
| | | 40 | 32-36 | УНиР 10-75 | Установка дверных блоков вестибюля | 1 м ² | 23,08 | 26,54 | 3,32 | 2,75 | 117,1 | 1 | 2 | 2 |
| | | 41 | 38-43 | УНиР 10-75 | Установка дверных блоков телестудии | 1 м ² | 46,15 | 53,07 | 6,63 | 5,50 | 117,1 | 2 | 2 | 2 |
| | | 42 | 44-47 | УНиР 10-75 | Установка дверных блоков кафе | 1 м ² | 23,08 | 26,54 | 3,32 | 2,75 | 117,07 | 1 | 2 | 2 |
| | | 43 | 28-33 | Е11-41, УНиР 12-302, Е7-13, Е7-3 | Устройство кровли вестибюля | 100 м ² | 42,11 | 703,30 | 87,91 | 87,83 | 100,1 | 22 | 2 | 2 |
| | | 44 | 36-39 | Е11-41, УНиР 12-302, Е7-13, Е7-3 | Устройство кровли вестибюля | 100 м ² | 76,56 | 1278,73 | 159,84 | 159,68 | 100,1 | 40 | 2 | 2 |
| | | 45 | 43-47 | Е11-41, УНиР 12-302, Е7-13, Е7-3 | Устройство кровли вестибюля | 100 м ² | 42,11 | 703,30 | 87,91 | 87,83 | 100,1 | 22 | 2 | 2 |
| | | 46 | 36-41 | Е19-41, Е19-44 | Черновые полы вестибюля | 100 м ² | 27,56 | 195,67 | 24,46 | 19,94 | 118,5 | 5 | 2 | 3 |
| | | 47 | 43-46 | Е19-41, Е19-44 | Черновые полы телестудии | 100 м ² | 92,26 | 655,06 | 81,88 | 78,51 | 104,1 | 17 | 2 | 3 |
| | | 48 | 47-54 | Е19-41, Е19-44 | Черновые полы кафе | 100 м ² | 27,56 | 195,67 | 24,46 | 19,94 | 118,5 | 5 | 2 | 3 |
| ДП-08.05.01-ПЗ | | | | | | | | | | | | | | |
| 133 | Лист | | | | | | | | | | | | | |

| | | | | | | | | | | | | | | |
|----------------|------|------------------------|-------|---|-----------------------------|--------------------|----------|--------|-------|--------|-------|-----|----|----|
| Изм. | | Продолжение таблицы В1 | | | | | | | | | | | | |
| Лист | | 1 | 2 | 3 | 4 | 5 | 6 | 7 | 8 | 9 | 10 | 11 | 12 | 13 |
| № докум. | | 49 | 41-45 | Е8-1-1, УНиР 15-242, УНиР 15-243, Е8-1-15 | Черновая отделка вестибюля | 100 м ² | 43,8525 | 1397,4 | 174,7 | 174,23 | 100,3 | 39 | 2 | 3 |
| Подпись | | 50 | 46-53 | Е8-1-1, УНиР 15-242, УНиР 15-243, Е8-1-15 | Черновая отделка телестудии | 100 м ² | 175,41 | 5589,7 | 698,7 | 694,83 | 100,6 | 126 | 2 | 3 |
| Дата | | 51 | 54-56 | Е8-1-1, УНиР 15-242, УНиР 15-243, Е8-1-15 | Черновая отделка кафе | 100 м ² | 73,0875 | 2329,0 | 291,1 | 287,36 | 101,3 | 54 | 2 | 3 |
| ДЛ-08.05.01-ПЗ | | 52 | 52-55 | Е8-1-15, УНиР 7-746, Е8-1-10, УНиР 15-11 | Чистовая отделка вестибюля | 100 м ² | 16,85874 | 825,4 | 103,2 | 98,91 | 104,1 | 29 | 2 | 2 |
| | | 53 | 55-51 | Е8-1-15, УНиР 7-746, Е8-1-10, УНиР 15-11 | Чистовая отделка телестудии | 100 м ² | 67,43496 | 3301,6 | 412,7 | 411,28 | 100,3 | 116 | 2 | 2 |
| | | 54 | 57-58 | Е8-1-15, УНиР 7-746, Е8-1-10, УНиР 15-11 | Чистовая отделка кафе | 100 м ² | 28,0979 | 1375,6 | 171,9 | 170,20 | 101,0 | 49 | 2 | 2 |
| | | 55 | 45-52 | УНиР 11-276, УНиР 11-95 | Чистовые полы вестибюля | 100 м ² | 7,3713 | 816,17 | 102,0 | 95,22 | 106,7 | 12 | 2 | 5 |
| | | 56 | 53-55 | УНиР 11-276, УНиР 11-95 | Чистовые полы телестудии | 100 м ² | 29,4852 | 3264,7 | 408,0 | 406,31 | 100,4 | 46 | 2 | 5 |
| 134 | Лист | | | | | | | | | | | | | |

ПРИЛОЖЕНИЕ Г

Телевизионная башня высотой 228,5 м со встроенной телестудией и кафе в г.Омск
наименование стройки

ЛОКАЛЬНЫЙ СМЕТНЫЙ РАСЧЕТ № 01-01-01

(локальная смета)

на устройство несущего металлического каркаса ствола башни

(наименование работ и затрат, наименование объекта)

Основание: чертежи №4-7, 11

Сметная стоимость: 231841,8 тыс.руб.

Средства на оплату труда 2679,68 тыс.руб.

Составлен (а) в текущих (прогнозных) ценах по состоянию на 2 квартал 2020 г.

| № п.п | Шифр и номер позиции | Наименование работ и затрат, единица измерения | Количество | Стоимость единицы, руб. | | | Общая стоимость, руб. | | | | Затраты труда рабочих, чел-ч, не занятых обслуживанием машин | |
|-------|----------------------|--|------------|-------------------------|------------------------|----------------------|-----------------------|--------------|--------------------|-----------|--|----------|
| | | | | всего | в том числе экс. машин | | Всего | оплаты труда | эксплуатация машин | материалы | на единицу | всего |
| | | | | | в том числе осн. з/п | в том числе з/п мех. | | | | | | |
| 1 | 2 | 3 | 5 | 6 | 7 | 10 | 11 | 12 | 13 | 15 | 16 | 17 |
| 1 | ФЕР 09-01-005-04 | Монтаж каркасов зданий: Колонны со связями (1 м) | 1340,60 | 565,65 | 262,53 | 107,82 | 758310,39 | 261819,18 | 351947,72 | 144543,49 | 19,44 | 26056,04 |
| | | | | 195,30 | 28,75 | | | | 38542,25 | | | |
| 2 | ФЕР 09-05-003-02 | Постановка болтов высокопрочных (100 шт) | 91,08 | 368,56 | 10,22 | 203,46 | 33568,44 | 14106,47 | 930,84 | 18531,14 | 16,10 | 1466,39 |
| | | | | 154,88 | 0,53 | | | | 48,27 | | | |

ДП-08.05.01-ПЗ

| | |
|----------|--|
| Изм. | |
| Лист | |
| № док-м. | |
| Подпись | |
| Дата | |

ДП-08.05.01-ПЗ

| 1 | 2 | 3 | 4 | 5 | 6 | 7 | 8 | 9 | 10 | 11 | 12 | 13 |
|---|-----------------------------|---|--------|----------|---|----------|------------|---|----|------------|----|----|
| 3 | ФССЦ 07.2.07.1 2-0011 | Элементы конструктивные зданий и сооружений с преобладанием гнutosварных профилей и круглых труб, средняя масса сборочной единицы до 0,1 т (т) | 49,60 | 11255,00 | | 11255,00 | 558287,39 | | | 558287,39 | | |
| 4 | ФССЦ 07.2.07.1 2-0012 | Элементы конструктивные зданий и сооружений с преобладанием гнutosварных профилей и круглых труб, средняя масса сборочной единицы от 0,1 до 0,5 т (т) | 412,35 | 10508,00 | | 10508,00 | 4332935,97 | | | 4332935,97 | | |
| 5 | ФССЦ 07.2.07.1 2-0013 | Элементы конструктивные зданий и сооружений с преобладанием гнutosварных профилей и круглых труб, средняя масса сборочной единицы от 0,5 до 1 т (т) | 93,87 | 9869,85 | | 9869,85 | 926435,44 | | | 926435,44 | | |
| 6 | ФССЦ 07.2.07.1 2-0014 | Элементы конструктивные зданий и сооружений с преобладанием гнutosварных профилей и круглых труб, средняя масса сборочной единицы от 1 до 3 т (т) | 784,82 | 9364,80 | | 9364,80 | 7349719,80 | | | 7349719,80 | | |

Изм.
Лист
№ док-м.
Подпись
Дата

| 1 | 2 | 3 | 4 | 5 | 6 | 7 | 8 | 9 | 10 | 11 | 12 | 13 |
|--|-----------------------------|---|-------------|----------|---|--------------|--------------|------------|------------|--------------|-------|----------|
| 7 | ФССЦ 01.7.11.0 7-0022 | Электроды сварочные Э42А, диаметр 2 мм (т) | 24,24 | 17025,99 | | 17025,9 9 | 412717,49 | | | 412717,49 | | |
| 8 | ФССЦ 01.7.11.0 4-0052 | Проволока сварочная СВ-08Г2С, диаметр 2 мм (кг) | 4387,0 2 | 17,92 | | 17,92 | 78615,40 | | | 78615,40 | | |
| 9 | ФССЦ 14.3.01.0 1-1010 | Грунтовка по стали (кг) | 107,50 | 182,94 | | 182,94 | 19666,05 | | | 19666,05 | | |
| 10 | ФССЦ 14.4.04.0 9-0025 | Эмаль ХВ-1100, серая (т) | 163,40 | 24119,00 | | 24119,0 0 | 3941044,60 | | | 3941044,60 | | |
| 11 | ФССЦ 01.7.15.0 2-0055 | Болты высокопрочные (т) | 9,56 | 27595,00 | | 27595,0 0 | 263921,56 | | | 263921,56 | | |
| Итого по разделу | | | | | | | 18675222,54 | | | | | 27522,42 |
| ИТОГИ ПО СМЕТЕ | | | | | | | | | | | | |
| Итого прямые затраты по смете в ценах 2001 г. | | | | | | | 18675222,54 | 275925,65 | 352878,56 | 18046418,33 | 35,54 | 27522,42 |
| Итого с учетом "Индекс перевода в цены 2 кв. 2020 г. СМР=8,52" | | | | | | | 159112896,00 | 2350886,54 | 3006525,29 | 153755484,17 | 35,54 | 27522,42 |
| Накладные расходы (90% от ФОТ) | | | | | | | 2411710,01 | | | | | |
| Сметная прибыль (85% от ФОТ) | | | | | | | 2277726,12 | | | | | |
| ВСЕГО по смете | | | | | | | 163802332,14 | 2350886,54 | 3006525,29 | 153755484,17 | 35,54 | 27522,42 |
| Затраты на временные здания и сооружения 3,8 % | | | | | | | 6224488,62 | | | | | |
| Итого с затратами на временные здания и сооружения | | | | | | | 170026820,76 | | | | | |
| Затраты на зимнее удорожание 3,3% (V p-н) | | | | | | | 5610885,09 | | | | | |
| Итого с зимним удорожанием | | | | | | | 175637705,85 | | | | | |
| Затраты на непредвиденные расходы 10% | | | | | | | 17563770,58 | | | | | |
| Итого с непредвиденными расходами | | | | | | | 193201476,43 | | | | | |
| НДС 20% | | | | | | | 38640295,29 | | | | | |
| ВСЕГО по смете | | | | | | | 231841771,72 | | | | | |

Составил

Дмитриева А. Н.

[должность, подпись (инициалы, фамилия)]

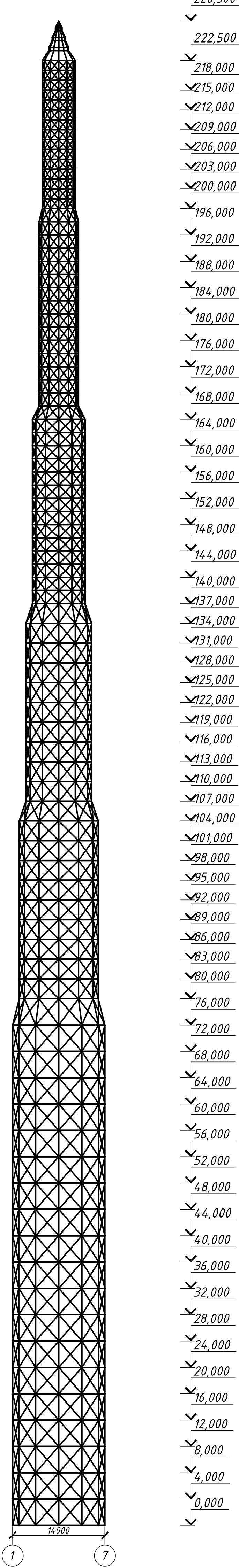
Проверил

Хиревич С. А.

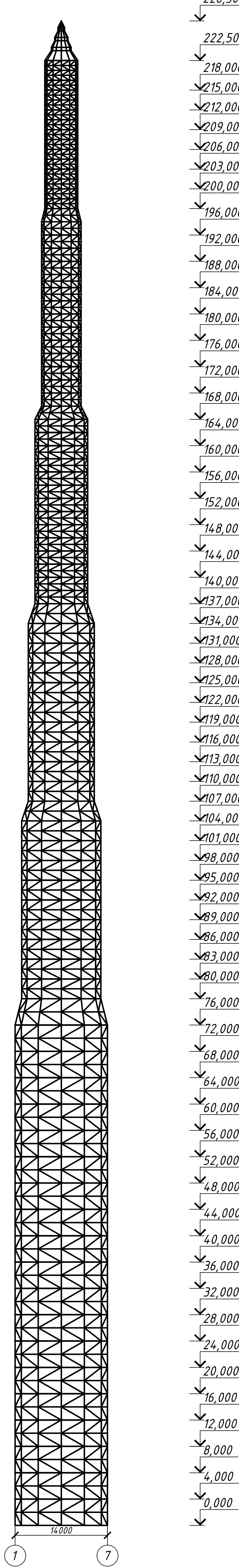
[должность, подпись (инициалы, фамилия)]

ДП-08.05.01-ПЗ

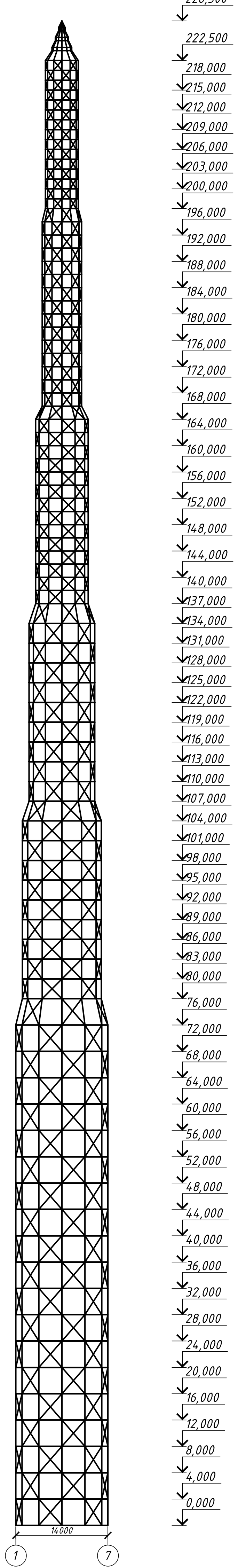
Вариант 1 - Крестовая решетка



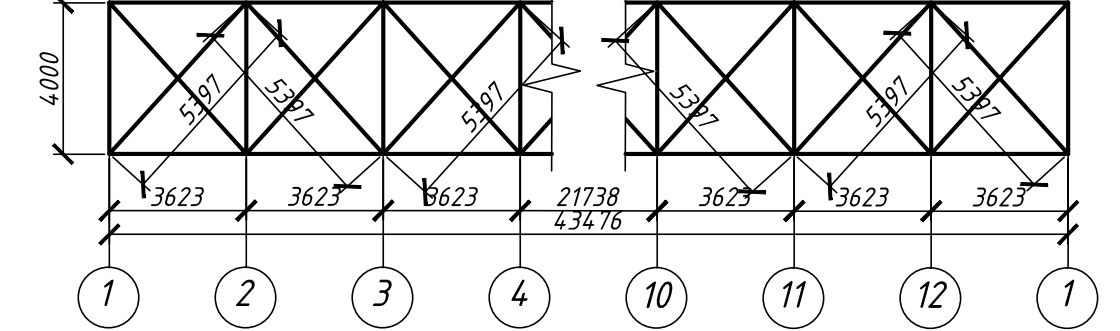
Вариант 2 - Треугольная решетка с дополнительными распорками



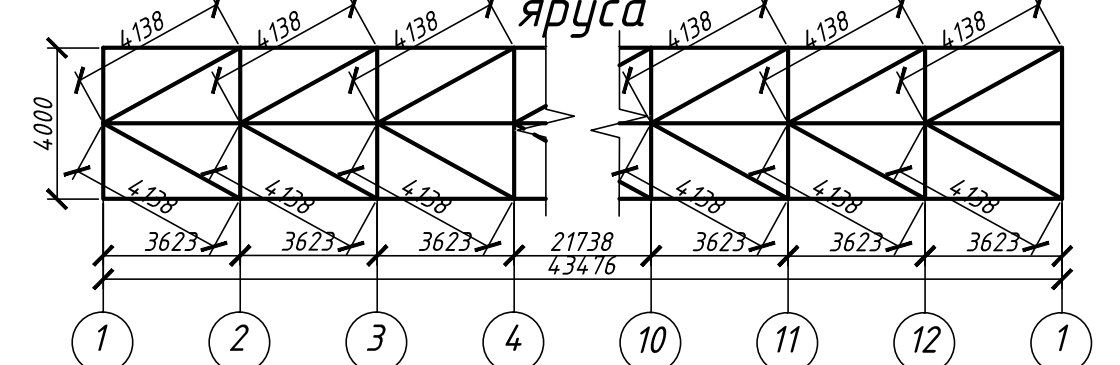
Вариант 3 - Крестовая блочная решетка



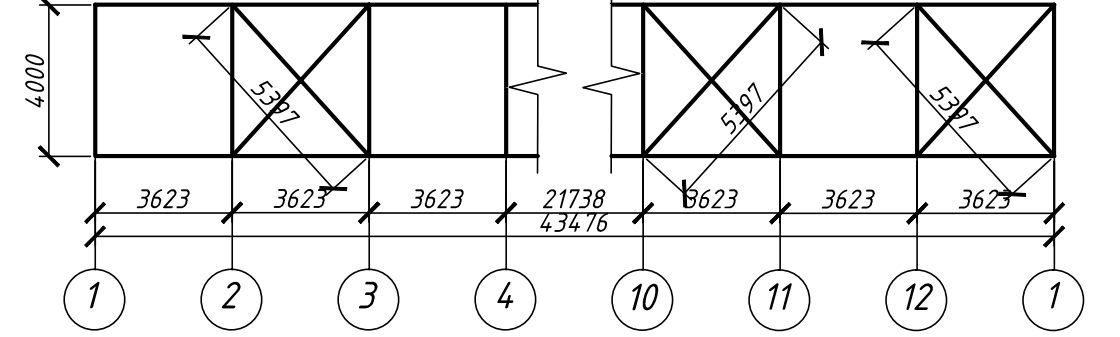
Вариант 1 - Развертка граней секции 1 яруса



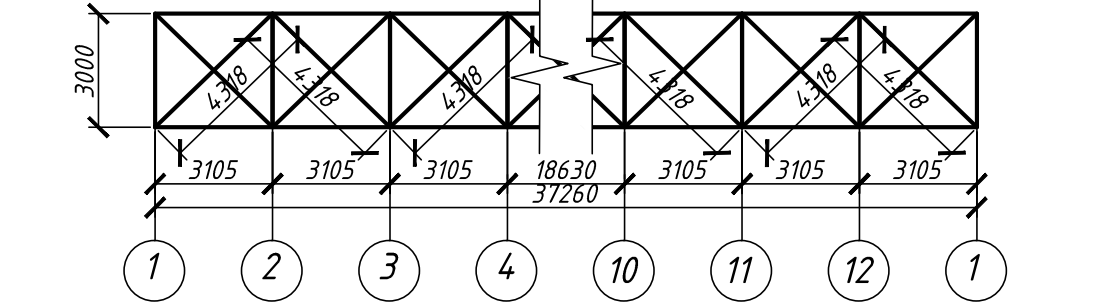
Вариант 2 - Развертка граней секции 1 яруса



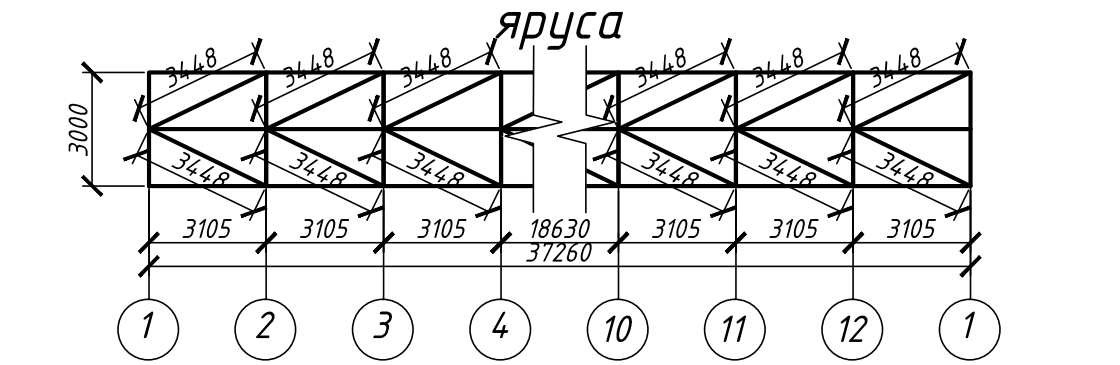
Вариант 3 - Развертка граней секции 1 яруса



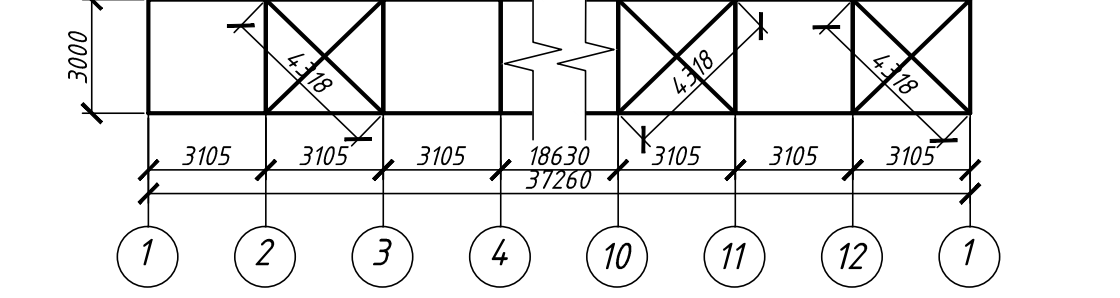
Вариант 1 - Развертка граней секции 2 яруса



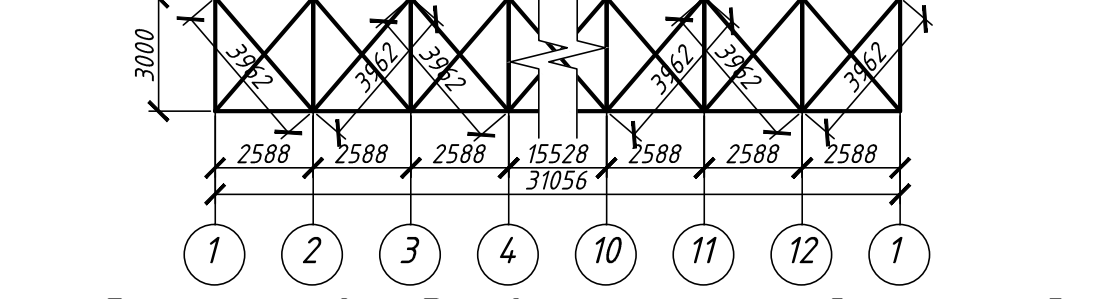
Вариант 2 - Развертка граней секции 2 яруса



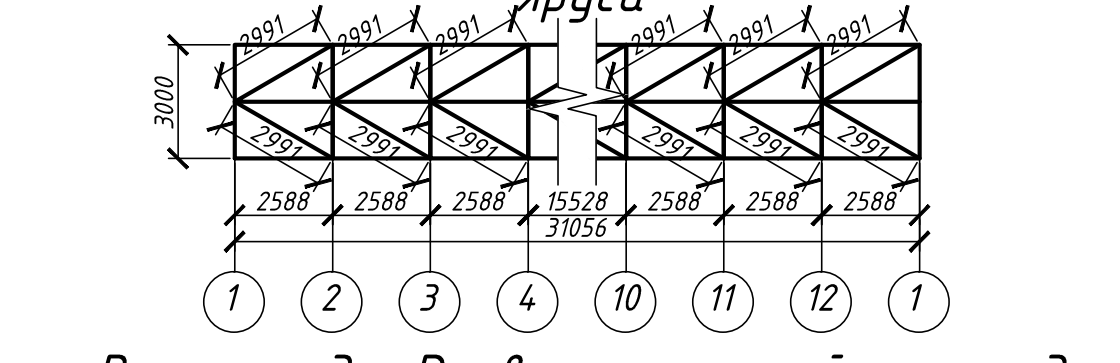
Вариант 3 - Развертка граней секции 2 яруса



Вариант 1 - Развертка граней секции 3 яруса



Вариант 2 - Развертка граней секции 3 яруса



Вариант 3 - Развертка граней секции 3 яруса



Вариант 1 - Развертка граней секции 4 яруса



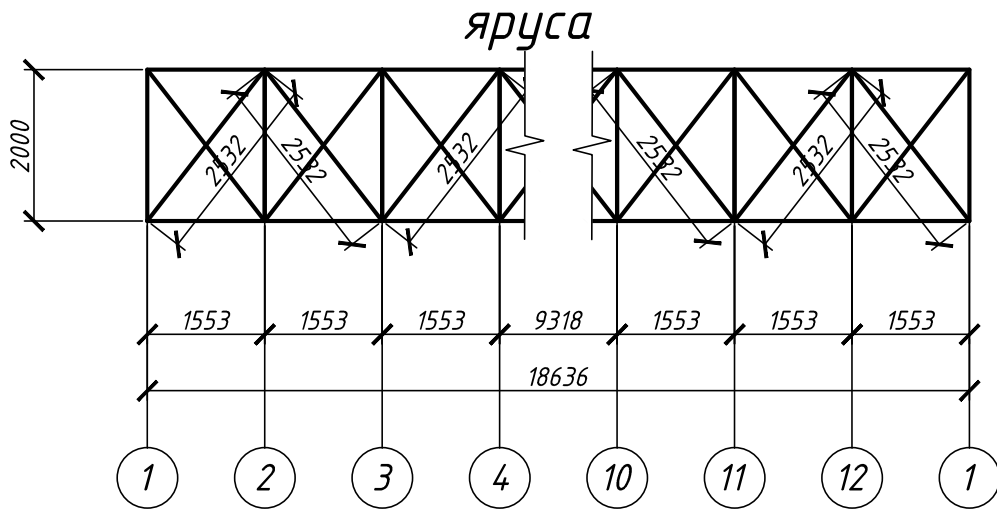
Вариант 2 - Развертка граней секции 4 яруса



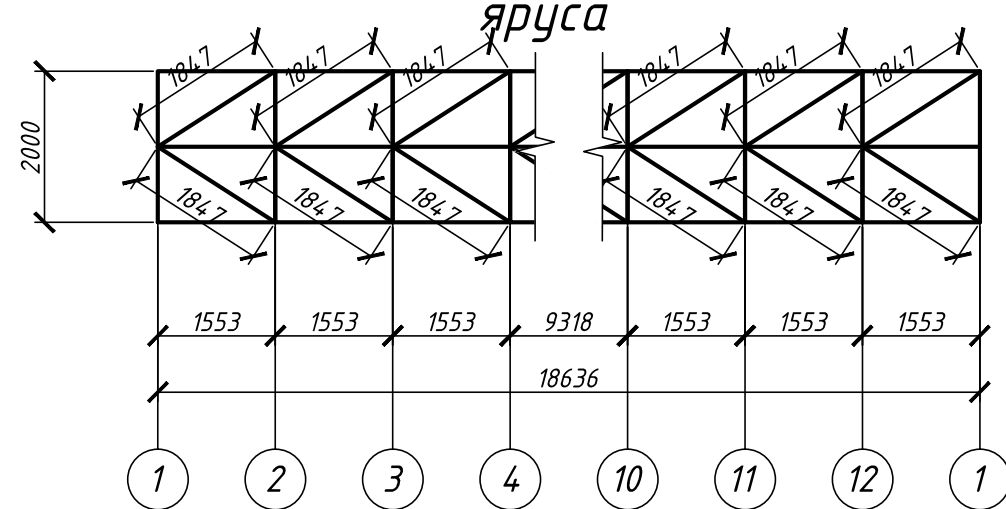
Вариант 3 - Развертка граней секции 4 яруса



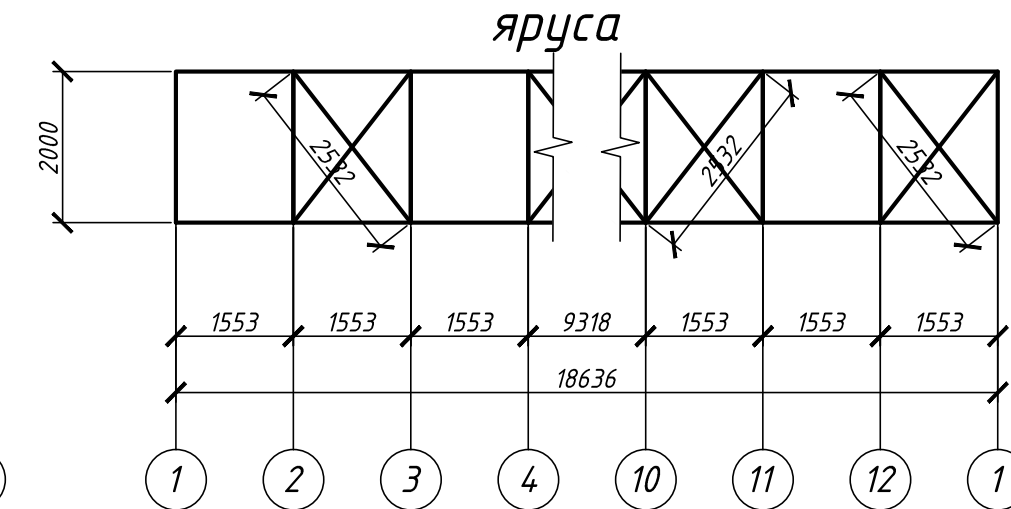
Вариант 1 - Развертка граней секции 5 яруса



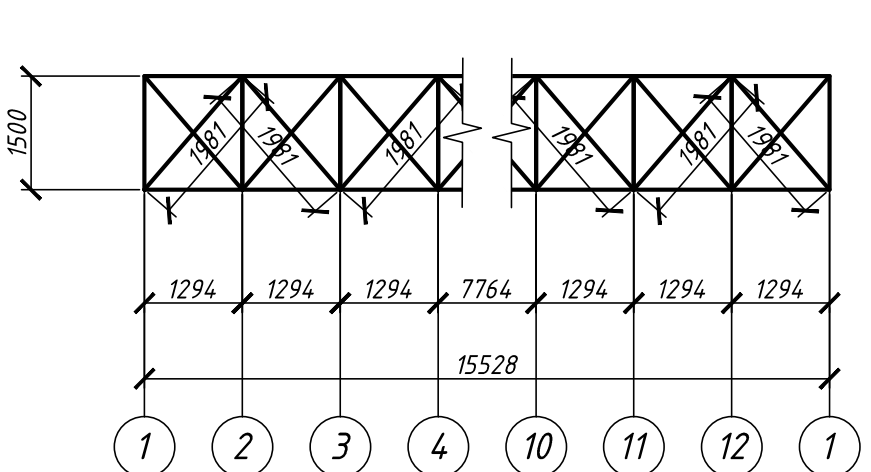
Вариант 2 - Развертка граней секции 5 яруса



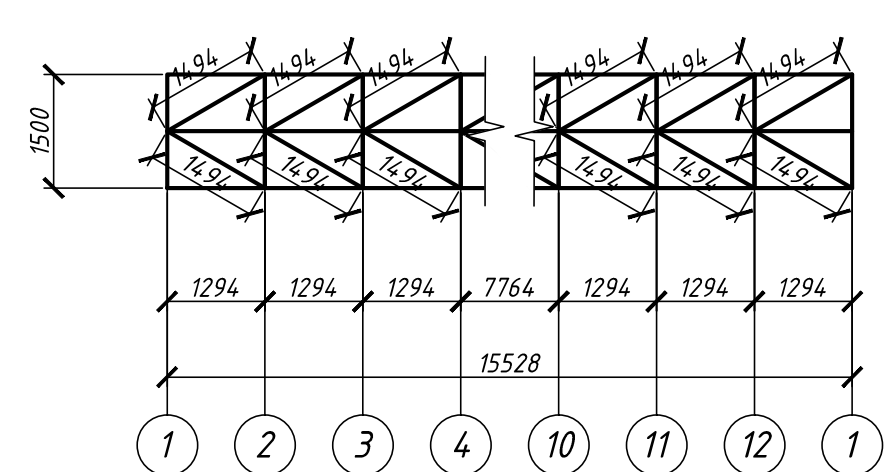
Вариант 3 - Развертка граней секции 5 яруса



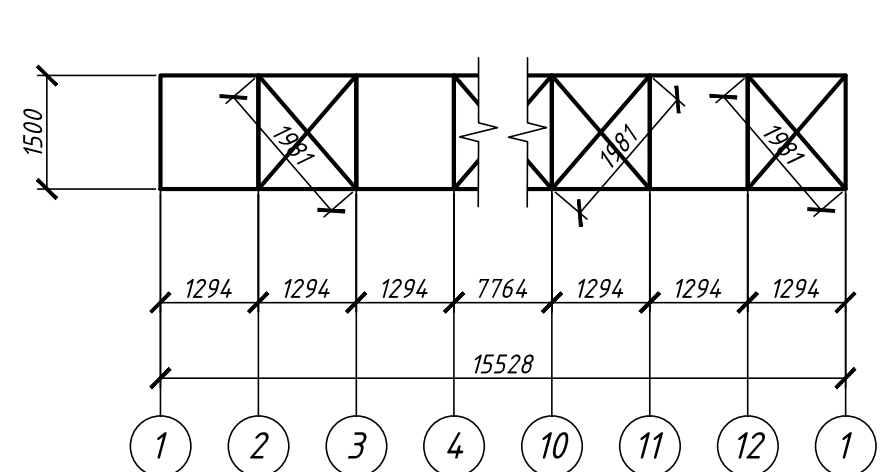
Вариант 1 - Развертка граней секции 6 яруса



Вариант 2 - Развертка граней секции 6 яруса



Вариант 3 - Развертка граней секции 6 яруса

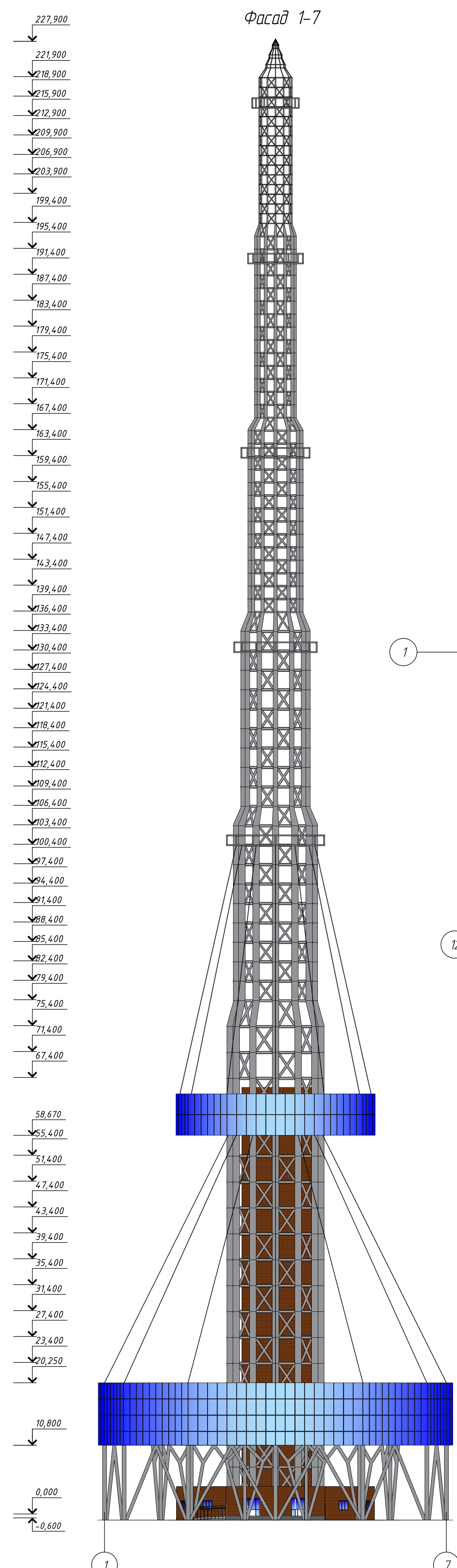


Технико-экономические показатели

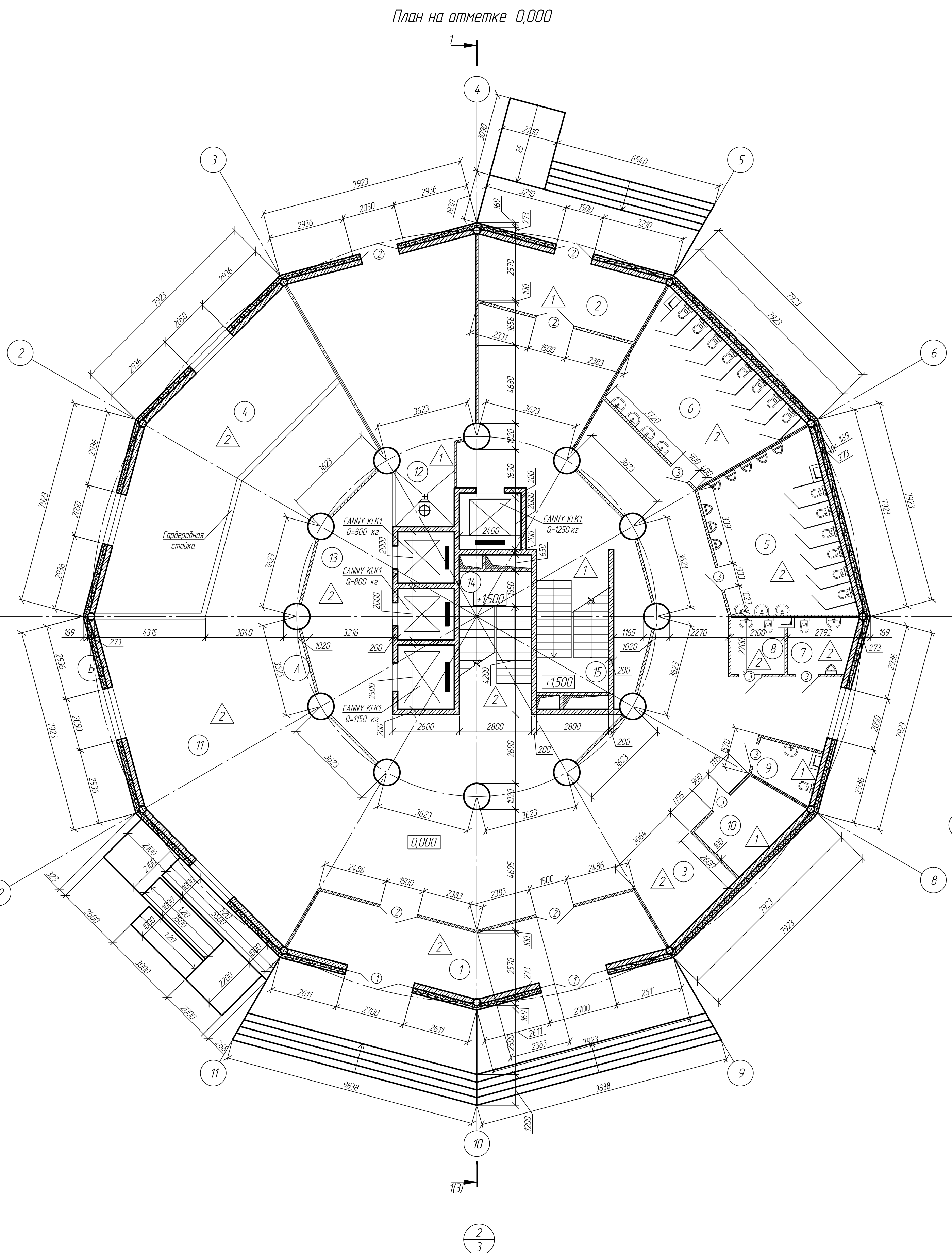
| Показатель | Крестовая решетка | Треугольная решетка с дополнительными распорками | Крестовая блочная решетка |
|---|-------------------|--|---------------------------|
| Расход стали, т | 1610,83 | 1809,91 | 1118,44 |
| Стоимость материалов, тыс. руб. | 100034,37 | 121313,20 | 68496,84 |
| Трудоемкость монтажа ствола, чел.-ч. | 1875,86 | 2059,13 | 1485,14 |
| Трудоемкость монтажа укрупненных конструкций, чел.-ч. | 918,0 | 1009,8 | 734,4 |

ДП - 08.05.01 - 2020

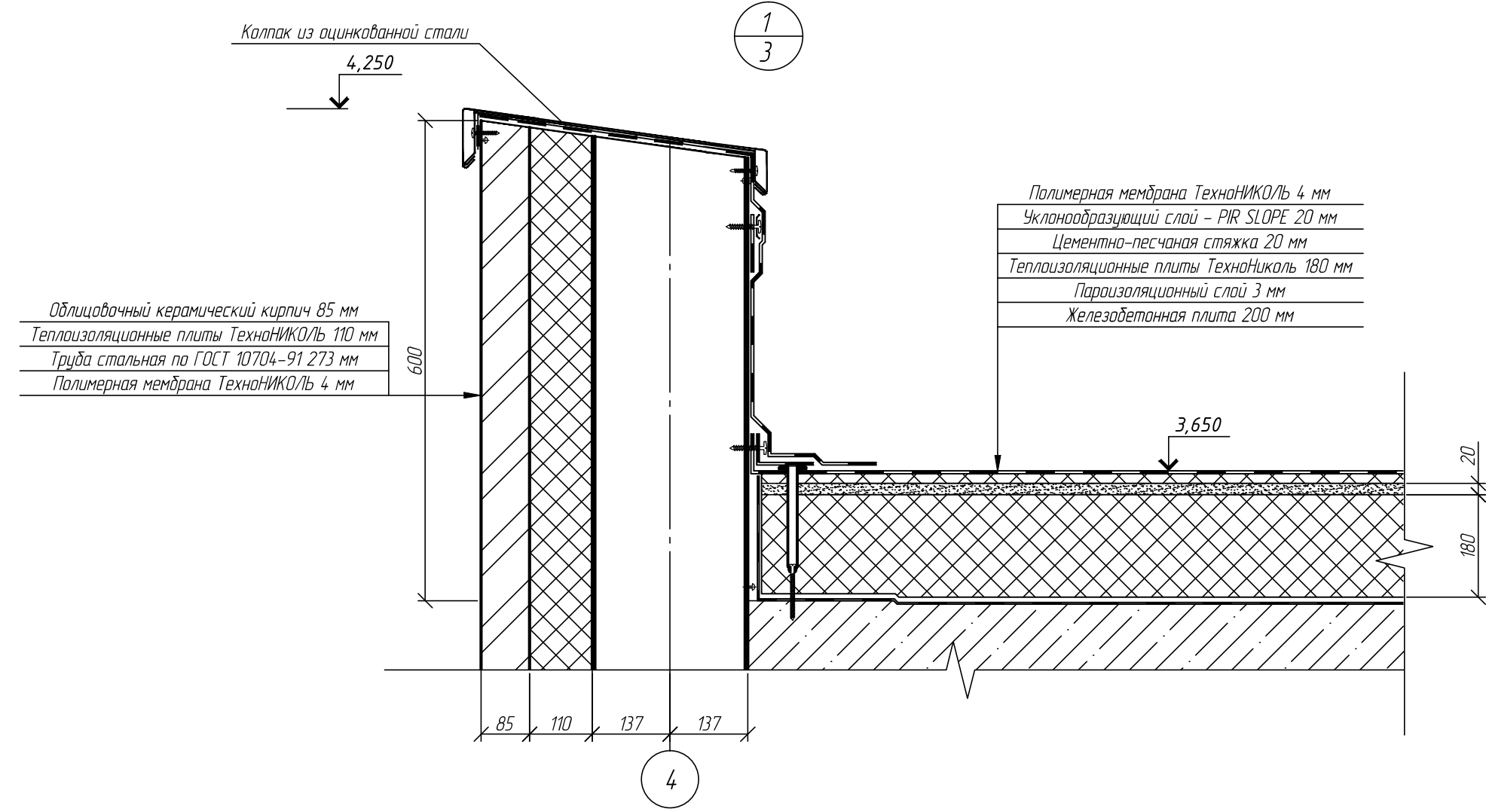
| Изм. Кол. уч. Лист № док. Подп. Дата | | | | | ФГАОУ ВО "Сибирский федеральный университет" Инженерно-строительный институт | | |
|--------------------------------------|----------------|---|--------|------|--|-------|--|
| Разработал | Витришья А. Н. | Телевизионная даша высотой 228,5 м. со | Стация | Лист | Листов | | |
| Консультант | Тарасов А. В. | встропной телестудией и кафе | У | 1 | 13 | | |
| Руководитель | Тарасов А. В. | | | | | | |
| Н. контроль | Тарасов А. В. | Вариант 1. Вариант 2. Вариант 3. Развертки граней секций 1-6 яруса. | | | | СКИУС | |
| Зав. кафедрой | Георгиев С. В. | | | | | | |



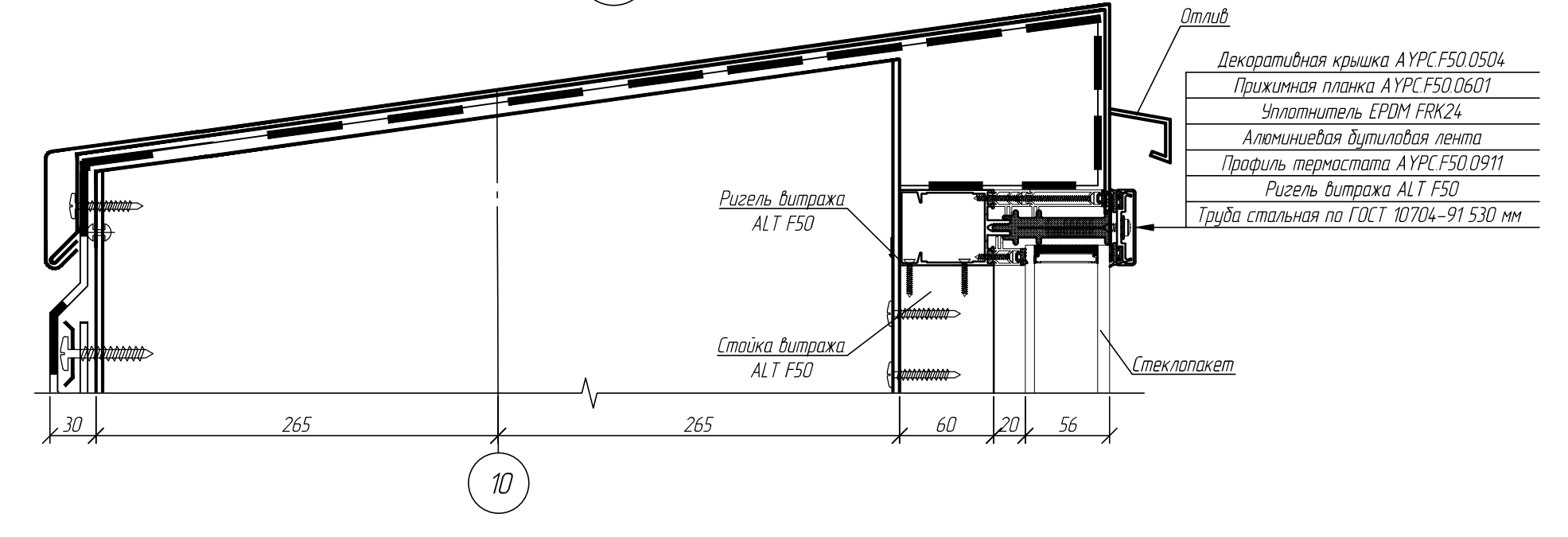
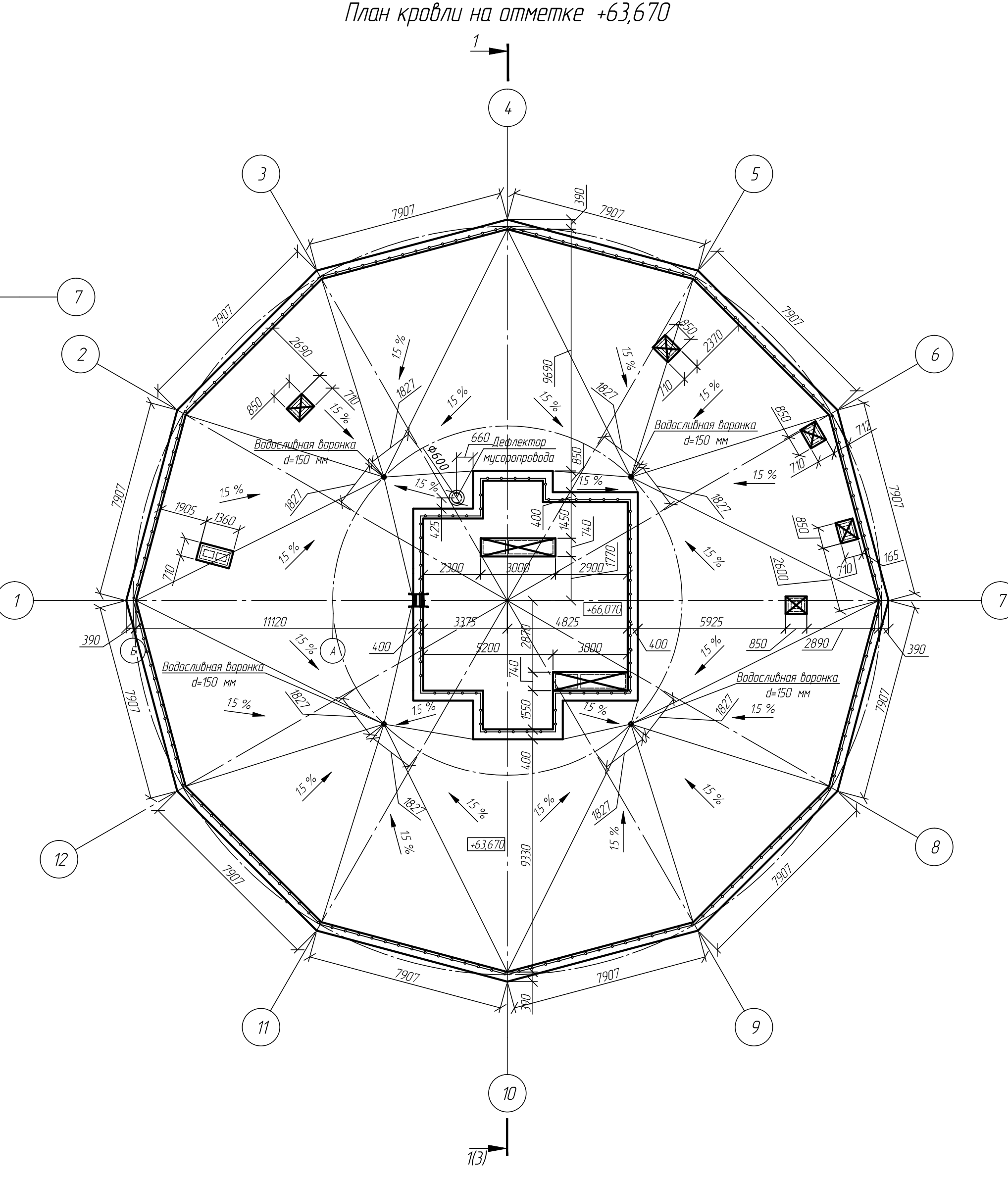
Фасад 1-7



План на отметке 0,000



План кровли на отметке +63,670

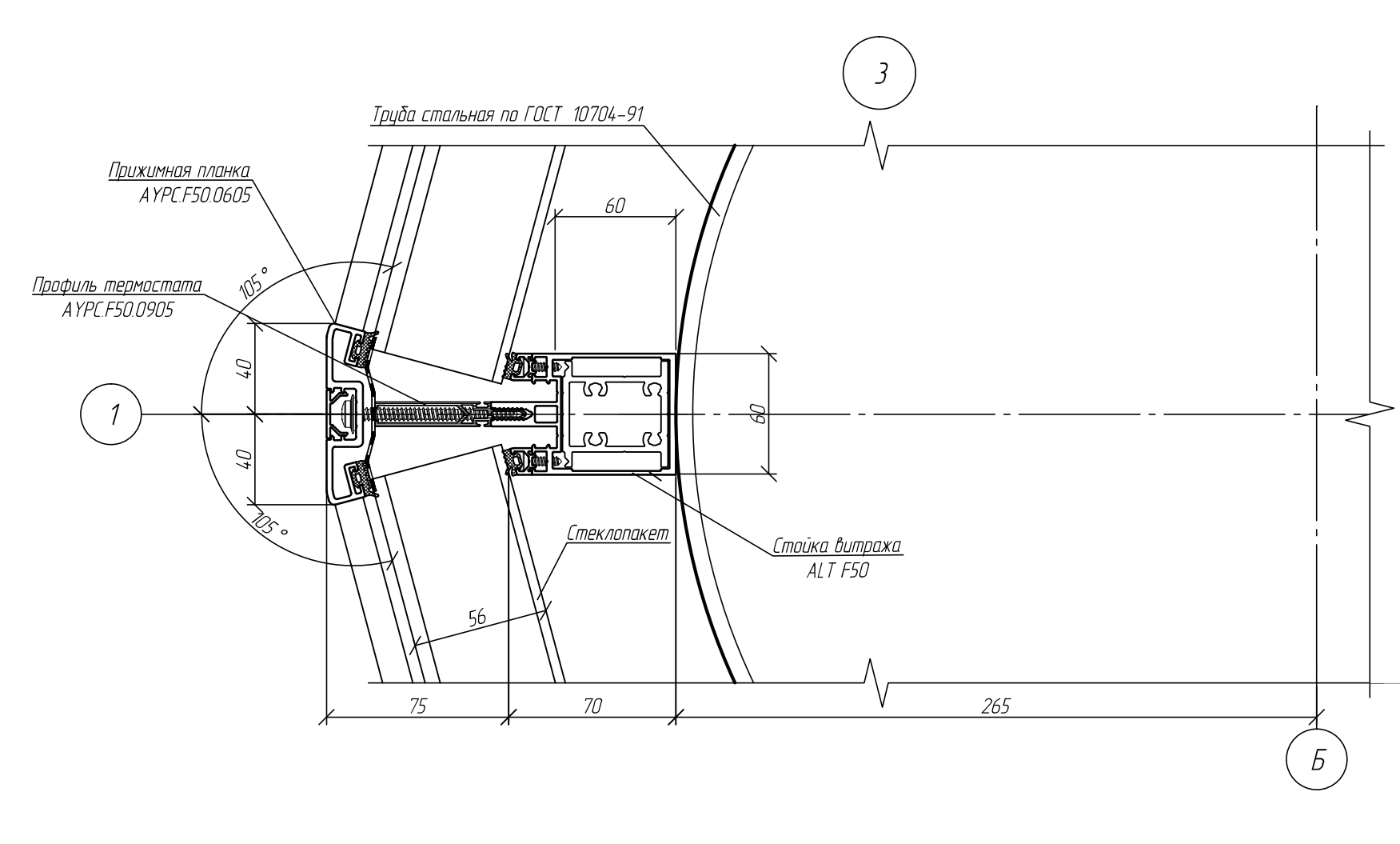
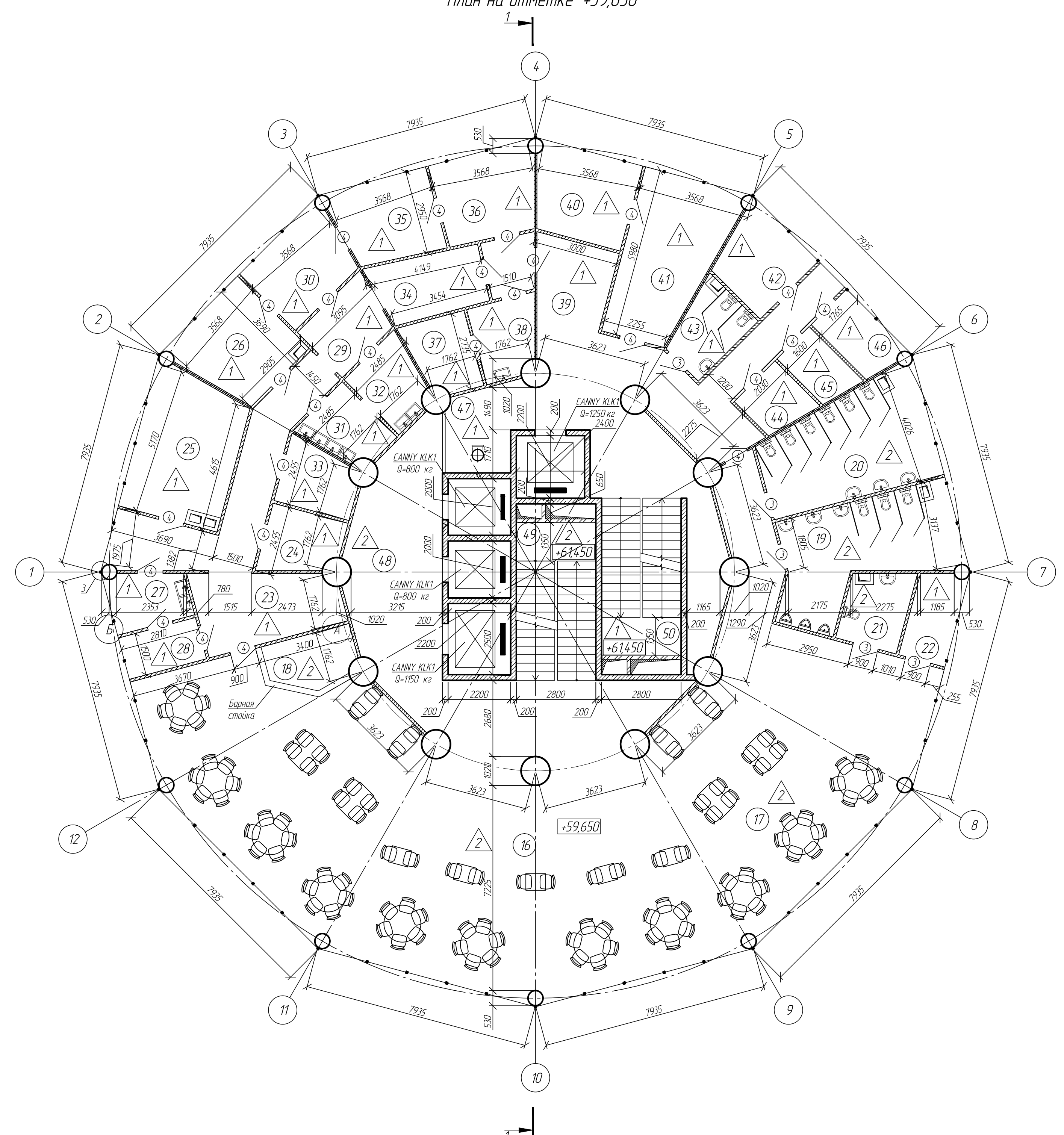
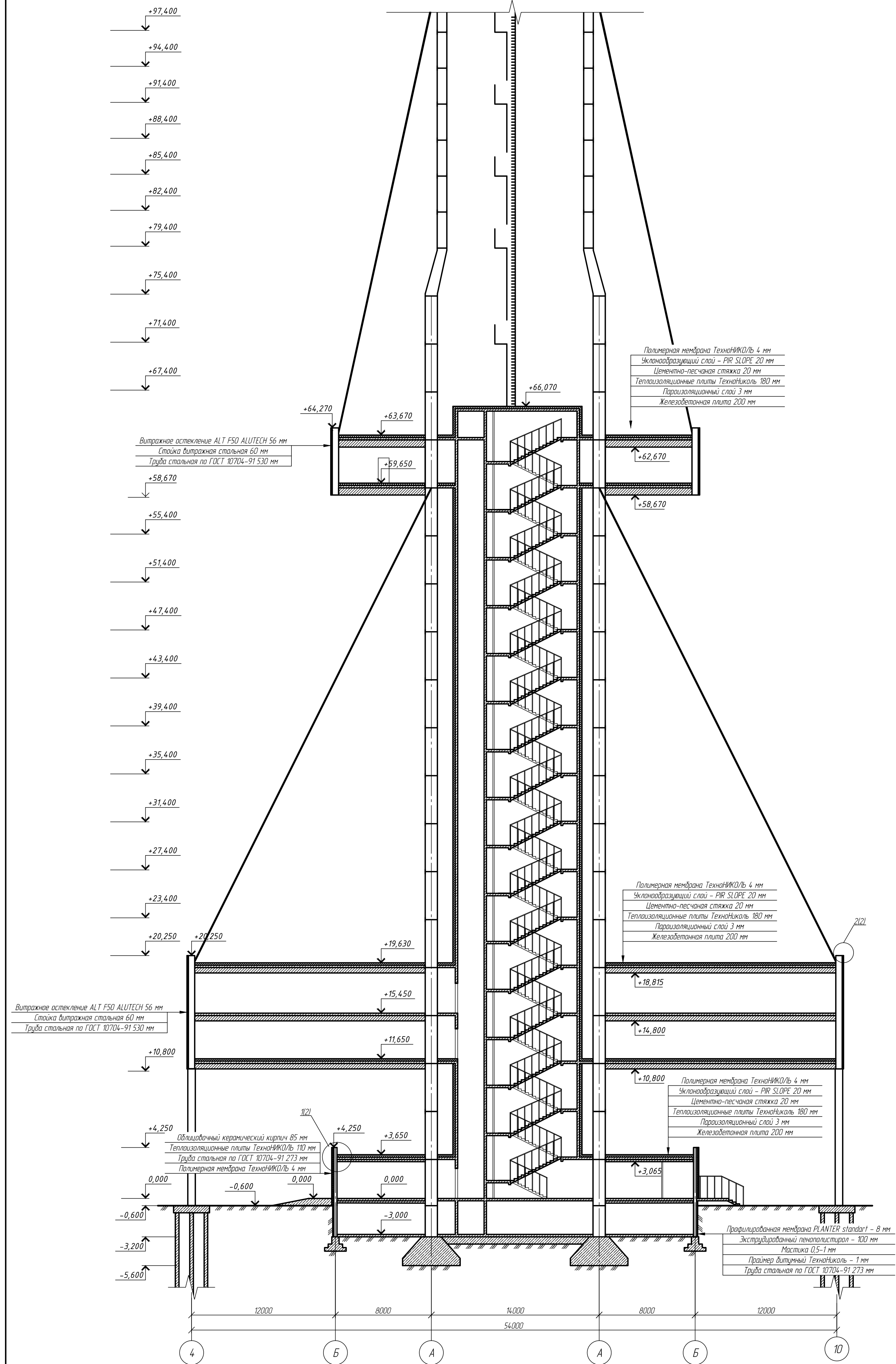


- Примечание:
 1. За условную отметку 0,000 принята высота чистого пола первого этажа
 2. Лист 2 читать совместно с листом 3
 3. Спецификации элементов заполнения дверей и оконных проемов см. пояснительные записки
 4. Экспликация полов см. пояснительные записки
 5. Ведомость отделки помещений см. пояснительные записки
 6. Экспликация помещений см. пояснительные записки

| | | | | | | | | | | |
|---------------|----------------|------|---------|-------|------|---|--------|------|--------|--|
| | | | | | | ДП - 08.05.01 - 2020 | | | | |
| | | | | | | ФГУОУ ВО "Сибирский федеральный университет" Инженерно-строительный институт | | | | |
| Изм. | Кол. ч. | Лист | Уч. дат | Подп. | Дата | Телевизионная вышка высотой 228,5 м со вспомогательными телестудией и кафе в г. Омск | Стация | Лист | Листов | |
| | | | | | | | У | 2 | 13 | |
| Разработал | Инженер А.И. | | | | | | | | | |
| Консультант | Инженер С.М. | | | | | | | | | |
| Руководитель | Тарасов А.В. | | | | | | | | | |
| Н.контр. | Тарасов А.В. | | | | | | | | | |
| Зав. кафедрой | Девяридов С.В. | | | | | | | | | |
| | | | | | | Фасад 1-7. План на отметке 0,000. План кровли на отметке +64,250. Узел 1. Узел 2. | | | | |
| | | | | | | СКБС | | | | |

Разрез 1-1

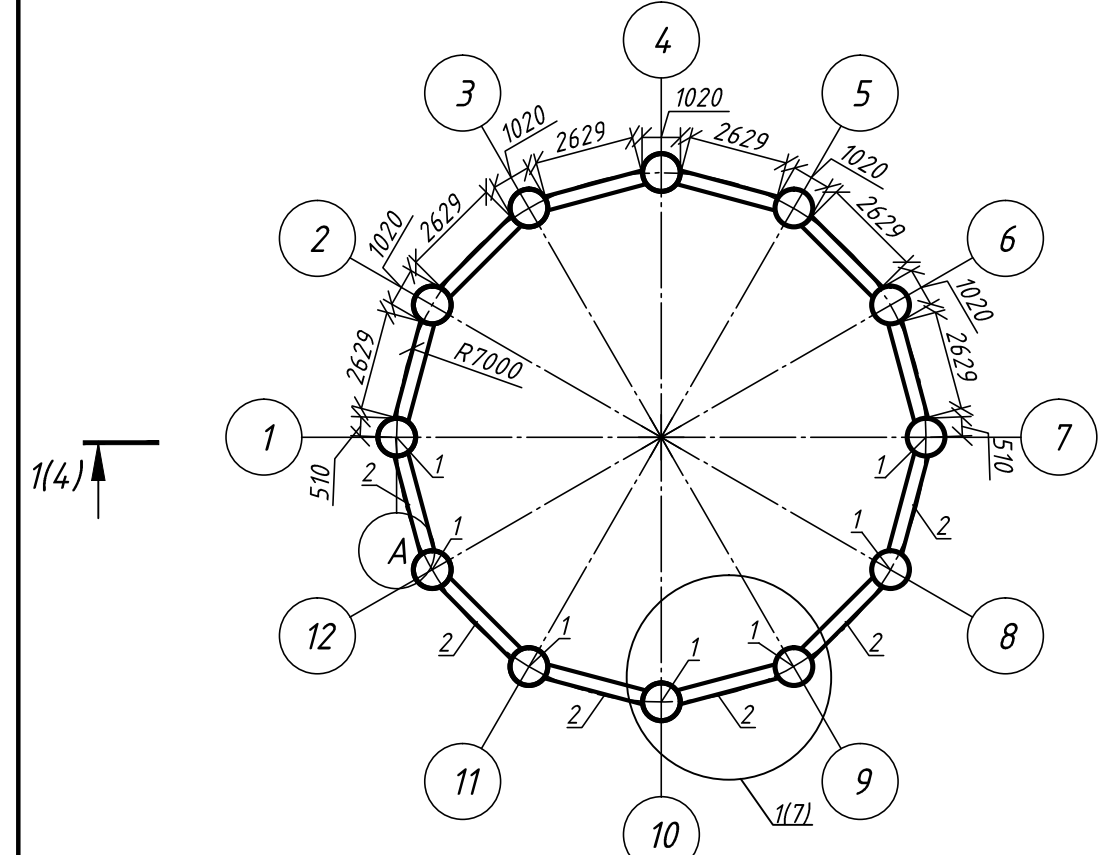
План на отметке +59,650



- Примечание:
- 1 За условно отметку 0,000 принят уровень чистого пола первого этажа.
 - 2 Лист 2 читать совместно с листом 3
 - 3 Спецификации элементов заполнения дверных и оконных проемов см. пояснительную записку.
 - 4 Экспликация полов см. пояснительную записку.
 - 5 Ведомость отделки помещений см. пояснительную записку.
 - 6 Экспликация помещений см. пояснительную записку.

| | | | | | | | | | |
|---------------|----------------|------|--------|-------|------|---|--------|------|--------|
| | | | | | | ДП - 08.05.01 - 2020 | | | |
| | | | | | | ФГАОУ ВО "Сибирский федеральный университет" Инженерно-строительный институт | | | |
| Изм. | Кол. ч. | Лист | № док. | Подп. | Дата | Телевизионная вагона высотой 2285 м. со встраиваемой телеслужбы и кафе в г. Омск | Статья | Лист | Листов |
| Разработал | Витражная А.Н. | | | | | | у | 3 | 13 |
| Консультант | Витражная Е.М. | | | | | | | | |
| Руководитель | Тарасов А.В. | | | | | | | | |
| И контроль | Тарасов А.В. | | | | | Разрез 1-1 План на отметке +59,650 Член 3 | | | СКБС |
| Зав. кафедрой | Дегарьев С.В. | | | | | | | | |

Схема расположения элементов ЯР 1



Развертка граней ЯР 1

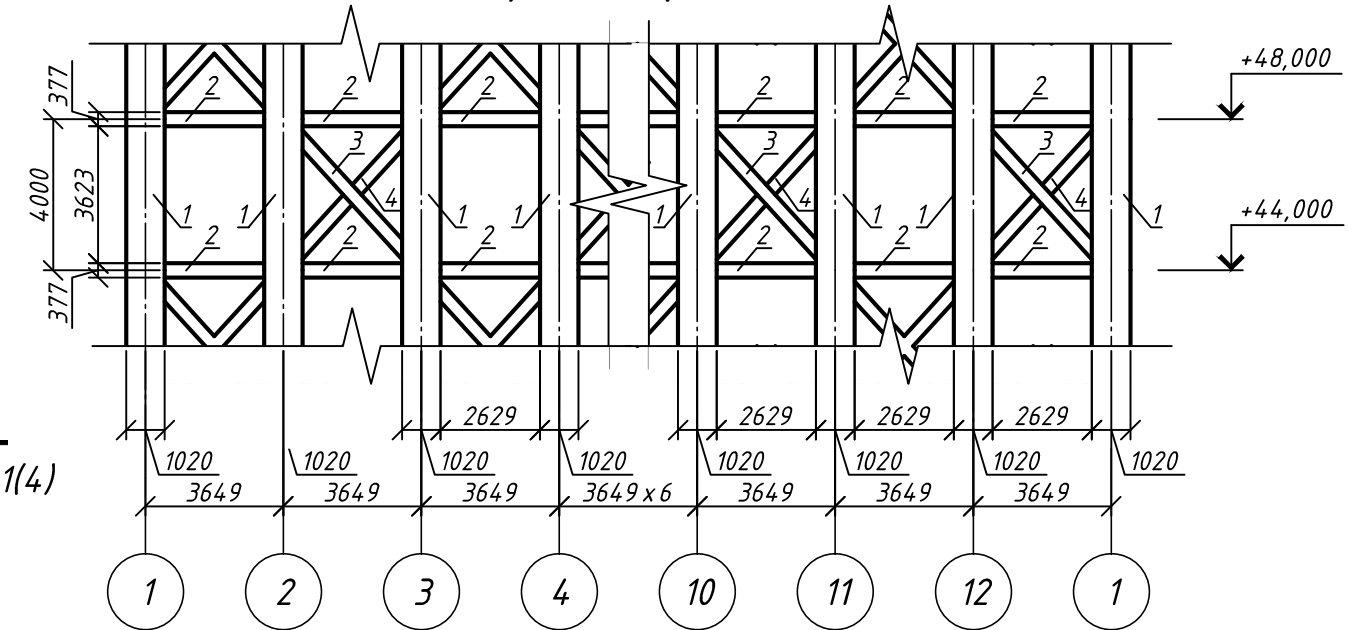
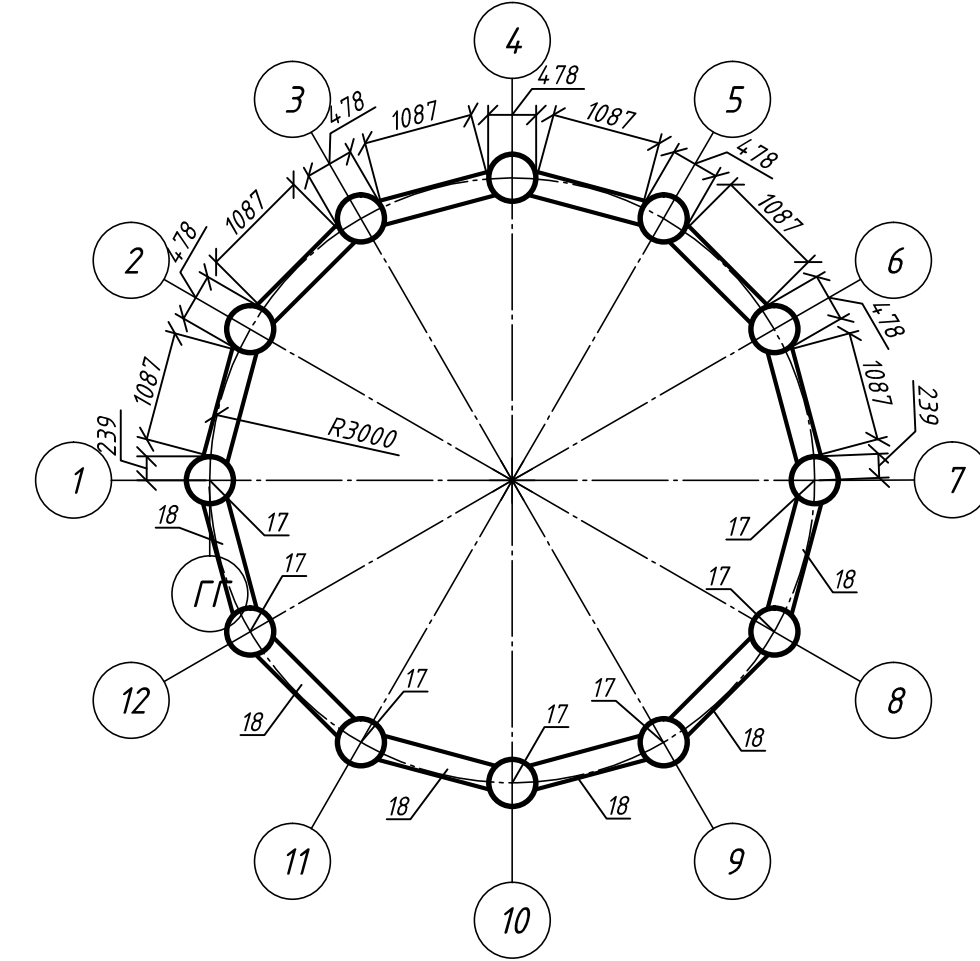


Схема расположения элементов ЯР 5



Развертка граней ЯР 2

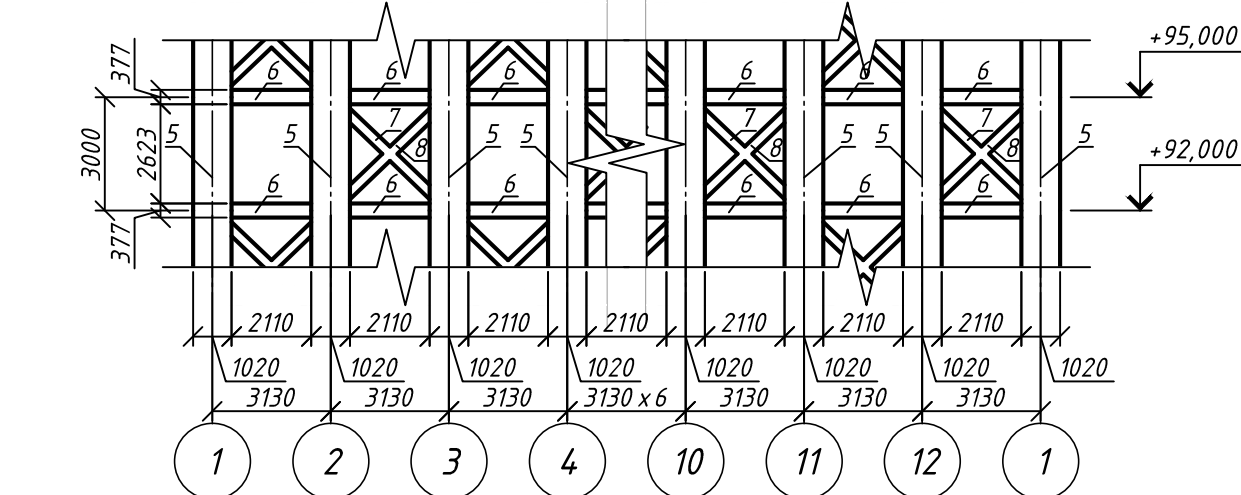
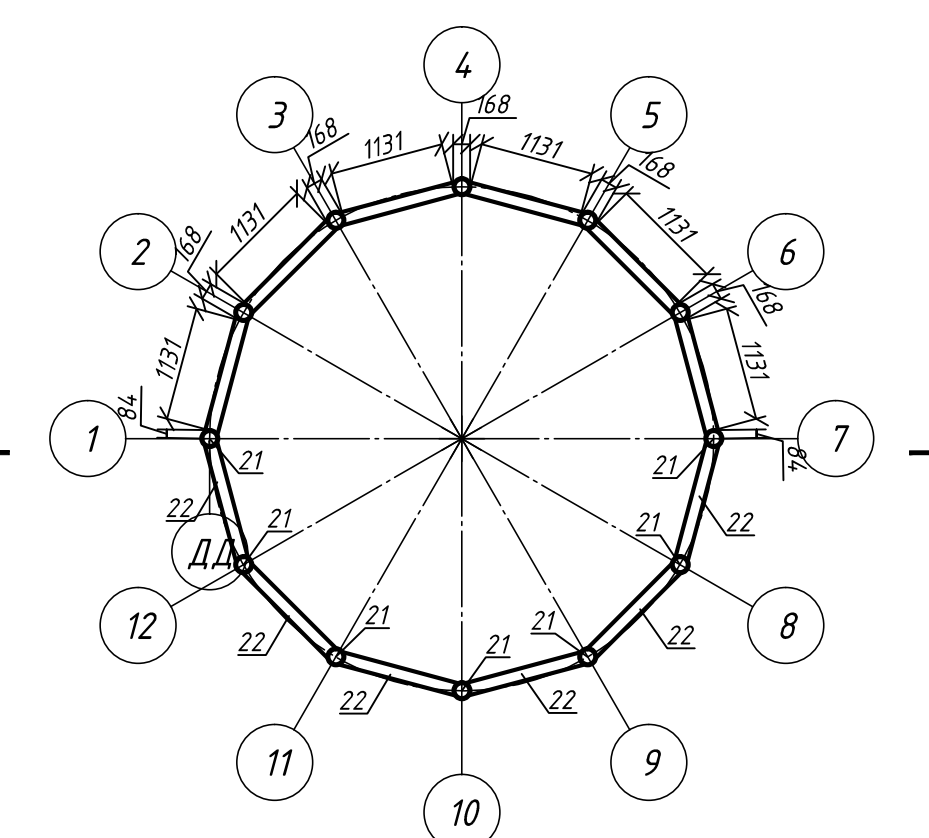


Схема расположения элементов ЯР 6



Развертка граней ЯР 3

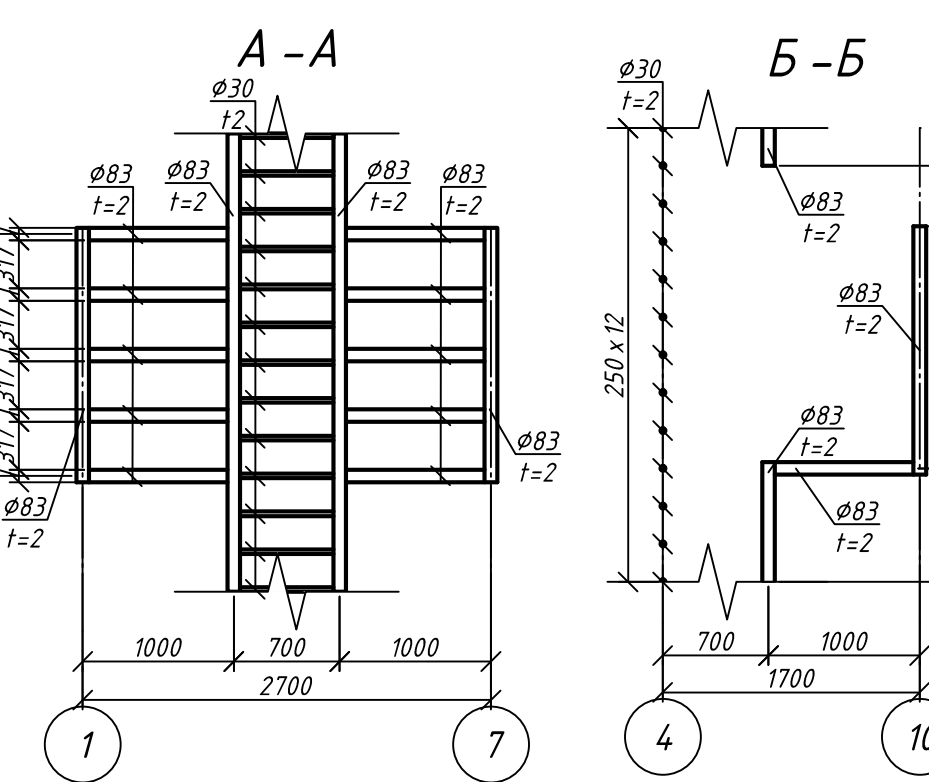
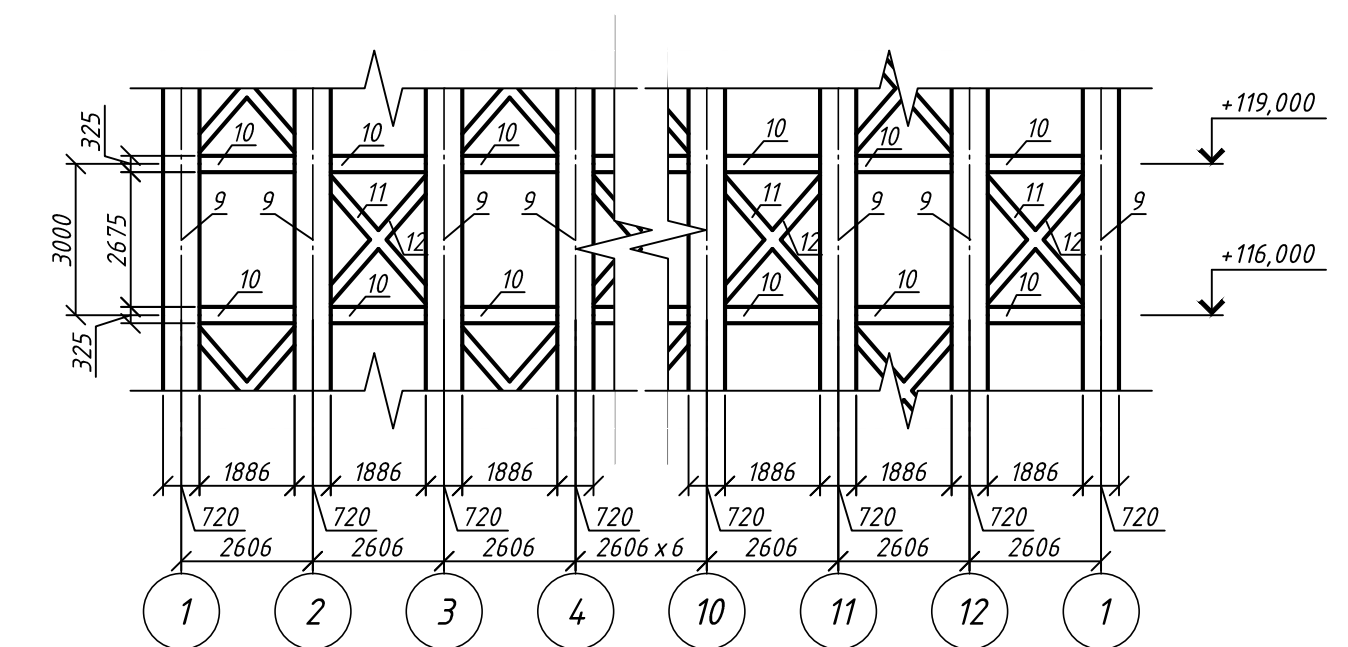
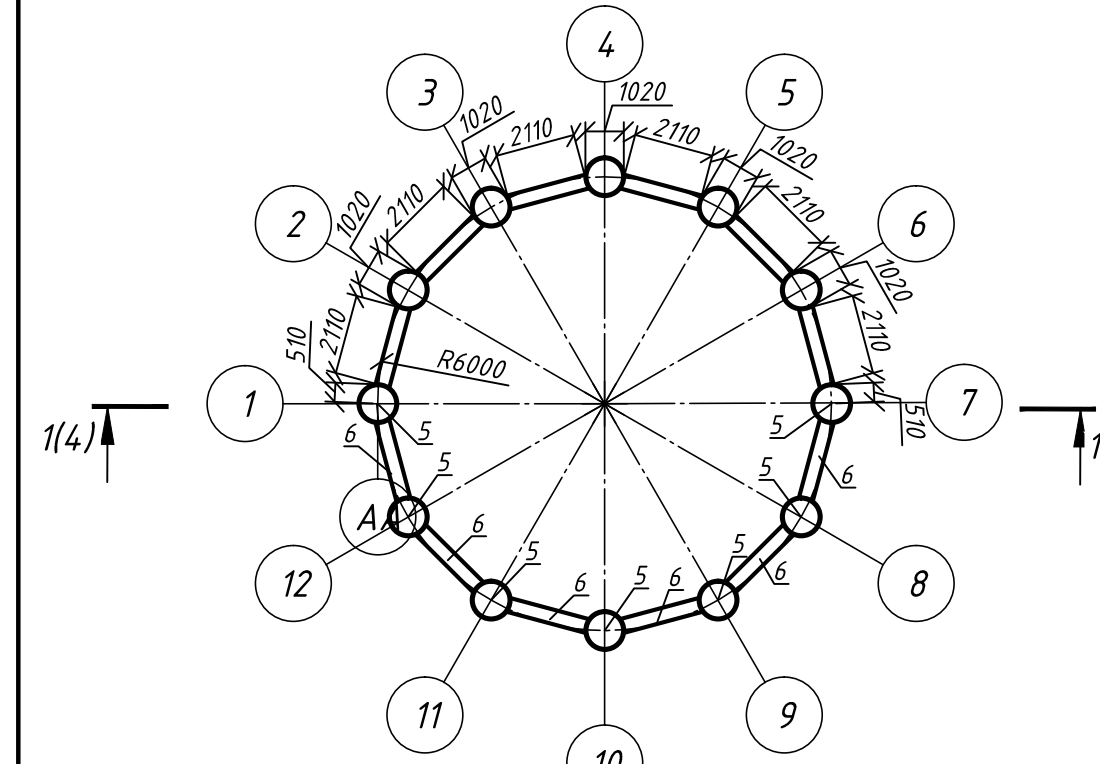


Схема расположения элементов ЯР 2



Развертка граней ЯР 4

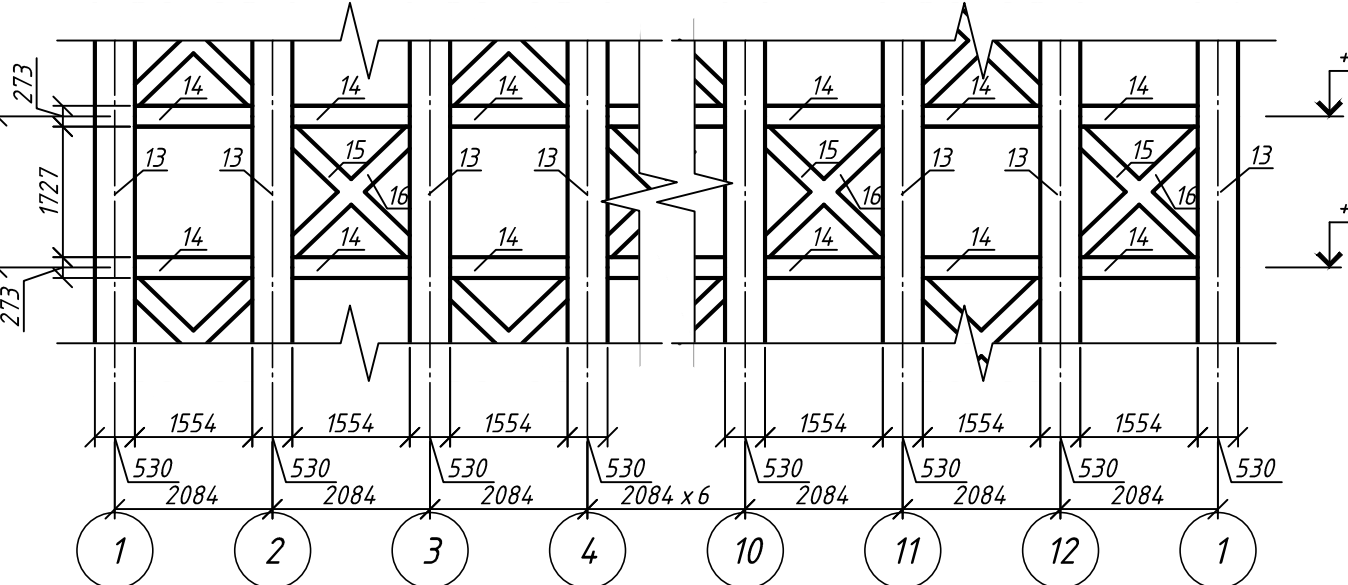
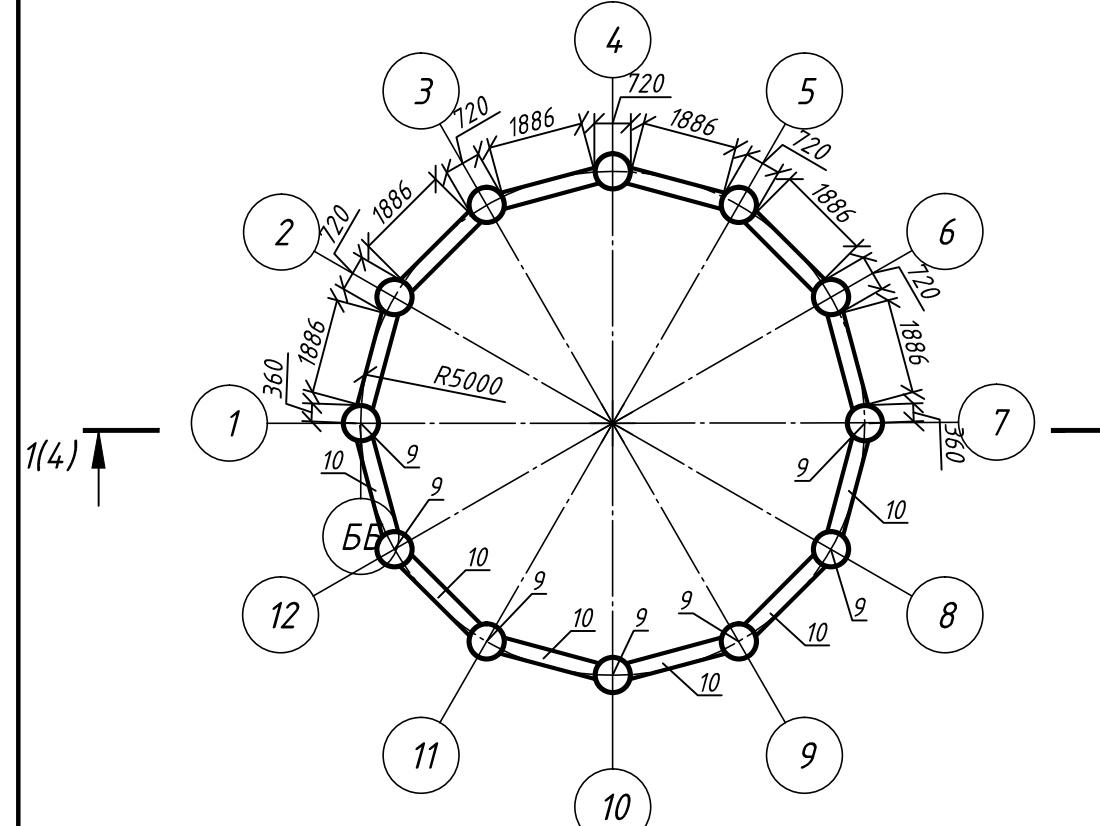


Схема расположения элементов ЯР 3



Развертка граней ЯР 5

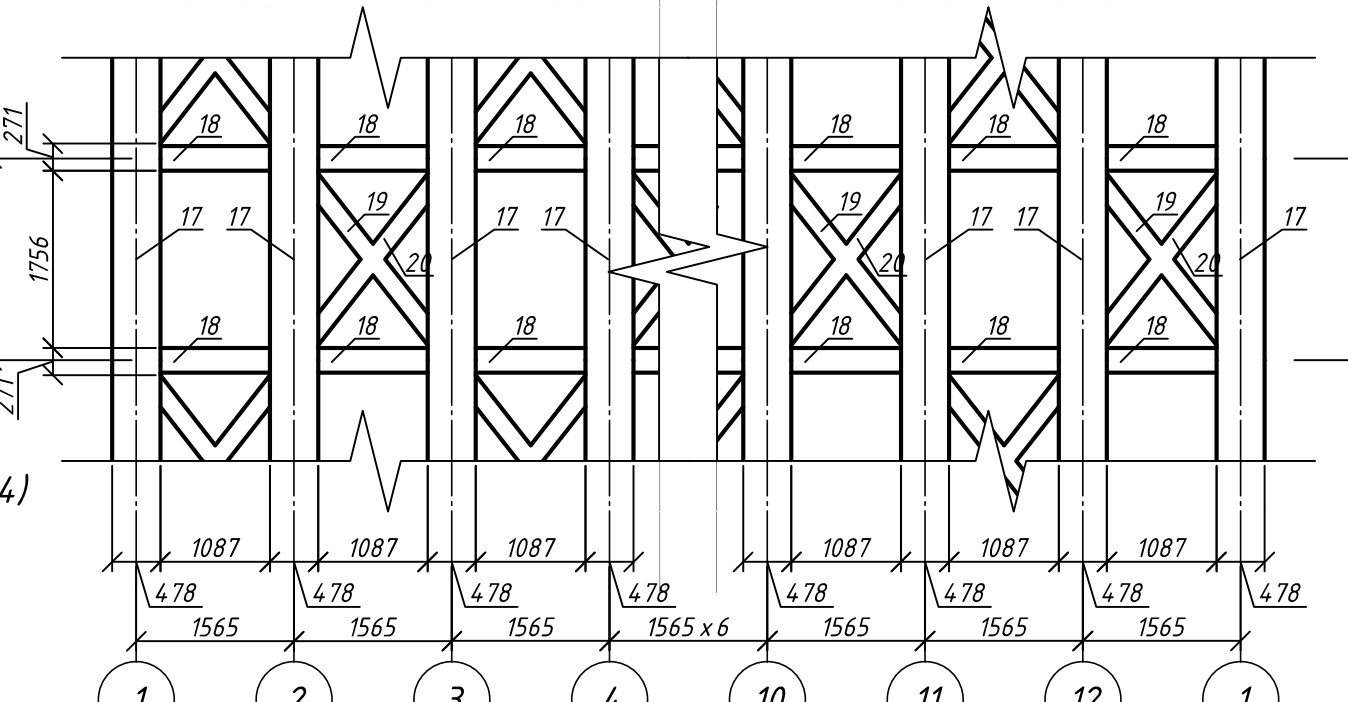
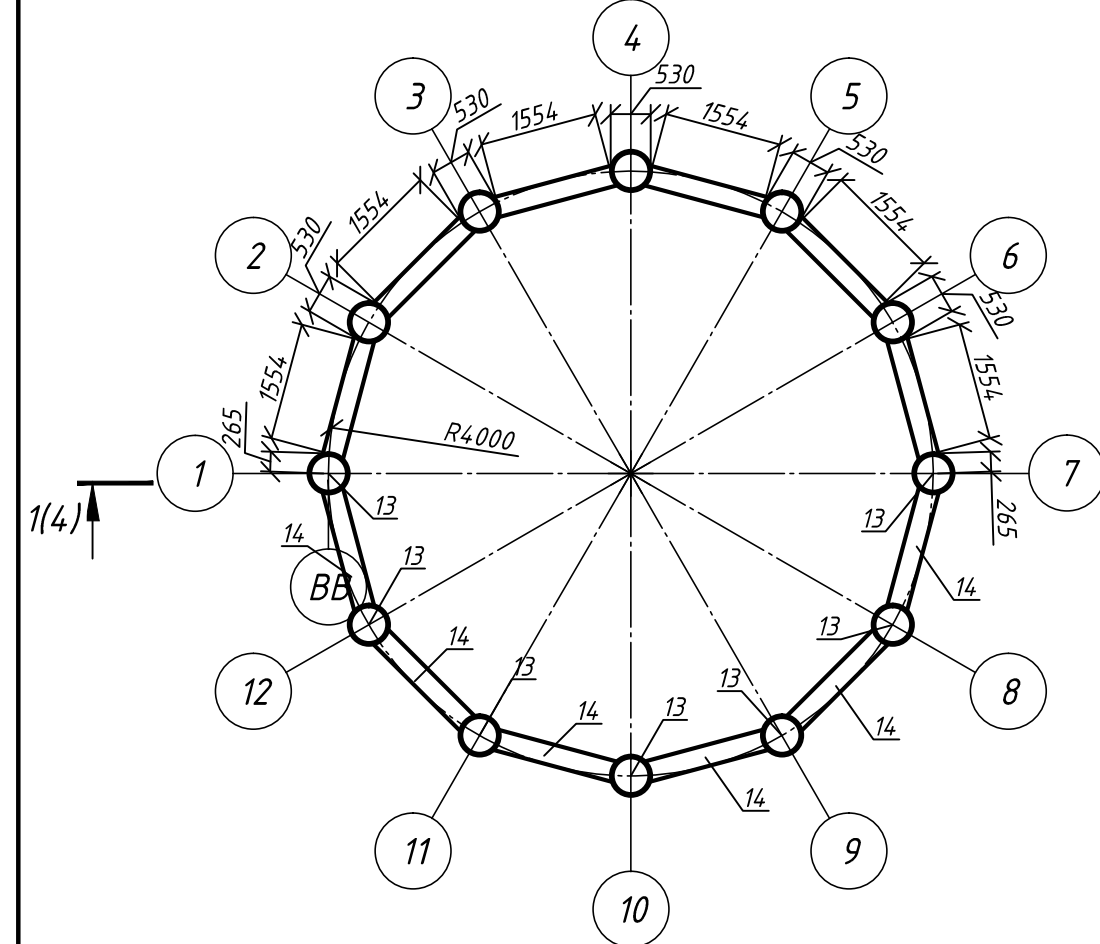
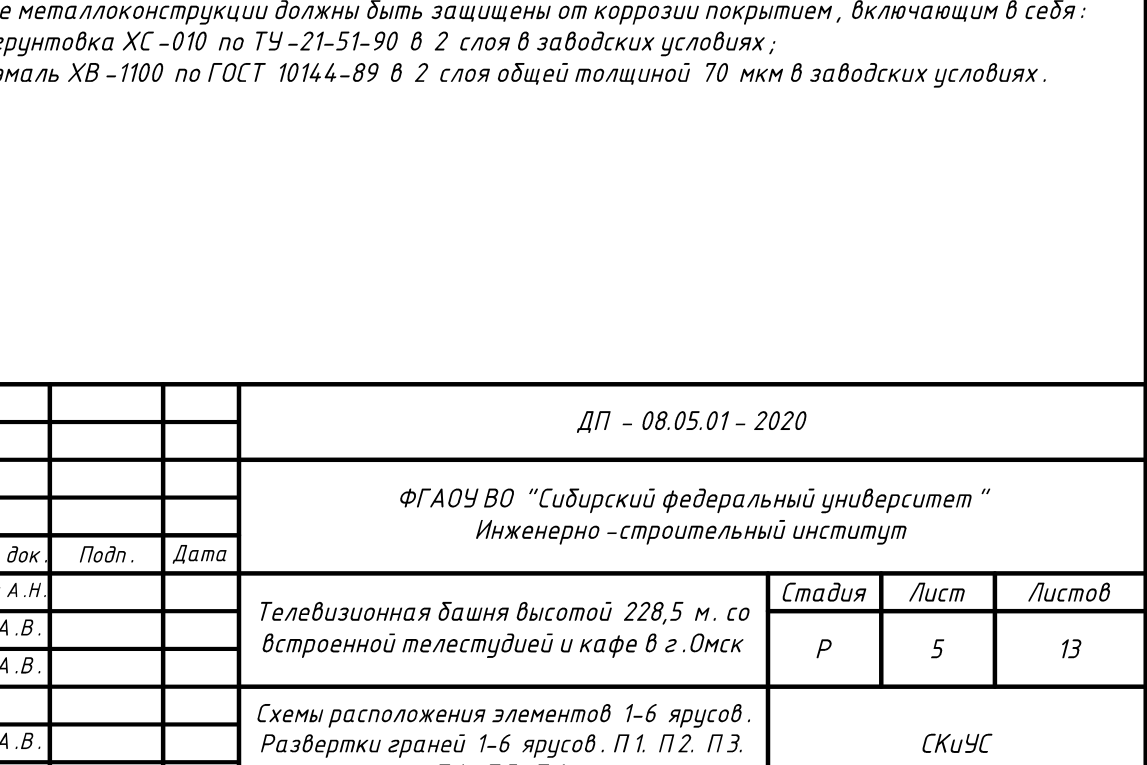
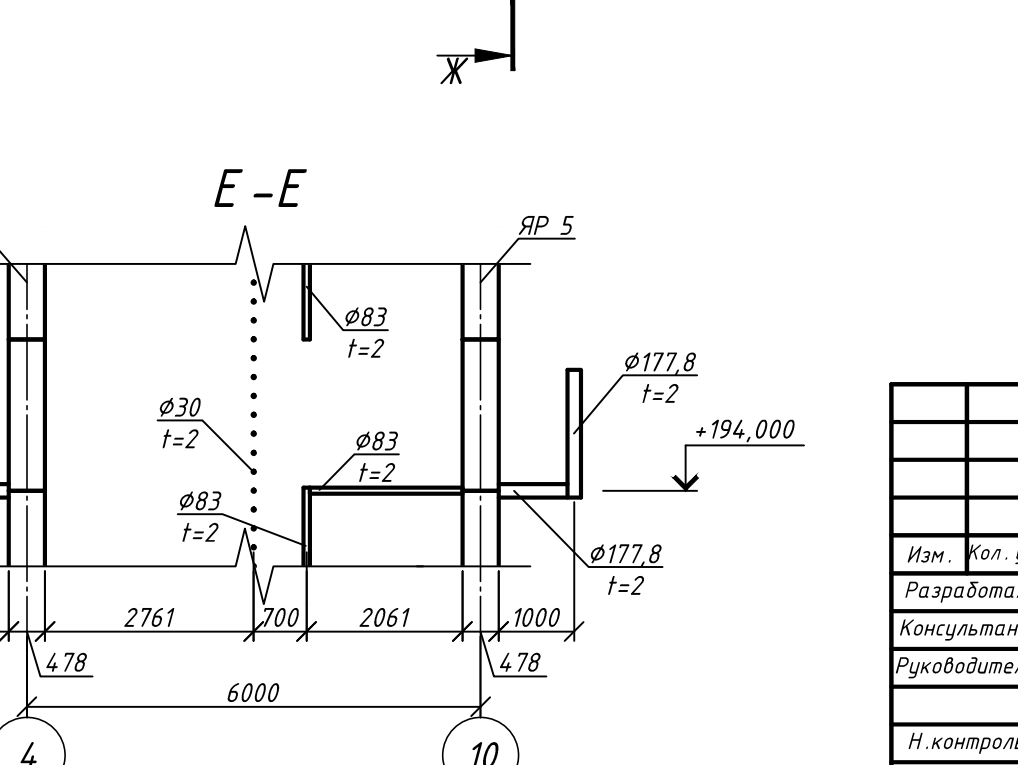
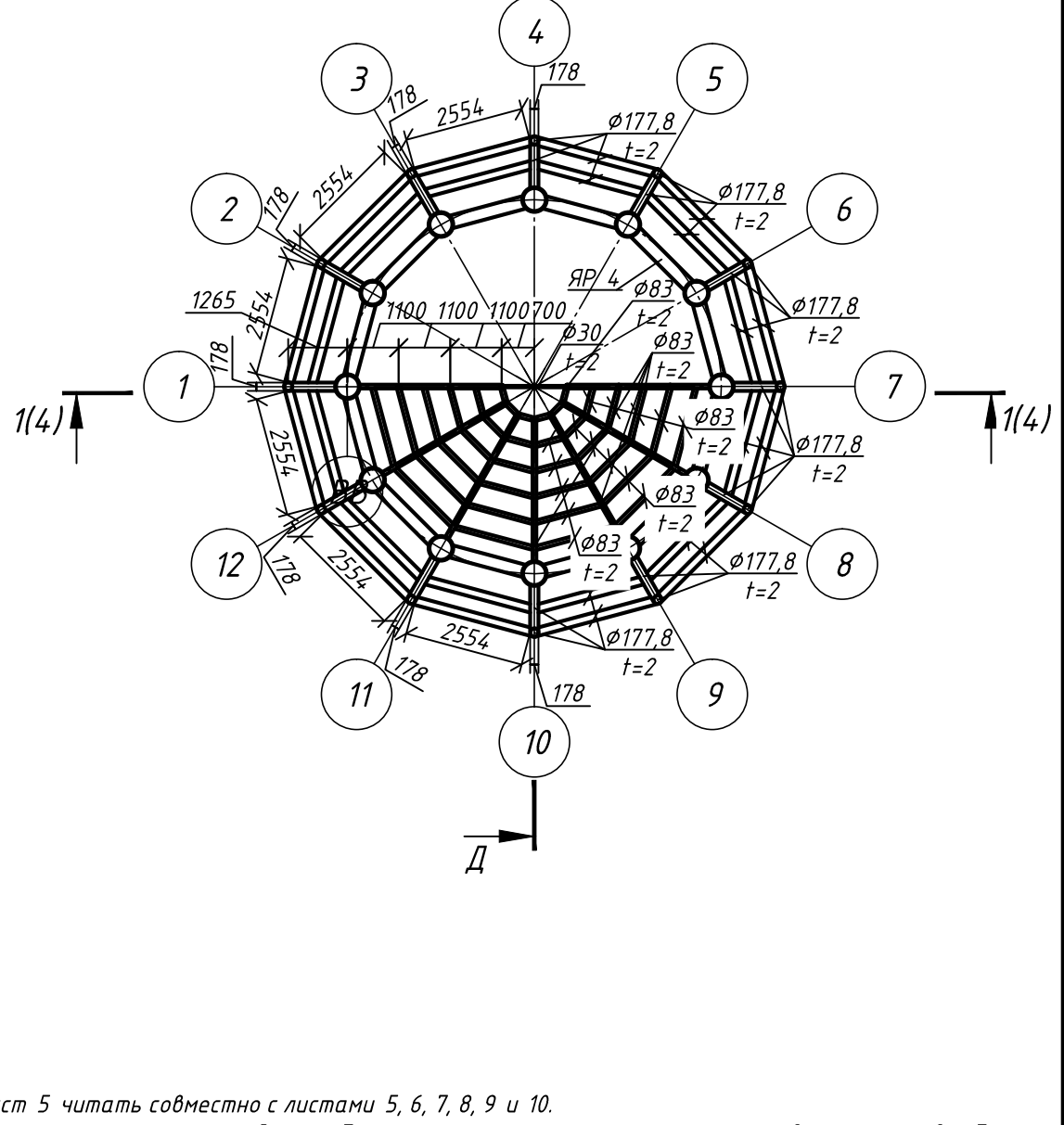
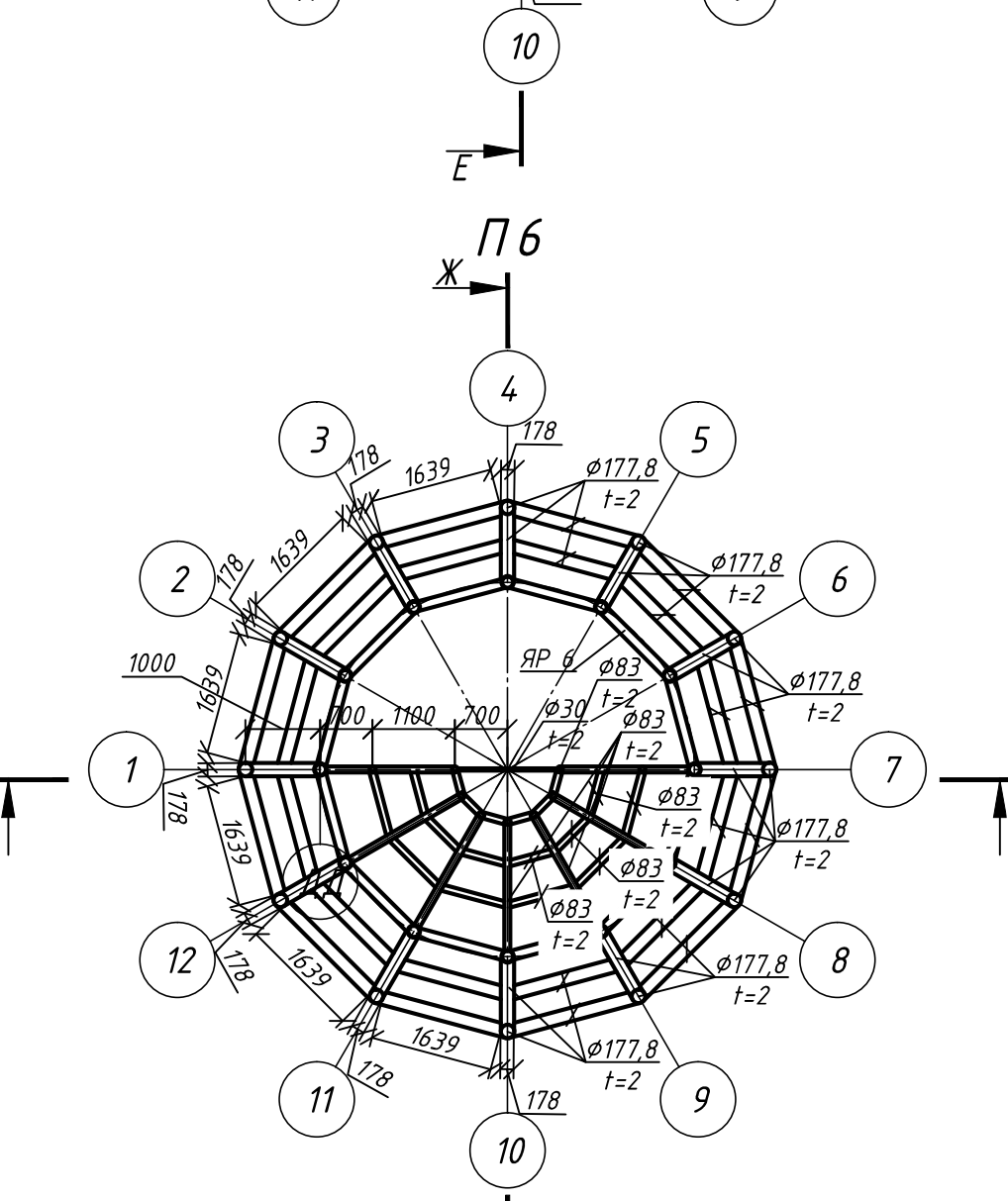
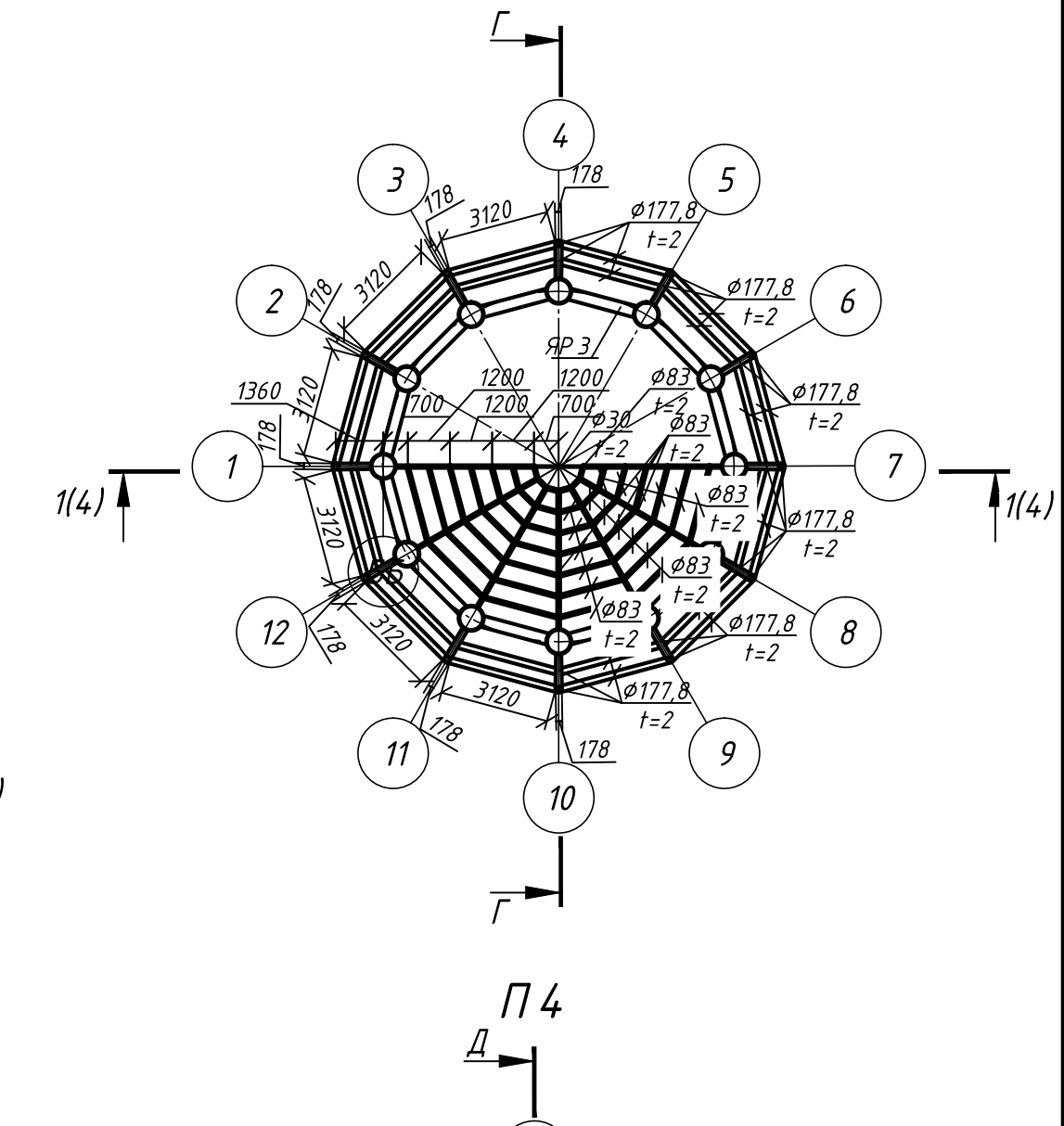
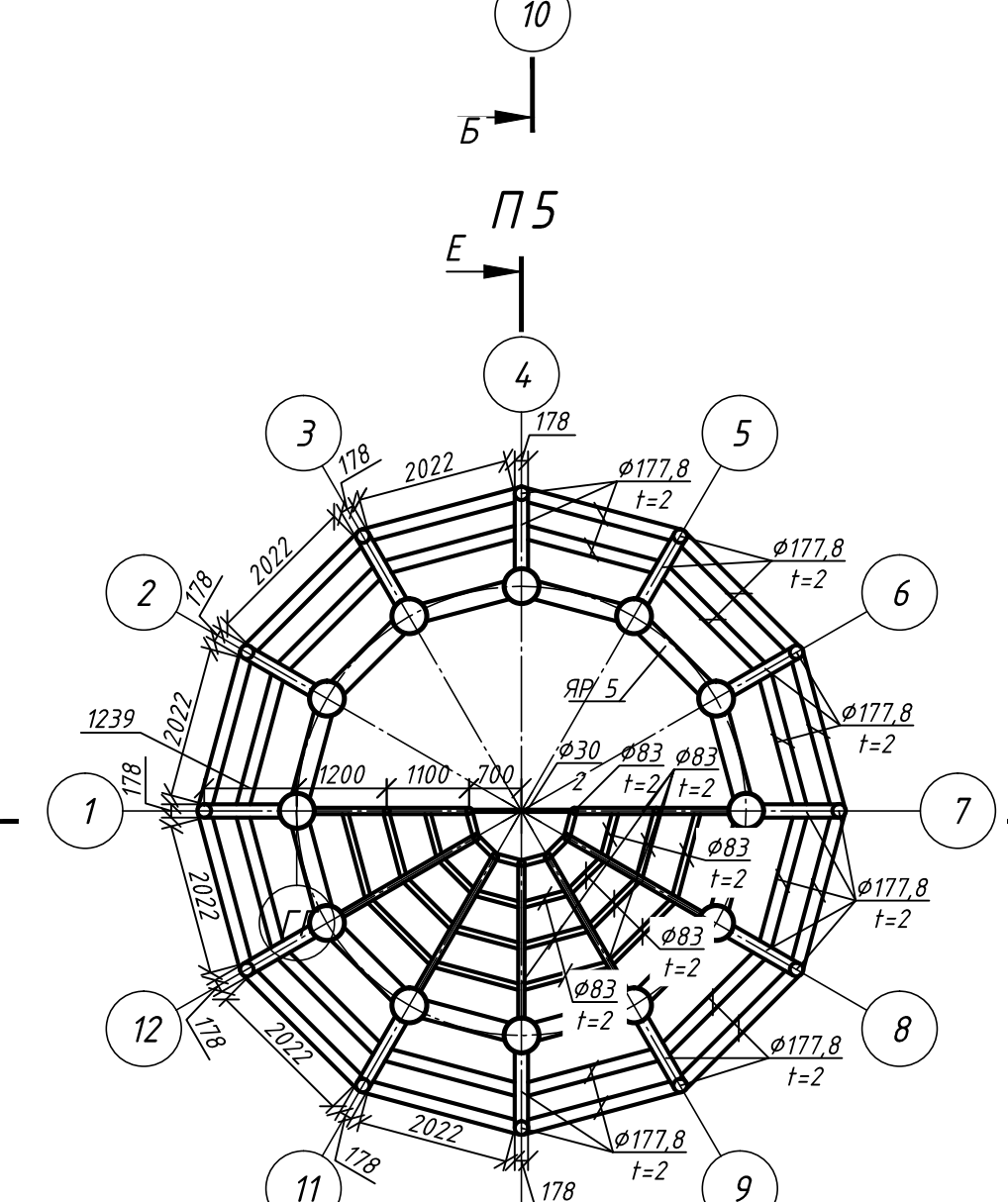
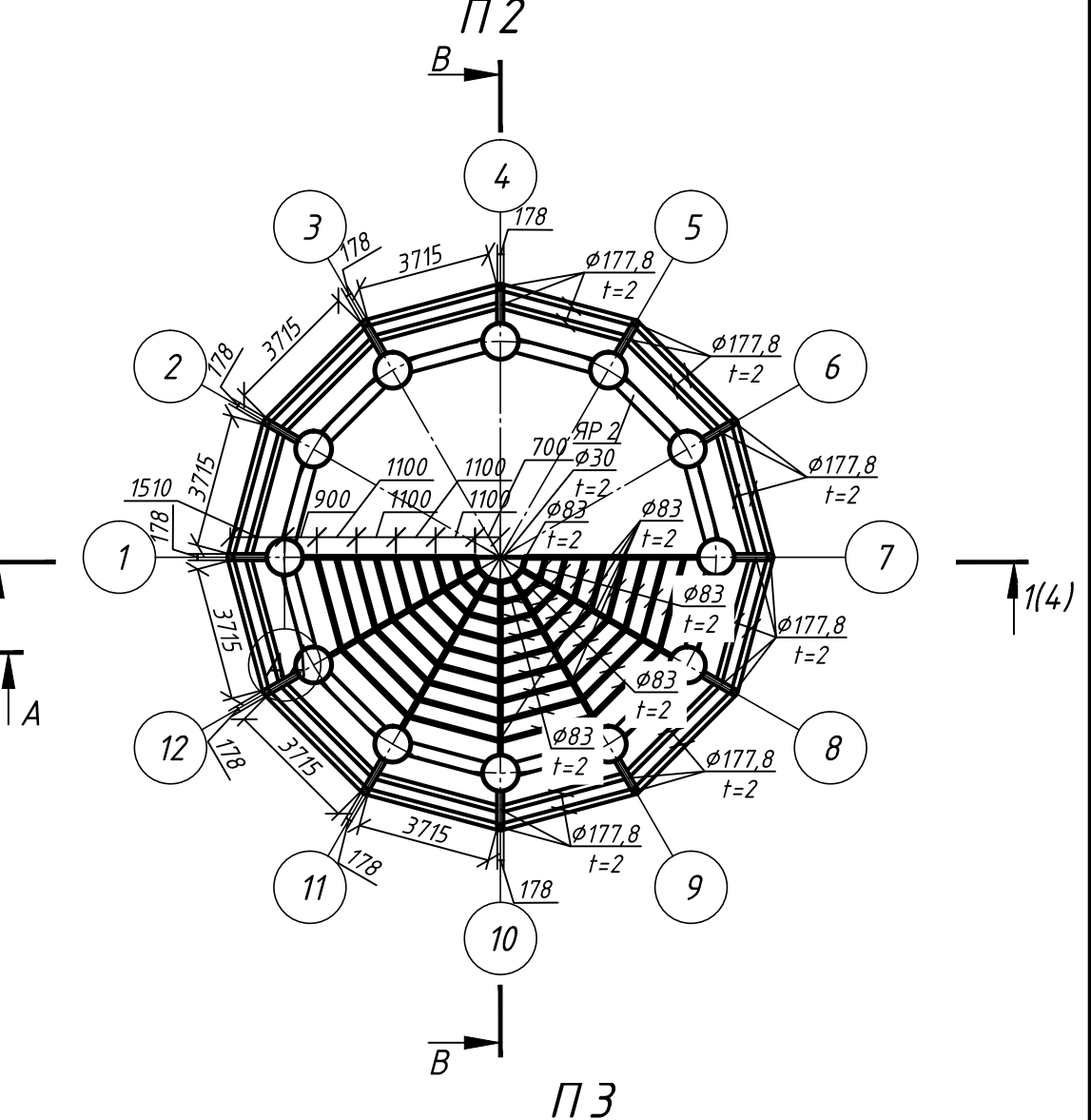
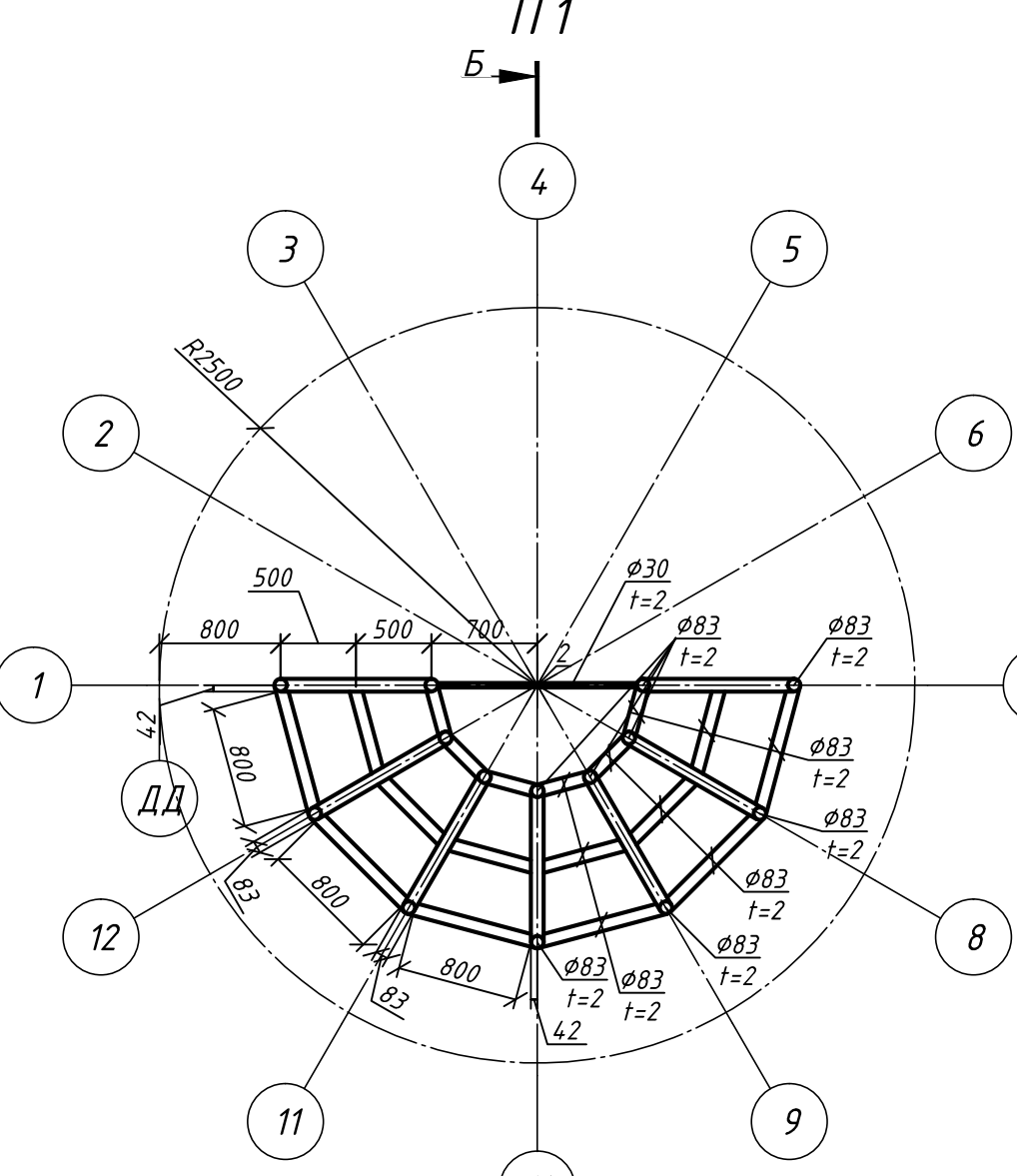
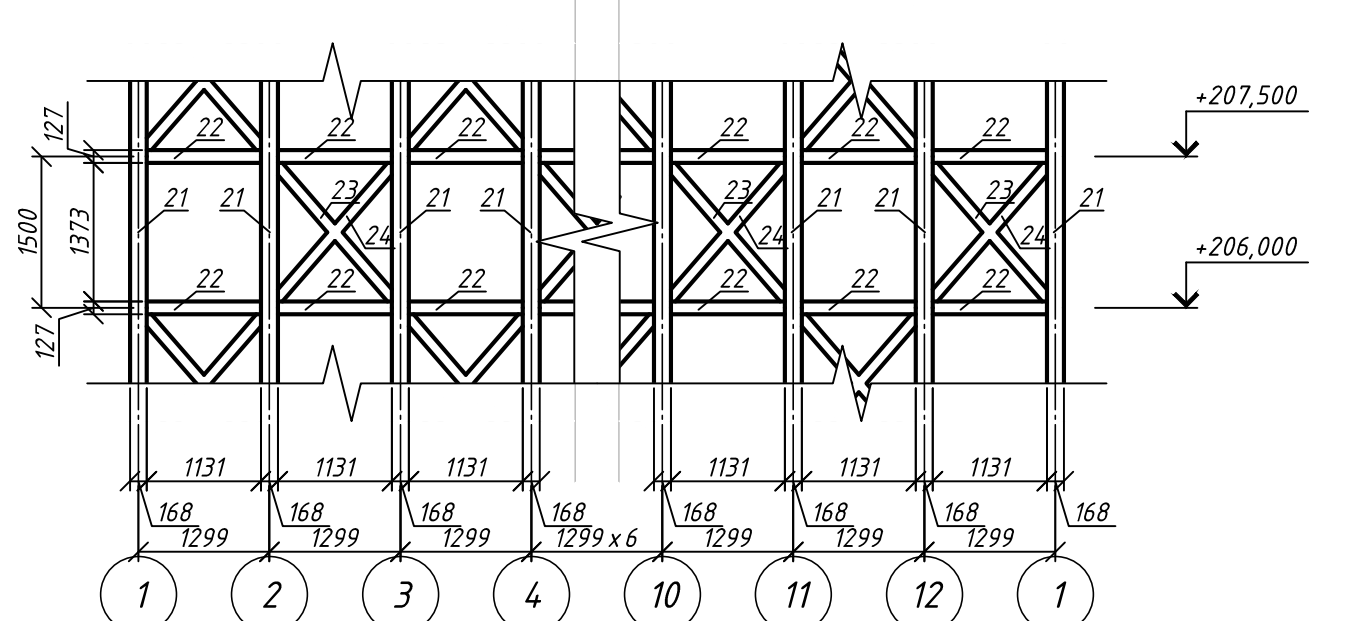


Схема расположения элементов ЯР 4

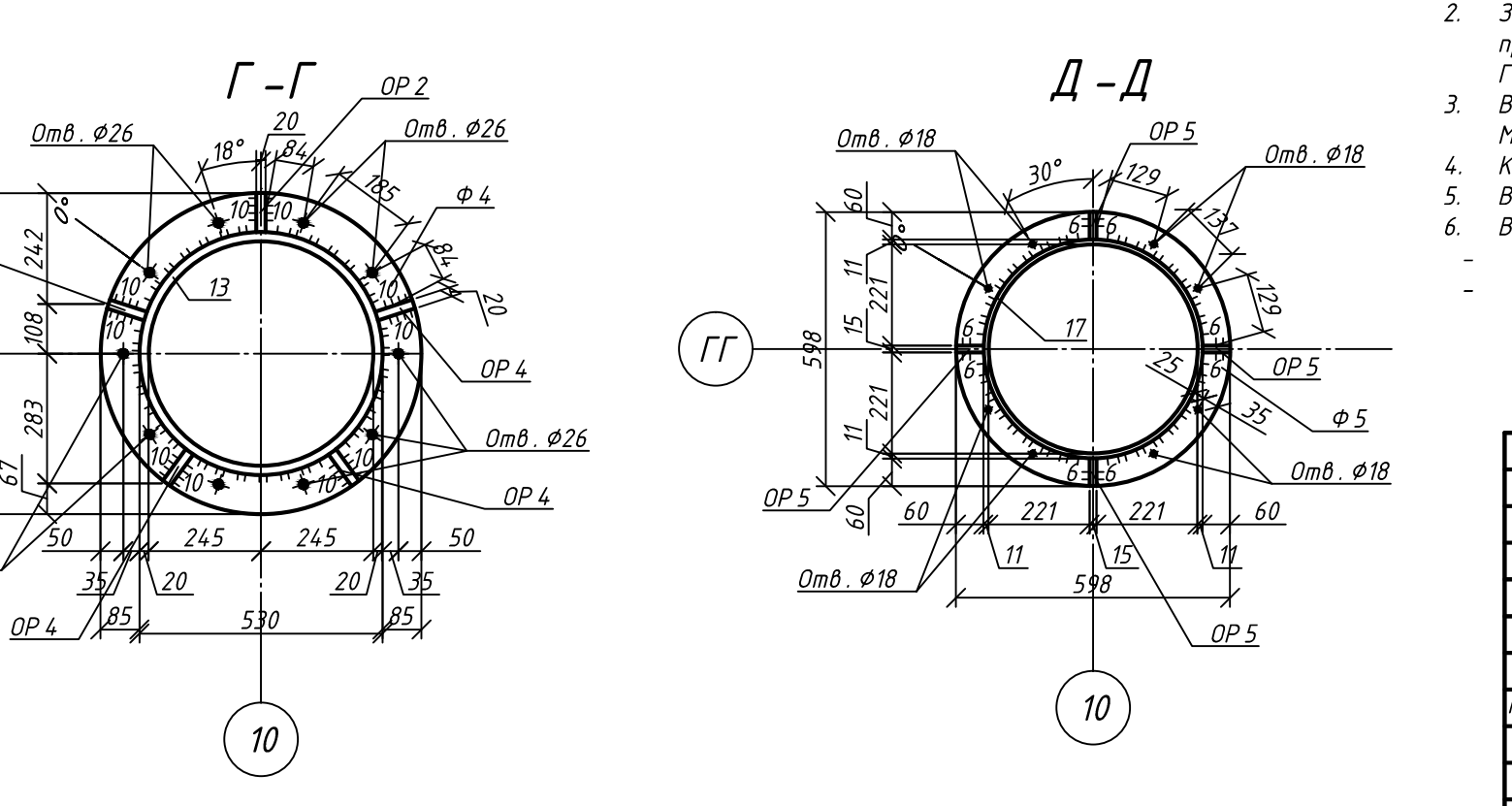
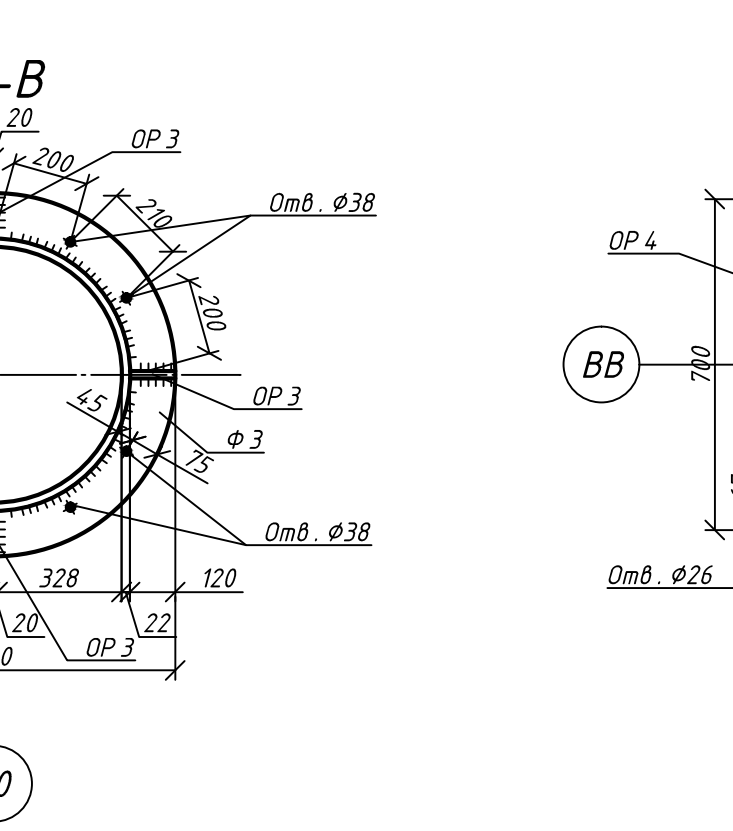
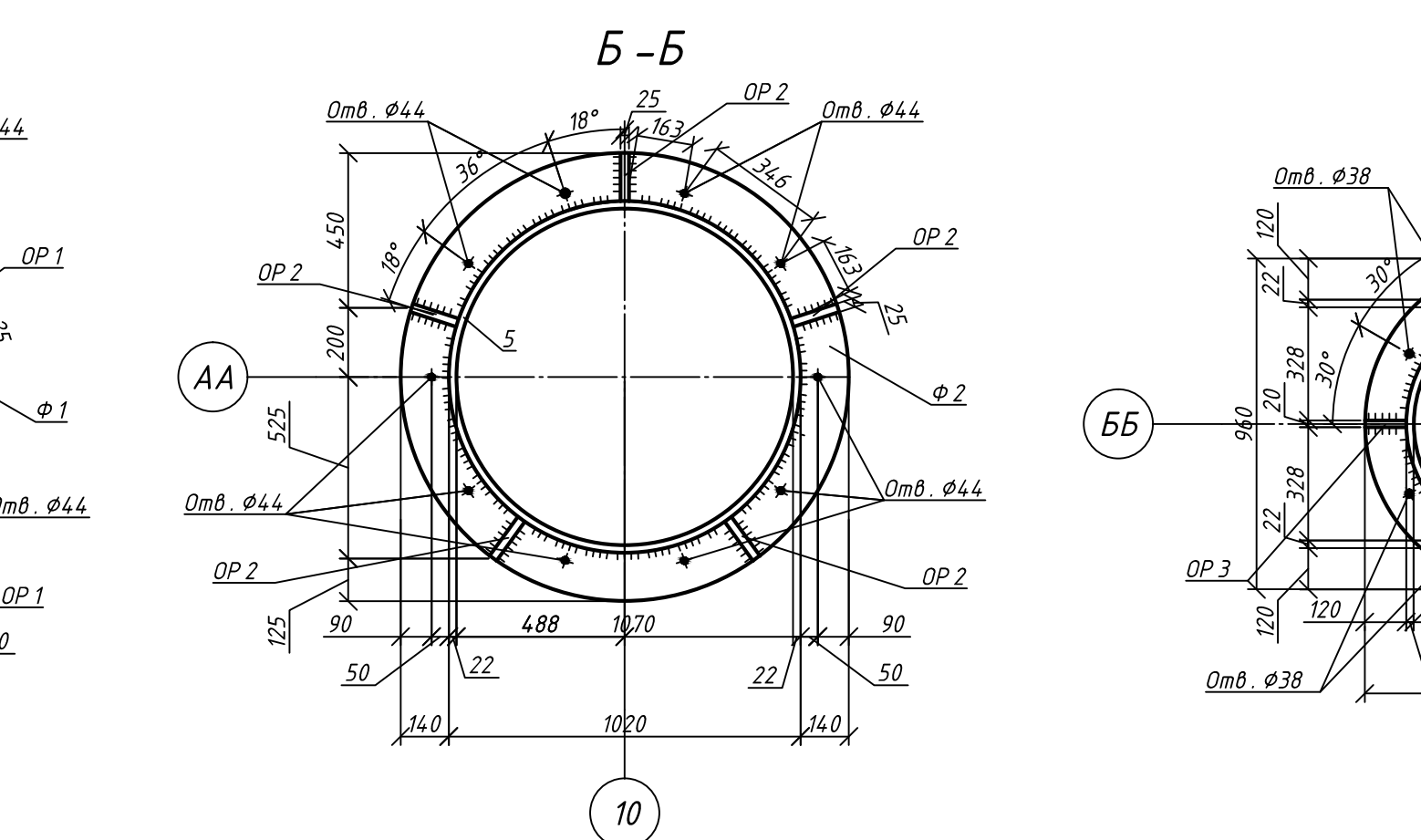
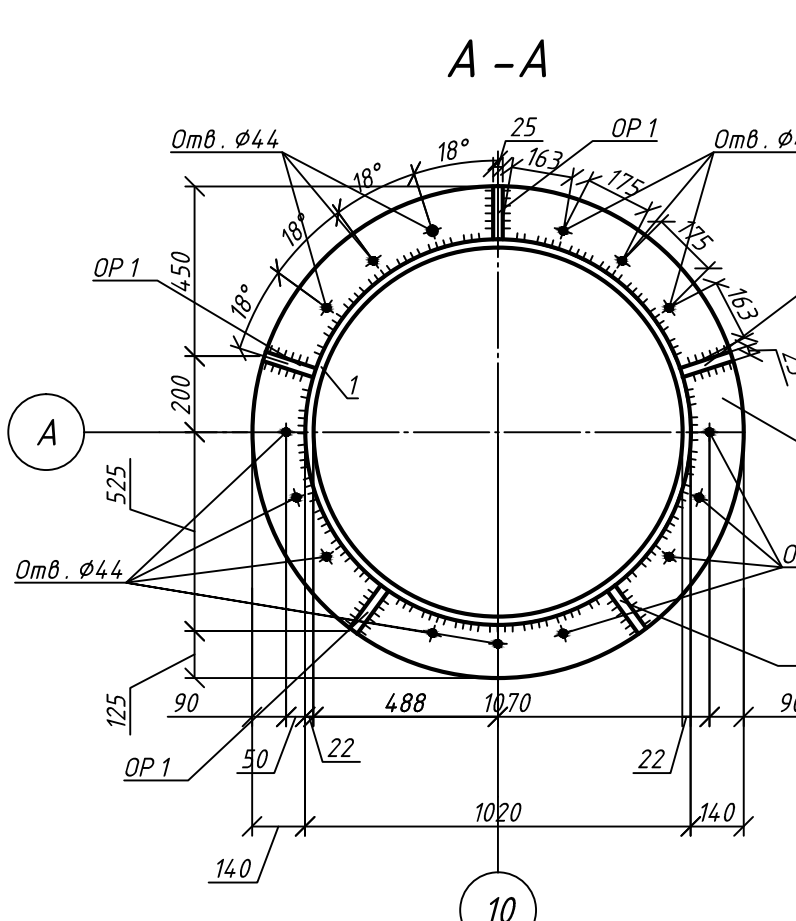
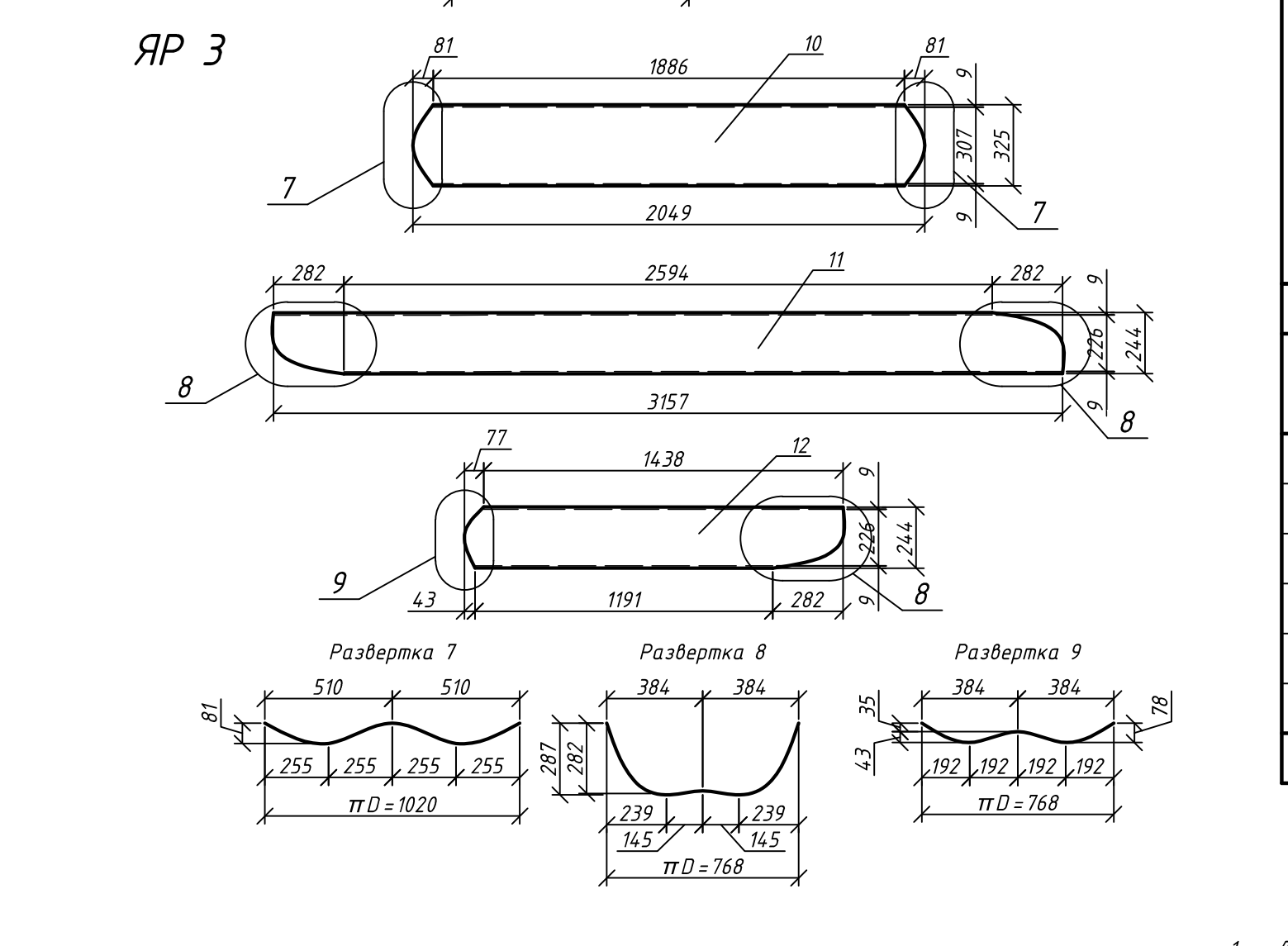
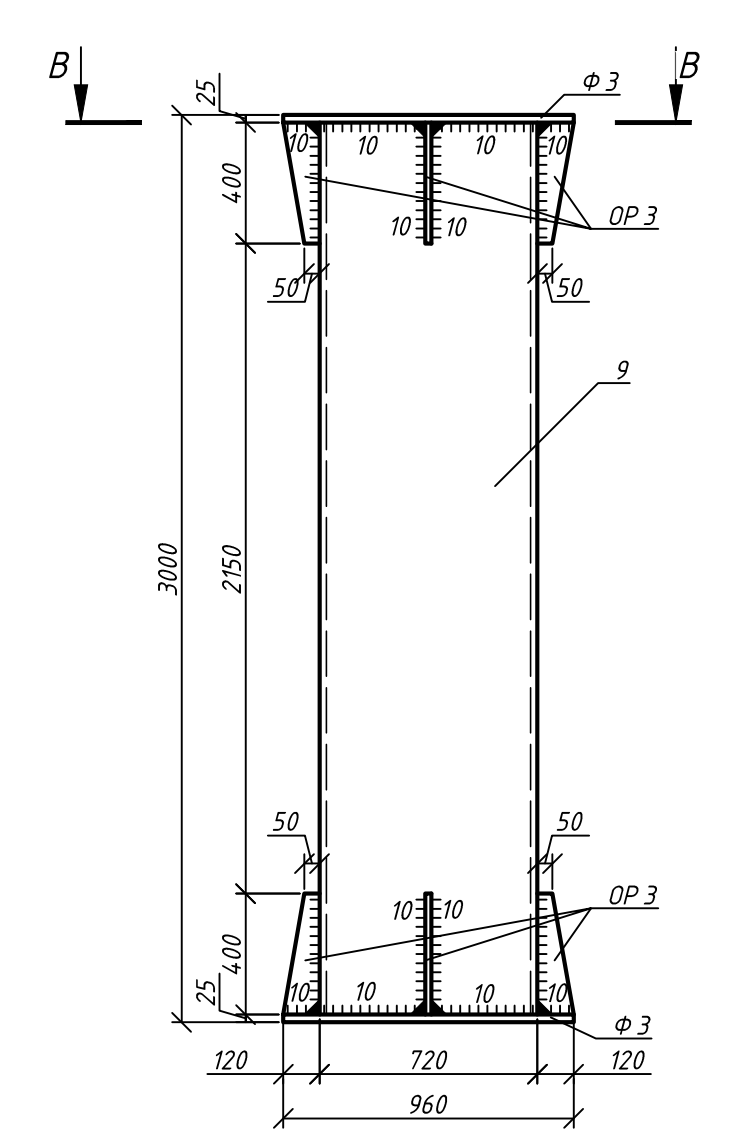
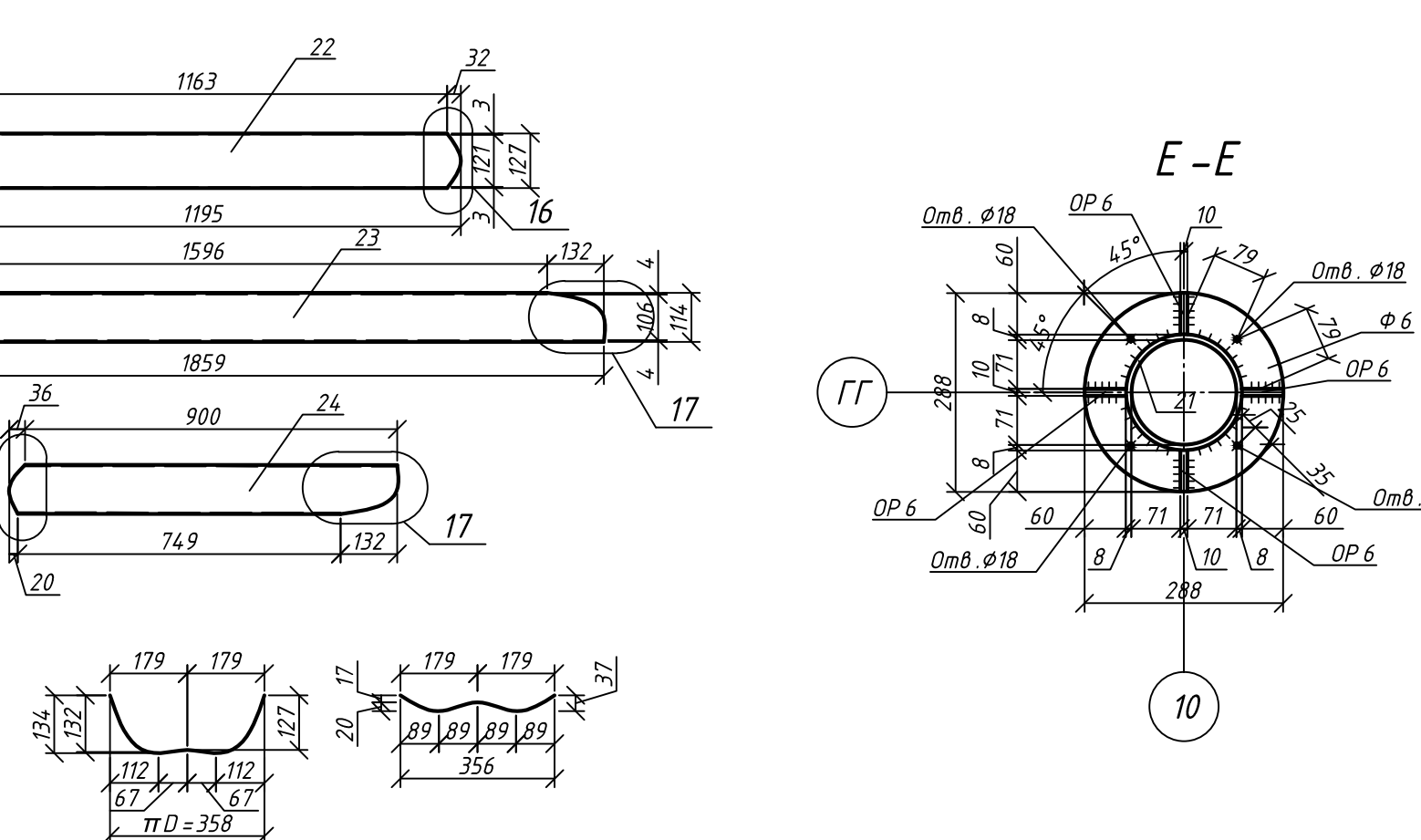
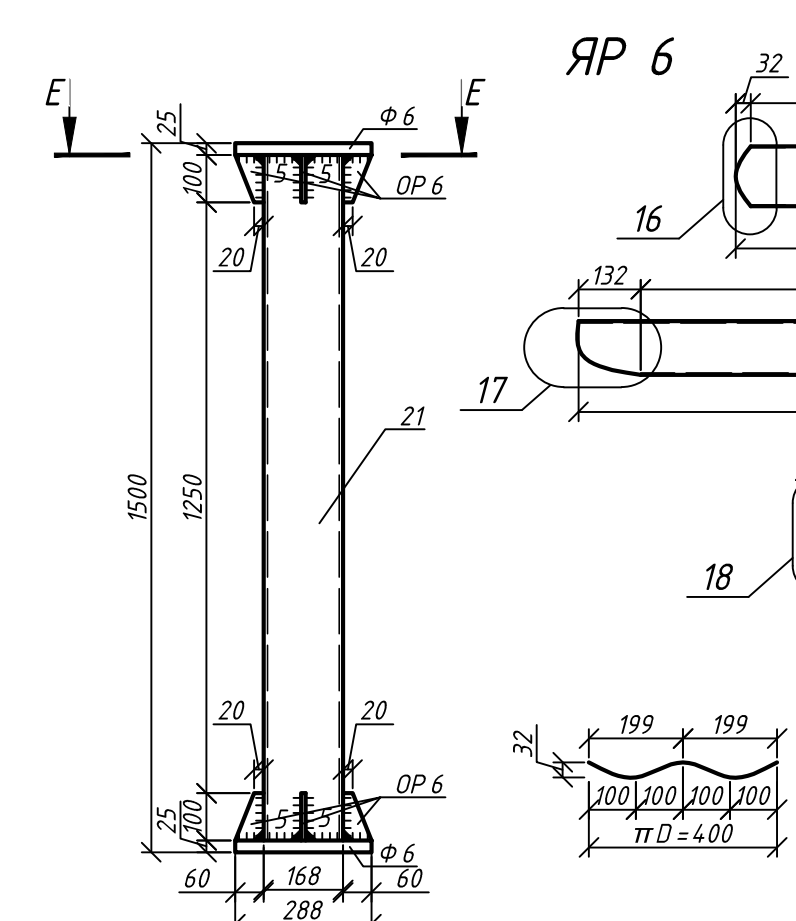
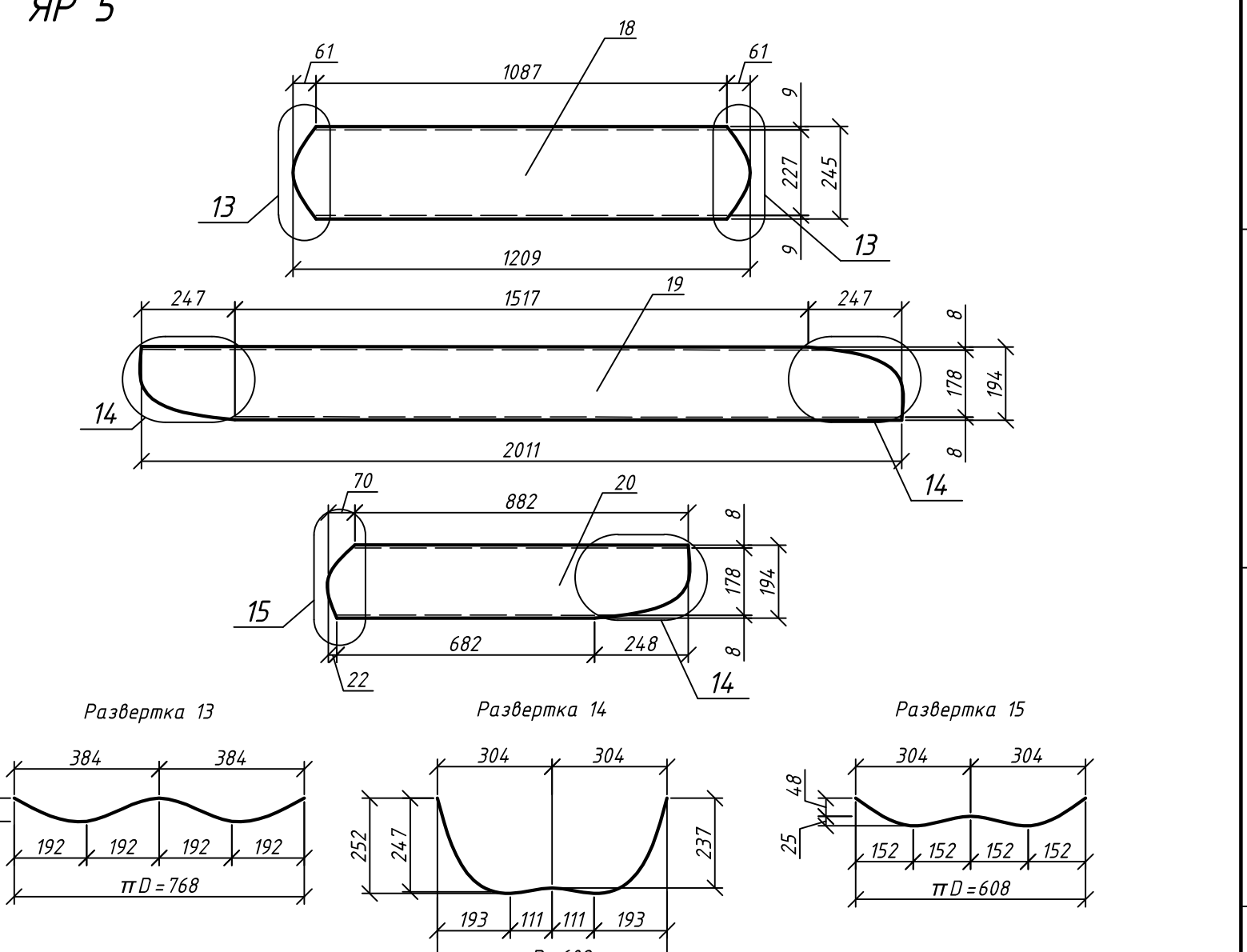
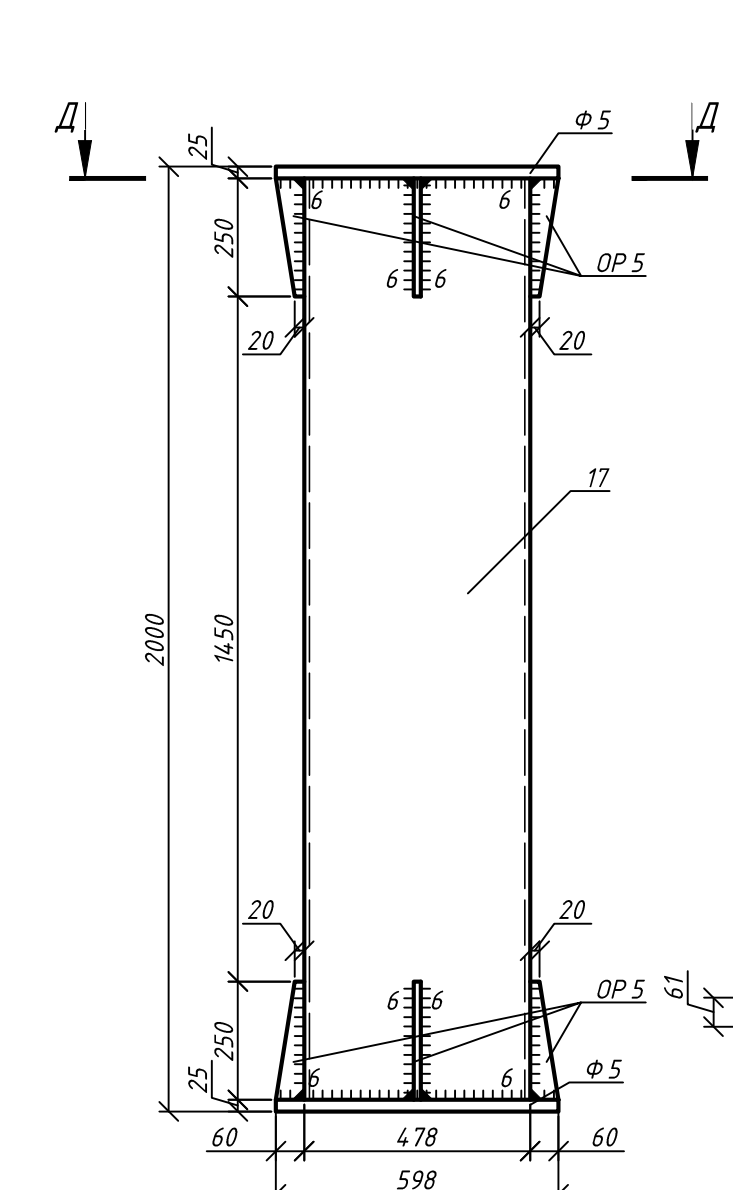
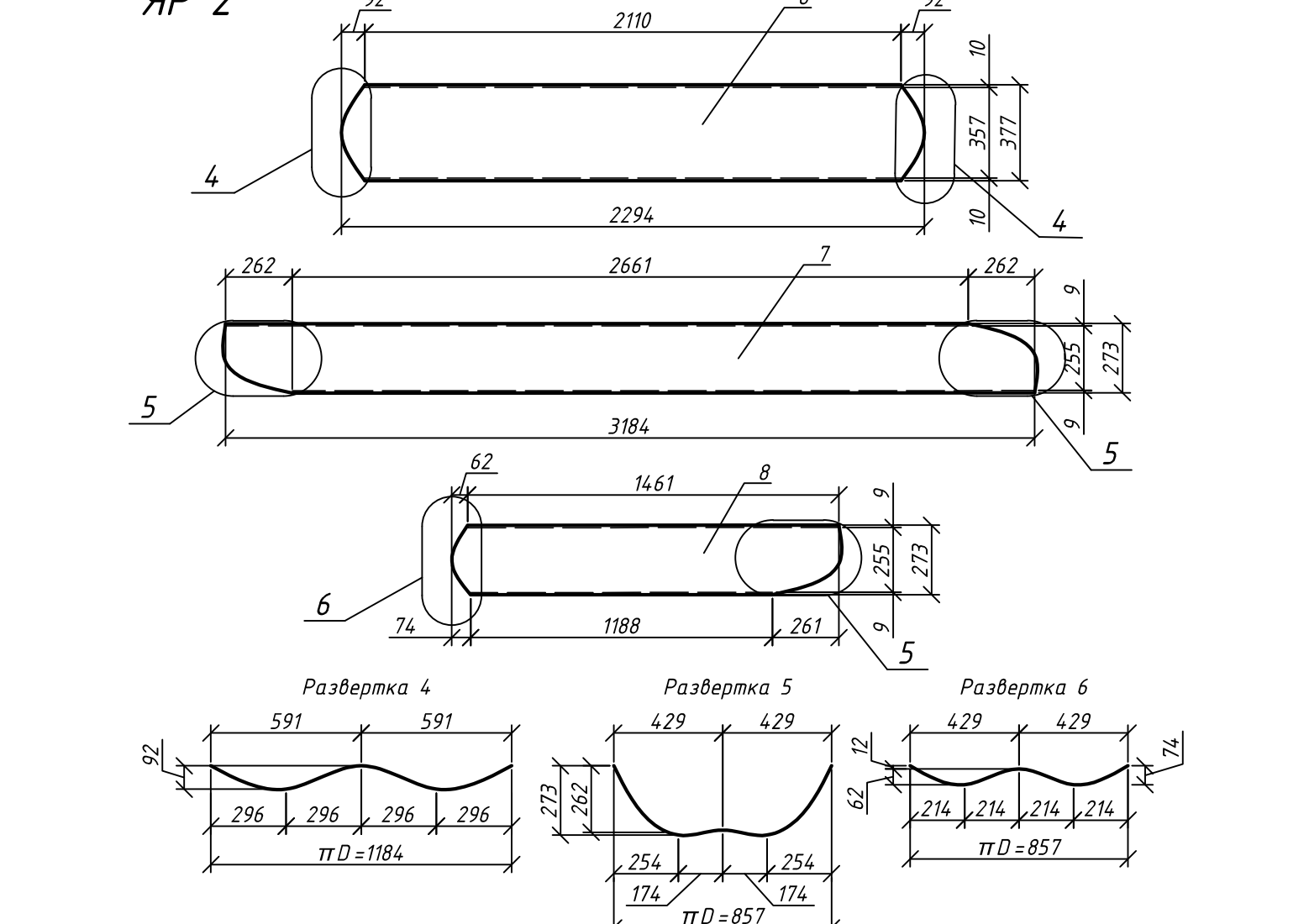
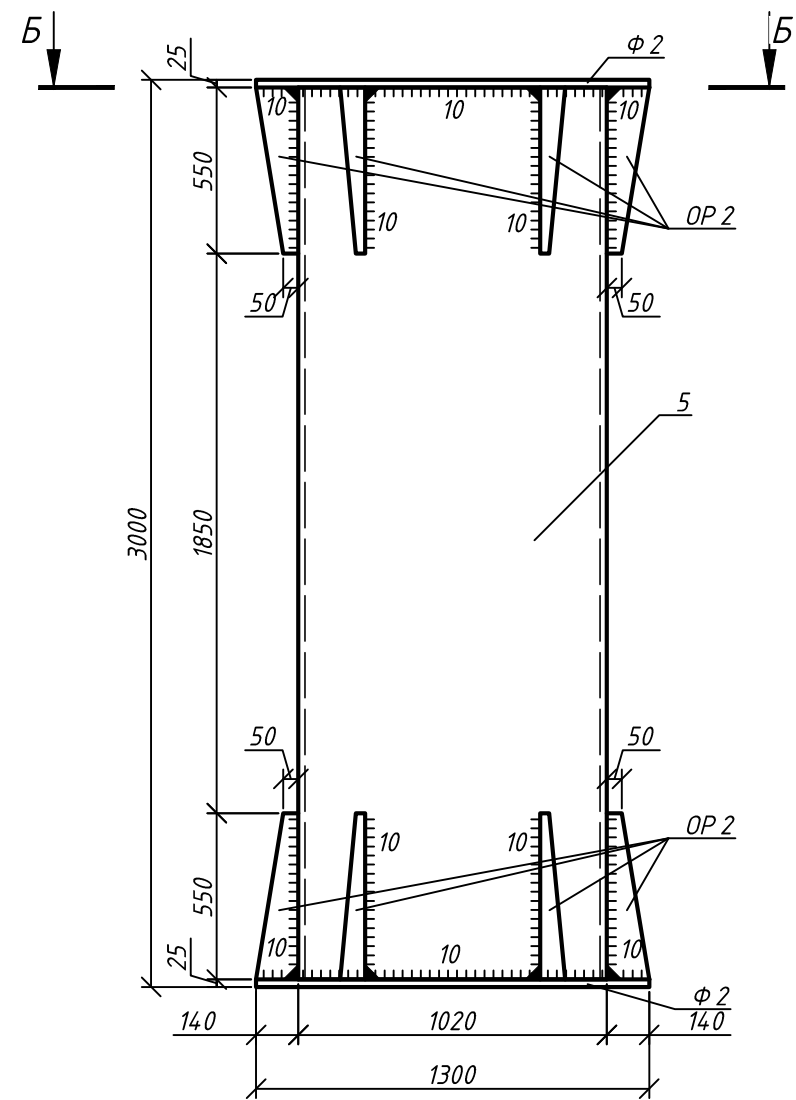
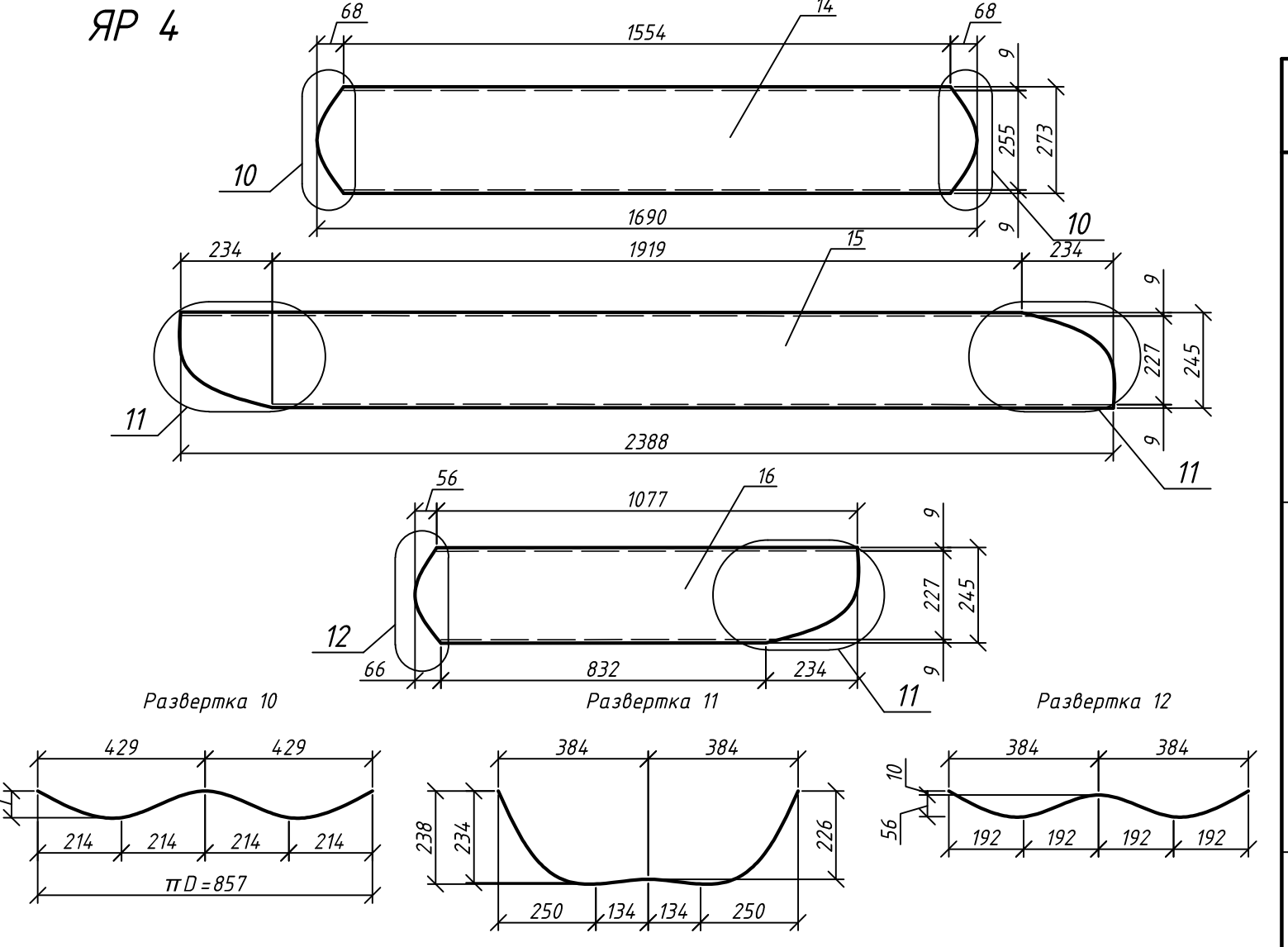
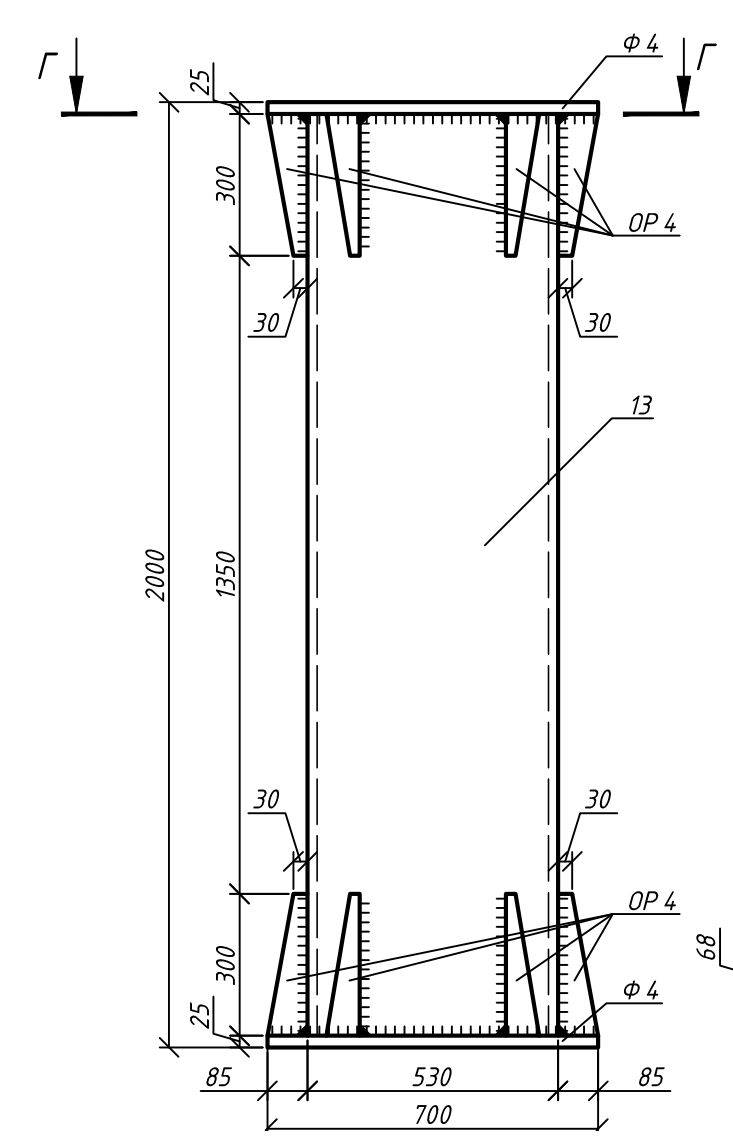
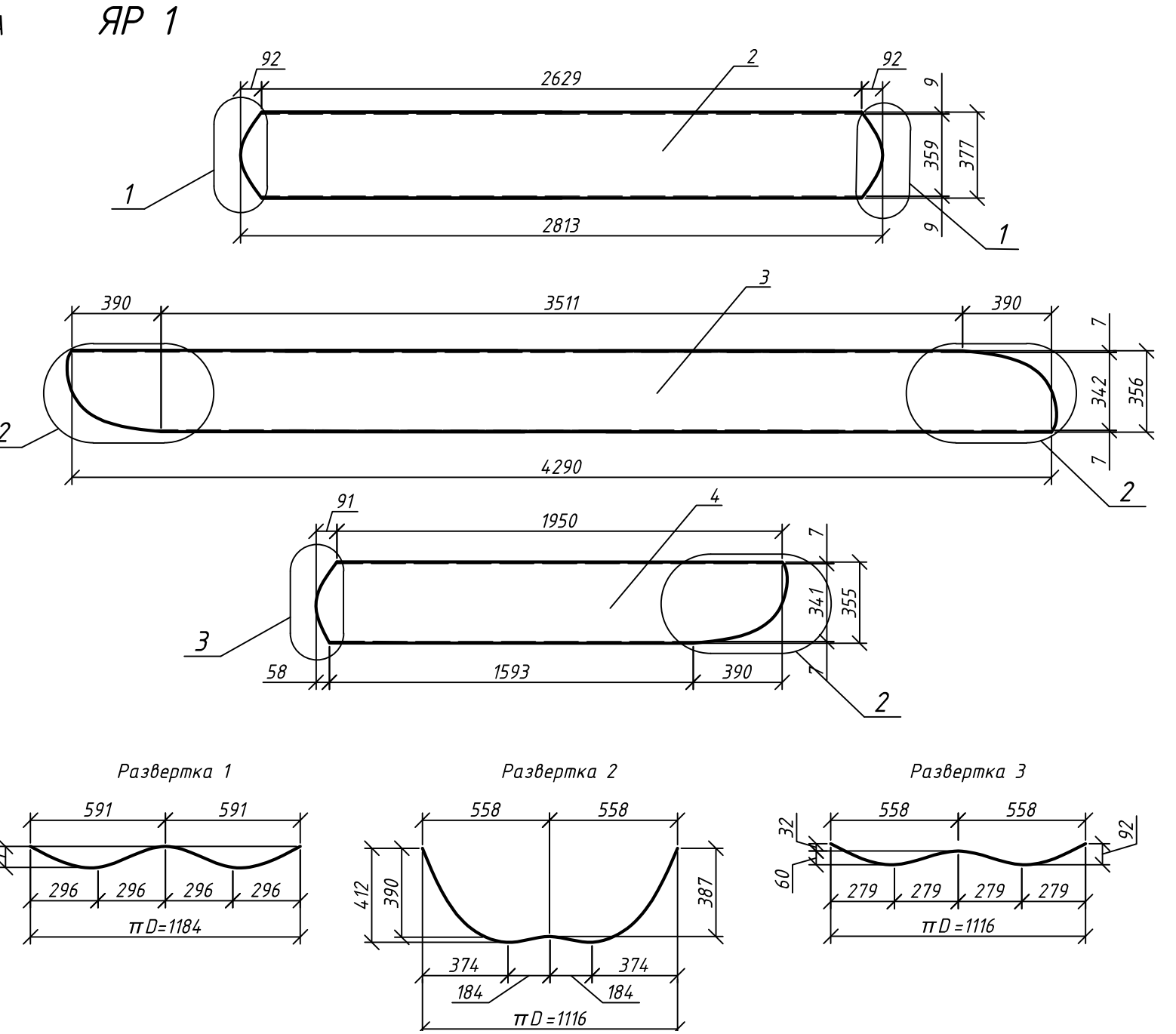
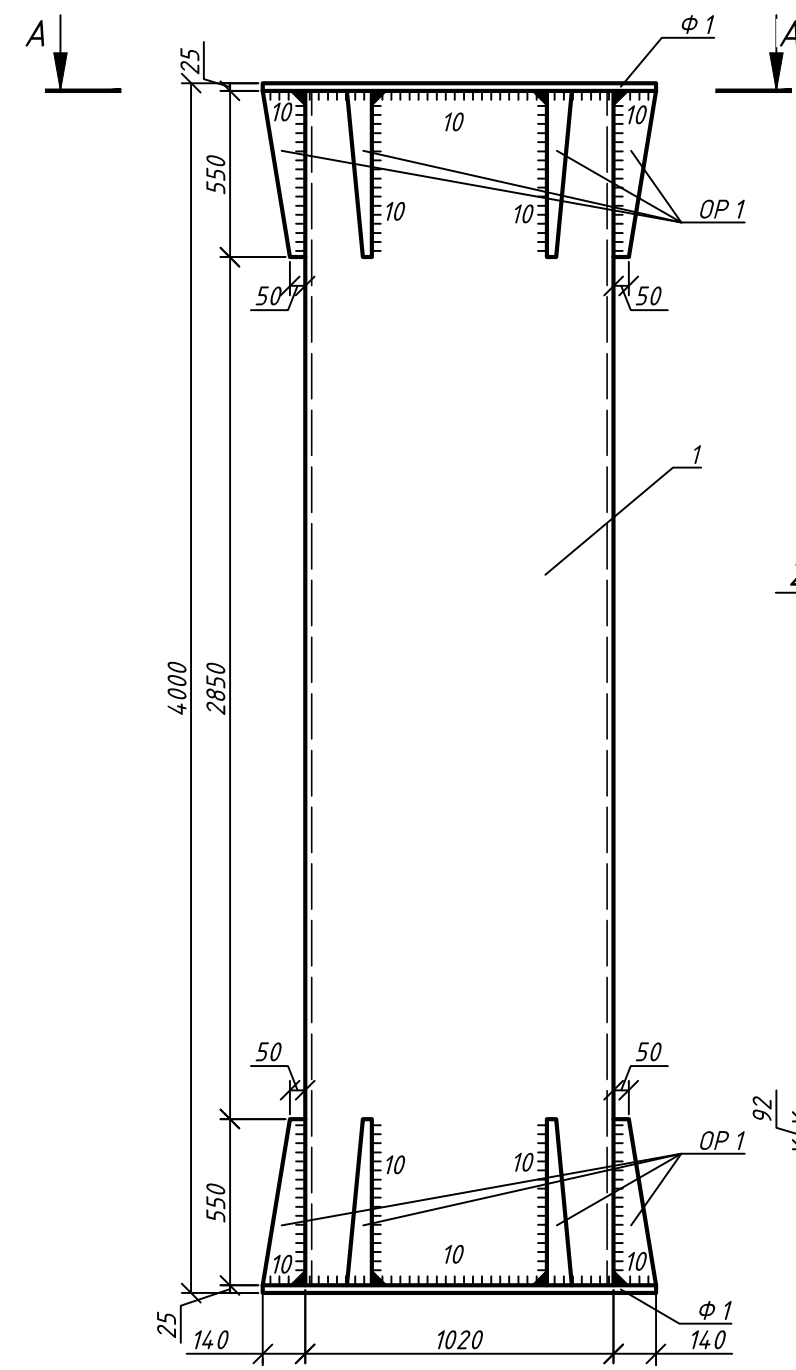


Развертка граней ЯР 6



- Лист 5 читать совместно с листами 5, 6, 7, 8, 9 и 10.
- Все металлоконструкции должны быть защищены от коррозии покрытием, включающим в себя:
 - ардутовка ХС-010 по ТУ-21-51-90 в 2 слоя в заводских условиях;
 - эмаль ХВ-1100 по ГОСТ 10144-89 в 2 слоя общей толщиной 70 мкм в заводских условиях.

| | | | | |
|--|---------------|--|--------|-------|
| ДП - 08.05.01 - 2020 | | | | |
| ФГАОУ ВО "Сибирский федеральный университет" | | | | |
| Инженерно-строительный институт | | | | |
| Изм. | Уч. уз. | Лист | № док. | Подп. |
| Разработал | Дмитриев А.Н. | | | |
| Конструктор | Тарасов А.В. | Телевизионная башня высотой 228,5 м. со | Стадия | Лист |
| Руководитель | Тарасов А.В. | встроенной телестудией и кафе в г. Омск | р | 5 |
| Н контроль | Тарасов А.В. | Схемы расположения элементов 1-6 ярусов. | | 13 |
| Зав. кафедрой | Двордыв С.В. | Развертки граней 1-6 ярусов. П1. П2. П3. | | СКУС |
| | | П4. П5. П6. | | |



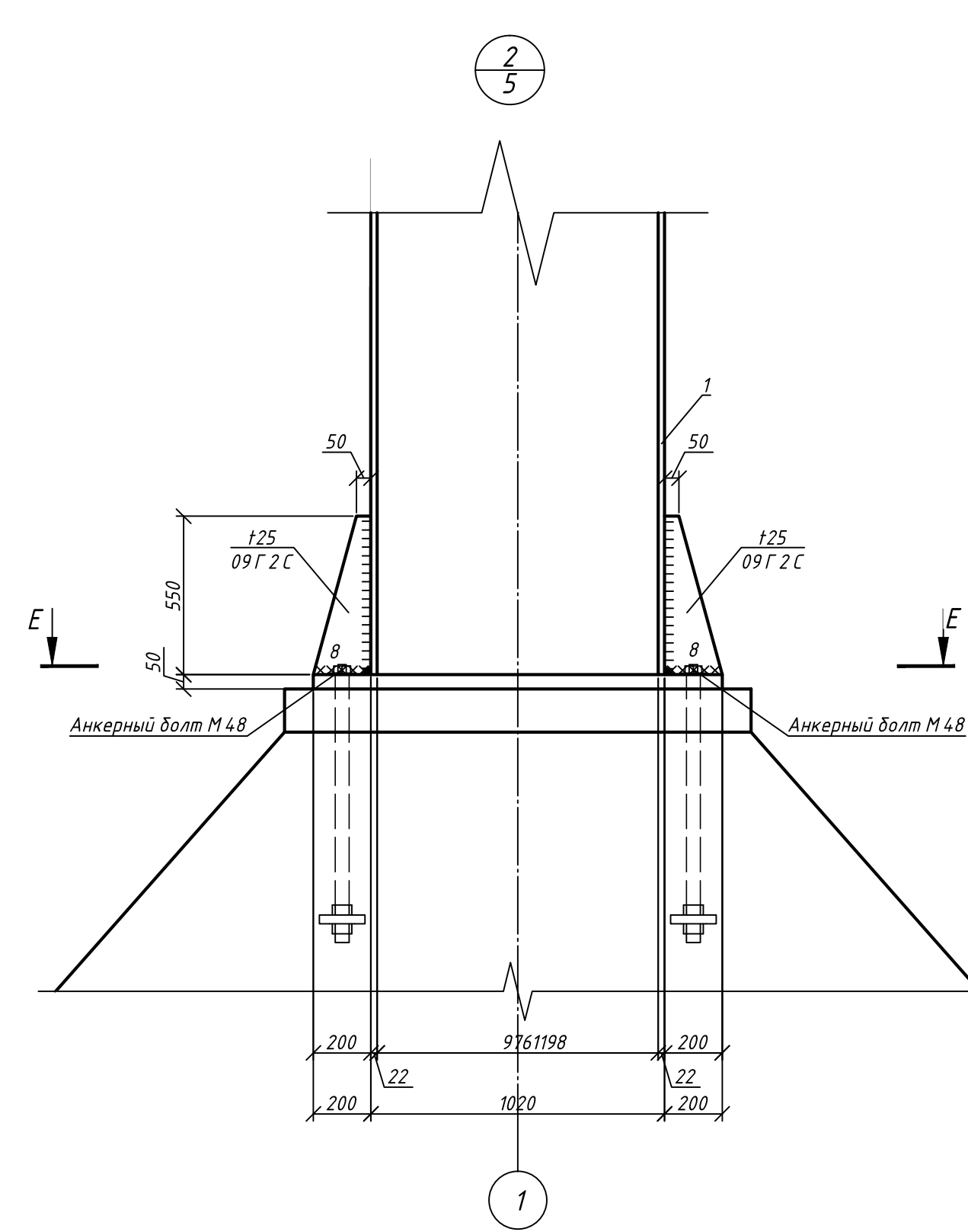
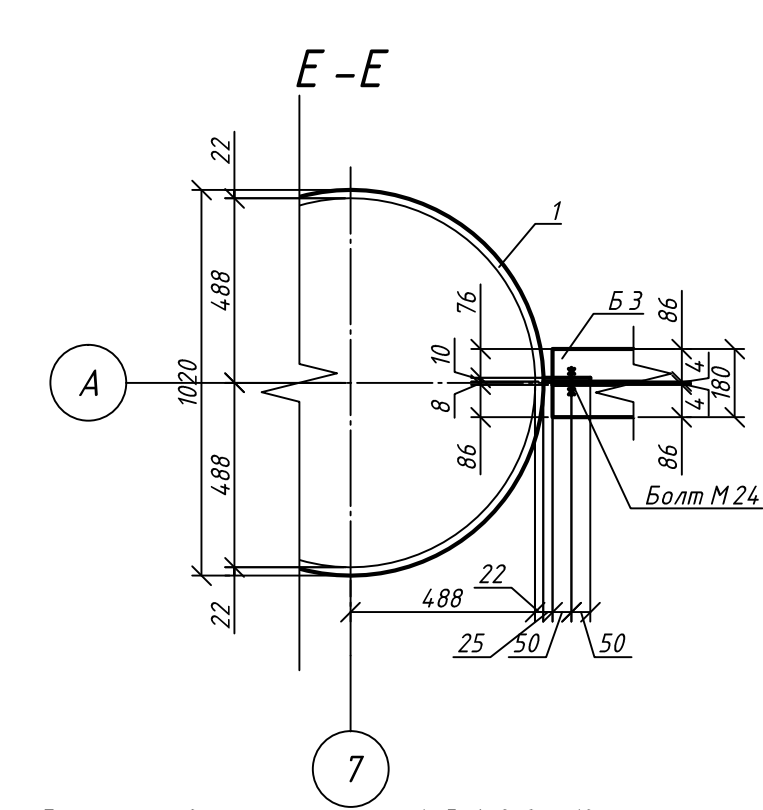
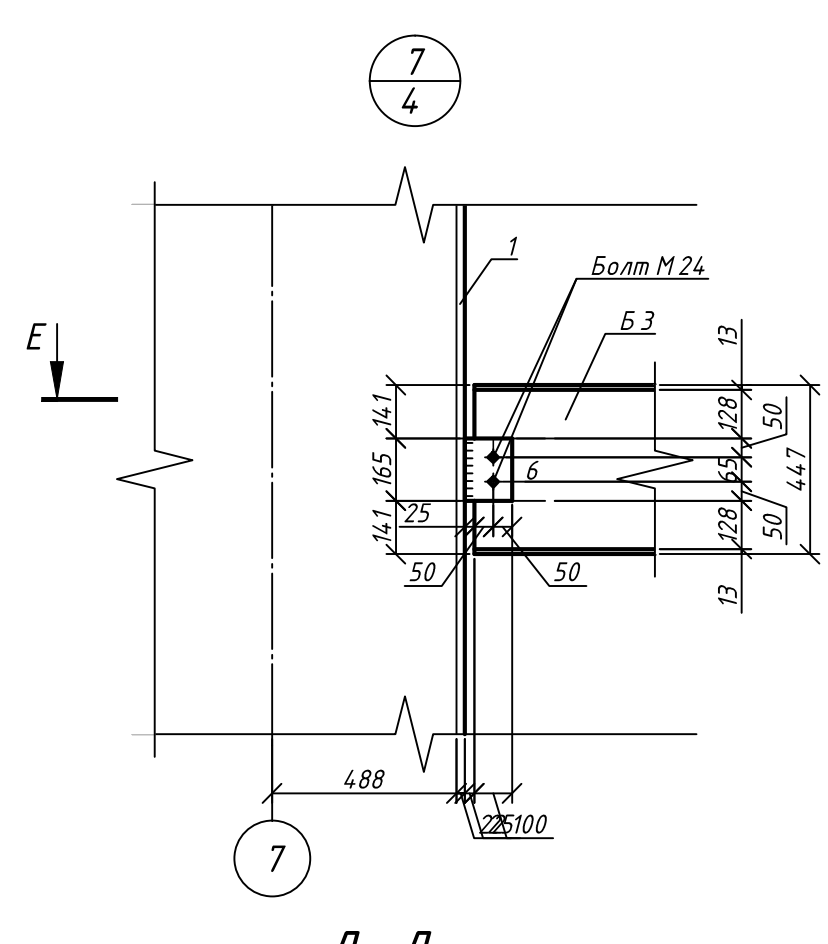
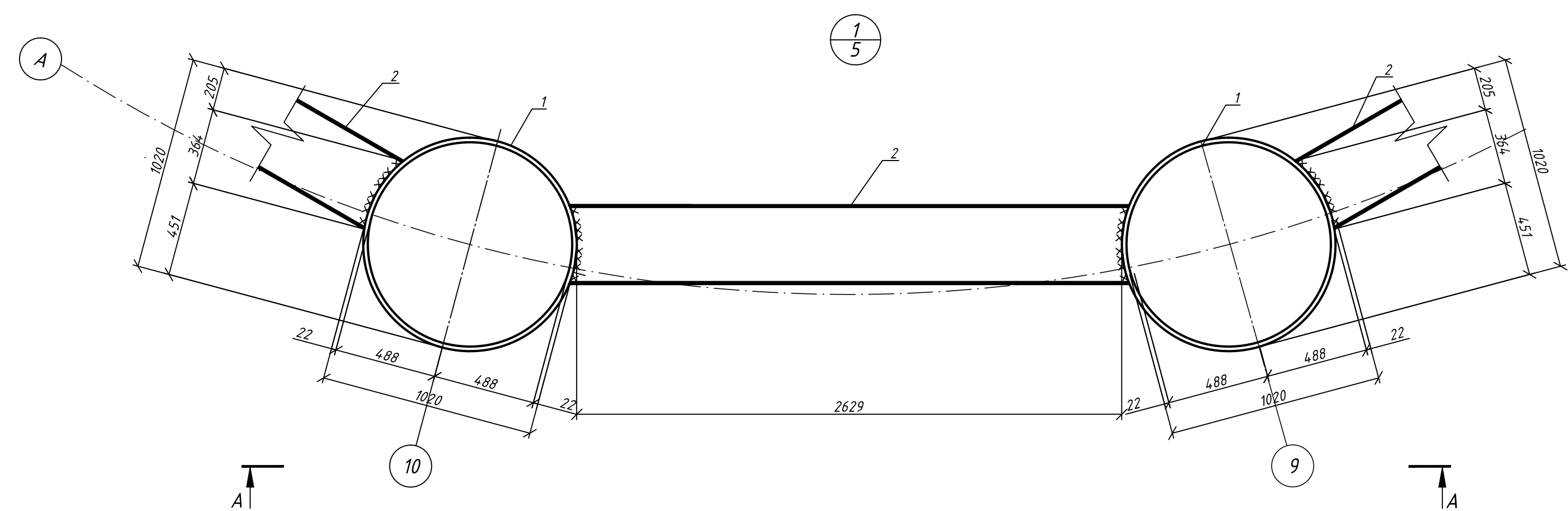
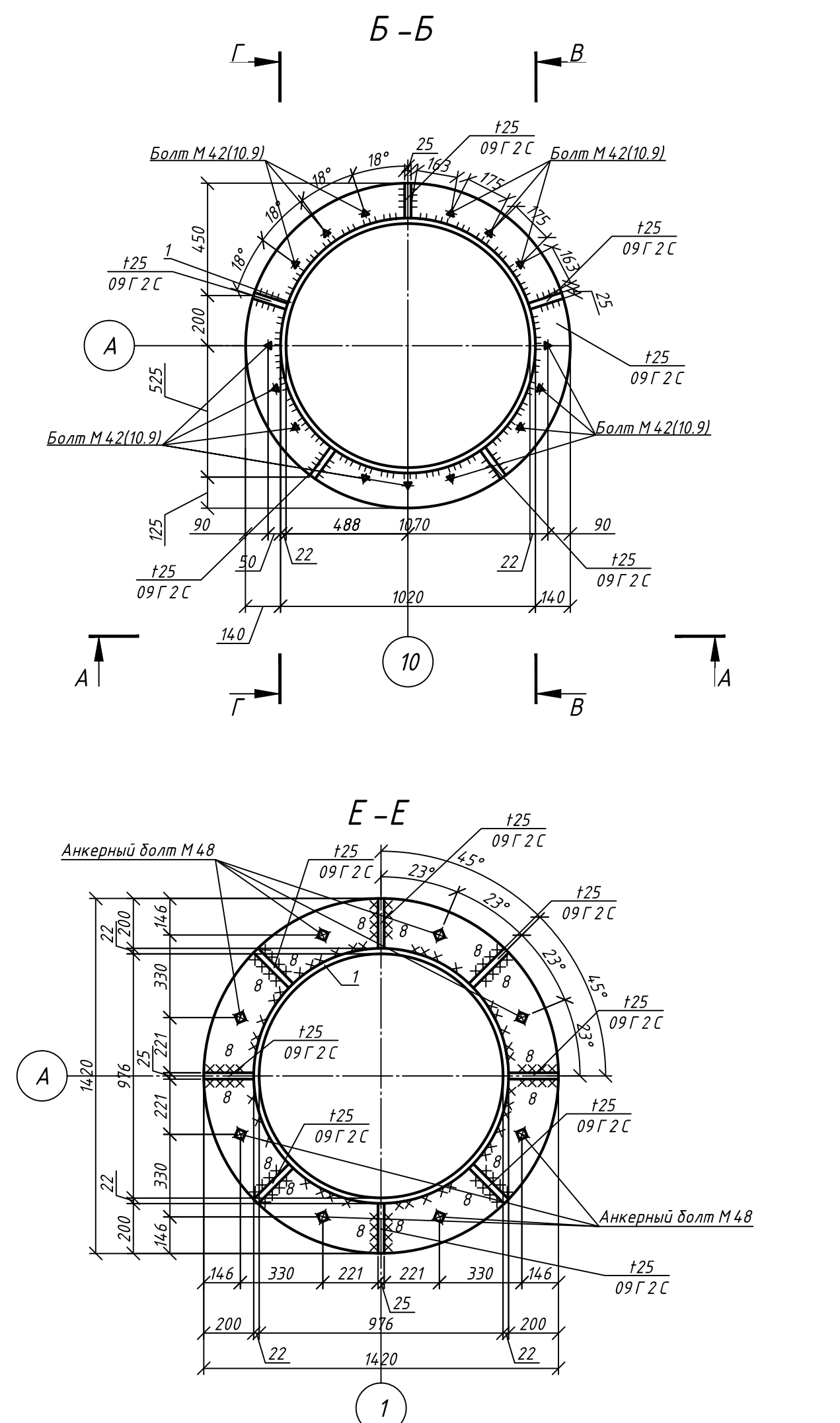
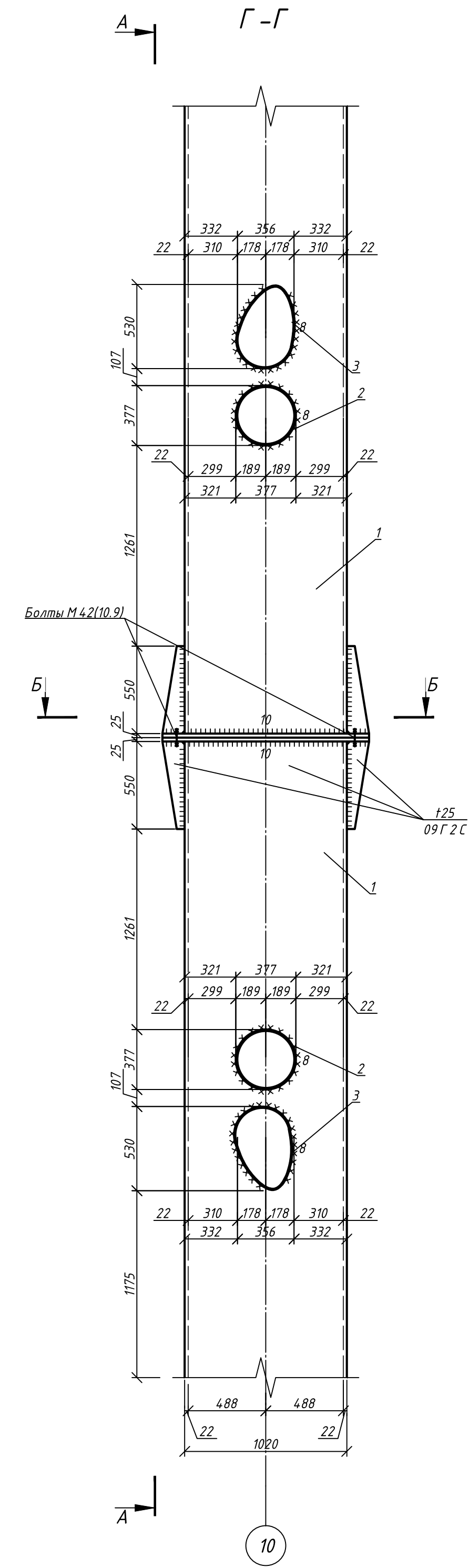
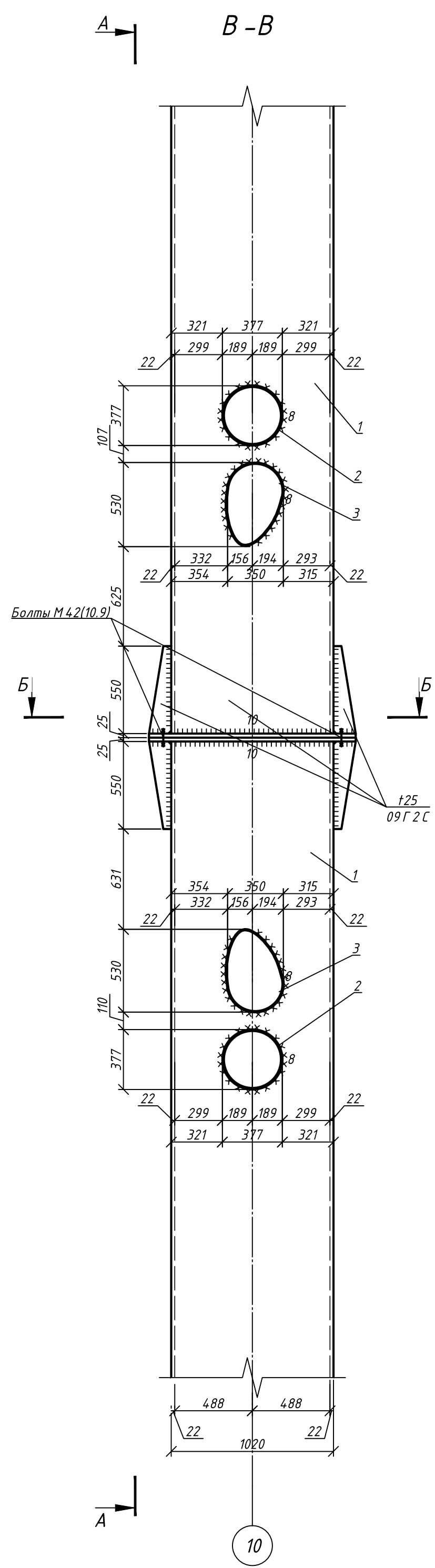
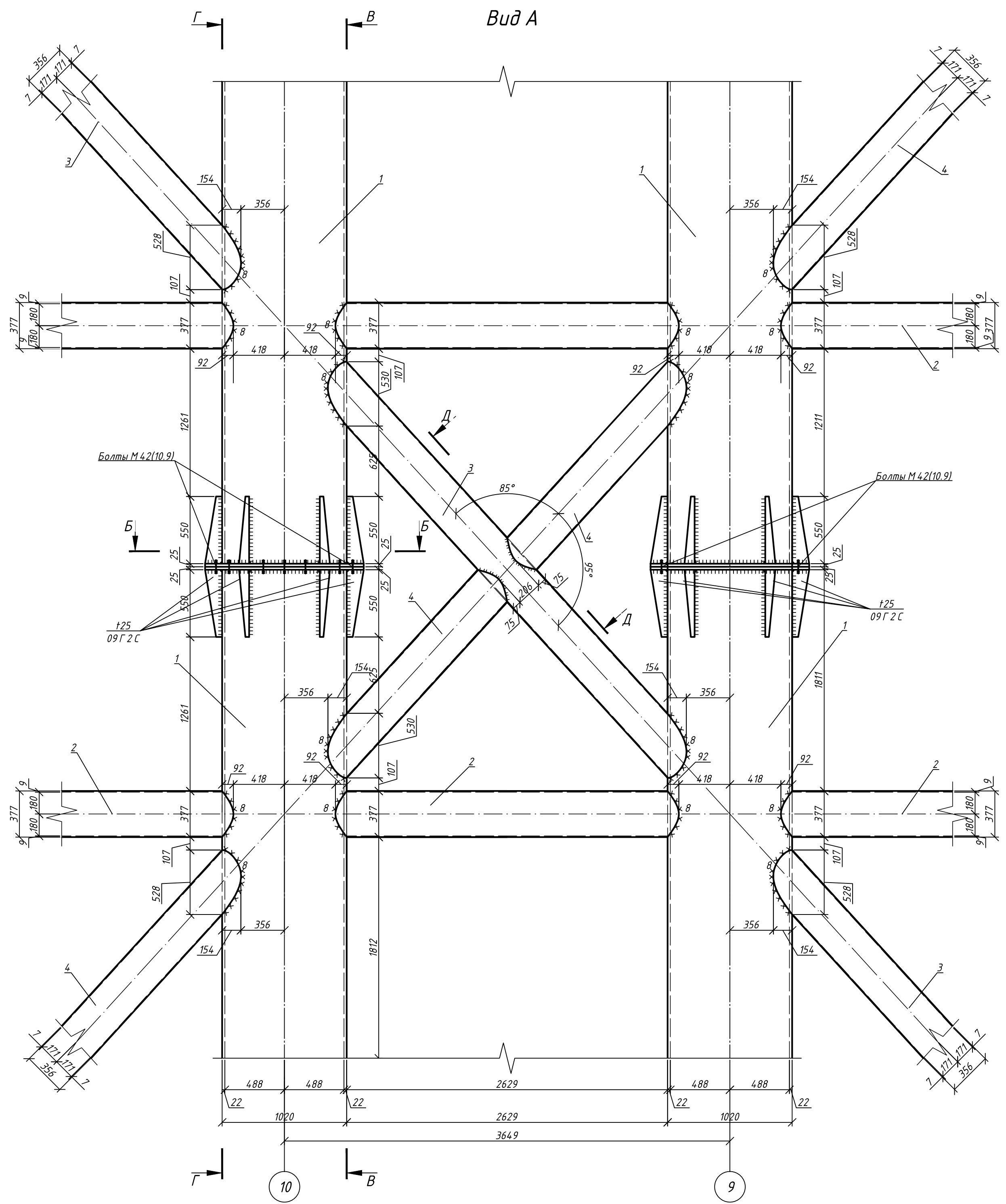
Спецификация стали

| Марка | № дт. | Кол-во | | Сечение | Длина, мм | Масса, кг | | | Сталь | Примечание |
|--------------------------------|-------|--------|---|-----------|-----------|-----------|----------|----------|-------|------------|
| | | Т | Н | | | Вет. | Всех | эл. | | |
| ЯР 1 | 1 | 240 | | 1020 x 22 | 4000 | 2165,9 | 519816 | | 09Г2С | |
| | 2 | 240 | | 377 x 9 | 2813 | 229,8 | 55152 | | 09Г2С | |
| | 3 | 240 | | 355,6 x 7 | 4290 | 258,2 | 61968 | | 09Г2С | |
| | 4 | 480 | | 355,6 x 7 | 2041 | 122,9 | 58992 | 750397,7 | 09Г2С | |
| | Ф 1 | 480 | | 140 x 25 | 3202 | 4,7 | 22560 | | С 390 | |
| | ОР 1 | 2400 | | 140 x 25 | 550 | 10,2 | 24480 | | 09Г2С | |
| Масса наплавленного металла 1% | | | | | | 7429,7 | | | 09Г2С | |
| ЯР 2 | 5 | 96 | | 1020 x 22 | 3000 | 1624,4 | 15594,2 | | 09Г2С | |
| | 6 | 120 | | 377 x 10 | 2294 | 203,5 | 24420 | | 09Г2С | |
| | 7 | 120 | | 273 x 9 | 3184 | 186,6 | 22392 | | 09Г2С | |
| | 8 | 240 | | 273 x 9 | 1523 | 89,2 | 21408 | 245408,2 | 09Г2С | |
| | Ф 2 | 192 | | 140 x 25 | 3202 | 4,7 | 9024 | | С 390 | |
| | ОР 2 | 960 | | 140 x 25 | 550 | 10,2 | 9792 | | 09Г2С | |
| Масса наплавленного металла 1% | | | | | | 2429,8 | | | 09Г2С | |
| ЯР 3 | 9 | 96 | | 720 x 22 | 3000 | 1136,1 | 109065,6 | | 09Г2С | |
| | 10 | 120 | | 325 x 9 | 2049 | 14,3 | 17244 | | 09Г2С | |
| | 11 | 120 | | 244,5 x 9 | 3157 | 165,0 | 19800 | | 09Г2С | |
| | 12 | 240 | | 244,5 x 9 | 1515 | 79,2 | 19008 | 177550,7 | 09Г2С | |
| | Ф 3 | 192 | | 120 x 25 | 2261 | 28,8 | 5529,6 | | С 390 | |
| | ОР 3 | 768 | | 120 x 20 | 400 | 6,7 | 5145,6 | | 09Г2С | |
| Масса наплавленного металла 1% | | | | | | 1757,9 | | | 09Г2С | |
| ЯР 4 | 13 | 156 | | 530 x 20 | 2000 | 601,7 | 93865,2 | | 09Г2С | |
| | 14 | 180 | | 273 x 9 | 1690 | 99,0 | 17820 | | 09Г2С | |
| | 15 | 180 | | 244,5 x 9 | 2388 | 124,8 | 22464 | | 09Г2С | |
| | 16 | 360 | | 244,5 x 9 | 1133 | 59,2 | 21312 | 167068,1 | 09Г2С | |
| | Ф 4 | 312 | | 85 x 25 | 1664 | 14,9 | 4648,8 | | 09Г2С | |
| | ОР 4 | 1560 | | 85 x 20 | 300 | 3,4 | 5304 | | С 390 | |
| Масса наплавленного металла 1% | | | | | | 1654,1 | | | 09Г2С | |
| ЯР 5 | 17 | 156 | | 478 x 11 | 2000 | 253,4 | 39530,4 | | 09Г2С | |
| | 18 | 180 | | 244,5 x 9 | 1209 | 63,2 | 11376 | | 09Г2С | |
| | 19 | 180 | | 193,7 x 8 | 2011 | 73,7 | 13266 | | 09Г2С | |
| | 20 | 360 | | 193,7 x 8 | 952 | 34,9 | 12564 | 81978,5 | 09Г2С | |
| | Ф 5 | 312 | | 60 x 25 | 1501 | 9,4 | 2932,8 | | С 390 | |
| | ОР 5 | 1248 | | 60 x 15 | 250 | 1,2 | 1497,6 | | 09Г2С | |
| Масса наплавленного металла 1% | | | | | | 811,7 | | | 09Г2С | |
| ЯР 6 | 21 | 168 | | 168 x 8 | 1500 | 4,7 | 7946,4 | | 09Г2С | |
| | 22 | 192 | | 127 x 3 | 1195 | 10,9 | 2092,8 | | 09Г2С | |
| | 23 | 192 | | 114 x 4 | 1859 | 20,2 | 3878,4 | | 09Г2С | |
| | 24 | 384 | | 114 x 4 | 936 | 10,2 | 3916,8 | 19709,5 | 09Г2С | |
| | Ф 6 | 336 | | 60 x 25 | 527 | 3,4 | 1142,4 | | С 390 | |
| | ОР 6 | 1344 | | 60 x 10 | 100 | 0,4 | 537,6 | | 09Г2С | |
| Масса наплавленного металла 1% | | | | | | 195,1 | | | 09Г2С | |

| Ведомость отработанных элементов | | | | Ведомость заводских сварных швов | | | | |
|----------------------------------|--------|-----------|----------|----------------------------------|---------------|---------|---------|---------|
| Марка | Кол-во | Масса, кг | | Марка | Длина швов, м | | | |
| | | одного | всех | | 5 | 6 | 10 | |
| ЯР 1 | 1 | 750397,7 | 750397,7 | ЯР 1 | | 4,773,7 | 4,773,7 | 4,773,7 |
| ЯР 2 | 1 | 245408,2 | 245408,2 | ЯР 2 | | 1919,3 | 1919,3 | 1919,3 |
| ЯР 3 | 1 | 177550,7 | 177550,7 | ЯР 3 | | 1269,8 | 1269,8 | 1269,8 |
| ЯР 4 | 1 | 167068,1 | 167068,1 | ЯР 4 | | 1652,8 | 1652,8 | 1652,8 |
| ЯР 5 | 1 | 81978,5 | 81978,5 | ЯР 5 | | 1156,8 | | 1156,8 |
| ЯР 6 | 1 | 19709,5 | 19709,5 | ЯР 6 | | 606,3 | | 606,3 |
| Общая масса 1442112,7 кг | | | | Общая длина | | | | |

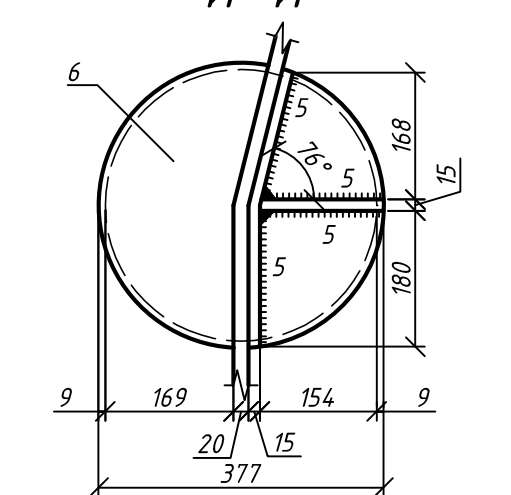
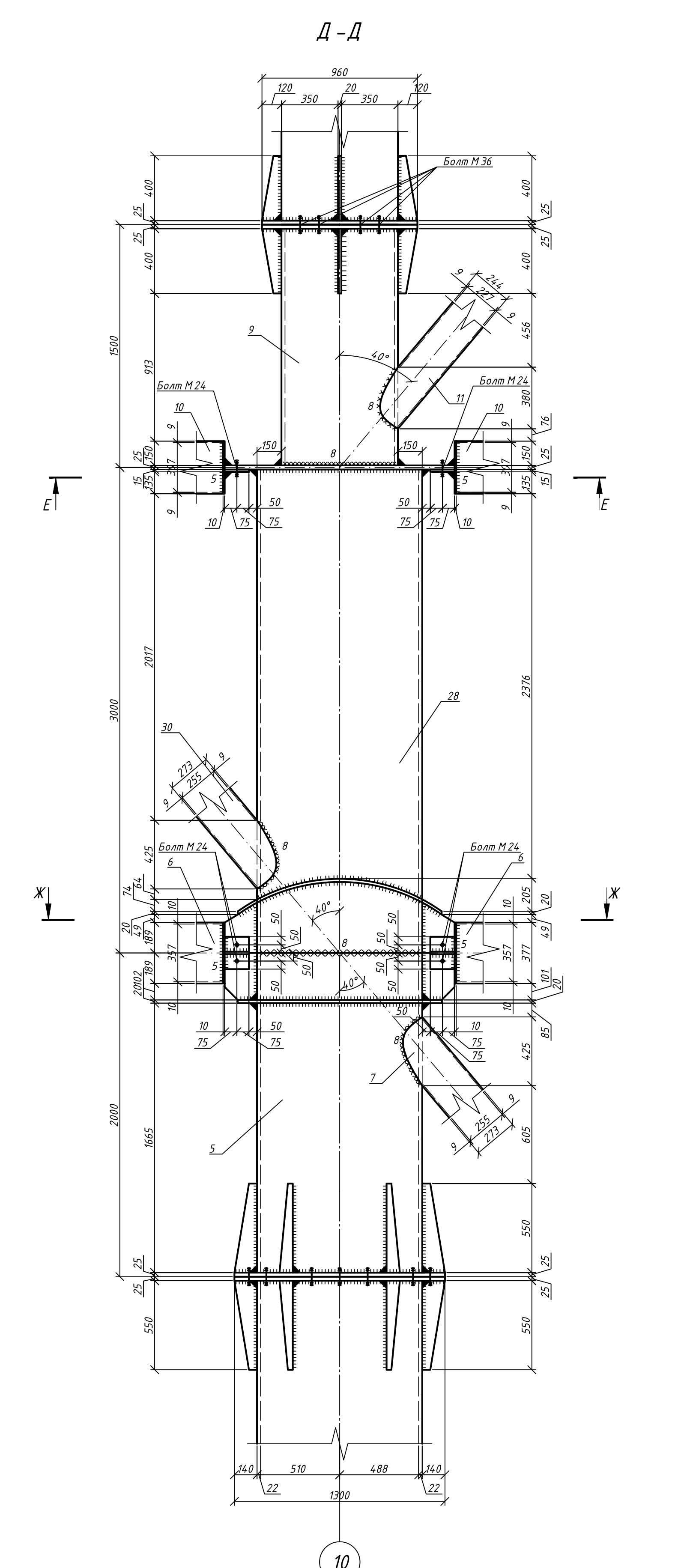
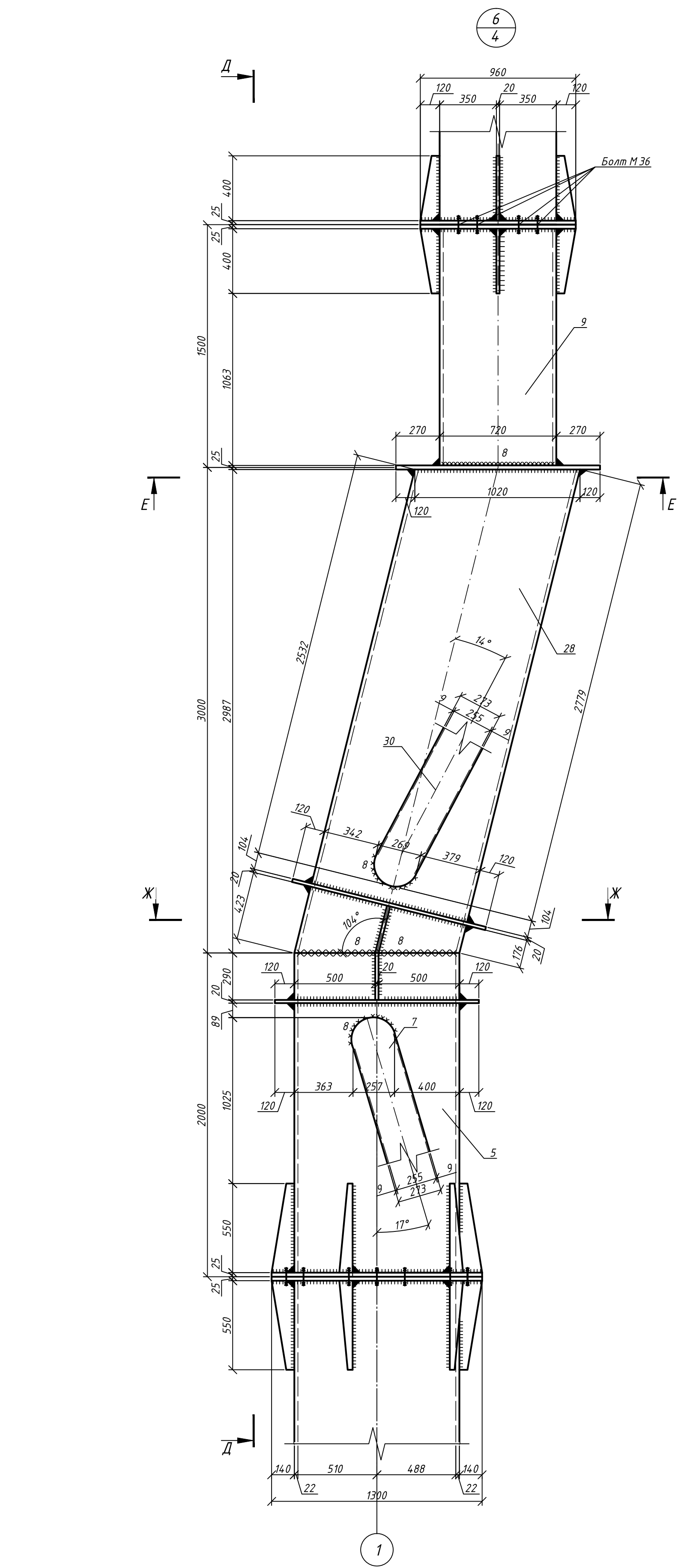
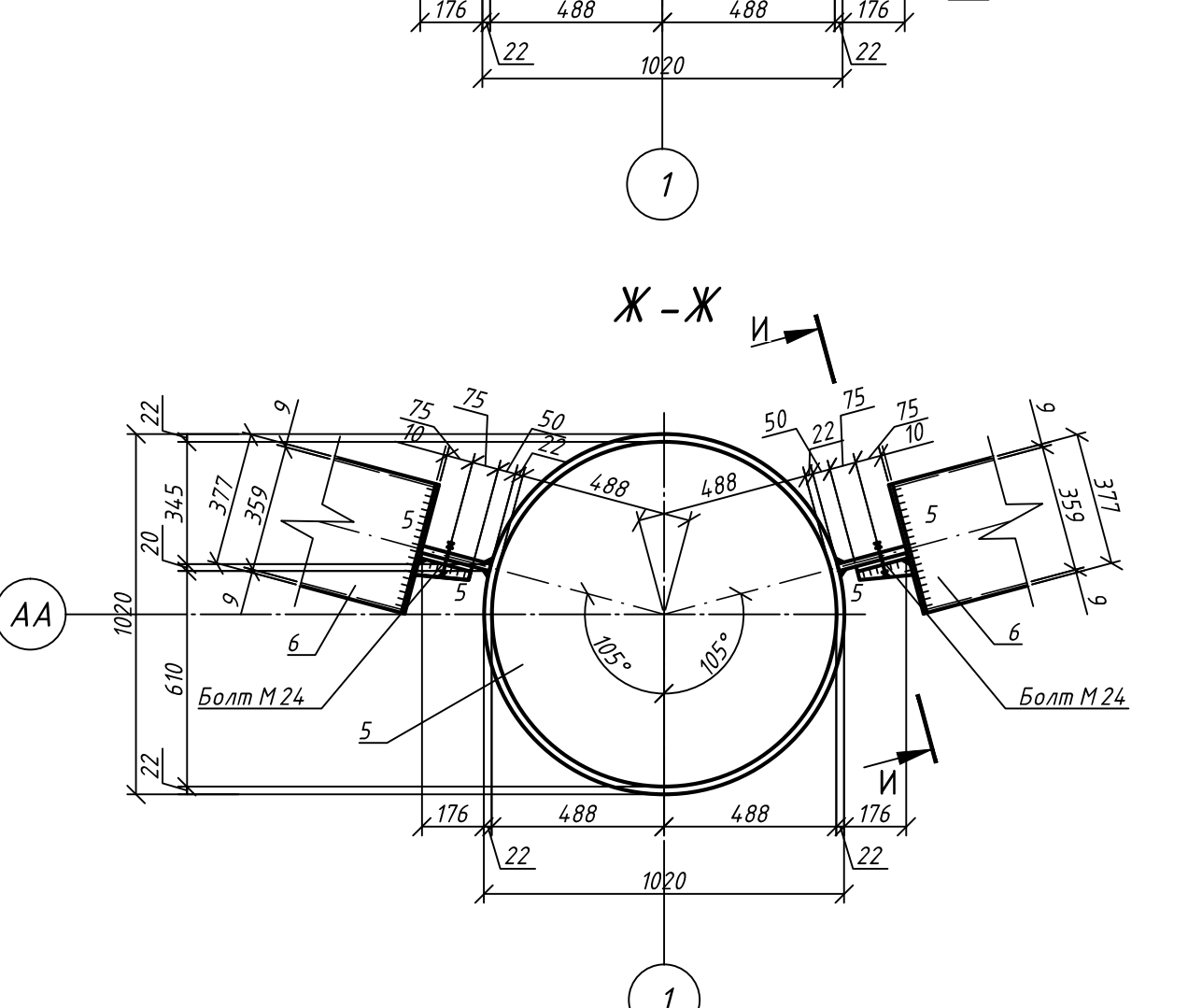
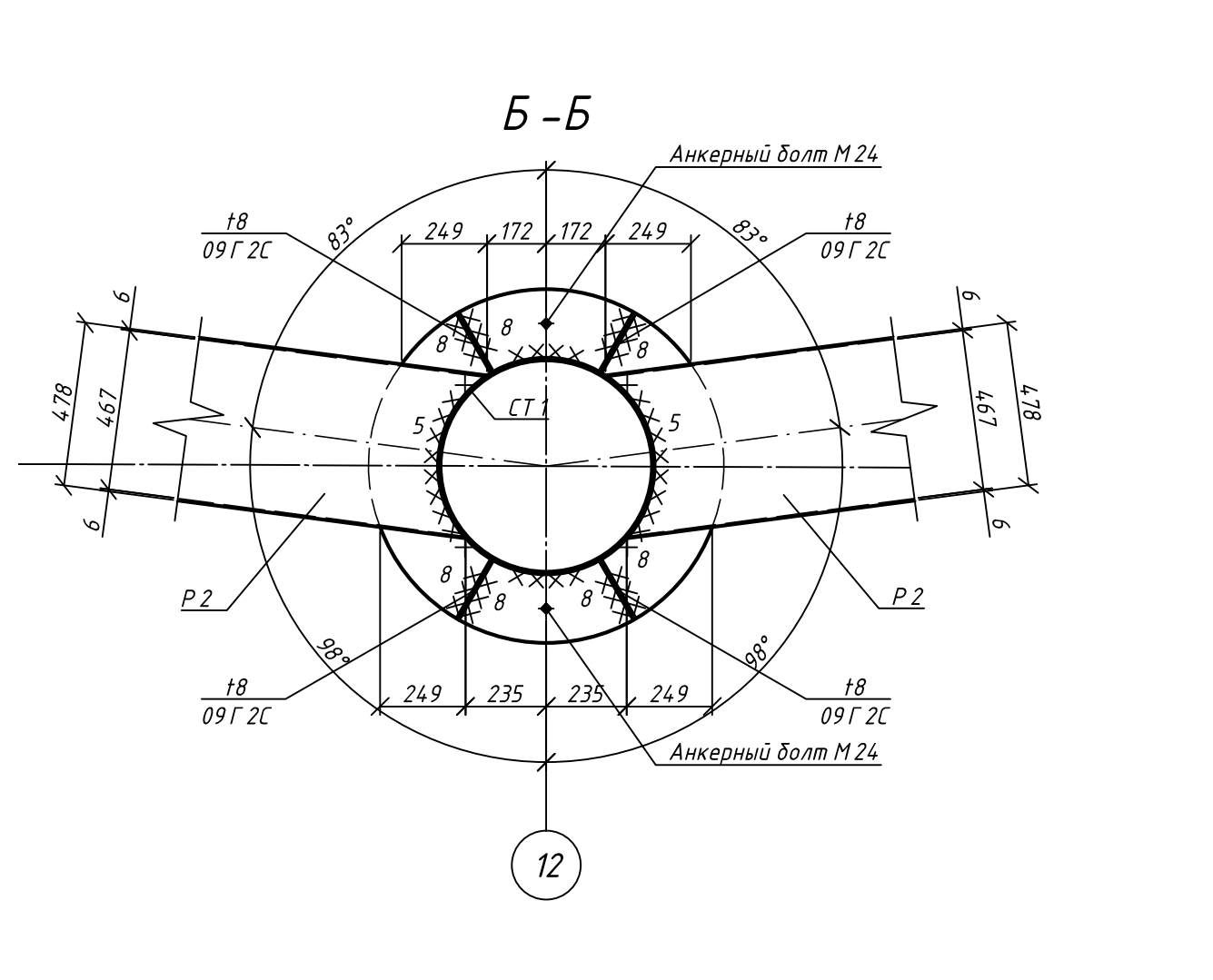
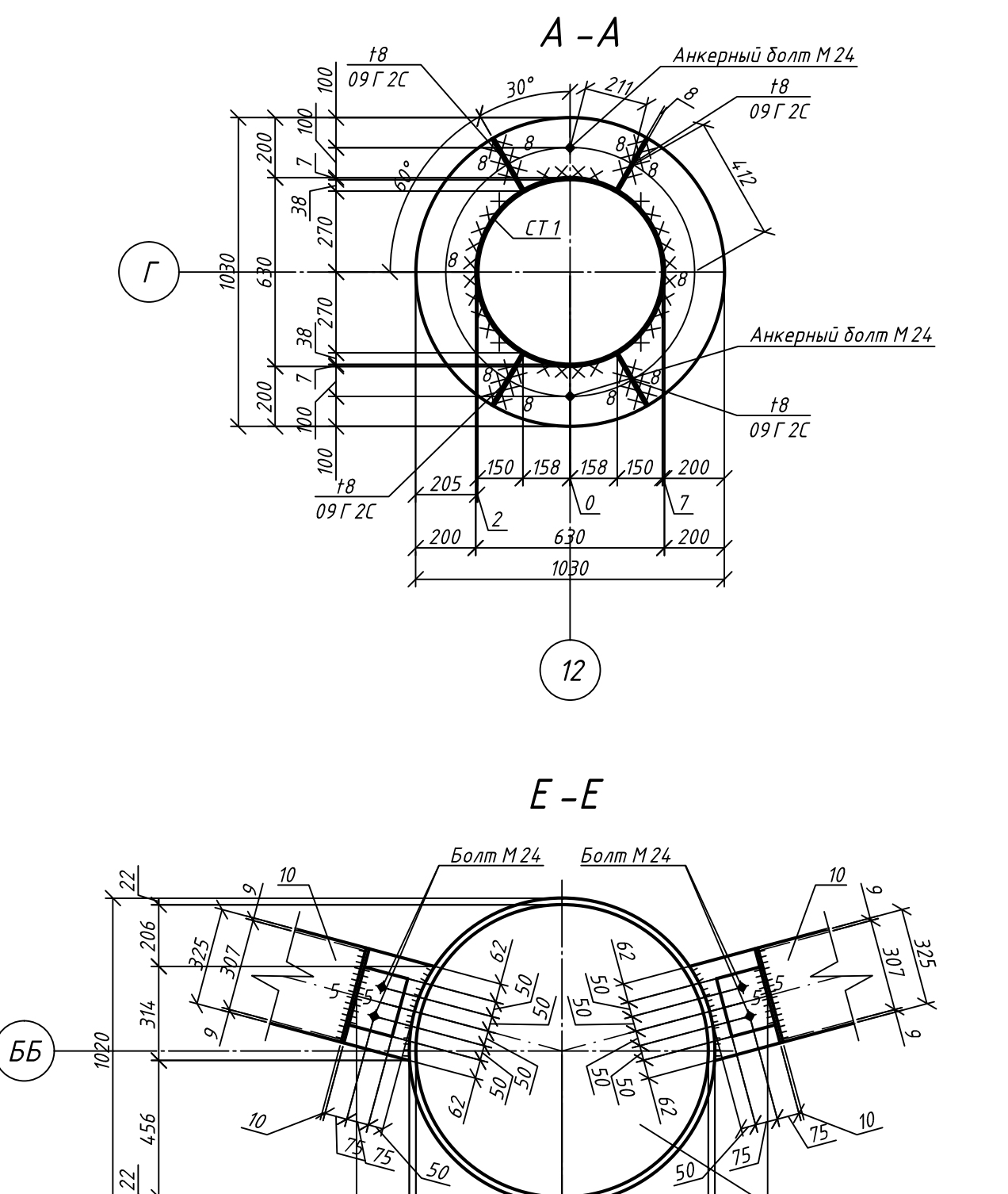
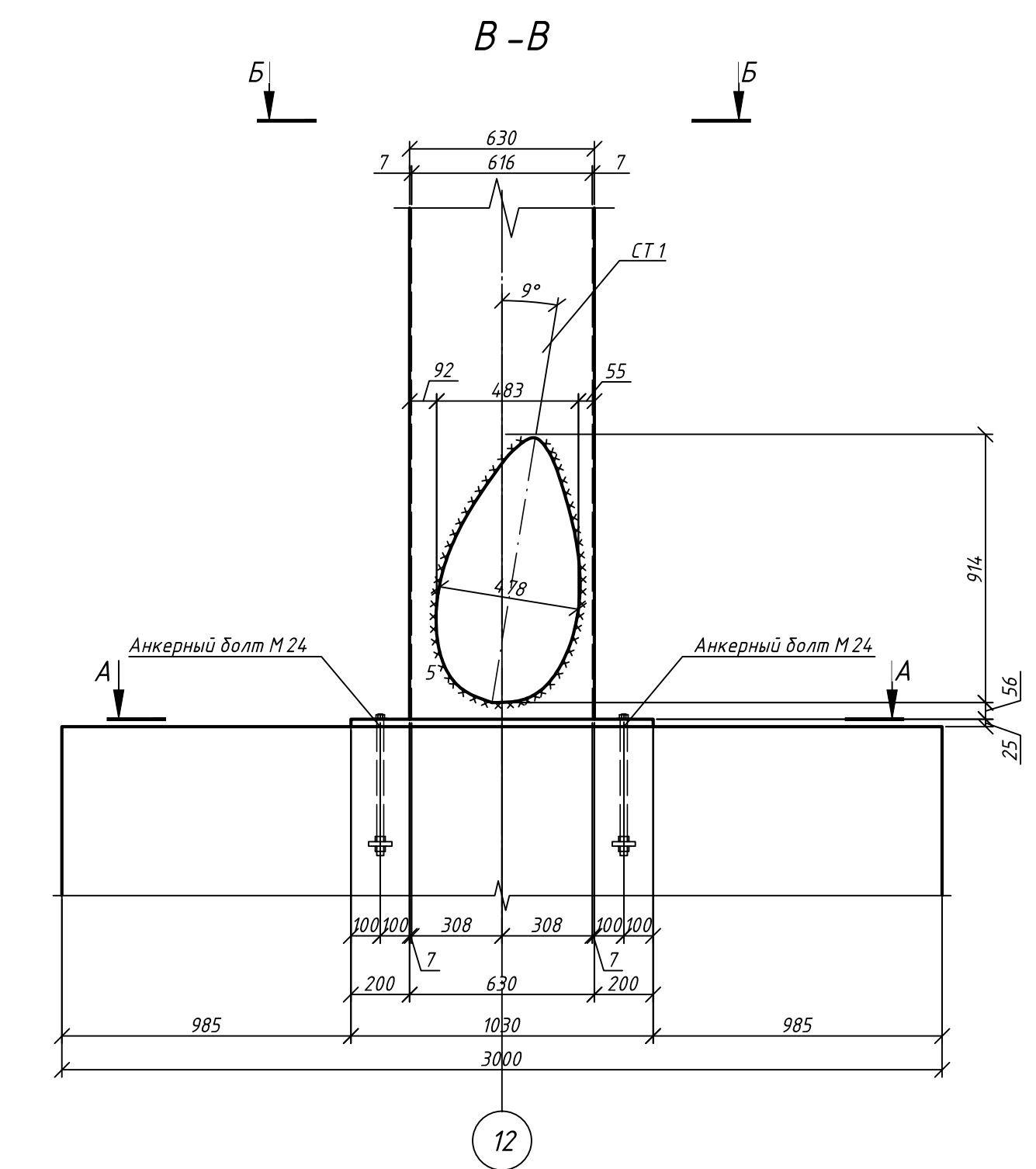
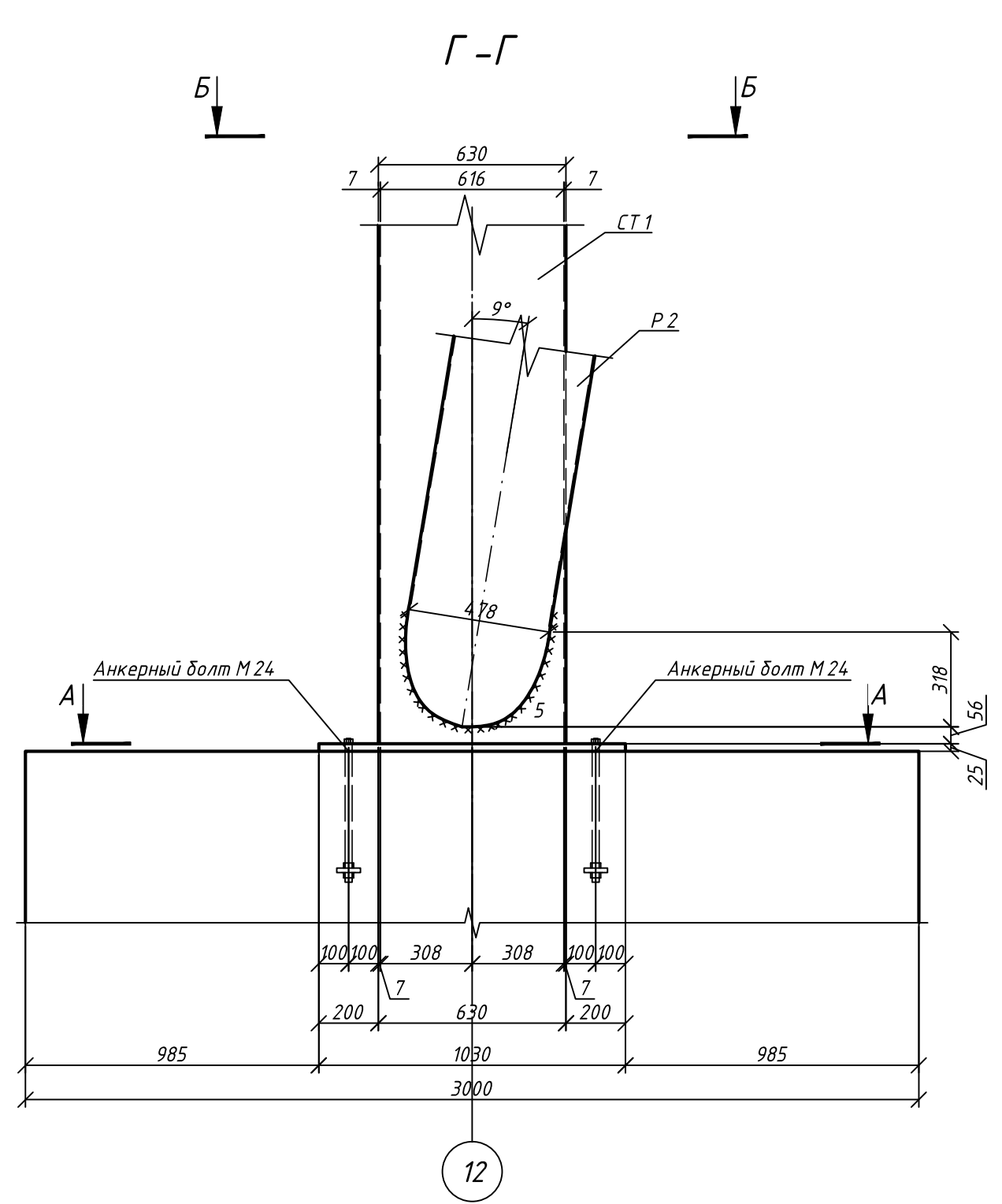
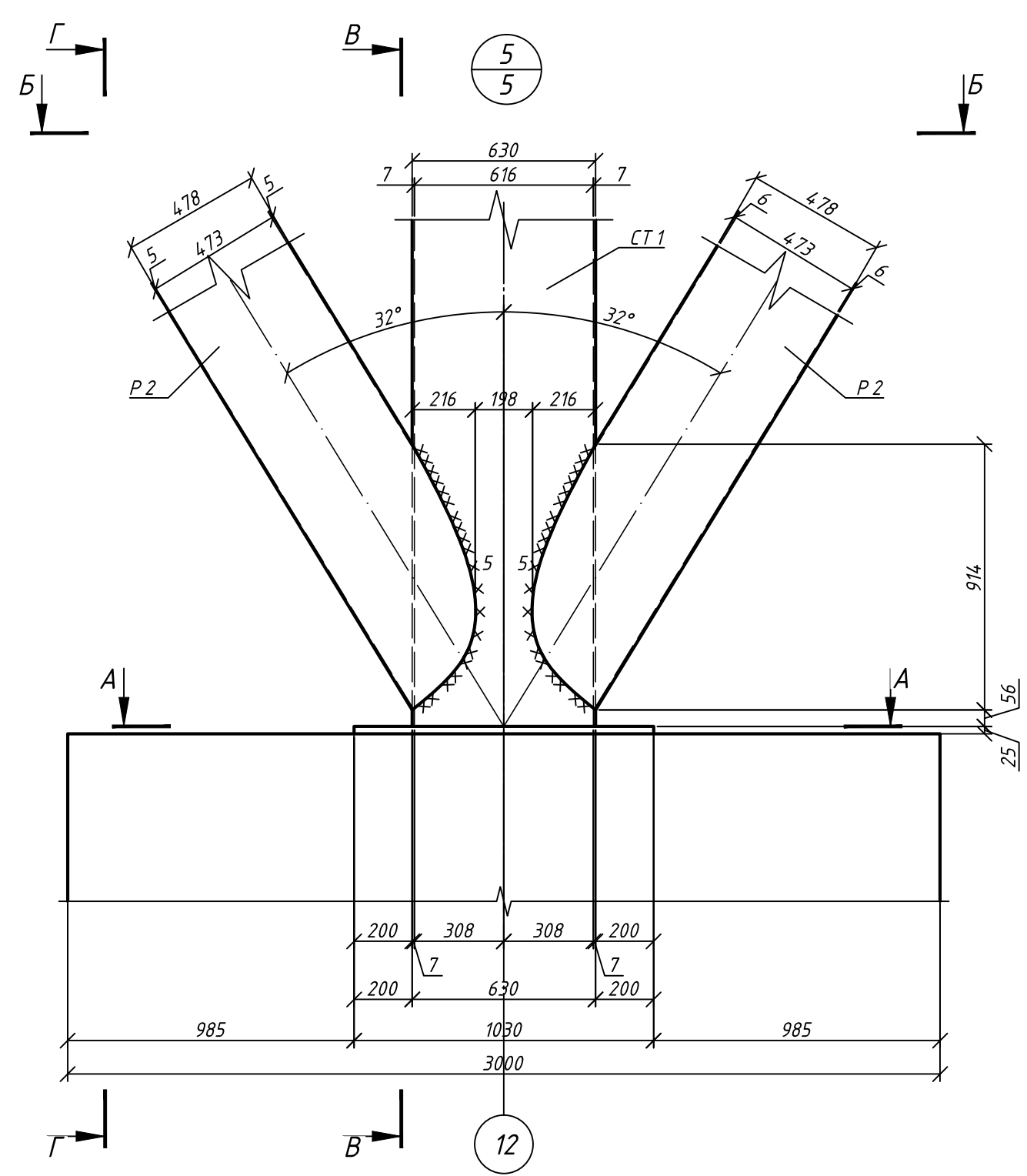
- Лист 6 читать совместно с листами 4, 5, 7, 8, 9 и 10.
- Заводские швы выполнять полуволновой сваркой в среде инертного газа, марка сварочной проволоки СВ-08Г2С по ГОСТ 2246-70*, монтажные швы выполнять ручной дуговой сваркой, электродами по ГОСТ 9457-75*.
- Все отверстия под болты М16 - 18 мм, под болты М24 - 26 мм, под болты М36 - 38 мм; под болты М42 - 44 мм.
- Класс прочности болтов во фланцевых соединениях 10.9, в остальных случаях класс прочности - 5.6.
- Все катеты швов, кроме озонорезных - 10 мм.
- Все металлоконструкции должны быть защищены от коррозии покрытием, включающим в себя:
 - грунтотка ХС-010 по ТУ-21-51-90 в 2 слоя в заводских условиях;
 - эмаль ХВ-1100 по ГОСТ 10144-89 в 2 слоя общей толщиной 70 мкм в заводских условиях.

| Изм. | | | | Дата | | | | |
|---------------|----------------|------|--------|-------|------|---|------|--------|
| Изм. | Уч. инж. | Лист | № док. | Подп. | Дата | Статус | Лист | Листов |
| Разработал | Дмитриев А.Н. | | | | | Телевизионная башня высотой 228,5 м. со | р | 6 |
| Конструктор | Тарасов А.В. | | | | | встроенной телестудией и кафе в г. Омск | | 13 |
| Руководитель | Тарасов А.В. | | | | | | | |
| Н. контроль | Тарасов А.В. | | | | | ЯР 1. ЯР 2. ЯР 3. ЯР 4. ЯР 5. ЯР 6. | | СКУЭС |
| Зав. кафедрой | Дворничев С.В. | | | | | | | |



1. Лист 7 читать совместно с листами 4, 5, 6, 8, 9 и 10.
2. Заводские швы выполнять полуавтоматической сваркой в среде инертного газа, марка сварочной проволоки СВ-08Г 2С по ГОСТ 2246-70*, монтажные швы выполнять ручной дуговой сваркой, электродами по ГОСТ 9467-75*.
3. Все отверстия под болты М 16 - 18 мм, под болты М 24 - 26 мм, под болты М 36 - 38 мм, под болты М 42 - 44 мм.
4. Класс прочности болтов во фланцевых соединениях 10.9, в остальных случаях класс прочности - 5.6;
5. Все катеты швов, кроме оговариваемых - 10 мм;
6. Все металлоконструкции должны быть защищены от коррозии покрытием, включающим в себя:
 - грунтотка ХС-010 по ТУ-21-51-90 в 2 слоя в заводских условиях;
 - эмаль ХВ-1100 по ГОСТ 10144-89 в 2 слоя общей толщиной 70 мкм в заводских условиях.

| | | | | | |
|---|---------------|------|--------|--------|------|
| ДП - 08.05.01 - 2020 | | | | | |
| ФГАУ ВО "Сибирский федеральный университет" | | | | | |
| Инженерно-строительный институт | | | | | |
| Изм. | Уч. уз. | Лист | № док. | Подп. | Дата |
| Разработал | Дмитриев А.Н. | | | | |
| Консультант | Тарасов А.В. | | | | |
| Руководитель | Тарасов А.В. | | | | |
| Н контроль | Тарасов А.В. | | | | |
| Зав. кафедрой | Дворниев С.В. | | | | |
| Телевизионная башня высотой 228,5 м. со встроенной телестудией и кафе в г. Омск | | | | Стадия | Лист |
| Узел 1. Узел 7. | | | | р | 7 |
| | | | | Листов | 13 |
| | | | | СКУС | |



1. Лист 9 читать совместно с листами 4, 5, 6, 7, 8 и 10.
2. Заводские швы выполнять полув автоматической сваркой в среде углекислого газа, марка сварочной проволоки СВ-08Г 2С по ГОСТ 2246-70*, монтажные швы выполнять ручной дуговой сваркой, электродами по ГОСТ 9467-75*.
3. Все отверстия под болты М 16 - 18 мм, под болты М 24 - 26 мм, под болты М 36 - 38 мм; под болты М 42 - 44 мм;
4. Все катеты швов, кроме оголовочных - 10 мм;
5. Класс прочности болтов во фланцевых соединениях 10.9, в остальных случаях класс прочности - 5.8;
6. Все металлоконструкции должны быть защищены от коррозии покрытием, включающим в себя:
 - грунтовка ХС-010 по ТУ-21-51-90 в 2 слоя в заводских условиях;
 - эмаль ХВ-1100 по ГОСТ 10144-89 в 2 слоя общей толщиной 70 мкм в заводских условиях.

| | | | | | | |
|---------------|----------------|--------------|--------|--|------|---|
| | | | | ДП - 08.05.01 - 2020 | | |
| | | | | ФГАОУ ВО "Сибирский федеральный университет" | | |
| | | | | Инженерно-строительный институт | | |
| Изм. | Уч. уч. | Лист | № док. | Подп. | Дата | |
| Разработал | Дмитриева А.Н. | Тарасов А.В. | | | | Телевизионная башня высотой 228,5 м. со встроенной телестудией и кафе в г. Омск |
| Консультант | Тарасов А.В. | | | | | Стадия |
| Руководитель | Тарасов А.В. | | | | | Лист |
| | | | | | | 9 |
| Н контроль | Тарасов А.В. | | | | | Листов |
| Зав. кафедрой | Дворниев С.В. | | | | | 13 |
| | | | | Узел 5. Узел 6. | | СКУЭС |

Схема расположения фундаментов мелкого заложения

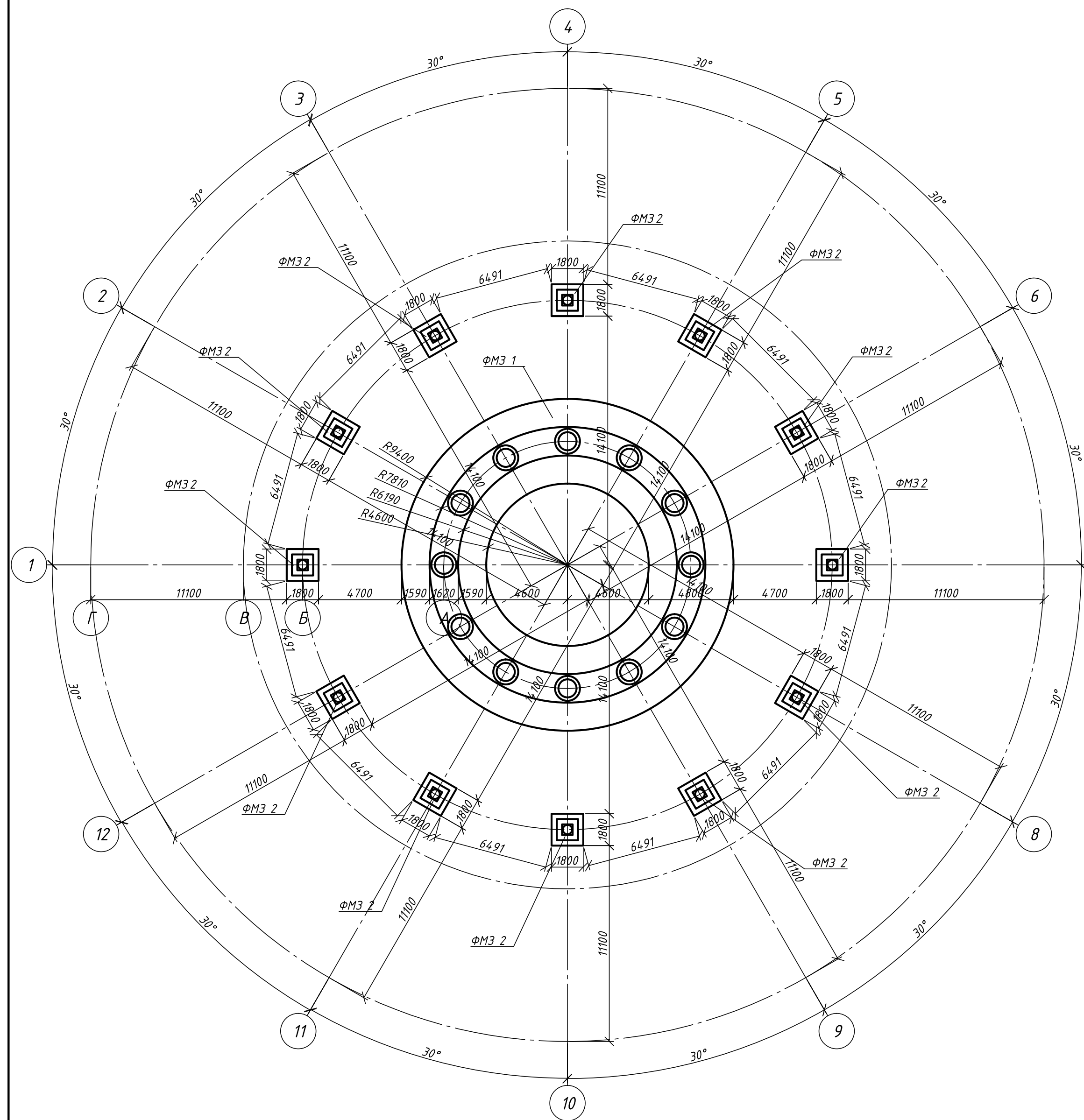


Схема расположения монолитных ростверков

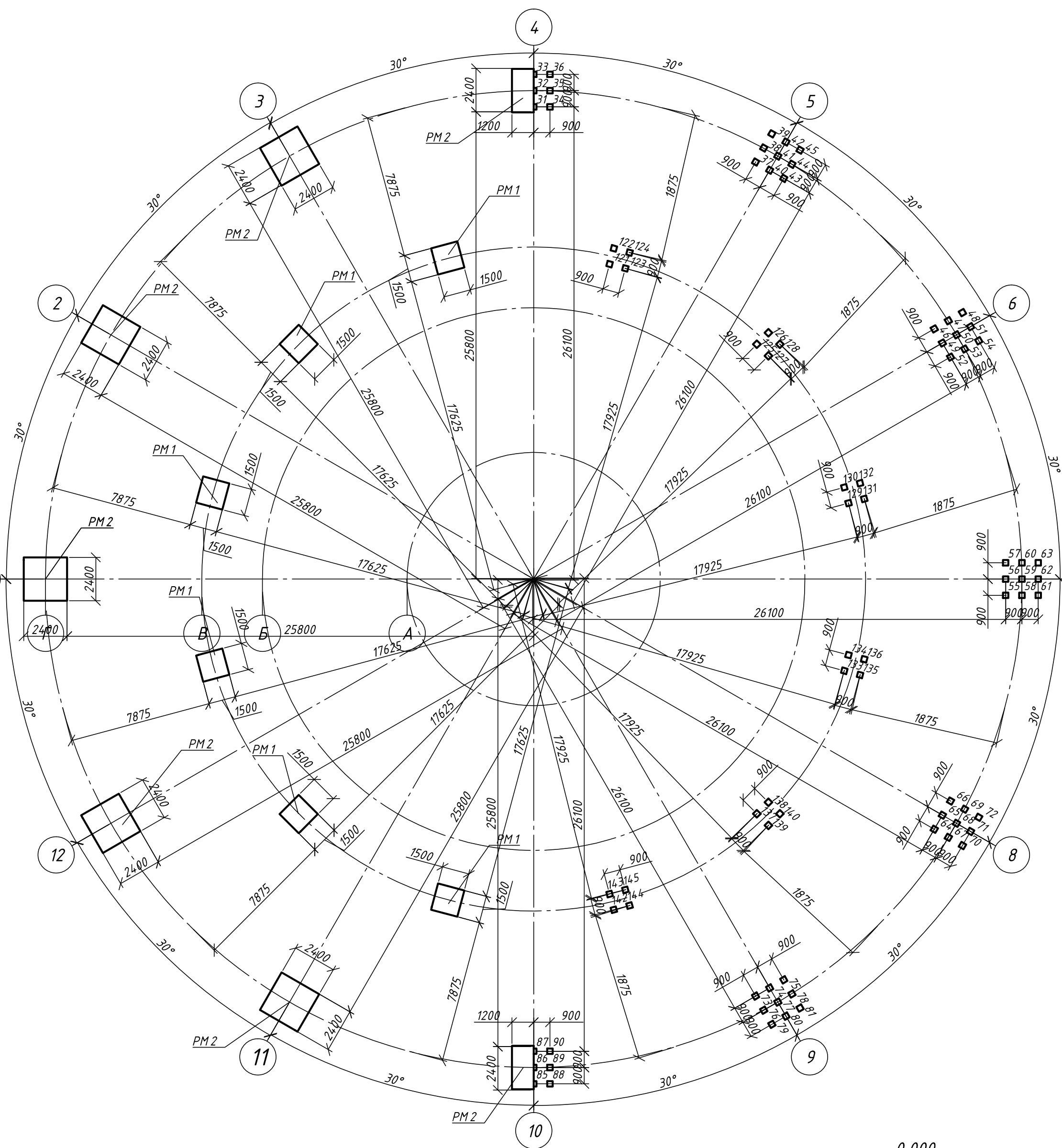
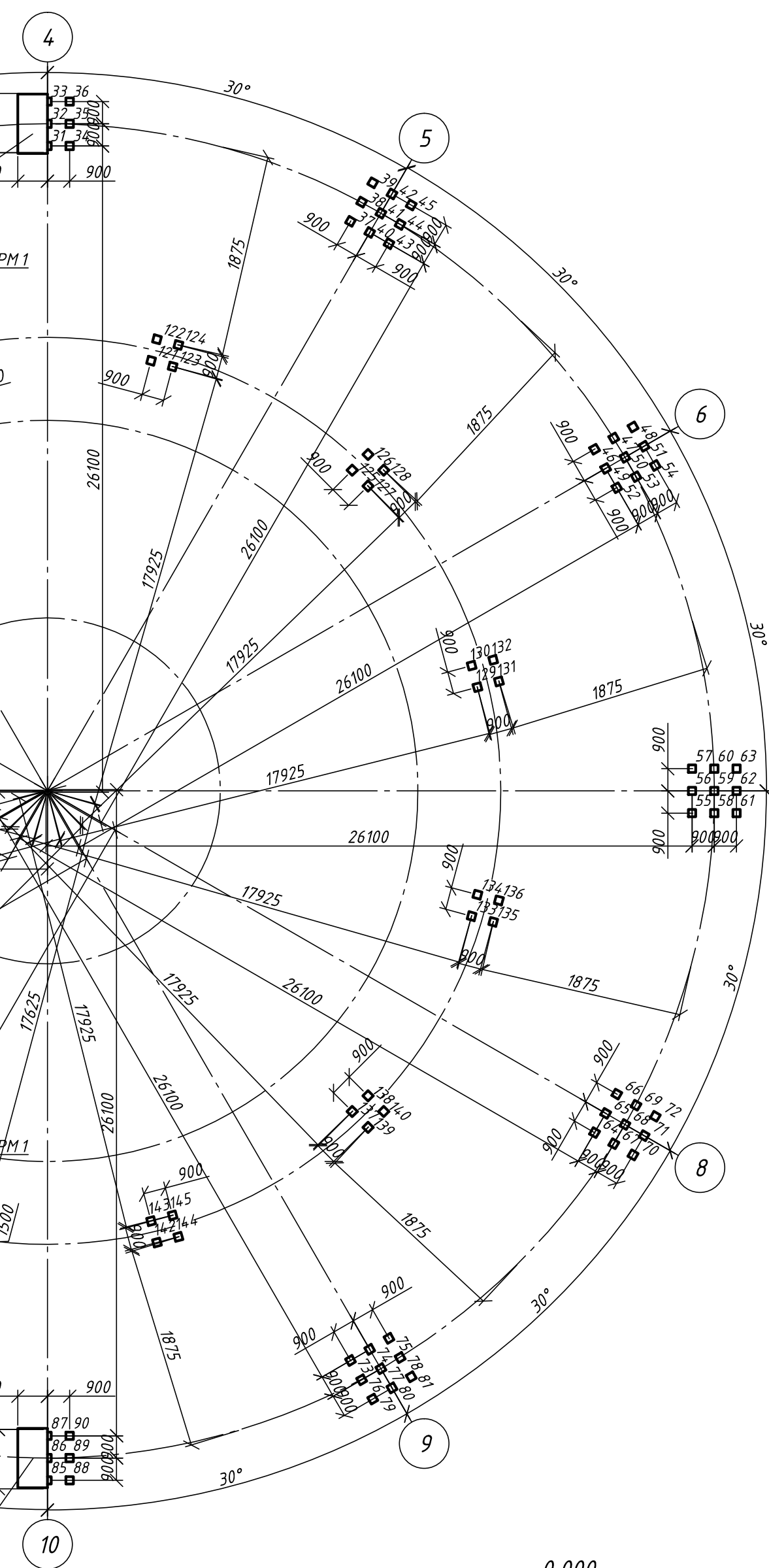


Схема расположения свай



Спецификация элементов фундамента

| Поз. | Обозначение | Наименование | Кол. | Масса ед., т | Примечание |
|-------|-----------------|-----------------------------------|------|--------------|------------|
| | | Фундаменты мелкого заложения | | | |
| ФМЗ 1 | | Фундамент мелкого заложения ФМЗ 1 | 1 | 97,44 | |
| ФМЗ 2 | | Фундамент мелкого заложения ФМЗ 2 | 12 | 4,05 | |
| | | Ростверки монолитные | | | |
| PM 1 | | Ростверк монолитный PM 1 | 12 | 3,38 | |
| PM 2 | | Ростверк монолитный PM 2 | 12 | 14,4 | |
| | | Сваи железобетонные | | | |
| 1-168 | ГОСТ 19804-2012 | С 110.30-11 | 168 | 2,5 | |

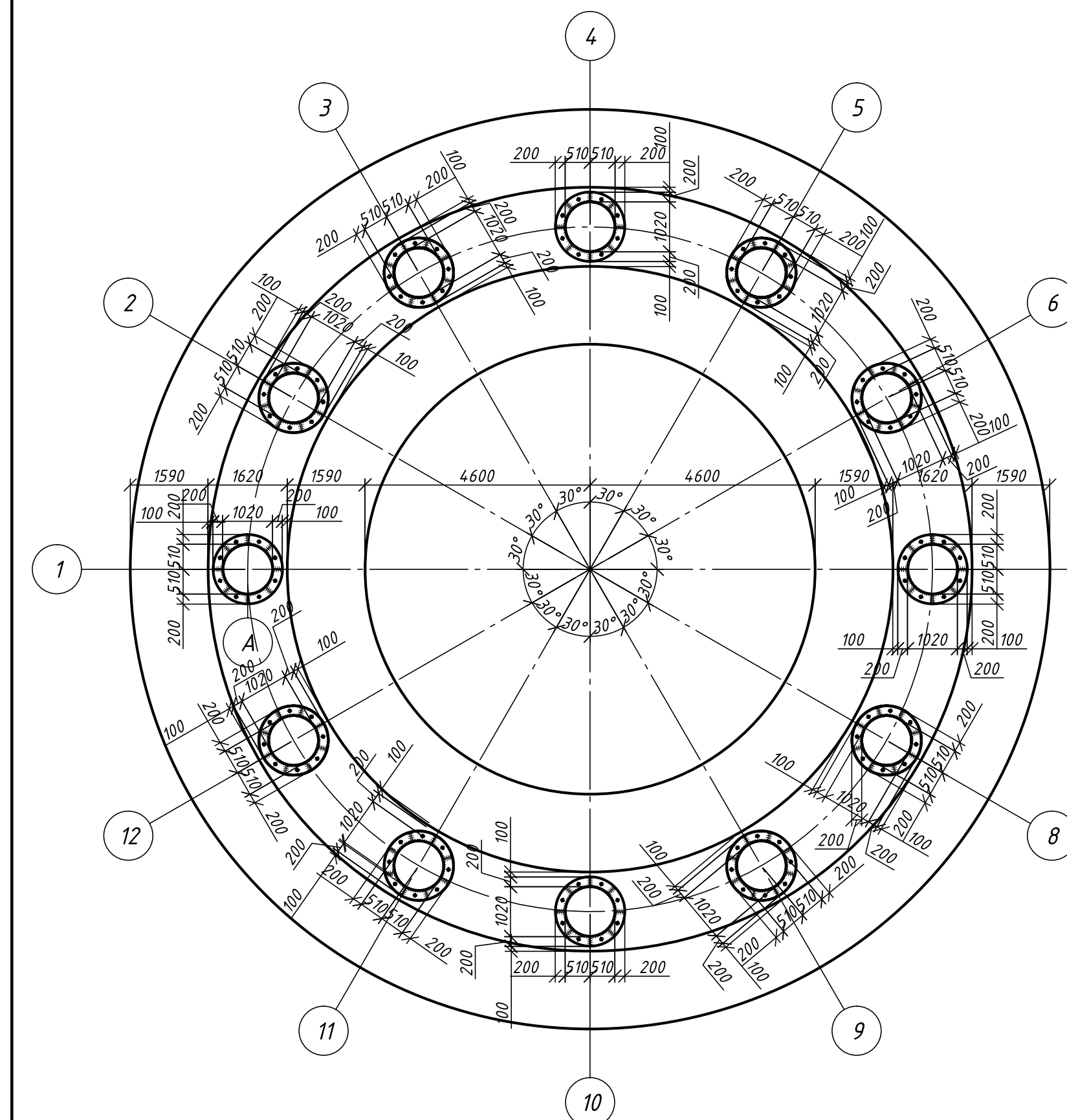
Спецификация элементов на фундамент мелкого заложения ФМЗ 1

| Поз. | Обозначение | Наименование | Кол. | Масса ед., кг | Примечание |
|------|--------------|---|------|---------------|------------|
| | | Сборочные единицы | | | |
| С-1 | | 2С-23 Ø16 А400 от 57806 до 30160 x 4450 | 1 | 3127,08 | |
| С-2 | | 2С-8 Ø22 А400 от 48380 до 39584 x 1450 | 1 | 2214,96 | |
| С-3 | | 2С-23 Ø16 А400 2250 x 4050 | 12 | 721,8 | |
| | | С-1 | | | |
| 1 | ГОСТ 5781-82 | Ø16 А 400 R от 4800 мм до 9200 мм | 23 | 1563,48 | |
| 2 | ГОСТ 5781-82 | Ø16 А 400 L=4450 мм | 271 | 938,16 | |
| | | С-2 | | | |
| 3 | ГОСТ 5781-82 | Ø22 А 400R от 6300 мм до 7700 мм | 8 | 1107,48 | |
| 4 | ГОСТ 5781-82 | Ø22 А 400 L=1450 мм | 238 | 664,44 | |
| | | С-3 | | | |
| 5 | ГОСТ 5781-82 | Ø12 А 400 L=2250 мм | 17 | 469,08 | |
| 6 | ГОСТ 5781-82 | Ø6 А 240 L=4050 мм | 12 | 256,8 | |
| | | Материалы | | | |
| | | Бетон класса В 25 | 38,8 | м³ | |

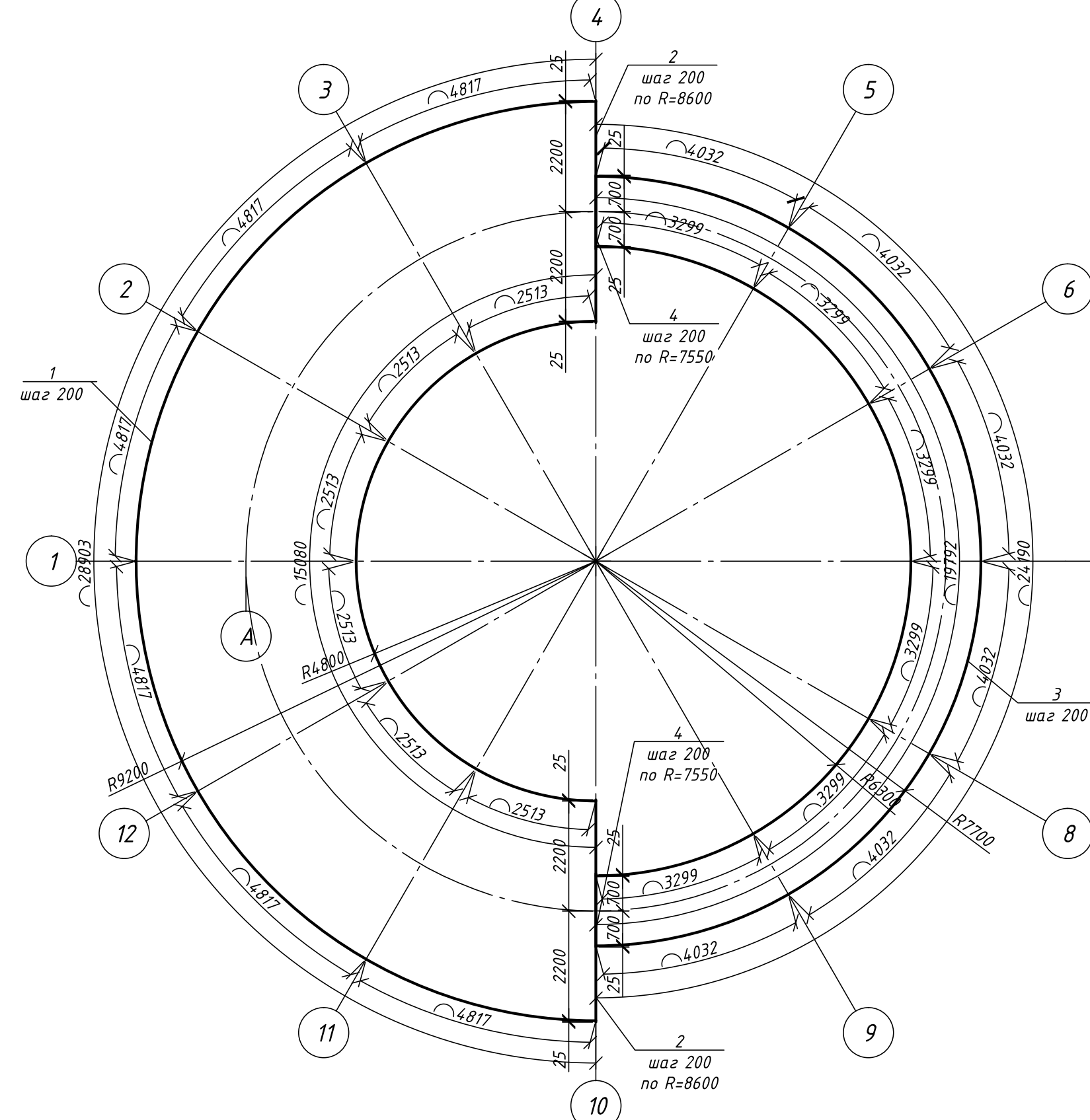
Ведомость расхода стали

| Марка | Изделия арматурные | | | | Всего |
|-------|--------------------|--------|--------|-------|---------|
| | Арматура класса | | | | |
| | Ø22 | Ø16 | Ø12 | Ø6 | |
| С-1 | 1979,16 | - | - | - | 1979,16 |
| С-2 | - | 743,28 | - | - | 743,28 |
| С-3 | - | - | 812,88 | 439,2 | 1252,08 |

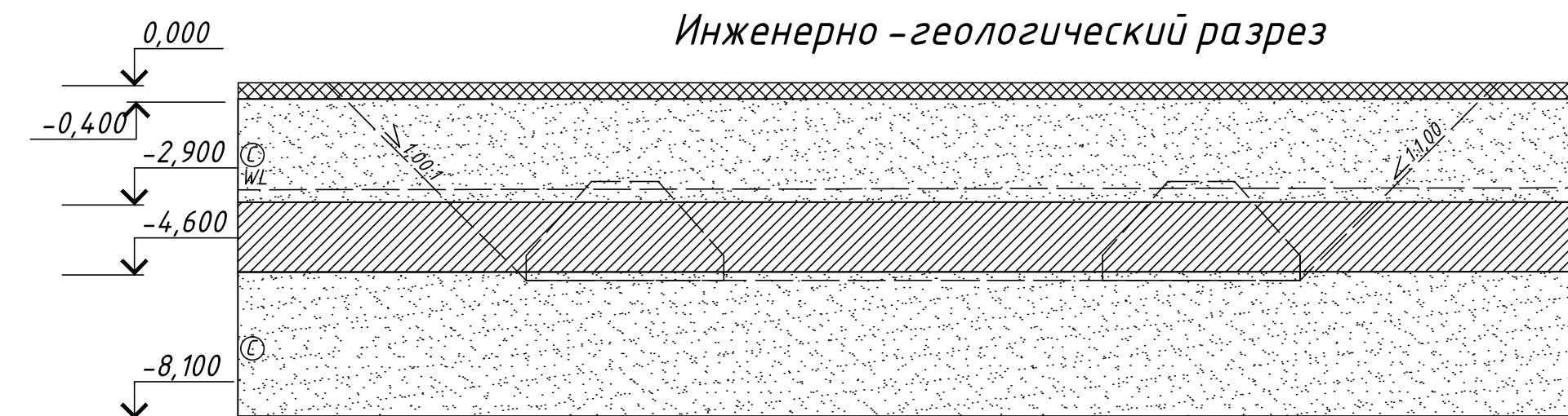
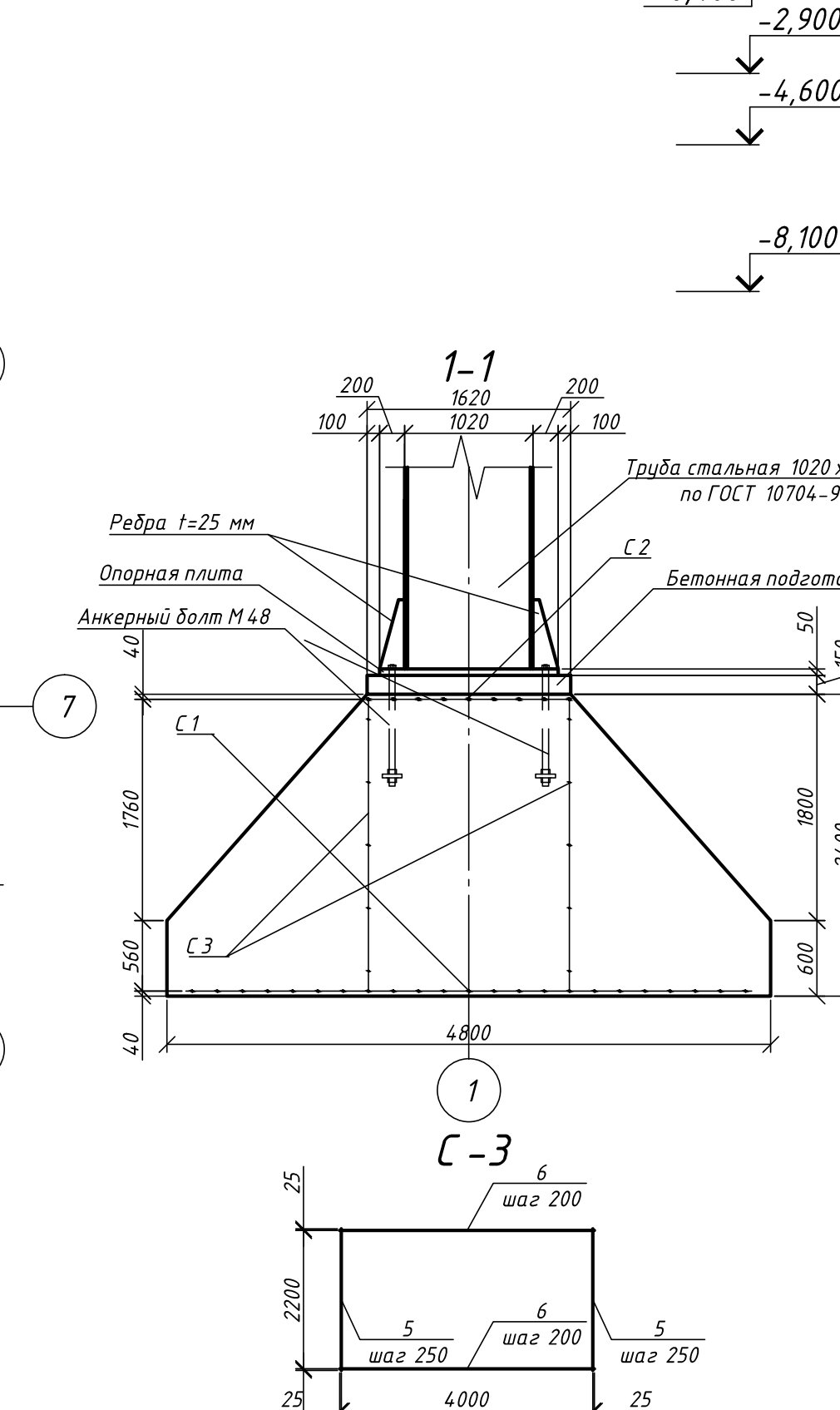
ФМЗ 1



С-1



С-2



Инженерно-геологический разрез

Условные обозначения:

- Техногенный грунт
- Песок средней крупности
- Суглинок тугопластичный

Примечание:

- Отметка 0,000 соответствует абсолютной отметке 74,85 м.
- Грунтовые воды залегают на отметке -2,600, соответствующей абсолютной отметке 71,65 м.
- Сваи С 110.30-11 по ГОСТ 19804-12, бетон класса В 20, вариант армирования 11.
- Защитный слой бетона 40 мм.
- Сетки сварить точечной электросваркой во всех точках пересечения стержней.
- Стыки кольцевой арматуры осуществлять электросваркой электродами Э-42 по ГОСТ 9467-75. односторонним швом.

| | | | | | |
|--|----------------|--|--------|--------|---------|
| ДП - 08.05.01 - 2020 | | | | | |
| ФГАОУ ВО "Сибирский федеральный университет" | | | | | |
| Инженерно-строительный институт | | | | | |
| Изм. | Кол. уч. | Лист | № док. | Подп. | Дата |
| Разработал | Дмитриева А.Н. | | | | |
| Консультант | Пресной О.М. | | | | |
| Руководитель | Тарасов А.В. | | | | |
| Н. контроль | Тарасов А.В. | | | | |
| Зав. кафедрой | Дворниев С.В. | | | | |
| | | Телевизионная башня высотой 228,5 м. со встраиваемой телестудией и кафе в г. Омск | | Стадия | Лист |
| | | Схема расположения ФМЗ. Схема расположения монолитных ростверков, свай ФМЗ 1. С-1. С-2. С-3. | | р | 10 / 13 |
| | | Инженерно-геологический разрез. | | СКИУС | |

Федеральное государственное автономное
образовательное учреждение
высшего образования
«СИБИРСКИЙ ФЕДЕРАЛЬНЫЙ УНИВЕРСИТЕТ»
Инженерно-строительный институт
Кафедра «Строительных конструкций и управляемых систем»

УТВЕРЖДАЮ

Заведующий кафедрой

_____ С.В. Деордиев

подпись

инициалы, фамилия

« ____ »

_____ 2020 г.

ДИПЛОМНЫЙ ПРОЕКТ

08.05.01 «Строительство уникальных зданий и сооружений»

код и наименование специальности

Телевизионная башня высотой 228,5 м со встроенной телестудией и кафе

тема

в г. Омск

Пояснительная записка

Руководитель


_____ 29.06.2020
подпись, дата

Доцент, канд техн наук

должность, ученая степень

А.В. Тарасов

инициалы, фамилия

Выпускник



подпись, дата

А.Н. Дмитриева

инициалы, фамилия

Красноярск 2020

Продолжение титульного листа дипломного проекта по теме
Телевизионная башня высотой 228,5 м со встроенной телестудией и кафе в
г. Омск

Консультанты по разделам:

| | | |
|--|---|--|
| <u>Вариантное проектирование</u> наименование раздела |  подпись, дата | <u>А.В. Тарасов</u> инициалы, фамилия |
| <u>Архитектурно-строительный</u> наименование раздела | _____ подпись, дата | <u>Е.М. Сергуничева</u> инициалы, фамилия |
| <u>Расчетно-конструктивный</u> включая фундаменты наименование раздела |  подпись, дата | <u>А.В. Тарасов</u> инициалы, фамилия |
| _____ наименование раздела | _____ подпись, дата | <u>О.М. Преснов</u> инициалы, фамилия |
| <u>Организация строительства</u> наименование раздела | _____ подпись, дата | <u>И.И. Терехова</u> инициалы, фамилия |
| <u>Технология строительного</u> производства наименование раздела | _____ подпись, дата | <u>И.И. Терехова</u> инициалы, фамилия |
| <u>Экономика строительства</u> наименование раздела | _____ подпись, дата | <u>С.А. Хиревич</u> инициалы, фамилия |
| Нормоконтролер |  подпись, дата | <u>А.В. Тарасов</u> инициалы, фамилия |

Студенту Дмитриевой Анне Николавне

фамилия, имя, отчество

Группа СС 14-11 Направление (профиль) 08.05.01
(номер) (код)

«Строительство уникальных зданий сооружений»

наименование

Тема выпускной квалификационной работы Телевизионная
башня высотой 228,5 м со встроенной
телебашней и кафе в г. Омск

Утверждена приказом по университету № _____ от _____

Руководитель ВКР А. В. Марасов, доцент каф. СтУС, канд. тех. наук, ИСН оргу
инициалы, фамилия должность, ученое звание и место работы

Исходные данные для ВКР

Характеристика района строительства и строительной площадки

г. Омск

Климентьевский район - I

Климентьевский подрайон - IV

Климентьевская зона - 3

Задания по разделам ВКР в виде проекта

Вариантное проектирование (1 лист)

Сравнение крестовой решетки, треугольной с
деформационными распорками и блочной решеткой

Архитектурно-строительный раздел

описание и обоснование внешнего и внутреннего вида объекта,
его пространственной, планировочной и функциональной организации,
обоснование внешне-планировочных и архитектурно-художественных решений

- графический материал (2 листа) фасад, разрезы, планы 1-го этажа,
план кафе, план кровли, узел кровли, узлы витражного
стеклопакета

Консультант ВКР

Сергей Иванович Сергунин / доцент к.т.н. ИВЭИ
(подпись, инициалы, фамилия, должность, ученое звание и место работы)

Расчетно-конструктивный раздел, включая фундаменты

работ по проектированию скелета здания, работ
узлов: крепления распорок и раскосов, база стойки,
фундаментное сооружение стоек, крепления башни к стойке

- графический материал (чертежи КЖ, КМ, КМД, КД) - 6 листов: разрез, схемы расположения элементов, разрабатываемое здание и основные вертикальные/настильные

Консультант ВКР по конструкциям _____

(подпись, инициалы, фамилия, должность, ученое звание и место работы)

Фундаменты

Сравнение устройства мелкого заложения и свайного устройства

- графический материал (1 лист) схема расположения фундаментов, план, разрез вогнутого фундамента, инженерно-геологический разрез

Консультант ВКР по фундаментам _____

(подпись, инициалы, фамилия, должность, ученое звание и место работы)

Технология строительного производства

Технологическая карта на монтаж несущего стального бассейна

- графический материал (1-2 листа) схема производства работ, разрез, график пр-ва работ, схема строений, ТЗП

Консультант ВКР _____

(подпись, инициалы, фамилия, должность, ученое звание и место работы)

Организация строительного производства

Экспрессно-проектирование св-ва, расчеты по известному СПП

- графический материал (2 листа) объемности монтажных генеральный план, сетевой график, ТЗП

Консультант ВКР _____

(подпись, инициалы, фамилия, должность, ученое звание и место работы)

Экономика строительства

Технико-экономическое обоснование, локальной сетевой расчет на устройство несущего стального бассейна, ТЗП

Консультант ВКР _____

(подпись, инициалы, фамилия, должность, ученое звание и место работы)

Дополнительные разделы

Минимальное количество листов графического материала -13-14

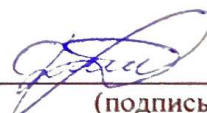
КАЛЕНДАРНЫЙ ГРАФИК
выполнения ВКР

| Наименование раздела | Срок выполнения |
|---|------------------------|
| Вариантное проектирование | 3 февраля - 14 февраля |
| Архитектурно-строительный | 17 февраля - 13 марта |
| Расчетно-конструктивный, включая фундаменты | 16 марта - 17 апреля |
| Технология строительного производства | 20 апреля - 1 мая |
| Организация строительного производства | 4 мая - 15 мая |
| Экономика строительства | 18 мая - 1 июня |

Руководитель ВКР

(подпись)

Задание принял к исполнению

 А.Н. Кузнецова
(подпись, инициалы и фамилия студента)

« 3 » февраля 2020 г.

РЕЦЕНЗИЯ

на дипломный проект студента гр. СС14-11 Дмитриевой Анны Николаевны
Инженерно-строительного института
ФГАОУ «Сибирский федеральный университет»
на тему: «Телевизионная башня высотой 228,5 м со встроенной телестудией
и кафе в г.Омск»

Дипломный проект студента Дмитриевой А.Н. выполнен в объеме, достаточном для оценки уровня подготовки в решении конструктивных и архитектурно-планировочных задач, а так же знания основных технологических процессов.

Проанализировав материалы дипломного проекта, можно отметить актуальность выбранной темы, соответствие проекта требованиям нормативных документов, регламентирующих проектирование и строительство зданий и сооружений, а именно уникальных зданий и сооружений, что показывает высокий уровень знаний и умение работать с нормативно-технической документацией.

Все архитектурно-планировочные решения разработаны в соответствии с назначением объекта. Архитектура здания соответствует требованиям, предъявляемым к общественным зданиям.

В расчетно-конструктивном разделе выполнен расчет здания в ПК SCAD, запроектированы металлические конструкции решетчатого ствола телевизионной башни, а так же конструкции общественных помещений. При проектировании фундаментов было рассмотрено два варианта фундамента. На основании проведенных расчетов и истории строительства подобных сооружений, можно сказать о верности выбранного варианта кольцевого фундамента.

В разделе «Технология строительного производства» разработана технологическая карта на монтаж несущего ствола башни.

В разделе «Организация строительного производства» разработан объектный строительный генеральный план, построена сетевая модель производства работ, определены сроки строительства.

В разделе «Экономика строительства» приведено технико-экономическое обоснование проекта, произведен локальный сметный расчет на технологическую карту.

Замечания по дипломному проекту:

1. На листе 2 графической части на узле 2 отсутствуют высотные отметки;
2. На листе 9 графической части на разрезе Ж-Ж нет размера угла между осями элементов.

В целом, несмотря на указанные недостатки, дипломный проект заслуживает оценки «отлично». Его автор Дмитриева Анна Николаевна заслуживает присвоения квалификации инженера-строителя.

Главный специалист конструкторского отдела
АО «Гражданпроект»



З.В. Кузнецова

**Отзыв руководителя
на выпускную квалификационную работу**

Тема «Телевизионная башня высотой 228,5 м со встроенной телестудией и кафе в г. Омск»

Автор (ФИО) Дмитриева Анна Николаевна

Институт Инженерно-строительный

Выпускающая кафедра СКиУС

Специальность 08.05.01 «Строительство уникальных зданий и сооружений»

Руководитель к.т.н., доцент кафедры СКиУС, ИСИ СФУ Тарасов А.В.

(степень, звание, должность, место работы, Ф.И.О.)

Актуальность темы ВКР в виде дипломного проекта специалиста Проблема устаревания технического оснащения и износа, построенных в прошлом веке телевизионных башен является актуальной для всей страны. Строительство новой телевизионной башни в г. Омск расширит диапазон телевизионного вещания, преобразит город за счет своей архитектурной выразительности, а так же позволит возводить высотные объекты, что поспособствует дальнейшему развитию города.

Логическая последовательность структуры работы

Введение

1 Вариантное проектирование

2 Архитектурно-строительный раздел

3 Расчетно-конструктивный раздел в т.ч. проектирование фундаментов

4 Раздел «Технология строительного производства»

5 Раздел «Организация строительного производства»

6 Раздел «Экономика строительства»

Заключение

Аргументированность и конкретность выводов и предложений Все решения, предложенные в работе, подкреплены статическими исследованиями, расчетами. Выводы и предложения аргументированы, логически последовательны.

Уровень самостоятельности и ответственности при работе над темой ВКР Работа Дмитриевой А. Н. является самостоятельной, целостной. В ходе написания выпускной квалификационной работы был показан достаточный уровень знаний и практических навыков, самостоятельность, инициативность в принятии решений.

Достоинства работы Тема выпускной квалификационной работы в целом раскрыта полностью и соответствует предъявленным требованиям.

Недостатки работы Замечаний, снижающих оценку, не отмечено.

В целом работа оценена на отлично, а ее автор

выпускник Дмитриева Анна Николаевна заслуживает присвоения
(фамилия, имя, отчество)

ей (ему) квалификации инженер-строитель по специальности «Строительство уникальных зданий и сооружений»

Руководитель ВКР

 06.07.2020
(подпись, дата)

А. В. Тарасов
(инициалы, фамилия)

Отчет о проверке на заимствования №1



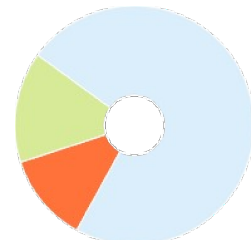
Автор: Дмитриева А. Н.
Проверяющий: Захаров Павел Алексеевич (bik@sfu-kras.ru / ID: 256)
Организация: Сибирский федеральный университет
 Отчет предоставлен сервисом «Антиплагиат» - <http://sfukras.antiplagiat.ru>

ИНФОРМАЦИЯ О ДОКУМЕНТЕ

№ документа: 96948
 Начало загрузки: 07.07.2020 11:45:22
 Длительность загрузки: 00:01:24
 Имя исходного файла: Неизвестно
 Название документа: Телевизионная башня высотой 228,5 м со встроенной телестудией и кафе
 Размер текста: 1 кБ
 Тип документа: Выпускная квалификационная работа
 Символов в тексте: 175427
 Слов в тексте: 19636
 Число предложений: 1139

ИНФОРМАЦИЯ ОБ ОТЧЕТЕ

Последний готовый отчет (ред.)
 Начало проверки: 07.07.2020 11:46:46
 Длительность проверки: 00:02:15
 Комментарии: не указано
 Модули поиска: Модуль поиска ИПС "Адилет", Модуль выделения библиографических записей, Сводная коллекция ЭБС, Модуль поиска "Интернет Плюс", Коллекция РГБ, Цитирование, Модуль поиска переводных заимствований, Модуль поиска переводных заимствований по elibrary (EnRu), Модуль поиска переводных заимствований по интернет (EnRu), Коллекция eLIBRARY.RU, Коллекция ГАРАНТ, Коллекция Медицина, Диссертации и авторефераты НББ, Модуль поиска перефразирований eLIBRARY.RU, Модуль поиска перефразирований Интернет, Коллекция Патенты, Модуль поиска "СФУ", Модуль поиска общепотребительных выражений, Кольцо вузов



ЗАИМСТВОВАНИЯ

12,33% ■

САМОЦИТИРОВАНИЯ

0% ■

ЦИТИРОВАНИЯ

14,73% ■

ОРИГИНАЛЬНОСТЬ

72,94% ■

Заимствования — доля всех найденных текстовых пересечений, за исключением тех, которые система отнесла к цитированиям, по отношению к общему объему документа.
 Самоцитирование — доля фрагментов текста проверяемого документа, совпадающий или почти совпадающий с фрагментом текста источника, автором или соавтором которого является автор проверяемого документа, по отношению к общему объему документа.
 Цитирование — доля текстовых пересечений, которые не являются авторскими, но система посчитала их использование корректным, по отношению к общему объему документа. Сюда относятся оформленные по ГОСТу цитаты; общепотребительные выражения; фрагменты текста, найденные в источниках из коллекций нормативно-правовой документации.
 Текстовое пересечение — фрагмент текста проверяемого документа, совпадающий или почти совпадающий с фрагментом текста источника.
 Источник — документ, проиндексированный в системе и содержащийся в модуле поиска, по которому проводится проверка.
 Оригинальность — доля фрагментов текста проверяемого документа, не обнаруженных ни в одном источнике, по которым шла проверка, по отношению к общему объему документа.
 Заимствования, самоцитирования, цитирования и оригинальность являются отдельными показателями и в сумме дают 100%, что соответствует всему тексту проверяемого документа. Обращаем Ваше внимание, что система находит текстовые пересечения проверяемого документа с проиндексированными в системе текстовыми источниками. При этом система является вспомогательным инструментом, определение корректности и правомерности заимствований или цитирований, а также авторства текстовых фрагментов проверяемого документа остается в компетенции проверяющего.

| № | Доля в отчете | Доля в тексте | Источник | Ссылка | Актуален на | Модуль поиска | Блоков в отчете | Блоков в тексте |
|------|---------------|---------------|---|---|-------------|--|-----------------|-----------------|
| [01] | 4,15% | 4,15% | не указано | не указано | раньше 2011 | Модуль выделения библиографических записей | 5 | 5 |
| [02] | 2,72% | 3,9% | ЗАКЛЮЧЕНИЕ | http://myleksii.ru | 29 Янв 2017 | Модуль поиска перефразирований Интернет | 12 | 16 |
| [03] | 1,53% | 3,42% | не указано | http://docme.ru | 01 Янв 2017 | Модуль поиска перефразирований Интернет | 11 | 20 |
| [04] | 0,36% | 2,71% | PZ(3) | http://docme.ru | 07 Мая 2017 | Модуль поиска "Интернет Плюс" | 7 | 53 |
| [05] | 0,17% | 2,16% | ЗАКЛЮЧЕНИЕ | http://myleksii.ru | раньше 2011 | Модуль поиска "Интернет Плюс" | 6 | 42 |
| [06] | 0% | 2,14% | Щегольков ПГ-13-Д | не указано | 15 Июн 2017 | Кольцо вузов | 0 | 24 |
| [07] | 0,31% | 1,7% | Кран консольный настенный передви... | не указано | 06 Июн 2019 | Кольцо вузов | 10 | 22 |
| [08] | 0% | 1,67% | Руководство для следователя и дознав... | http://dlib.rsl.ru | 05 Авг 2019 | Коллекция РГБ | 0 | 26 |
| [09] | 0% | 1,57% | МазниченкоАЮ 15_3ТМ_ТБ4 | не указано | 22 Янв 2018 | Кольцо вузов | 0 | 13 |
| [10] | 0,07% | 1,52% | Руководство для следователя и дознав... | https://book.ru | 03 Июл 2017 | Сводная коллекция ЭБС | 2 | 22 |
| [11] | 1,5% | 1,5% | Приказ Федеральной службы по эколо... | http://ivo.garant.ru | 18 Апр 2017 | Коллекция ГАРАНТ | 12 | 12 |
| [12] | 0,04% | 1,48% | Информационный бюллетень 3/2008 «... | http://meganorm.ru | раньше 2011 | Модуль поиска "Интернет Плюс" | 1 | 23 |
| [13] | 0,43% | 1,48% | 17. ФЕРМЫ С ПОЯСАМИ ИЗ ШИРОКОП... | http://rulitru.ru | 28 Янв 2017 | Модуль поиска перефразирований Интернет | 18 | 12 |
| [14] | 0% | 1,48% | 60780 | http://e.lanbook.com | 09 Мар 2016 | Сводная коллекция ЭБС | 0 | 11 |